

**UNIVERSIDADE DE SÃO PAULO**  
ESCOLA DE ENGENHARIA DE SÃO CARLOS  
DEPARTAMENTO DE ESTRUTURAS

**ESTABILIDADE DE COLUNAS ISOSTÁTICAS  
DE CONCRETO ARMADO**

Eng. LILIANA AUFIERO

SÃO CARLOS, OUTUBRO DE 1977

**DEPARTAMENTO DE ESTRUTURAS**  
ESCOLA DE ENGENHARIA DE SÃO CARLOS

Sess. 1996  
PRA  
Catt. A951e

Torito 20/6/2

ESTABILIDADE DE COLUNAS ISOSTÁTICAS DE  
CONCRETO ARMADO

eng. Liliana Aufiero

Dissertação apresentada à Escola de Engenharia de São Carlos da Universidade de São Paulo como parte dos requisitos para a obtenção do título de "Mestre em Engenharia de Estruturas".

Orientador

Prof.Dr. Lauro Modesto dos Santos

Comissão Examinadora

Prof.Dr. Lauro Modesto dos Santos

Prof.Dr. Roberto L.A. Barbato

Prof.Dr. Eddie Mancini

Suplentes

Prof.Dr. Walter Savassi

Prof.Dr. Regis L.Ribeiro Lima

São Carlos, outubro de 1977



## RESUMO

Este trabalho mostra vários métodos de dimensionamento de colunas esbeltas de concreto armado, dando ênfase ao método da coluna padrão através de um programa para mini calculadora (HP-67).

E também feita uma explanação sobre o objetivo a ser atingir quando se utiliza o método do momento complementar, suas vantagens e possibilidade de estar contra a segurança.

## ABSTRACT

This work shows several methods of design of reinforced concrete slender columns emphasizing the model column method through a program adapted for HP-67 mini-calculator.

It is also made an explanation about the objectives to be attained when it is used the approximate method for calculating the supplementary moment, its advantages and possibilities of being against security.



## Agradecimentos

Além do meu constante respeito e admiração pelo professor Lauro Modesto dos Santos, pessoa que sempre se dedica com todo empenho, paciência, carinho e atenção a seus alunos e publicações que ro agora agradecer ter aceito ser meu orientador nesta dissertação e ter me dado apoio, confiança e entusiasmo, fatores indispensáveis a qualquer realização.

Ao meu professor de colégio, Ulisses dos Santos Ribeiro, obrigada por me fazer gostar da matemática e por todo incentivo que sempre me deu.

Agradeço também ao escritório Zuccolo, pelos projetos grandiosos em que participei, pelo muito que aprendi e onde conheci pessoas junto das quais me orgulho de trabalhar.

Ao professor Miguel Carlos Stamato, lacuna insubstituível, saudades.



1. Introdução	1
1.1. Objetivo	1
1.2. Sistema de Unidades	2
1.3. Notação	3
1.4. Hipóteses Assumidas	5
1.5. Conceitos de Segurança	7
1.6. Considerações sobre os Coeficientes de Segurança	10
1.6.1. Segundo as recomendações do C.E.B.(1972)	10
1.6.2. Segundo a NB-1/77	12
2. Excentricidade em uma Única Direção	14
2.1. Método Geral	15
2.2. Método da Coluna Padrão	17
2.2.1. Seção transversal constante	17
2.2.1.1. 1 <sup>a</sup> aproximação	17
2.2.1.2. 2 <sup>a</sup> aproximação	20
2.2.2. Seção transversal variável	39
2.3. Método aproximado para calcular o momento complementar	54
2.3.1. 1 <sup>a</sup> aproximação	54
2.3.2. 2 <sup>a</sup> aproximação	56
2.3.3. Comparação entre a 1 <sup>a</sup> e a 2 <sup>a</sup> aproximação	63



2.4. Método Simplificado baseado no estado de equilíbrio	67
2.4.1. Análise do método	67
2.4.2. Uso prático	71
3. Excentricidade Biaxial	81
3.1. Método da Coluna Padrão - sequência de cálculo	82
3.2. Método do Momento Complementar - dimensionamento	90
3.2.1. 1 <sup>a</sup> aproximação	90
3.2.2. 2 <sup>a</sup> aproximação	95
3.3. Método do Momento Complementar - verificação	101
3.4. Método Simplificado - cálculo de verificação baseado no método de equilíbrio	104
4. Interligação entre as várias tabelas	106
Anexo 1	112
A1.1 Notação utilizada	112
A1.2 Dados de entrada e saída	117
A1.3 Programação	121
A1.4 Exemplos	124
Anexo 2	132
Anexo 3	153
Anexo 4	156
Anexo 5	157
Anexo 6	161
BIBLIOGRAFIA	164



## 1. Introdução

### 1.1. Objetivo

Esta publicação visa conceituar o fenômeno da perda de estabilidade na flexão composta procurando ordenar as idéias de forma a torná-las de fácil utilização para o calculista de concreto.

Existe a discussão a respeito da conservação ou não do nome "flambagem" para a denominação desse fenômeno.

A flambagem propriamente dita só ocorre em peças de material elástico-linear, sujeitas a carga centrada e consiste na mudança da forma do eixo da peça necessária para manter o equilíbrio estável.

Nas peças de concreto armado, mesmo que se pudesse considerar o concreto um material elástico-linear, fica eliminada a possibilidade da ocorrência do fenômeno de flambagem devido à atual exigência de se considerar sempre uma excentricidade na carga axial, ainda que acidental, passando a inexistir o caso de compressão centrada.

Na falta de uma denominação mais adequada será também utilizado, nesta publicação, o termo flambagem com significado de "fenômeno de perda de estabilidade na flexão composta".

Este trabalho baseou-se bastante no Boletim de Informação nº 103 do C.E.B. denominado Flambagem - Instabilidade que consideramos o trabalho mais atualizado sobre o assunto.

Os assuntos tratados são:

- . considerações sobre o efeito da esbeltez no dimensionamento
- . capacidade de barras esbeltas sujeitas à flexão composta considerando-se a influência do comportamento anelástico do material e do tipo de carregamento.

## 1.2. Sistema de Unidades

Nos exemplos e nas transcrições de valores numéricos serão utilizadas unidades usuais entre nós e as relações de transformação, adotadas, são:

$$1 \text{ MPa} = 10 \text{ kgf/cm}^2$$

$$1 \text{ kN} = 100 \text{ kgf} = 0,1 \text{ tf}$$

$$1000 \text{ kN/m}^2 = 10 \text{ tf/m}^2 = 1 \text{ kgf/cm}^2$$

### 1.3. Notação (\*) (\*\*)

É dado a seguir, o significado da notação utilizada com maior frequência nesta publicação.

$a$  = flecha no topo da coluna

$e_a$  = excentricidade adicional

$e_i$  = excentricidade da resultante das tensões normais do concreto e aço

$e_o$  = excentricidade inicial da carga externa

$f_{cd}$  = resistência de cálculo do concreto

$f_{ck}$  = resistência característica do concreto

$f_{yd}$  = resistência de cálculo do aço

$f_{yk}$  = resistência característica do aço

$h$  = altura total da seção transversal no plano de flambagem

$i$  = raio de giração da seção transversal da peça

$l_e$  = distância entre pontos de momento nulo = "comprimento de flambagem"

$\frac{1}{r}$  = curvatura

$A_c$  = área da seção transversal de concreto

$A_s$  = área da seção transversal de aço

$I$  = momento de inércia

$N$  = esforço normal na seção transversal

\* Os números entre chaves {} indicam a bibliografia utilizada.

$N_d$  = esforço normal de cálculo na seção transversal

Quando o índice "d" sobrecarregava demais a notação, ele foi eliminado, devendo-se considerar sempre a carga normal com que se deseja dimensionar a peça.

$N_c = 0,85 f_{cd} A_c$  = capacidade da seção de concreto

$M$  = momento fletor na seção transversal

$M_i$  = momento fletor da resultante ( $R_i$ ) das tensões internas

$R_c$  = resultante das tensões  $\sigma$  do concreto

$R_i = R_c + R_s$  = resultante das tensões internas

$R_s$  = resultante das tensões  $\sigma$  do aço

$\epsilon$  = deformação (sinal positivo corresponde a alongamento)

$\epsilon_{yd}$  = deformação correspondente ao início do escoamento do aço

$\sigma$  = tensão normal

$\lambda = \frac{e}{i}$  = índice de esbeltez

$v = \frac{N}{0,85 f_{cd} A_c}$

$\mu = \frac{M}{0,85 f_{cd} A_c h} = v \frac{e}{h}$

$\mu_F$  =  $\mu$  correspondente à rutura do material (por deformação convencional excessiva do concreto ou plástica excessiva do aço)

$\mu_A$  =  $\mu$  correspondente ao ponto de perda de estabilidade

$\omega = \frac{f_{yd} A_s}{0,85 f_{cd} A_c}$

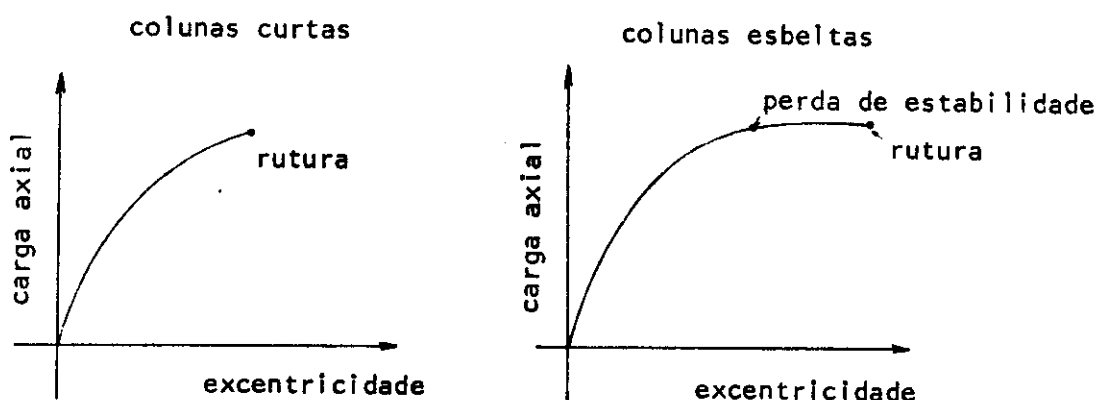
\*\* A NB-1/77 publicada pela revista Estrutura [1] é um Projeto de Norma Brasileira e deveria, mais propriamente, ser chamada PNB-1/77. Neste trabalho adotou-se a notação NB-1/77 ou simplesmente NB-1.

#### 1.4. Hipóteses Assumidas

No estudo da perda de estabilidade são considerados os momentos de 2<sup>a</sup> ordem. A elástica da peça, provocada pelo carregamento externo, cria uma excentricidade para a carga axial N fazendo surgir um momento de 2<sup>a</sup> ordem que, por sua vez, aumenta a elástica e consequentemente aumenta a excentricidade da carga normal e assim sucessivamente.

Se as cargas externas forem menores que a capacidade de carga da estrutura esse processo continuará até o estado de equilíbrio entre esforços solicitantes e capacidade resistente da peça em todas as seções. Além disso, em todas as seções, a curvatura necessária para provocar aquela capacidade resistente deverá ser igual à curvatura da linha elástica.

Dependendo das características geométricas da peça comprimida, o estado limite último de rutura pode ocorrer após a perda de estabilidade que se inicia antes do material atingir seu limite de resistência.



Será sempre considerado no cálculo de barras comprimidas um acréscimo na excentricidade da carga axial N que visa levar em conta os efeitos da incerteza sobre sua posição real.

Esse acréscimo será denominado excentricidade adicional com notação  $e_a$  tal que

$$e_a \geq \frac{h}{30} ; \quad e_a \geq 2 \text{ cm} ; \quad e_a \geq \frac{\lambda}{1000} h$$

Dever-se observar que  $e_a \geq \frac{\lambda}{1000} h$  não faz parte das recomendações de 1972 mas serão anexadas nas novas recomendações do C.E.B.

O parâmetro  $\lambda$  define o campo de aplicação da teoria apresentada e existe uma pequena diferença entre os limites apresentados pelas recomendações do C.E.B. e pela NB-1/77.

C.E.B.	NB-1/77	
$\lambda < 35$	$\lambda \leq 40$	cálculos incluindo efeitos de 2a. ordem podem ser omitidos.
$35 < \lambda \leq 140$	$40 < \lambda \leq 80$	é válida a teoria apresentada
	$80 < \lambda \leq 140$	não é válida a aplicação do método complementar permitida para $\lambda \leq 80$
$\lambda > 140$	$\lambda > 140$	deve ser evitado em concretos normais

No caso de estruturas em pórtico deve ser considerada uma inclinação adicional que é função da altura total.

A presente teoria se aplica a concretos que apresentem diagrama tensão x deformação representados, com boa aproximação, por um diagrama parábola retângulo.

Neste trabalho não serão considerados os efeitos da deformação lenta pois, até o presente momento, existem duas correntes, de opinião antagônica sobre a importância ou não desses efeitos.

Os parâmetros de maior influência na instabilidade são:

- . esbeltez
- . sistema de carregamento
- . condições de vinculação (de contorno)
- . propriedades do material
- . quantidade e disposição da armadura
- . valor do carregamento

## 1.5. Conceitos de Segurança

### 1.5.1. Coeficientes $\gamma_f$ e $\gamma_m$

$\gamma_f$  - coeficiente de majoração das cargas atuantes que, num cálculo elástico, coincide com a majoração dos esforços solicitantes

$$\gamma_f = f(\gamma_{f1}, \gamma_{f2}, \gamma_{f3})$$

onde

$\gamma_{f1}$  - leva em conta a probabilidade de todas as cargas atingirem valores mais desfavoráveis que seus valores característicos.

$\gamma_{f2}$  - leva em conta a pequena probabilidade de todas as cargas estarem atuando com seus valores característicos

$\gamma_{f3}$  - leva em conta a probabilidade de modificações desfavoráveis das forças, devido, tanto a hipóteses não corretas no projeto, como a erros construtivos do tipo: áreas inadequadas das seções transversais, colunas fora do prumo, excentricidades acidentais.

Em um cálculo não linear de esforços pode ser indicada a adoção desses coeficientes em etapas sucessivas de projeto.

$\gamma_m$  - coeficiente de minoração das tensões características dos materiais

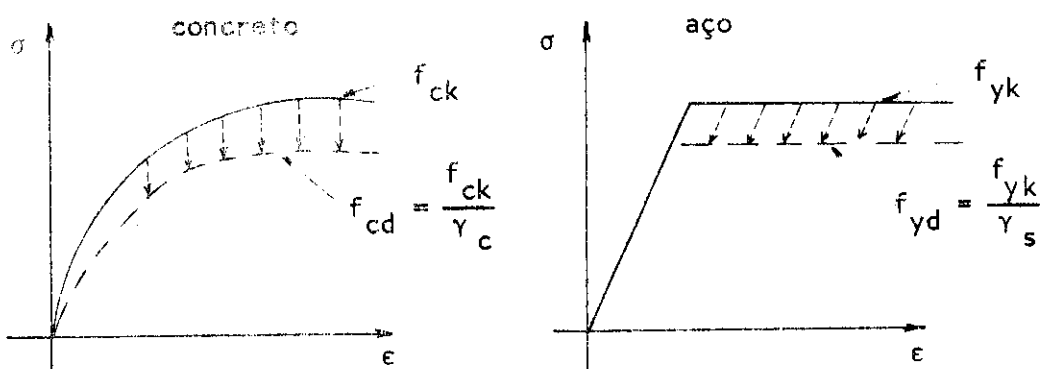
$\gamma_c$  - para o concreto

$\gamma_s$  - para o aço

$$\gamma_m = f(\gamma_{m1}, \gamma_{m2})$$

$\gamma_m 1$  - leva em conta a redução na resistência do material na estrutura considerada como um todo.

$\gamma_m 2$  - leva em conta redução na resistência do material devido a efeitos localizados.



#### 1.5.2. Coeficientes relacionados a efeitos de 2<sup>a</sup> ordem

Além dos já usuais coeficientes  $\gamma_f$  e  $\gamma_m$ , as discussões ainda em andamento, estão evidenciando a seguinte orientação com relação aos conceitos de segurança relacionados a efeitos de 2<sup>a</sup> ordem:

- a) Flambagem de colunas isostáticas incluindo-se as hiperestáticas, onde o comprimento equivalente de flambagem  $l_e$  não depende da carga aplicada.

. aplicam-se  $\gamma_f$  e  $\gamma_m$

. aplicar-se também uma correção em  $\gamma_f$  através do fator:

$$\gamma_n = 1 + \frac{\lambda}{700}$$

que leva em conta a incerteza sobre o comprimento de flambagem.

- b) Flambagem de elementos verticais de um pórtico sensível a efeitos de 2<sup>a</sup> ordem.

. avaliam-se as deformações, incluindo os efeitos de 2<sup>a</sup> ordem, com a carga:

$$q_d = \gamma_n' \gamma_{f1} \gamma_{f2} q_k$$

e com a resistência característica reduzida por um coeficiente parcial:

$$f_d = \frac{f_k}{\gamma_{m1}}$$

onde

$\gamma_n'$  = fator de correção de  $\gamma_f$  que, neste caso, é função da altura do pórtico.

$\gamma_{f3}$  e  $\gamma_{m2}$  não são considerados.

. considera-se cada coluna como isostática e aplica - se o processo delineado em a considerando o coeficiente de influência:

$$c_m = \frac{\text{efeito de } q_d}{q_d}$$

Essas noções do item b servem apenas como orientação do caminho a se seguir no caso de pórticos, não sendo escopo deste trabalho, esmiuçar e detalhar esses casos.

## 1.6. Considerações sobre os Coeficientes de Segurança

### 1.6.1. Segundo as recomendações do C.E.B. (1972) {2}

1º caso -  $\lambda \leq 35$

Nenhuma verificação à flambagem é necessária.

Entretanto é sempre necessário a verificação à flexão composta - mesmo que a carga seja suposta centrada:

- . se cairmos no caso de armadura mínima (R. 53,111) as expressões já levam em conta a excentricidade adicional e não há necessidade de se aplicar  $\gamma_n = 1,2$  sobre  $\gamma_m$  {4}
- . se não for o caso de armadura mínima a excentricidade adicional deve ser considerada por uma das duas maneiras seguintes (R. 42, 111 g):

1º) majorando a excentricidade inicial ( $e_o$ ) e fazendo o cálculo à flexão composta com:

$$N_d = \gamma_f N$$

$$M_d = N_d (e_o + e_a)$$

onde  $e_a = \frac{h}{30} \geq 2 \text{ cm}$

2º) mantendo a excentricidade inicial ( $e_o$ ) mas majorando  $\gamma_m$  através do fator  $\gamma_n = 1,2$

2º caso -  $35 < \lambda \leq 140$

Deve ser feita a verificação à flambagem introduzindo-se os coeficientes  $\gamma$  definidos na R.22 com as combinações de carga de (R. 22, 21) e com considerações sobre deformação lenta.

Aqui também existem duas maneiras de se efetuar o cálculo

1º) flexão composta como se fosse peça curta com

$$N_d = \gamma_f N$$

$$e = e_o + e_2 \quad (\text{sem excentricidade acidental})$$

onde  $e_2 = \frac{1}{10} \frac{e}{r}$   $(\text{é dada uma expressão para avaliar } \frac{1}{r})$

e será necessário aplicar  $\gamma_n = 1,2$  sobre a resistência dos materiais (R.42,231)

Esse processo só pode ser aplicado caso a barra tenha eixo reto e seção constante com armadura simétrica.

## 2º) flexão composta com

$$N_d = \gamma_f N$$

$$e = e_o + e_a + e_2$$

onde  $e_a = \frac{h}{30} \geq 2 \text{ cm}$

e a excentricidade  $e_2$  será considerada através de um dos seguintes métodos:

. método geral (R. 42,21)

. método simplificado (R. 42,22)

isto é, não se permite aplicar o método aproximado (R. 42,23).

Entretanto no Boletim 103 (M. 42,23) o método do momento complementar ou método aproximado foi melhorado dando  $\mu \times \frac{1}{r}$  bem de acordo com o método geral. Nesse caso, o coeficiente de comportamento  $\gamma_n = 1,2$  pode ser abandonado e o método passa a poder ser aplicado com

$$N_d = \gamma_f N$$

$$M_d = N_d (e_o + e_a + e_2)$$

da mesma forma que o geral e o simplificado.

A limitação da armadura dada na R. 42,20.

$$\frac{A_s f_yd}{A_c f_{cd}} \geq 0,20$$

foi originalmente desenvolvida para o método aproximado. Investigações posteriores mostraram que os métodos podem ser usados abaixo desse limite.

A limitação da R. 53,111 é satisfatória.

#### 1.6.2. Segundo a NB-1/77 {1}

1º caso -  $\lambda \leq 40$

O efeito das deformações pode ser desprezado.

Se a excentricidade inicial ( $e_o$ ) for nula o cálculo pode ser feito como compressão simples com

$$N_d = 1,2 \gamma_f N \quad \text{NB-1/(4.1.1.3.4)}$$

Se  $e_o \neq 0$  calcula-se à flexão composta com

$$N_d = \gamma_f N$$

$$M_d = N_d (e_o + e_a)$$

onde  $e_a = \frac{h}{30} \geq 2 \text{ cm} \quad \text{NB-1/(4.1.1.3)}$

2º caso -  $40 < \lambda \leq 80$

O efeito das deformações deve ser considerado e permite-se a aplicação do método do momento complementar, caso a barra seja reta e com seção simétrica e constante - NB-1/(4.1.1.3.3).

O cálculo à flexão composta será feito com:

$$N_d = \gamma_f N$$

$$M_d = N_d (e_o + e_a + e_2)$$

onde  $e_2 = \frac{l^2}{10} \frac{e}{r}$

e é fornecida uma expressão para avaliar  $\frac{1}{r}$ .

3º caso -  $80 < \lambda \leq 140$

O cálculo será feito pelos métodos que consideram a relação momento-curvatura, isto é, método geral, método simplificado ou método do momento complementar corrigido - NB-1/(4.1.1.3.2).

## 2. Excentricidade em uma Única Direção

Métodos de análise e projeto:

### . Método Geral

É baseado na equação diferencial que traduz o comportamento da estrutura e as propriedades do material. Este método é aceito como a melhor aproximação do comportamento real da estrutura.

### . Método da Coluna Padrão

É baseado no estudo da situação real através de um modelo que permite uma abordagem mais simples do problema. Esse modelo é definido como uma coluna em balanço, engastada na base e flexionada com curvatura plana. A distribuição de curvatura produz um deslocamento no topo que dependerá, no modelo, somente de dois parâmetros: comprimento da coluna e curvatura da base.

A precisão do deslocamento do topo é melhorada por um fator de correção que depende apenas do diagrama de momentos de 1<sup>a</sup> ordem.

### . Método Aproximado

Consiste em avaliar o momento adicional através de uma expressão aproximada, baseada em testes e teoria. O momento adicional leva em conta os momentos de 2<sup>a</sup> ordem e permite que o cálculo seja feito como se fosse uma coluna curta.

Este método não depende da taxa de armadura sendo aconselhado para projeto preliminar.

### . Método Simplificado

Consiste em mostrar que é suficiente que exista um estado de equilíbrio entre esforços solicitantes e resultantes de tensões internas para um dado conjunto de cargas externas. Embora esse método não dê, geralmente, uma solução ótima, bons resultados podem ser obtidos se forem assumidos valores adequados para a curvatura, deslocamento e carga axial.

## 2.1. Método Geral

Definição (R. 42,21):

O projeto de barras comprimidas pode ser feito por uma análise racional do comportamento da estrutura incluindo-se, além dos efeitos das cargas, os efeitos de 2<sup>a</sup> ordem produzidos pelas deformações.

Esses efeitos de 2<sup>a</sup> ordem devem ser avaliados levando-se em conta, a influência da armadura na rigidez da barra e a deformação lenta correspondente às cargas de utilização.

A capacidade de carga está diretamente ligada à relação existente entre carregamento e deformação. É pois, essencial, basear os cálculos numa apropriada representação dos diagramas tensão-deformação do aço e do concreto.

A previsão sobre o comportamento de barras de concreto armado é dificultada por dois tipos de não linearidade:

### . Geométrica

resulta da influência das deformações no momento total; esse efeito é também conhecido como efeito de 2<sup>a</sup> ordem.

### . Física

resulta da resposta não linear do aço e do concreto nos respectivos diagramas tensão x deformação ( $\sigma \times \epsilon$ ) que provoca um diagrama curvo de momento x curvatura ( $M \times \frac{1}{r}$ ) que dependerá da taxa de armadura ( $w$ ) e da carga axial ( $v$ ).

Para se levar em conta a resposta não linear do comportamento - dos materiais é utilizada, no cálculo de colunas e pórticos de concreto armado, a teoria da elasticidade baseada nas rigidezes secantes.

Já a não linearidade geométrica é incorporada às equações diferenciais que regem o problema e a influência da carga axial aplicada é considerada por tentativas sucessivas até a convergência

do processo, isto é, até a carga normal obtida ser igual à carga normal assumida.

A variação do momento, portanto da curvatura, ao longo da barra impõe que seja feita uma subdivisão das barras para a análise da estrutura chegando-se assim a resultados com a precisão desejada. O método dos elementos finitos é o mais adaptado para essa análise.

A vantagem do método geral é a sua precisão e generalidade pois pode ser usado para todos os casos imagináveis.

A maior desvantagem é que ele requer o uso de computador. Entretanto, pode-se preparar tabelas e gráficos para os casos desejados e utilizá-los sempre. Para se achar a capacidade suporte da coluna é necessário aumentar gradualmente a carga externa e, a cada passo, computar o correspondente estado de equilíbrio.

A capacidade de carga de uma barra esbelta pode ser dada por diagramas de interação entre: esforço normal, momento fletor de 1ª ordem, taxa de armadura e esbeltez da peça.

Esses diagramas podem também ser utilizados na verificação de qualquer método simplificado ou, na obtenção de uma curvatura ou rigidez apropriadas para que os resultados estejam de acordo com o método geral.

A impossibilidade de se definir com uma única equação as relações  $\sigma \times \epsilon$  do concreto e aço faz com que a obtenção da relação  $\mu$ ,  $v$ ,  $\frac{1}{r}$  seja possível somente por processo iterativo.

## 2.2. Método da Coluna Padrão

Basicamente esse não é um novo método mas, sim, um caso especial do Método Geral.

### 2.2.1. Seção transversal constante

#### 2.2.1.1. 1<sup>a</sup> aproximação

O enorme trabalho exigido na aplicação do Método Geral é devido principalmente ao comportamento não linear dos materiais gerando a necessidade de se subdividir a coluna em trechos e se processar um cálculo iterativo.

A capacidade de carga de uma coluna em balanço pode ser determinada aproximadamente se o deslocamento da extremidade for assumido como função da altura da coluna e da curvatura da base.

A hipótese básica do método da coluna padrão é assumir-se que:

$$a = \frac{\pi^2}{10} \frac{e}{r} \quad (E-2-1)$$

onde,

$a$  = flecha da extremidade livre

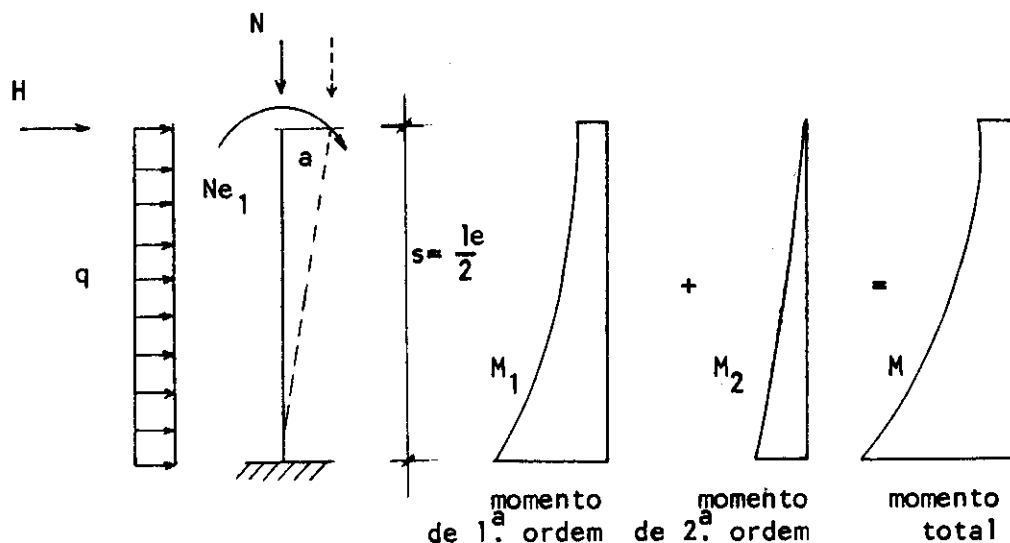
$$\frac{1}{r} = \text{curvatura da base}$$

Portanto define-se:

Coluna padrão é uma coluna em balanço com uma distribuição de curvatura tal que a flecha do topo pode ser determinada pela expressão (E-2-1).

Essa expressão é exata se a elástica for senoidal desde que se considere  $\pi^2 \approx 10$  e exata também para outras distribuições de curvatura. Por outro lado a expressão (E-2-1) pode ser interpretada como o 1º termo da série de Fourier relativa à forma real da elástica o que significa que é uma boa aproximação da flecha em vários casos práticos.

Esquematizando:



$$M = M_1 + M_2 \quad \text{ou} \quad \mu = \mu_1 + \mu_2$$

$M$  = momento total cujo adimensional é  $\mu$

$M_1$  = momento de 1<sup>a</sup> ordem cujo adimensional é  $\mu_1$

$M_2$  = momento de 2<sup>a</sup> ordem ou  
momento complementar cujo adimensional é  $\mu_2$

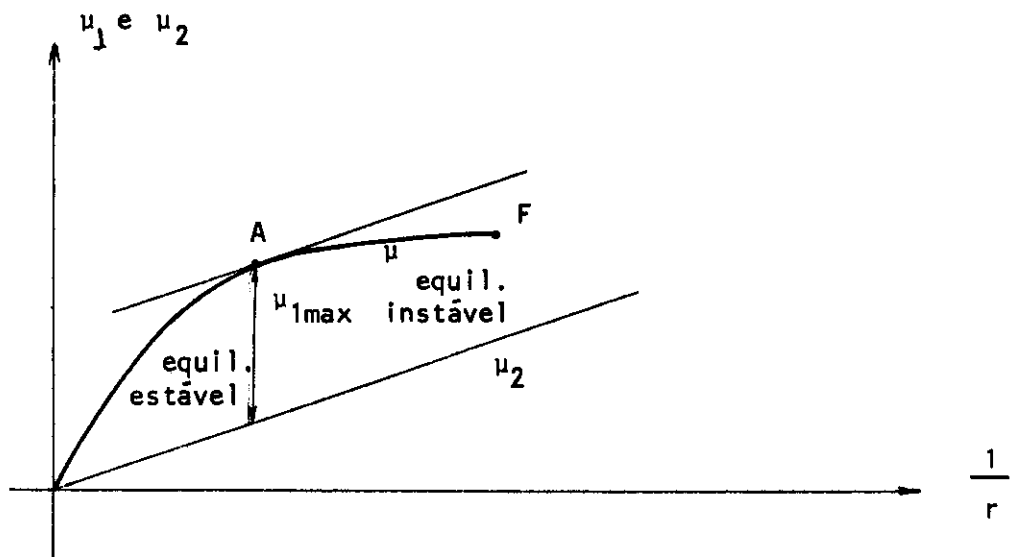
O objetivo do método é determinar o máximo momento de 1<sup>a</sup> ordem ( $\mu_1$ ) que a coluna pode suportar.

Deve se conhecer as propriedades dos materiais, a seção transversal da coluna e a carga axial no topo.

Obtem-se o valor de  $\mu_1$  utilizando-se:

$$1º) a = \frac{l^2}{10} \times \frac{1}{r} \text{ para obter } \mu_2 = \frac{v a}{h}$$

2º) Gráfico de  $\mu \times \frac{1}{r} \times v$  para a seção da base.

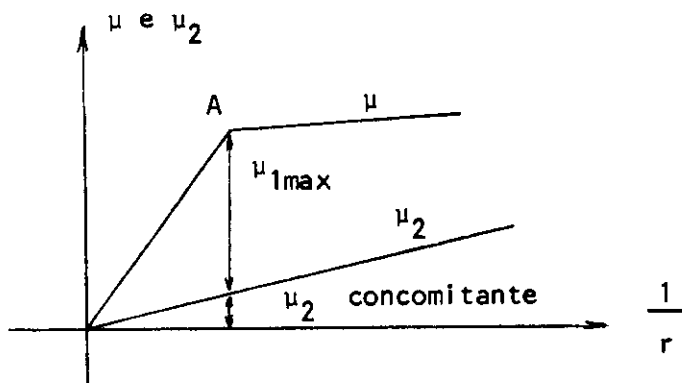


O ponto F é o ponto correspondente ao estado limite último de ruptura da seção determinado ou por  $\epsilon_c$  máximo ou por  $\epsilon_s$  máximo.

O ponto corresponde à curvatura em que o valor  $\mu_1$  é máximo e é denominado estado limite último de perda de estabilidade. A partir do ponto A pode haver estado de equilíbrio com valores menores de  $\mu_1$  mas será um equilíbrio instável pois qualquer aumento na flecha com consequente aumento da curvatura da base faz com que a parcela  $\mu_2$  do momento externo aumente mais que o momento interno  $\mu_1$  (a partir do ponto A a tangente  $\mu \times \frac{1}{r}$  é menor que a tangente de  $\mu_2 \times \frac{1}{r}$ ).

### 2.2.1.2. 2<sup>a</sup> aproximação

Nas deduções a seguir, foi admitido que  $\mu \propto \frac{1}{r}$  para  $v = \text{cte}$  se comporte, praticamente, como um gráfico composto por 2 retas



Sabe-se que em peças esbeltas o ponto A está na vizinhança do "cotovelo" da curva  $\mu \propto \frac{1}{r}$ , o que justifica a boa aproximação de se considerar M como função linear de  $\frac{1}{r}$ .

$$\frac{1}{r} = \frac{M}{EI} = \frac{M_1 + M_2}{EI} \quad (\text{E-2-2})$$

chamando

$$\frac{1}{r_1} = \frac{M_1}{EI} \quad \text{e} \quad \frac{1}{r_2} = \frac{M_2}{EI} \quad (\text{E-2-3})$$

temos:

$$\frac{1}{r} = \frac{1}{r_1} + \frac{1}{r_2}$$

A flecha no topo da coluna, calculada por

$$a = \frac{\frac{1}{10} e^2}{r} = \frac{(2s)^2}{10} \frac{1}{r} = 0,4 s^2 \frac{1}{r}$$

pode ser subdividida em duas parcelas

$$a = 0,4 s^2 \frac{1}{r_1} + 0,4 s^2 \frac{1}{r_2}$$

A primeira parcela, correspondente aos momentos de 1<sup>a</sup> ordem, admite uma correção que pode alterar o coeficiente 0,4.

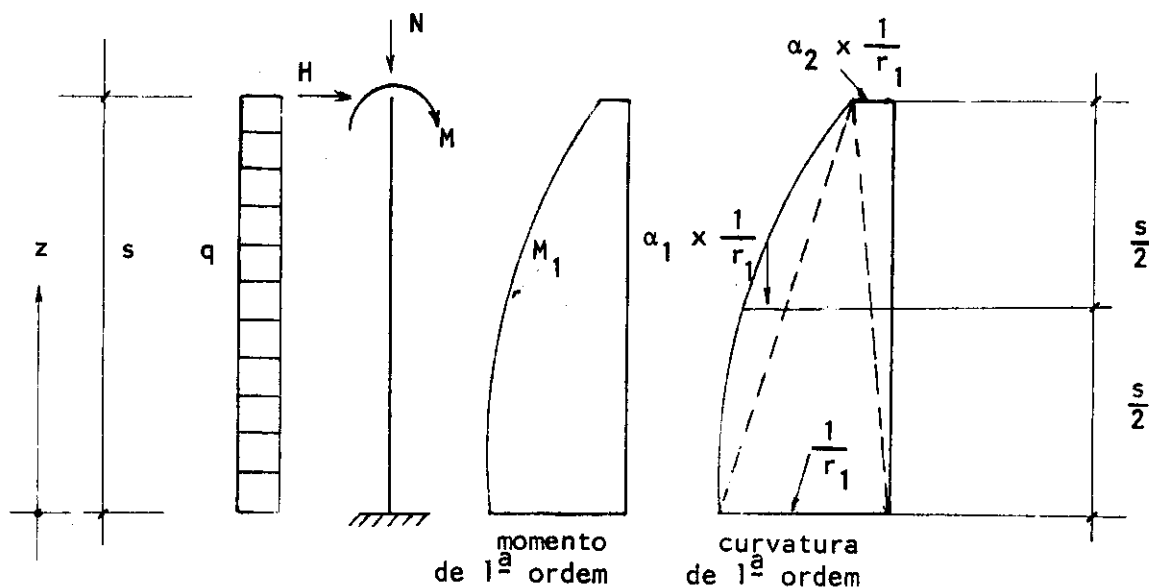
Teremos então um valor corrigido da flecha no topo:

$$a_c = a_{1c} + a_2 = a_{1c} + 0,4 s^2 \frac{1}{r_2}$$

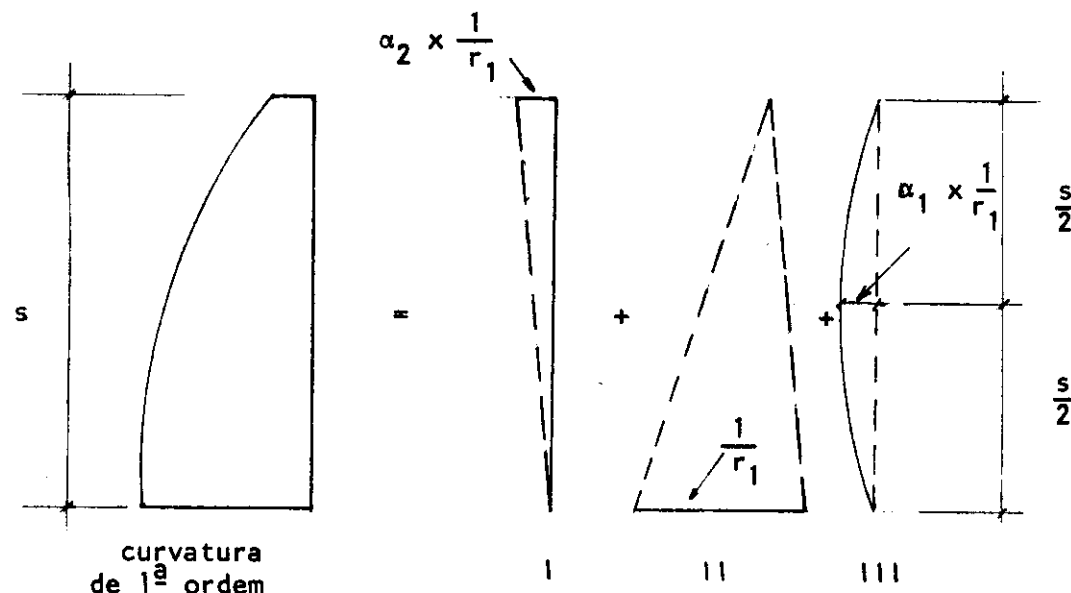
e o momento de 1ª ordem será:

$$M_{1c} = M - M_{2c} = M - N (a_{1c} + a_2)$$

Introduzindo agora a notação esquematizada na figura onde  $\frac{1}{r_1}$  é a curvatura de 1ª ordem da base



Isto é, o diagrama de curvatura foi subdividido em 3 diagramas parciais



$\alpha_1$  = fator que, multiplicado pela curvatura da base  $(\frac{1}{r_1})$   
dá a curvatura a meia altura da barra, do diagrama  
parcial parabólico

$\alpha_2$  = fator que, multiplicado pela curvatura da base  $(\frac{1}{r_1})$   
dá a curvatura da extremidade da barra

Escrevendo a expressão da curvatura, que corresponde à 2<sup>a</sup> derivada da elástica de 1<sup>a</sup> ordem, temos:

no I) comportamento linear

$$\eta'' = (\alpha_2 - \frac{1}{r_1}) \frac{z}{s}$$

no II) comportamento linear

$$\eta'' = (\frac{1}{r_1}) \frac{s-z}{s}$$

no III) comportamento parabólico

$$\eta'' = (\alpha_1 - \frac{1}{r_1}) 4 \frac{(sz-z^2)}{s^2}$$

Integrando duas vezes obtem-se a equação da elástica ( $\eta$ )

no I)

$$\eta = (\alpha_2 - \frac{1}{r_1}) \frac{z^3}{6s}$$

no II)

$$\eta = (\frac{1}{r_1}) (\frac{sz^2}{2} - \frac{z^3}{6}) \frac{1}{s}$$

no III)

$$\eta = (\alpha_1 - \frac{1}{r_1}) (\frac{sz^3}{6} - \frac{z^4}{12}) \frac{4}{s^2}$$

as quais para  $z=s$  dão o valor das 3 parcelas da flecha de 1<sup>a</sup> ordem no topo.

$$a_1 = \alpha_2 \left( \frac{1}{r_1} \right) - \frac{s^2}{6}$$

$$a_{11} = \left( \frac{1}{r_1} \right) - \frac{s^2}{3}$$

$$a_{111} = \alpha_1 \left( \frac{1}{r_1} \right) - \frac{s^2}{3}$$

Somando as três parcelas

$$a_{1c} = \frac{1}{r_1} \left( 1 + \alpha_1 + \frac{\alpha_2}{2} \right) - \frac{s^2}{3}$$

e lembrando que

$$a_2 = \frac{\frac{1^2 e}{10}}{r_2} = \frac{(2s)^2}{10} \frac{1}{r_2} = 0,4 s^2 \left( \frac{1}{r_2} \right)$$

pode-se, utilizando as expressões (E-2-3), exprimir:

$$a_{1c} = \frac{M_1}{EI} \left( 1 + \alpha_1 + \frac{\alpha_2}{2} \right) - \frac{s^2}{3}$$

$$a_2 = \frac{M_2}{EI} 0,4 s^2$$

Somando, temos a flecha corrigida:

$$a_c = a_{1c} + a_2 = \frac{M_1}{EI} \left( 1 + \alpha_1 + \frac{\alpha_2}{2} \right) - \frac{s^2}{3} + \frac{M_2}{EI} 0,4 s^2$$

e, pelas expressões (E-2-1) e (E-2-3) temos a flecha sem correção:

$$a = \frac{\frac{1^2 e}{10}}{r} = \frac{(2s)^2}{10} \times \frac{M}{EI} = 0,4 s^2 \frac{M}{EI}$$

Utilizando a relação:

$$\frac{M_{2c}}{M_2} = \frac{Na_c}{Na} = \frac{M_1 \left( 1 + \alpha_1 + \frac{\alpha_2}{2} \right) \frac{s^2}{3} + M_2 0,4 s^2}{M 0,4 s^2}$$

e, chamando:

$$M_1 \left( 1 + \alpha_1 + \frac{\alpha_2}{2} \right) - \frac{s^2}{3} = A$$

temos:

$$\frac{M_{2c}}{M_2} = \frac{A + 0,4 s^2 M_2}{0,4 s^2 M} = \frac{2,5 A}{s^2 M} + \frac{M_2}{M}$$

com:

$$M = M_{1c} + M_{2c}$$

$$M_{1c} = M - M_{2c}$$

$$M_{1c} = M - \left( \frac{2,5 A}{s^2} + \frac{M_2}{M} \right) - \frac{M_2}{M}$$

ou

$$M_{1c} = M - \left( \frac{2,5 A}{s^2} + (M - M_1) \right) - \frac{M_2}{M}$$

$$M_{1c} = M - \left( \frac{2,5 A}{s^2} - \frac{M_2}{M} + M_2 - \frac{M_1 M_2}{M} \right)$$

$$M_{1c} = M_1 - \frac{2,5 A}{s^2} - \frac{M_2}{M} + \frac{M_1 M_2}{M}$$

dividindo por  $M_1$ :

$$\frac{M_{1c}}{M_1} = 1 - \frac{2,5 A}{s^2} - \frac{M_2}{M M_1} + \frac{M_2}{M}$$

$$\frac{M_{1c}}{M_1} = 1 - 2,5 \frac{M_2}{M_1} - \left( \frac{A}{s^2 M} \right) + \frac{M_2}{M}$$

$$\frac{M_{1c}}{M_1} = 1 - 2,5 \frac{M_2}{M_1} \left( \frac{M_1 \left( 1 + \alpha_1 + \frac{\alpha_2}{2} \right) - \frac{s^2}{3}}{s^2 M} \right) + \frac{M_2}{M}$$

$$\frac{M_{1c}}{M_1} = 1 - 2,5 \frac{M_2}{M} \left( 1 + \alpha_1 + \frac{\alpha_2}{2} \right) - \frac{1}{3} + \frac{M_2}{M}$$

$$\frac{M_{1c}}{M_1} = 1 + \frac{M_2}{M} \left( -\frac{2,5}{3} - \frac{2,5\alpha_1}{3} - \frac{2,5\alpha_2}{6} + 1 \right)$$

$$\frac{M_{1c}}{M_1} = 1 + \frac{M_2}{M} \left( \frac{1}{6} - \frac{5}{6}\alpha_1 - \frac{5}{12}\alpha_2 \right)$$

chamando a expressão que está dentro do parênteses de  $\alpha_c$ :

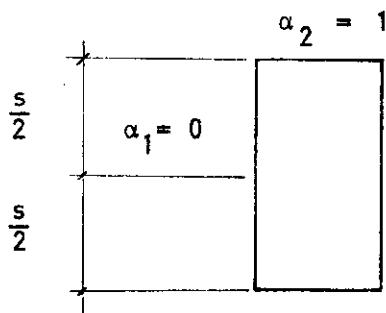
$$M_{1c} = M_1 \left( 1 + \frac{M - M_1}{M} \alpha_c \right)$$

Aplicação: cálculo de  $\alpha_c$  para casos particulares do diagrama de  $M_1$

$$\alpha_c = \frac{1}{6} - \frac{5}{6}\alpha_1 - \frac{5}{12}\alpha_2$$

Deve-se observar que, quando  $\alpha_c$  é negativo,  $M_{1c}$  é menor que  $M_1$ , isto é, sem a correção estaríamos contra a segurança.

a) retangular ( $\alpha_c$  sempre negativo)

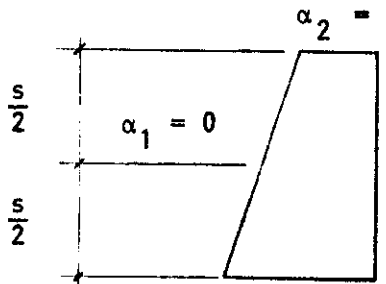


$$\alpha_1 = 0$$

$$\alpha_2 = 1$$

$$\alpha_c = \frac{1}{6} - \frac{5}{12} = -0,25$$

b) trapezoidal ( $\alpha_c$  pode ser positivo ou negativo)



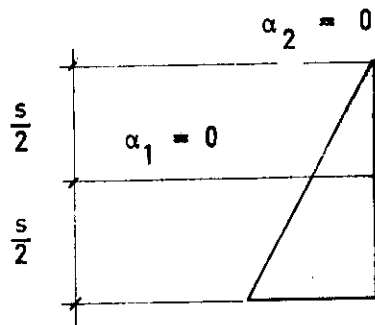
$$\alpha_1 = 0$$

$$\alpha_2 = k$$

$$\alpha_c = \frac{1}{6} - \frac{5}{12}k$$

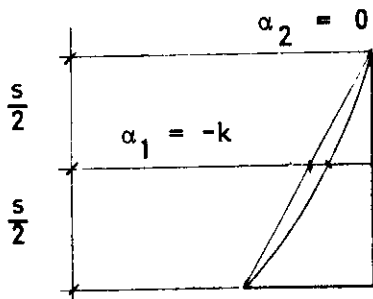
para $k = 0,3$	$\alpha_c = + 0,04$
$k = 0,4$	$\alpha_c = 0$
$k = 0,5$	$\alpha_c = - 0,04$

c) triangular ( $\alpha_c$  sempre positivo)



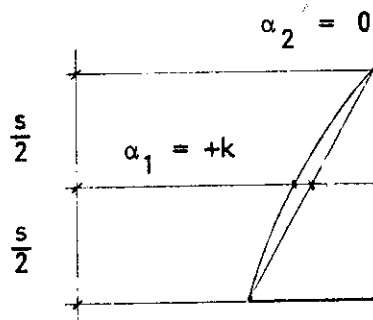
$$\begin{aligned}\alpha_1 &= 0 \\ \alpha_2 &= 0 \\ \alpha_c &= \frac{1}{6} = 0,17\end{aligned}$$

d) parabólico côncavo ( $\alpha_c$  sempre positivo)



$$\begin{aligned}\alpha_1 &= -k \\ \alpha_2 &= 0 \\ \alpha_c &= \frac{1}{6} + \frac{5}{6} k\end{aligned}$$

e) parabólico convexo ( $\alpha_c$  pode ser positivo ou negativo)



$$\begin{aligned}\alpha_1 &= +k \\ \alpha_2 &= 0 \\ \alpha_c &= \frac{1}{6} - \frac{5}{6} k\end{aligned}$$

Sintetizando, para a aplicação do método da coluna padrão, deve-se:

1º) traçar o gráfico de  $\mu \times \frac{1}{r}$  para  $v$  e  $w$  conhecidos

2º) traçar o gráfico de  $\mu_2 = v \cdot \frac{a}{h}$

3º) determinar  $\mu_1$  na curvatura em que

$$\mu_1 = \mu - \mu_2 \quad \text{é máximo}$$

4º) corrigir  $\mu_1$  em função do diagrama de momentos de 1ª ordem.

Para traçar o diagrama de  $\mu \times \frac{1}{r}$  procede-se da forma iterativa:

- 1) Assume-se um valor inicial para a curvatura  $\frac{1}{r}$ .
- 2) Assume-se um valor inicial para a deformação no centro geométrico da seção transversal.
- 3) Determina-se a tensão em cada faixa da subdivisão em função da deformação assumida e das equações de  $\sigma \times \epsilon$  para o aço e o concreto.
- 4) A integral da tensão na seção transversal fornece a carga normal ( $v_i$ ) e o momento fletor ( $\mu_i$ )
- 5) Se o esforço normal obtido em (4) não coincidir com o esforço normal aplicado na seção retorna-se ao item (2) e assume-se um novo valor para a deformação no centro geométrico.  
Se o esforço normal obtido em (4) coincidir com o esforço normal aplicado na seção foi obtido um ponto da curva  $\mu \times \frac{1}{r}$ .
- 6) Reinicia-se o processo em (1) com um novo valor da curvatura  $(\frac{1}{r})$  para se obter um novo ponto do gráfico de  $\mu \times \frac{1}{r}$ .

Podem ser incorporados ao cálculo do diagrama de  $\mu \times \frac{1}{r}$  os efeitos de:

- . deformação lenta
- através de artifícios especiais
- . retração

subtraindo-se  $\epsilon_{sh}$  (deformação de retração) da deformação total antes de se calcular a tensão no concreto

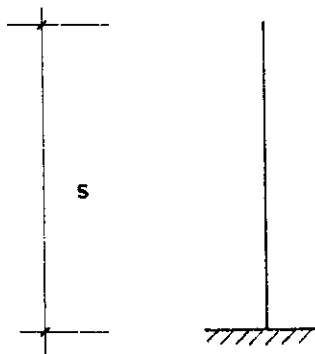
. protensão

adicionando-se  $\epsilon_p$  (deformação inicial de protensão do aço) à deformação e devida à deformação da seção. A deformação total da armadura será  $\epsilon + \epsilon_p$ .

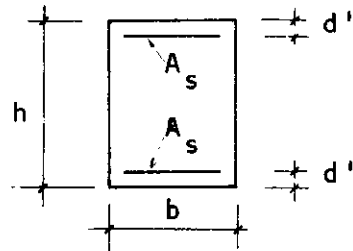
Foi desenvolvido, neste trabalho, um programa para a HP-67 que fornece os valores de  $\mu \times \frac{1}{r}$ . (Anexo nº 1)

### Exemplos numéricos

1) Qual o máximo valor de  $\mu_1$ , na direção paralela à altura  $h$  da seção?



seção transversal



$$\text{Dados: } \frac{1}{r} = \frac{2s}{h} = 20$$

$\epsilon_{yd} = 2\%$  (aço classe A)

$$\omega = \frac{f_{yd} A_s}{0,85 f_{cd} A_c} = 0,2$$

$$\frac{d'}{h} = 0,1$$

$$v = \frac{N_d}{0,85 f_{cd} A_c} = 0,5$$

a) Determinação dos valores de  $\mu^*$  e  $\mu_2$  em função de  $\frac{h}{r}$

$$\mu_2 = v \frac{a}{h} = v \frac{\frac{1}{r}^2}{10} \frac{1}{r} \frac{1}{h} = v \frac{\frac{1}{r}^2}{10} \frac{h}{r} \frac{1}{h^2}$$

$$\mu_2 = \frac{v}{10} \left( \frac{1}{h} \right)^2 \frac{h}{r} = \frac{0,5}{10} (20)^2 \frac{h}{r} = 20 \frac{h}{r}$$

\* obtidos com o processamento do programa (anexo nº 1) até o valor de  $\frac{h}{r}$  correspondente ao estado limite último.

$\frac{h}{r}$	$\mu$	$\mu_2$	$\mu_1 = \mu - \mu_2$
0,0010	0,095	0,020	0,075
0,0020	0,160	0,040	0,120
0,0030	0,205	0,060	0,145
0,0040	0,243	0,080	0,163
0,0050	0,262	0,100	0,162
0,0060	-	-	-
			$ \epsilon_c  > 3,5\%$

pode-se ver pelos resultados obtidos que  $\mu_1$  máximo ocorrerá entre  $\frac{h}{r} = 0,0030$  e  $\frac{h}{r} = 0,0050$

$\frac{h}{r}$	$\mu$	$\mu_2$	$\mu_1 = \mu - \mu_2$
0,0030	0,205	0,060	0,145
0,0035	0,225	0,070	0,155
0,0040	0,243	0,080	0,163
0,0045	0,254	0,090	0,164
0,0050	0,262	0,100	0,162

com esses novos resultados, vê-se que  $\mu_{1 \max}$  estará entre  $\frac{h}{r} = 0,040$  e  $\frac{h}{r} = 0,0050$

0,0040	0,243	0,080	0,163
0,00425	0,250	0,085	0,165
0,045	0,254	0,090	0,164
0,00475			
0,050	0,262	0,100	0,162

com o resultado de  $\mu_1$  para  $\frac{h}{r} = 0,00425$  pode-se afirmar que  $\mu_{1\max}$  estará no intervalo  $0,0040 < \frac{h}{r} < 0,0045$  e considera-se concluído o exercício com

$$\mu_{1\max} = 0,165$$

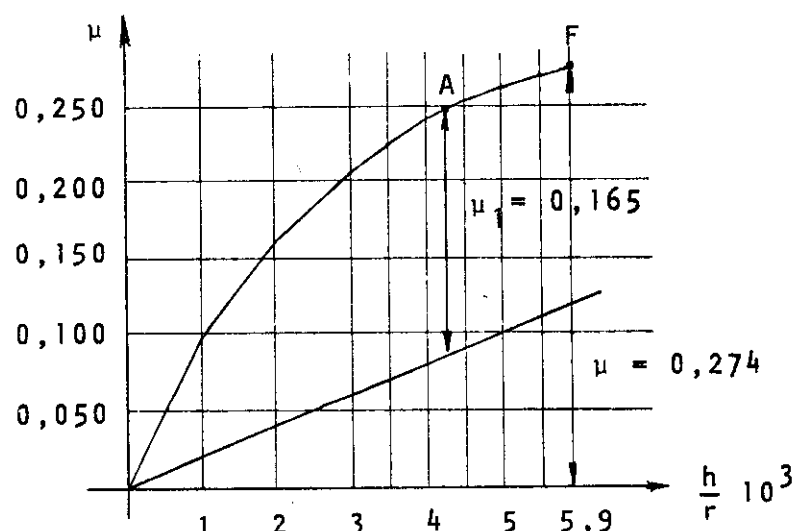
Procurando agora o ponto correspondente ao estado limite último de rutura do material, sabe-se que ocorrerá para  $\frac{h}{r} < 0,0060$  pois, com essa curvatura a deformação na fibra mais comprimida do concreto é maior que 3,5 %.

$\frac{h}{r}$	$\mu$
0,0055	0,269
0,0056	0,270
0,0057	0,271
0,0058	0,273
0,0059	0,274

O valor máximo de  $\mu$  será

$$\mu = 0,274$$

Colocando em gráfico os valores obtidos temos:



Comparando-se os resultados com os valores da tabela RC 20/10 do Boletim 103 temos: (anexo nº 2)

$\frac{1}{h} e$	$\nu$	0,5
0	0,2	0,274
20	0,2	0,165

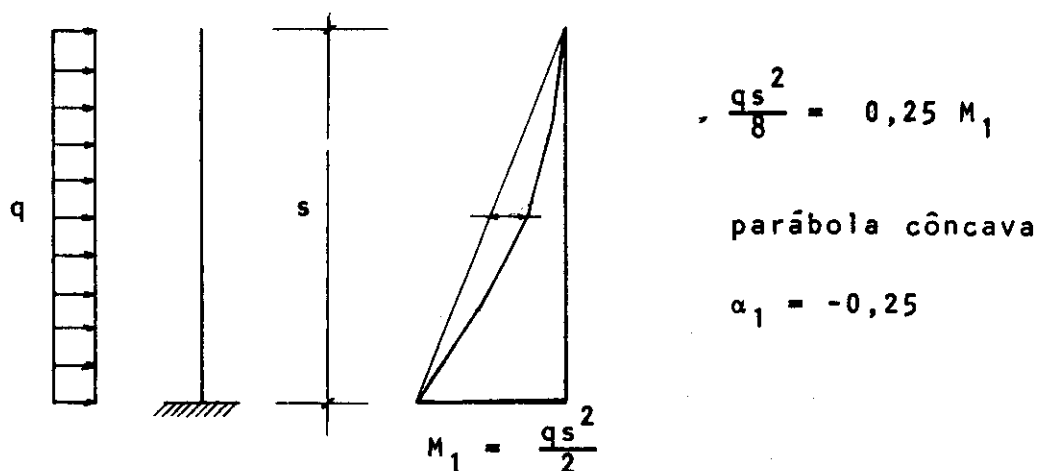
b) Correção do valor de  $\mu_1$  em função da forma do diagrama de momentos de 1ª ordem

. se o diagrama de fletores for constante ( $\alpha_c = -0,25$ )

$$\mu_{1c} = \mu_1 \left( 1 + \frac{\mu - \mu_1}{\mu} \alpha_c \right)$$

$$\begin{aligned} \mu_{1c} &= 0,165 \left( 1 + \frac{0,274 - 0,165}{0,274} \times 0,25 \right) = 0,165 (0,9) = \\ &= 0,148 \end{aligned}$$

. se o diagrama de fletores for parabólico, provocado por uma carga horizontal uniformemente distribuída ao longo da altura



$$\alpha_c = \frac{1}{6} - \frac{5}{6} \alpha_1 - \frac{5}{12} \alpha_2 = \frac{1}{6} - \frac{5}{6} (-0,25) - 0 = 0,38$$

$$\mu_{1c} = 0,165 \left(1 + \frac{0,274 - 0,165}{0,274} \times 0,38\right) = 0,165 (1,15) = 0,190$$

2) Calcular o valor de  $\mu_1$  para uma coluna em balanço, com  $\frac{l_e}{h}$  variando: 0, 10, 20, 30, 40 pelo

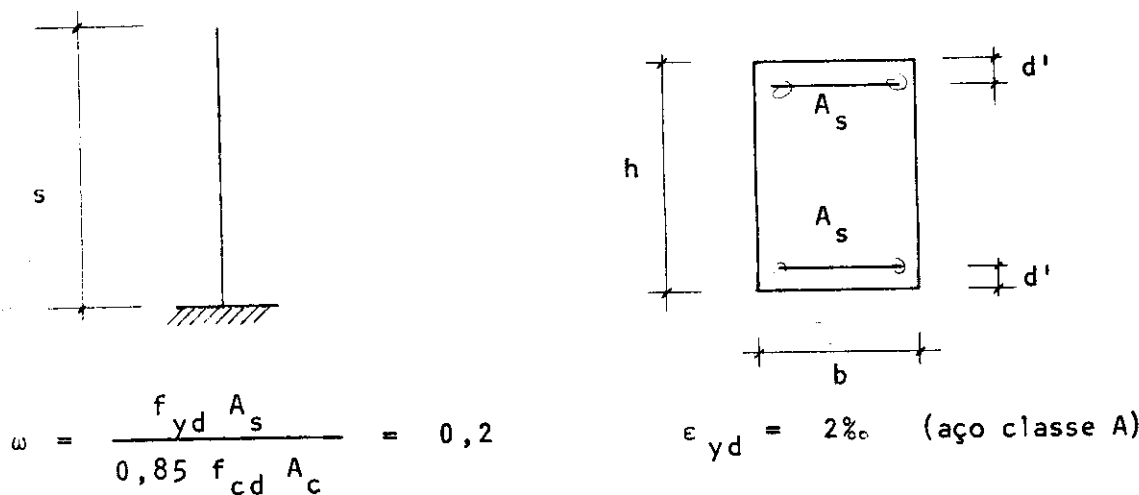
a) método geral

b) método da coluna padrão

c) método corrigido da coluna padrão

Considerar o momento fletor constante ao longo da barra

Seção transversal



$$\nu = \frac{N_d}{0,85 f_{cd} A_c} = 0,4 \quad \frac{d'}{h} = 0,1$$

a) pelo método geral: (valores fornecidos pelo Boletim 103)

$\frac{l_e}{h}$	0	10	20	30	40
$\mu_1$	0,278	0,250	0,181	0,088	0,029

b) pelo método da coluna padrão:

$\frac{h}{r}$	$\mu$
0,0005	0,044
0,0010	0,096
0,0015	0,128
0,0020	0,154
0,0025	0,177
0,0030	0,198
0,0035	0,219
0,0040	0,238

$\frac{h}{r}$	$\mu$
0,0045	0,256
0,0050	0,270
0,0055	0,276
0,0060	0,277
0,0065	0,277
0,0070	0,278

$$\mu_2 = \frac{v}{10} \left( \frac{1}{\frac{e}{h}} \right)^2 \frac{h}{r} = \frac{0,4}{10} \left( \frac{1}{\frac{e}{h}} \right)^2 \frac{h}{r}$$

$\frac{h}{r} \cdot 10^3$	$\frac{1}{\frac{e}{h}} = 10$		$\frac{1}{\frac{e}{h}} = 20$		$\frac{1}{\frac{e}{h}} = 30$		$\frac{1}{\frac{e}{h}} = 40$	
	$\mu_2$	$\mu_1 = \mu - \mu_2$						
0,5	0,002	0,042	0,008	0,036	0,018	0,026	0,032	0,012
1,0	0,004	0,092	0,016	0,080	0,036	0,060	0,064	0,032
1,5	0,006	0,122	0,024	0,104	0,054	0,074	0,096	0,032
2,0	0,008	0,146	0,032	0,122	0,072	0,082		
2,5	0,010	0,167	0,040	0,137	0,090	0,087		
3,0	0,012	0,186	0,048	0,150	0,108	0,090		
3,5	0,014	0,205	0,056	0,163	0,126	0,093		
4,0	0,016	0,222	0,064	0,174	0,144	0,094		
4,5	0,018	0,238	0,072	0,184	0,162	0,094		
5,0	0,020	0,250	0,080	0,190				
5,5	0,022	0,254	0,088	0,188				
6,0	0,024	0,253						

procurando o valor máximo de  $\mu_1$  para cada valor de  $\frac{1}{h}e$ :

$\frac{1}{h}e = 10$			
$\frac{h}{r} \cdot 10^3$	$\mu$	$\mu_2$	$\mu_1 = \mu - \mu_2$
5,0	0,270	0,020	0,250
5,25	0,275	0,021	0,254
5,5	0,276	0,022	0,254
5,75	0,277	0,023	0,254
6,0	0,277	0,024	0,253

$\frac{1}{h}e = 20$			
$\frac{h}{r} \cdot 10^3$	$\mu$	$\mu_2$	$\mu_1 = \mu - \mu_2$
4,5	0,256	0,072	0,184
4,75	0,265	0,076	0,189
5,0	0,270	0,080	0,190
5,25	0,275	0,084	0,191
5,5	0,277	0,088	0,188

$\frac{1}{h}e = 30$			
$\frac{h}{r} \cdot 10^3$	$\mu$	$\mu_2$	$\mu_1 = \mu - \mu_2$
4,0	0,238	0,144	0,094
4,25	0,247	0,153	0,094
4,5	0,256	0,162	0,094

$\frac{1}{h}e = 40$			
$\frac{h}{r} \cdot 10^3$	$\mu$	$\mu_2$	$\mu_1 = \mu - \mu_2$
1,0	0,096	0,064	0,032
1,25	0,113	0,080	0,033
1,5	0,128	0,096	0,032

resumindo, pelo método da coluna padrão:

$\frac{1}{h}e$	0	10	20	30	40
$\mu_1$	0,278	0,254	0,191	0,094	0,033

c) Pelo método corrigido da coluna padrão

$$\alpha_c = \frac{1}{6} - \frac{5}{6} \alpha_1 - \frac{5}{12} \alpha_2$$

para momento fletor constante:

$$\alpha_1 = 0$$

$$\alpha_2 = 1$$

$$\alpha_c = \frac{1}{6} - \frac{5}{12} = -0,25$$

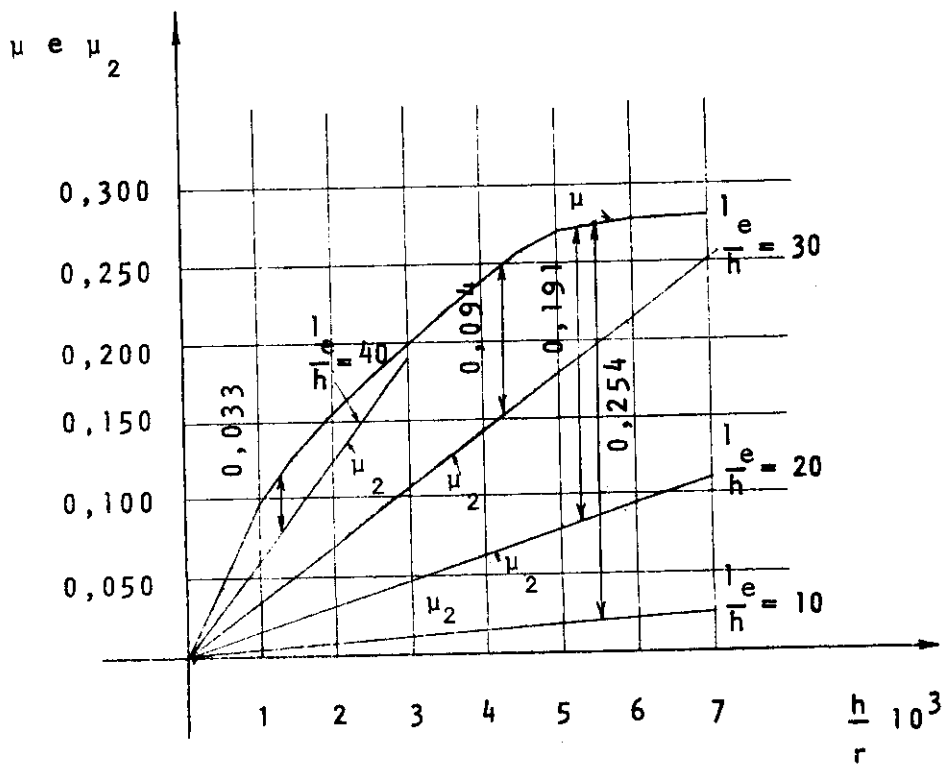
$$\mu_{1c} = \mu_1 \left( 1 + \frac{\mu - \mu_1}{\mu} \alpha_c \right) = \mu_1 \left( 1 - \frac{0,278 - \mu_1}{0,278} 0,25 \right)$$

$\frac{l_e}{h}$	0	10	20	30	40
$\mu_1$	0,278	0,254	0,191	0,094	0,033
$1 - \frac{\mu - \mu_1}{\mu} \alpha_c$	1	0,978	0,922	0,835	0,780
$\mu_{1c}$	0,278	0,249	0,176	0,078	0,026

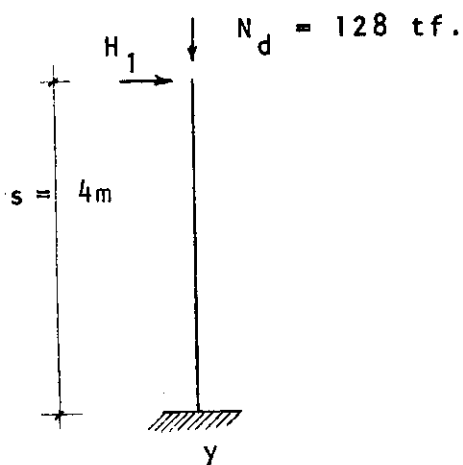
Comparando os tres resultados:

$\frac{l_e}{h}$	0	10	20	30	40	Observações
método geral	0,278	0,250	0,181	0,088	0,029	
coluna padrão	0,278	0,254	0,191	0,094	0,033	contra a segurança
coluna padrão corrigido	0,278	0,249	0,176	0,078	0,026	a favor da segurança

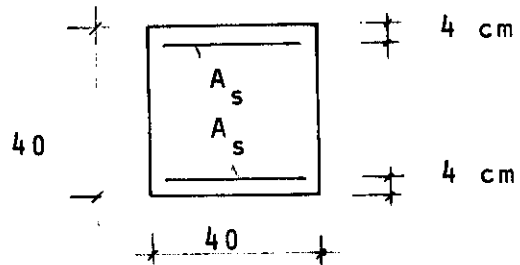
Colocando em gráfico os valores obtidos temos:



- 3) Qual a máxima força horizontal ( $H_1$ ) que pode ser aplicada no topo da coluna da figura:



seção transversal:  
(40 x 40)



Dados:

$$\nu = \frac{N_d}{0,85 f_{cd} A_c} = 0,4$$

$$\frac{e}{h} = 20$$

$$A_s = 15,1 \text{ cm}^2$$

$$\epsilon_{yd} = 2 \% \quad (\text{classe A})$$

$$f_{yd} = 4,2 \text{ tf/cm}^2$$

---

Foram dados diretamente os valores de  $f_{yd}$  e  $0,85 f_{cd}$  ao invés de se definir o aço e o concreto através de seus valores característicos para repetir o exemplo do Boletim 103, adaptando-o somente às unidades usuais entre nós.

$$0,85 f_{cd} = 0,2 \text{ tf/cm}^2$$

Calculando temos:

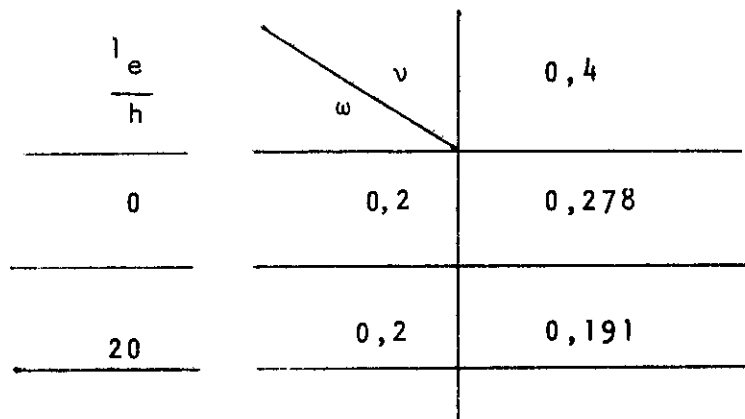
$$\omega = \frac{f_y d A_s}{0,85 f_{cd} A_c} = \frac{4,2 \times 15,1}{0,2 \times 40 \times 40} = 0,2$$

Conhecidos  $v$  e  $\omega$  fica determinado o gráfico de  $\mu \times \frac{1}{r}$  e, conhecido  $\frac{1}{r}$ , conhece-se o valor de  $\mu_2$ .

Pelos resultados do exemplo anterior temos para  $\frac{1}{r} = 20$ :

$$\mu = 0,278 \quad \text{e} \quad \mu_1 = 0,191$$

valores esses que coincidem com os valores da tabela RC 20/10 do Boletim 103 (anexo nº 2)



Aplicando sobre  $\mu$ , a correção:

$$\alpha_c = \frac{1}{6} - \frac{5}{6} \alpha_1 - \frac{5}{12} \alpha_2$$

temos, para diagrama triangular de fletores:

$$\alpha_1 = 0$$

$$\alpha_2 = 0$$

$$\alpha_c = \frac{1}{6} = 0,17$$

$$\mu_{1c} = \mu_1 \left( 1 + \frac{\mu - \mu_1}{\mu} \alpha_c \right) = 0,191 \left( 1 + \frac{0,278 - 0,191}{0,278} 0,17 \right)$$

$$\mu_{1c} = 0,191 (1,053) = 0,201$$

O valor de  $H_1$  será:

$$H_1 = \frac{M_1}{s} = \frac{\mu_{1c} (0,85 f_{cd} A_c) h}{s} = \frac{0,201 (0,2 \times 40^2) 40}{400}$$

$$H_1 = 6,43 \text{ tf.}$$

A análise exata, utilizando o método dos Elementos Finitos, dá como resultado:

$$H_{1\max} = 6,8 \text{ tf.}$$

Sem aplicar a correção sobre  $\mu_1$  teríamos obtido:

$$H_1 = \frac{0,191 (0,85 f_{cd} A_c) h}{s} = \frac{0,191 (0,2 \times 40^2) 40}{400}$$

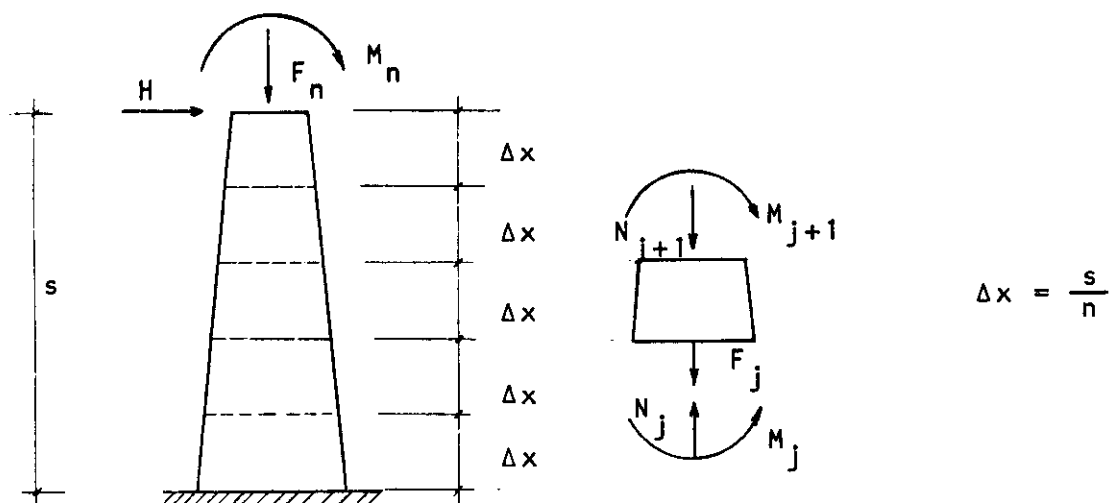
$$H_1 = 6,11 \text{ tf.}$$

Neste caso particular de diagrama triangular de fletores, o cálculo de  $\mu_1$  sem aplicar o fator de correção  $\alpha_c$  dá um valor a favor da segurança.

### 2.2.2. Seção transversal variável

A coluna de seção variável, sujeita a carga axial pode ser calculada por um processo que se baseia no método das diferenças finitas usando as séries de Taylor.

A coluna em balanço da figura abaixo é dividida em  $n$  partes iguais de comprimento  $\Delta x$



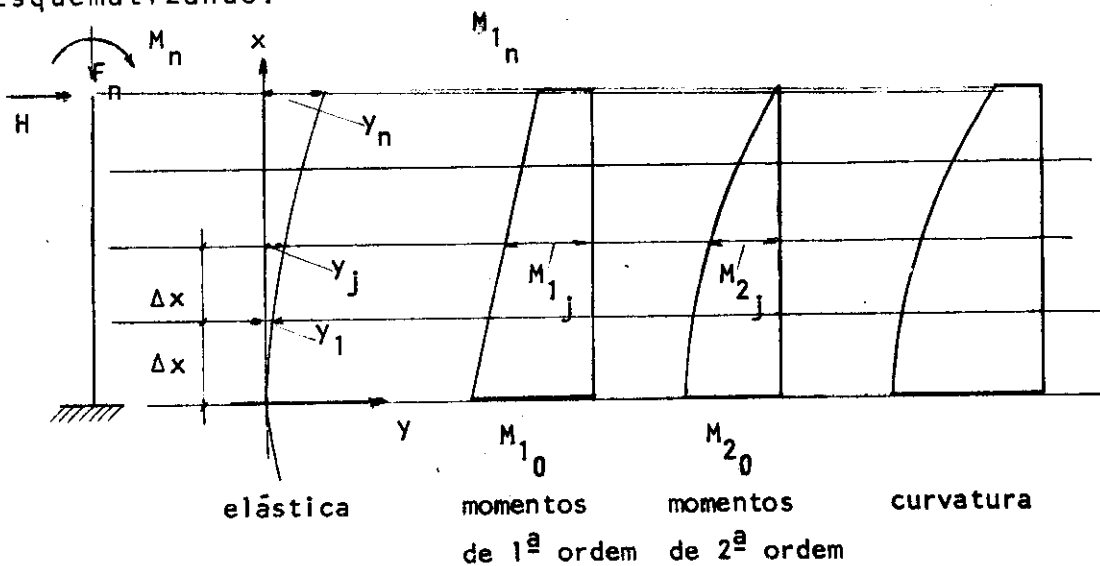
onde,

$j =$  índice que indica uma seção genérica

$j = 0$  indica a seção da base

$j = n$  indica a seção do topo

Esquematizando:



onde foi utilizada a notação:

$$M_{1j} = \text{momento de 1ª ordem na seção } j$$

$$M_{2j} = \text{momento de 2ª ordem na seção } j$$

$$M_j = M_{1j} + M_{2j} = \text{momento total na seção } j$$

O deslocamento do ponto  $j$  que seria expresso por uma função  $y = f(x)$  pode ser determinado pela série de Taylor considerando-se apenas os três primeiros termos da série:

$$y_j = y_{j-1} + \Delta x \left[ \frac{dy}{dx} \Big|_{j-1} + \frac{\Delta x^2}{2} \frac{d^2y}{dx^2} \Big|_{j-1} + \dots \right]$$

e, com o processo que se baseia no método das diferenças finitas, temos:

$$y_j = y_{j-1} + \Delta x \frac{y_j - y_{j-2}}{2(\Delta x)} + \frac{\Delta x^2}{2} \frac{1}{r_{j-1}} + \dots$$

Fazendo  $j = 1$ , isto é, a primeira seção acima da base, temos:

$$y_1 = y_o + \Delta x \left[ \frac{dy}{dx} \Big|_o + \frac{\Delta x^2}{2} \frac{1}{r_o} \right]$$

Como a coluna é considerada engastada na base:

$$\left. \frac{dy}{dx} \right|_o = 0 \quad \text{e} \quad y_o = 0$$

Fórmula Geral do Teorema de Taylor {3}

$$f(\xi + \Delta\xi) = f(\xi) + \Delta\xi \frac{df(\xi)}{d\xi} + \frac{\Delta\xi^2}{2!} \frac{d^2f(\xi)}{d\xi^2} + \frac{\Delta\xi^3}{3!} \frac{d^3f(\xi)}{d\xi^3} + \dots$$

Substituindo:

$$y_1 = \frac{\Delta x^2}{2} - \frac{1}{r_o}$$

A ordenada da elástica para  $j = 2$  será:

$$y_2 = y_1 + \Delta x \left[ \frac{dy}{dx} \right]_1 + \frac{\Delta x^2}{2} - \frac{1}{r_1}$$

utilizando as diferenças finitas:

$$y_2 = y_1 + \frac{\Delta x}{2 (\Delta x)} (y_2 - y_0) + \frac{\Delta x^2}{2} - \frac{1}{r_1}$$

Conhecendo-se:

$$y_1 = \frac{\Delta x^2}{2} - \frac{1}{r_o} \quad \text{e} \quad y_0 = 0$$

e substituindo:

$$y_2 = \frac{\Delta x^2}{2} - \frac{1}{r_o} + \frac{y_2}{2} + \frac{\Delta x^2}{2} - \frac{1}{r_1}$$

$$y_2 = \frac{\Delta x^2}{r_o} + \frac{\Delta x^2}{r_1} = \Delta x^2 \left( \frac{1}{r_o} + \frac{1}{r_1} \right)$$

A ordenada da elástica no ponto  $j = 3$  será:

$$y_3 = y_2 + \frac{\Delta x}{2 (\Delta x)} (y_3 - y_1) + \frac{\Delta x^2}{2} - \frac{1}{r_2}$$

substituindo  $y_1$  e  $y_2$  pelas expressões já determinadas:

$$y_3 = \Delta x^2 \left( \frac{1}{r_o} + \frac{1}{r_1} \right) + \frac{y_3}{2} - \frac{\Delta x^2}{4} - \frac{1}{r_o} + \frac{\Delta x^2}{2} - \frac{1}{r_2}$$

$$y_3 = \Delta x^2 \left( \frac{3}{2 r_o} + \frac{2}{r_1} + \frac{1}{r_2} \right)$$

Resumindo:

$$y_1 = \Delta x^2 \left( \frac{1}{2r_o} \right)$$

$$y_2 = \Delta x^2 \left( \frac{2}{2r_o} + \frac{1}{r_1} \right)$$

$$y_3 = \Delta x^2 \left( \frac{3}{2r_o} + \frac{2}{r_1} + \frac{1}{r_2} \right)$$

Generalizando:

$$y_j = \Delta x^2 \left( \frac{1}{2r_o} + \frac{j-1}{r_1} + \frac{j-2}{r_2} + \dots + \frac{1}{r_{j-1}} \right) \quad (E-2-4)$$

Esse cálculo será iterativo e, na primeira aproximação do valor - dos deslocamentos, assume-se que a curvatura seja constante ao longo da barra e igual à curvatura da base.

$$\frac{1}{r} = \frac{1}{r_o}$$

Daí, então:

$$y_1 = \Delta x^2 \frac{1}{2r_o} = \frac{(\Delta x)^2}{2r_o}$$

$$y_2 = \Delta x^2 \left( \frac{2}{2r_o} + \frac{1}{r_o} \right) = \frac{(2\Delta x)^2}{2r_o}$$

$$y_3 = \Delta x^2 \left( \frac{3}{2r_o} + \frac{2}{r_o} + \frac{1}{r_o} \right) = \frac{(3\Delta x)^2}{2r_o}$$

Generalizando:

$$y_j = \frac{(j\Delta x)^2}{2r_o} \quad (E-2-5)$$

Lembrando que o esforço normal em cada seção j é a somatória das cargas axiais externas aplicadas acima da seção j:

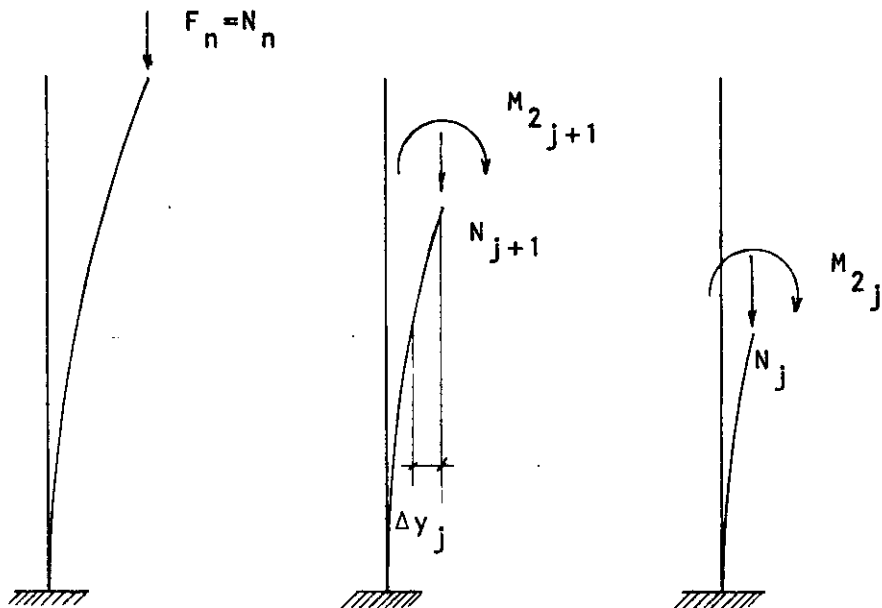
$$N_j = F_j + F_{j+1} + \dots + F_n \quad (E-2-6)$$

e que, o momento fletor total  $M_j = M_{1j} + M_{2j}$  em cada seção é:

$$M_j = M_{1j} + (F_n (y_n - y_j) + F_{n-1} (y_{n-1} - y_j) + \dots$$

$$\dots + F_{j+1} (y_{j+1} - y_j)) \quad (E-2-7)$$

ou exprimindo a parcela do momento de 2ª ordem como a soma do momento de 2ª ordem da seção seguinte com a normal da seção seguinte multiplicada por  $\Delta y$  entre esta e a seção em estudo segundo o esquema:



$$M_j = M_{1j} + (M_{2j+1} + N_{j+1} (y_{j+1} - y_j)) \quad (E-2-8)$$

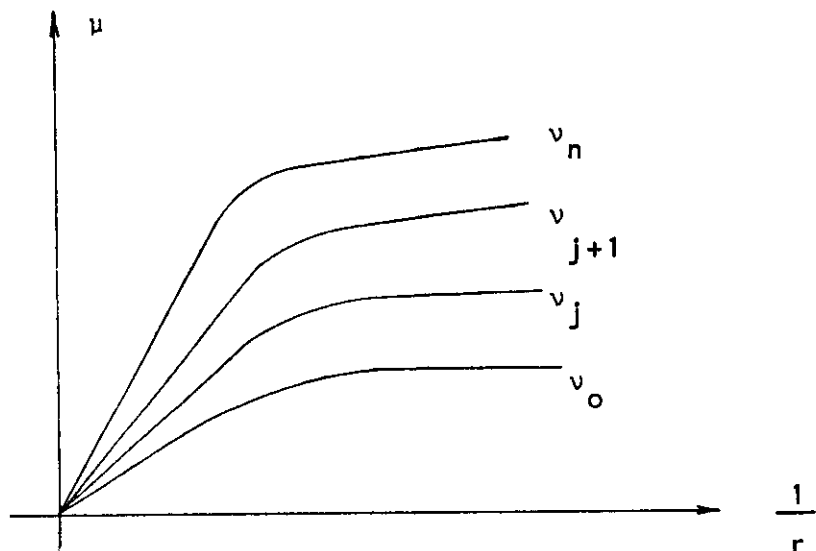
e, com a capacidade de cada seção de concreto igual a:

$$N_{cj} = 0,85 f_{cd} A_{cj}$$

pode-se calcular, para cada seção, os valores de:

$$\mu_j = \frac{M_j}{h_j N_{cj}} \quad \text{e} \quad v_j = \frac{N_j}{N_{cj}}$$

Os gráficos de  $\mu \times \frac{1}{r}$  para cada valor de  $v_j$  podem ser determinados:



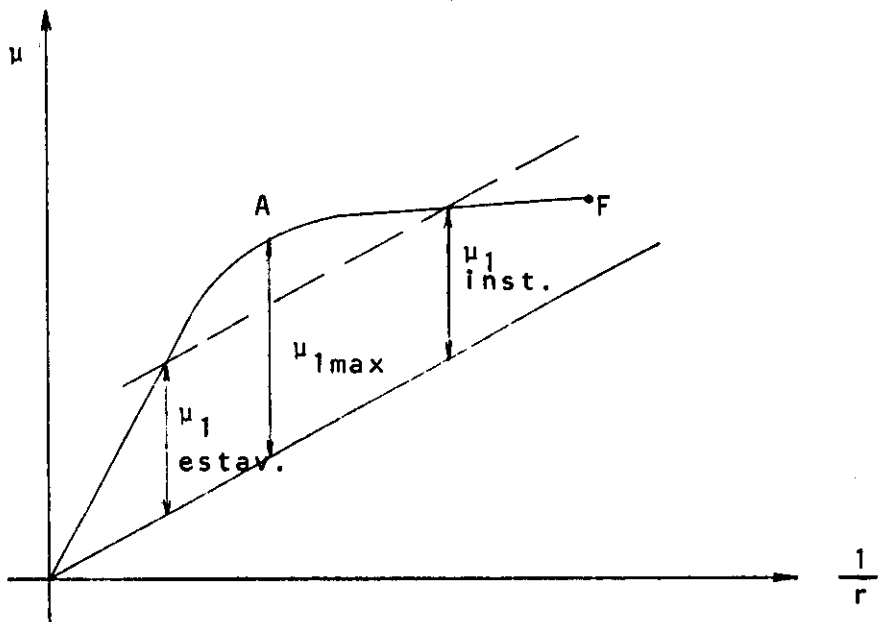
A partir do par  $(\mu_j, v_j)$  determina-se a 2<sup>a</sup> aproximação das curvaturas  $\frac{1}{r_j}$ , variáveis, agora, de seção para seção.

Com esses novos valores das curvaturas  $(\frac{1}{r_j})$  reinicia-se o processo com o cálculo de novos valores de  $y_j$  utilizando-se a expressão (E-2-4).

A convergência do processo é excelente e não muito sensível ao valor inicial da curvatura.

Sabe-se entretanto, que a forma de curva  $\mu \times \frac{1}{r}$  se aproxima de duas retas, que se unem por um trecho curvo (assimilado a um "joelho") e que o ponto de perda de estabilidade está nesse trecho - curvo.

Um bom valor inicial para a curvatura da base é um ponto correspondente a esse "joelho"

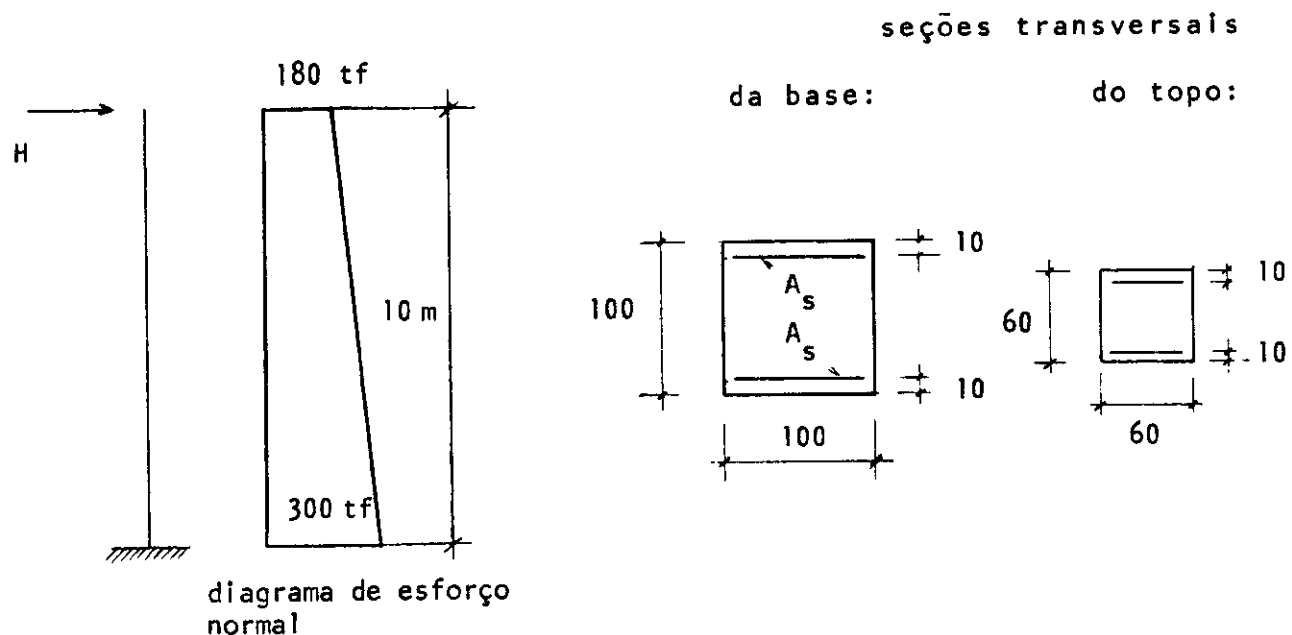


De qualquer maneira, desde que a curvatura assumida inicialmente seja inferior à correspondente ao ponto F (estado limite último - de rutura) pode-se garantir que  $\mu_1$  calculado estará a favor da segurança pois se a curvatura assumida levar a um ponto de equilíbrio instável sabe-se que existirá, com a mesma capacidade  $\mu_1$ , um outro ponto de equilíbrio estável e o que nos interessa é o valor numérico de  $\mu_1$ .

O ideal seria assumirmos uma curvatura inicial próxima do ponto A de maneira a obtermos a maior capacidade da peça.

**Exemplo:**

Calcular o valor máximo de  $H$  para a coluna da figura com seção variável linearmente.



Dados:

$$0,85 f_{cd} = 100 \text{ kgf/cm}^2$$

$$\epsilon_{yd} = 2\% \quad (\text{aço classe A})$$

$$\omega_o = \frac{f_{yd} A_s}{0,85 f_{cd} A_{co}} = 0,3$$

Dividindo a coluna em 4 partes:

$$\Delta x = \frac{10}{4} = 2,5 \text{ m}$$

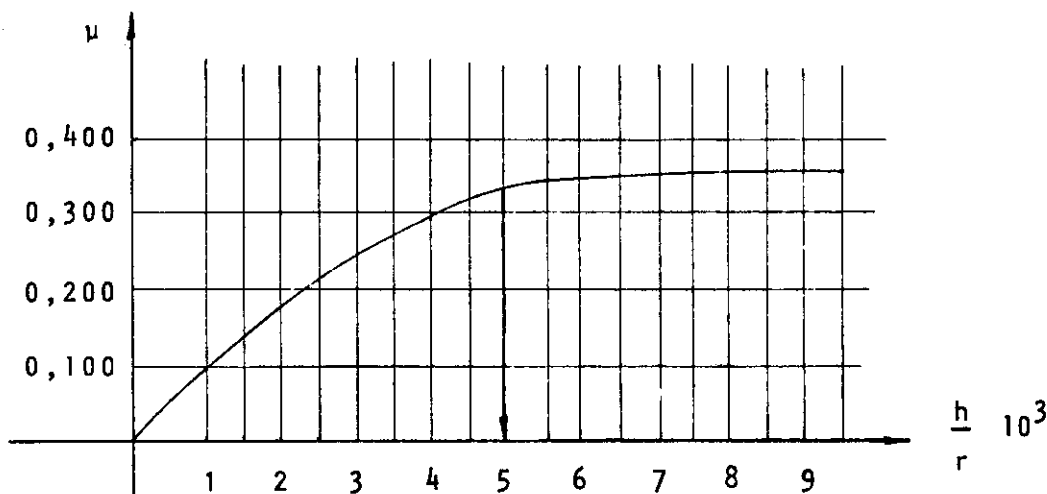
Traçado da curva  $\mu \times \frac{h}{r}$  para

$$\omega = 0,3 \quad v = 0,3 \quad \frac{d^4}{h} = 0,1$$

e com armadura concentrada (com o programa do anexo nº 1)

$\frac{h}{r} \cdot 10^3$	$\mu$
1,0	0,106
1,5	0,141
2,0	0,174
2,5	0,206
3,0	0,236
3,5	0,265
4,0	0,294
4,5	0,321
5,0	0,334

$\frac{h}{r} \cdot 10^3$	$\mu$
5,5	0,337
6,0	0,340
6,5	0,342
7,0	0,343
7,5	0,343
8,0	0,343
8,5	0,343
9,0	0,343
9,5	$ \varepsilon_c  > 3,5\%$



Vê-se que o "joelho" se encontra entre  $4,5 < \frac{h}{r} \cdot 10^3 < 5,5$

Assumindo-se então para a curvatura da base:

$$\frac{1}{r_0} = \frac{0,005}{h_0}$$

temos, pela expressão (E-2-5):

$$y_j = \frac{(j \Delta x)^2}{2r_0} = \frac{5 \times 10^{-3}}{2h_0} \cdot (j \Delta x)^2$$

$$y_j = \frac{5 \times 10^{-3}}{2 \times 1} (j \cdot 2,5)^2 = 2,5^3 \times 10^{-3} \times j^2 = 0,25^3 j^2$$

(7ª linha da tabela de valores numéricos)

E, com a expressão (E-2-8) temos os momentos de 2<sup>a</sup> ordem:

$$M_{2j} = M_{2j} + N_{j+1} (y_{j+1} - y_j)$$

Conhecendo-se

$$M_{2n} = M_{2j=4} = 0$$

$$M_{2j=3} = 0 + N_{j=4} (y_4 - y_3) = 180 (0,11) = 19,8 \text{ tf.m}$$

e assim, sucessivamente, calculam-se os valores de  $M_{2j}$  que estão na 10<sup>a</sup> linha da tabela de valores numéricos.

$$M_{2j=2} = 19,8 + 210 (0,08) = 36,6 \text{ tf.m}$$

$$M_{2j=1} = 36,6 + 240 (0,04) = 46,2 \text{ tf.m}$$

$$M_{2j=0} = 46,2 + 270 (0,02) = 51,6 \text{ tf.m}$$

Determinando-se  $\mu_o$  para a seção da base onde,

$$v_o = 0,3 \quad \frac{d'}{h} = 0,1$$

$$\omega_o = 0,3$$

$$\frac{1}{r_o} = \frac{5 \times 10^{-3}}{h_o} \quad \text{ou} \quad \frac{h_o}{r_o} = 5 \times 10^{-3}$$

obtem-se (com o programa do anexo nº 1):

$$\mu_o = 0,334$$

portanto o momento total na base é

$$M_o = N c_o h_o \mu_o = 1000 \times 1 \times 0,334 = 334 \text{ tf.m}$$

e o momento de 1<sup>a</sup> ordem, na seção da base é:

$$M_{1_o} = M_o - M_{2_o} = 334 - 51,6 = 282,4 \text{ tf.m}$$

Como o diagrama de fletores de 1<sup>a</sup> ordem é linear, calcula-se o valor possível do momento de 1<sup>a</sup> ordem desta 1<sup>a</sup> aproximação nas outras seções (14<sup>a</sup> linha da tabela de valores numéricos).

O momento total será a soma dos momentos de 1<sup>a</sup> e 2<sup>a</sup> ordem em cada seção (15<sup>a</sup> linha da tabela) e daí, calcula-se  $\mu_j$  para se obter a 2<sup>a</sup> aproximação dos valores das curvaturas  $(\frac{1}{r_j})$

Supondo  $A_s$  constante ao longo da coluna, o valor de  $\omega$  aumenta com o diminuir da seção de concreto.

$$\omega_j = \frac{A_{c_o}}{A_{c_j}} \omega_o$$

e, supondo o cobrimento do ferro constante, o valor  $\frac{d'}{h}$  também varia de seção para seção.

Procura-se a curvatura correspondente a  $\mu_j$  sendo  $v = 0,3$

seção	$\omega$	$\frac{d'}{h}$	$\frac{h}{r} \cdot 10^3$	$\mu$	
1	0,333	0,111	2,5	0,211	
			3,0	0,243	
			3,5	0,274	
			4,0	0,303	
			4,5	0,332	$\mu_j = 0,318$
2	0,375	0,125	2,5	0,217	
			3,0	0,250	
			3,5	0,282	
			4,0	0,313	
3	0,429	0,143	1,0	0,111	
			1,5	0,149	
			2,0	0,186	
			2,5	0,221	$\mu_j = 0,184$

O valor da curvatura obtido por interpolação linear entre os valores acima está na 17<sup>a</sup> linha da tabela.

Verificação do deslocamento do topo (E-2-4)

$$y_4 = \frac{2,5^2}{10^3} \left( \frac{4}{2} (5,0) + 3 (4,2) + 2 (3,4) + (2,0) \right) = 0,20 \text{ m}$$

valor assumido inicialmente:

$$y_4 = 0,25 \text{ m}$$

Reiniciando o processo, assumindo agora as curvaturas encontradas na 1<sup>a</sup> aproximação, podemos utilizar a expressão (E-2-4) para calcular os valores de  $y_j$ .

$$y_3 = \frac{2,5^2}{10^3} \left( \frac{3}{2} (5,0) + 2 (4,2) + (3,4) \right) = 0,12 \text{ m}$$

$$y_2 = \frac{2,5^2}{10^3} \left( \frac{2}{2} (5,0) + 4,2 \right) = 0,06 \text{ m}$$

$$y_1 = \frac{2,5^2}{10^3} \left( \frac{1}{2} (5,0) \right) = 0,02 \text{ m}$$

Seguindo o mesmo roteiro obtém-se o novo deslocamento do topo (ver tabela de valores numéricos da 2<sup>a</sup> aproximação).

$$y_4 = \frac{2,5^2}{10^3} \left( \frac{4}{2} (5,0) + 3 (4,2) + 2 (3,3) + (1,9) \right) = 0,19 \text{ m}$$

$$y_4 \text{ (2<sup>a</sup> aprox.)} = 0,19 \approx y_4 \text{ (1<sup>a</sup> aprox.)} = 0,20$$

Finalmente, se quisermos considerar a excentricidade adicional

$$e_a = \frac{h}{30} = \frac{1}{30} \text{ m}$$

$$M_1 = H s = (M - M_2 - N e_a)$$

onde podemos corrigir  $M_2$  multiplicando-o pela relação entre as flechas no topo relativas à 2<sup>a</sup> e à 1<sup>a</sup> aproximações.

$$M_1 = H \times 10 = (334 - 42 \frac{19}{20} - 300 (\frac{1}{30}))$$

$$H = 28,4 \text{ tf.}$$

Caso não tivessemos feito a 2<sup>a</sup> aproximação:

$$M_1 = H \times 10 = (334 - 51,6 \frac{20}{25} - 300 (\frac{1}{30}))$$

$$H = 28,3 \text{ tf.}$$

Tabela de valores numéricos (1<sup>a</sup> aproximação)

1 <sup>a</sup>	Seção (j)	0	1	2	3	4	
2 <sup>a</sup>	j ( $\Delta x$ )	0	2,5	5,0	7,5	10,0	m
3 <sup>a</sup>	$h_j$	1,0	0,9	0,8	0,7	0,6	m
4 <sup>a</sup>	$N_{c_j} = 0,85 f_{cd} A_{c_j}$	1000	900	800	700	600	tf
5 <sup>a</sup>	$N_j$	300	270	240	210	180	tf
6 <sup>a</sup>	$v_j = \frac{N_d}{N_c}$	0,3	0,3	0,3	0,3	0,3	-
7 <sup>a</sup>	$y_j = 0,25^3 j^2$	0,00	0,02	0,06	0,14	0,25	m
8 <sup>a</sup>	$\Delta y = y_{j+1} - y_j$		0,02	0,04	0,08	0,11	m
9 <sup>a</sup>	$N_{j+1} \Delta y$	5,4	9,6	16,8	19,8	0	tf.m
10 <sup>a</sup>	$M_{2j} = M_{2j+1} + 9^a$	51,6	46,2	36,6	19,8	0	tf.m
11 <sup>a</sup>	$u_j$	0,334	-	-	-	-	-
12 <sup>a</sup>	$M_j = 3^a \times 4^a \times 11^a$	334	-	-	-	-	tf.m
13 <sup>a</sup>	$M_{1j} = M_j - M_{2j}$	282,4	-	-	-	-	tf.m
14 <sup>a</sup>	$M_{1j}$ (por diagrama linear)	-	211,8	141,2	70,6	0	tf.m
15 <sup>a</sup>	$M_j = 14^a + 10^a$	-	258,0	177,8	90,4	0	tf.m
16 <sup>a</sup>	$\mu_j = \frac{15^a}{3^a \times 4^a}$	-	0,318	0,278	0,184	0	-
17 <sup>a</sup>	$\omega_j = \frac{A_{co}}{A_{cj}} \omega_o$	0,300	0,333	0,375	0,429	0,500	-
18 <sup>a</sup>	$\frac{h}{r} 10^3$ (para $\mu_j$ )	5,0	4,2	3,4	2,0	-	-

Tabela de valores numéricos (2<sup>a</sup> aproximação)

1 <sup>a</sup>	Seção	0	1	2	3	4	
7 <sup>a</sup>	$y_j = (\epsilon - 2 - 4)$	0,00	0,02	0,06	0,12	0,20	m
8 <sup>a</sup>	$\Delta y$		0,02	0,04	0,06	0,08	m
9 <sup>a</sup>	$N_{j+1} \Delta y$	5,4	9,6	12,6	14,4	0	tf.m
10 <sup>a</sup>	$M_{2j}$	42,0	36,6	27,0	14,4	0	tf.m
11 <sup>a</sup>	$\mu_j$	0,334	-	-	-	-	-
12 <sup>a</sup>	$M_j$	334	-	-	-	-	tf.m
13 <sup>a</sup>	$M_{1j}$	292	-	-	-	-	tf.m
14 <sup>a</sup>	$M_{1j}$	-	219	146	73	0	tf.m
15 <sup>a</sup>	$M_j$	-	255,6	173,0	87,4	0	tf.m
16 <sup>a</sup>	$\mu_j$	-	0,316	0,270	0,178	0	-
17 <sup>a</sup>	$\omega$	0,300	0,333	0,375	0,429	0,500	-
18 <sup>a</sup>	$\frac{h}{r} 10^3$	5,0	4,2	3,3	1,9	-	-

## 2.3. Método aproximado para calcular o momento complementar

### 2.3.1. 1<sup>a</sup> aproximação

Este método só é válido para pilares de seção constante com armadura simétrica, submetidos a carga normal constante ao longo de seu eixo.

De acordo com este método pode-se projetar uma coluna de alto índice de esbeltez como se fosse uma coluna curta com carga axial N e momento fletor M onde

$$M = M_1 + M_2$$

onde

$M_1$  = momento fletor de 1<sup>a</sup> ordem devido às cargas externas e à excentricidade adicional

$M_2$  = momento fletor de 2<sup>a</sup> ordem devido à carga axial

Pode-se tomar, como avaliação de  $M_2$ , a expressão: (R. 42,23) {2}

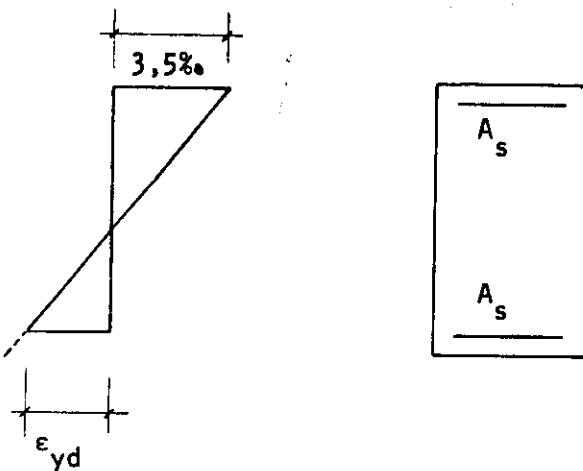
$$M_2 = N \frac{\frac{1}{r}^2}{10} \frac{1}{r}$$

onde

$$\frac{1}{r} = \left( \frac{3,5}{1000} + \frac{f_y d}{E_s} \right) \frac{1}{h} \quad \text{para } v \leq 0,5 \quad (\text{E-2-9})$$

$$\frac{1}{r} = \left( \frac{3,5}{1000} + \frac{f_y d}{E_s} \right) \frac{1}{2v h} \quad \text{para } v > 0,5$$

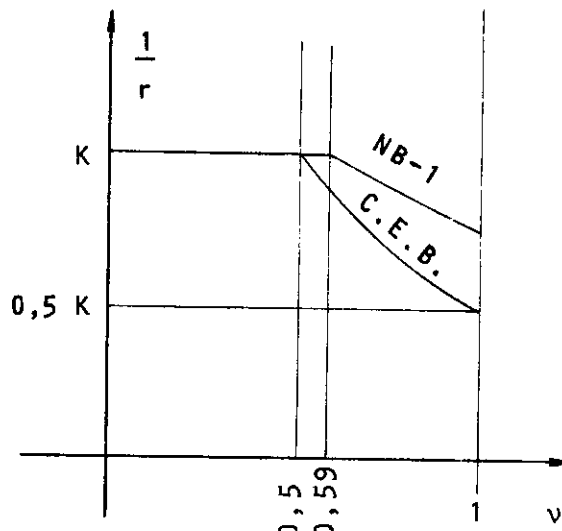
A primeira expressão de  $\frac{1}{r}$ , para as forças axiais pequenas, corresponde a um diagrama de deformações:



e a segunda, para forças axiais grandes ( $v > 0,5$ ), dá uma redução da curvatura com o aumento de  $v$  até atingir, para  $v = 1$ , a metade do valor assumido para  $v < 0,5$ .

Já a NB-1/77 [1] aceita este método somente para  $\lambda \leq 80$  e propõe uma expressão para a curvatura, ligeiramente diferente do C.E.B.

$$\frac{1}{r} = \frac{0,0035 + \frac{f_y d}{E_s}}{(0,85v + 0,5)h} \quad \text{com } (0,85v + 0,5) \geq 1 * \quad (\text{E-2-10})$$



onde:

$$K = \frac{(3,5)}{1000} + \frac{f_y d}{E_s} \frac{1}{h}$$

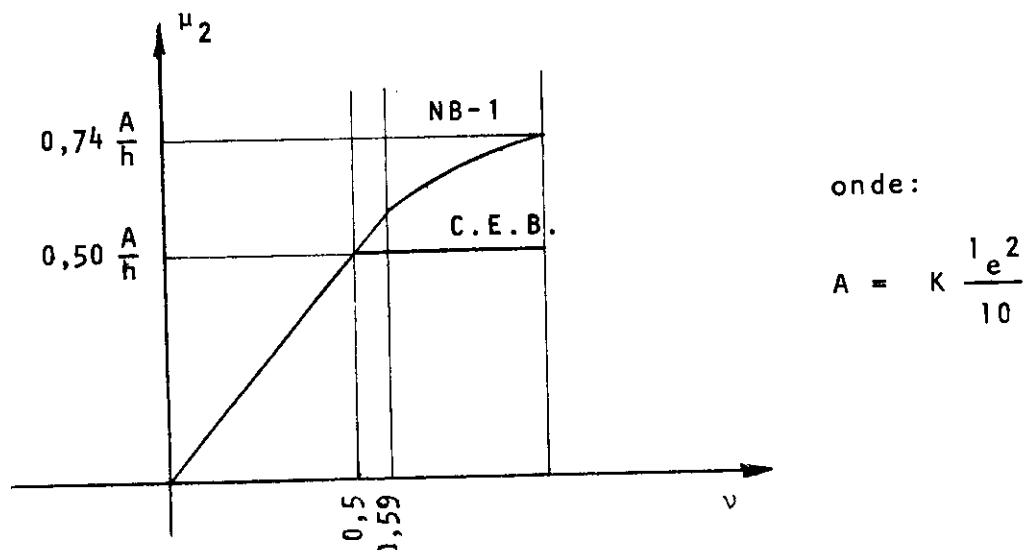
Pode-se observar que para valores altos de  $v$  o momento de 2<sup>a</sup> ordem não é linearmente proporcional a  $v$  como ocorre para valores baixos de  $v$

$$\mu_2 = v \left( \frac{K}{h} - \frac{e}{10} \right)^2 \quad \text{para } v \leq 0,5$$

O gráfico de  $\mu_2 \times v$  apresenta-se da seguinte forma:

---

\* Aqui foi adaptada a expressão da NB-1 para se utilizar a mesma definição de  $v$ , utilizada pelo C.E.B.



Apesar desse método levar a capacidades de carga da peça bem próximos aos resultados obtidos em inúmeros testes, foi visto que em alguns casos, quando comparados com o método geral, esses valores da capacidade estão ligeiramente contra a segurança.

A grande vantagem dessas expressões da curvatura é que não dependem da armadura e são muito úteis no projeto preliminar.

### 2.3.2. 2<sup>a</sup> aproximação

O objetivo desta segunda parte do método é melhorar os resultados através de uma correção no momento de 2<sup>a</sup> ordem baseada no método da coluna padrão.

Utilizando-se as expressões da curvatura (E-2-9) calcula-se a primeira aproximação de  $\mu_2$ :

$$\mu_2 = \frac{M_2}{0,85 f_{cd} A_c h} = \frac{N}{0,85 f_{cd} A_c} \left( \frac{1}{10} \frac{e}{r} \right) \frac{1}{h}$$

$$\mu_2 = \frac{v}{10} \left( \frac{1}{h} \right)^2 \frac{h}{r} \quad (\text{E-2-11})$$

Com esse valor consegue-se a 1<sup>a</sup> aproximação do momento com que deve ser dimensionada a peça

$$\mu_F = \mu_1 + \mu_2$$

e portanto, já se obtém uma avaliação da taxa de armadura a ser

utilizada.

Com o objetivo de tabelar-se a 2<sup>a</sup> aproximação de  $\mu_2$  em função da taxa de armadura, define-se um coeficiente de curvatura  $\theta$  tal que:

$$\mu_2 = \frac{v}{1000} \left( \frac{e}{h} \right)^2 \theta$$

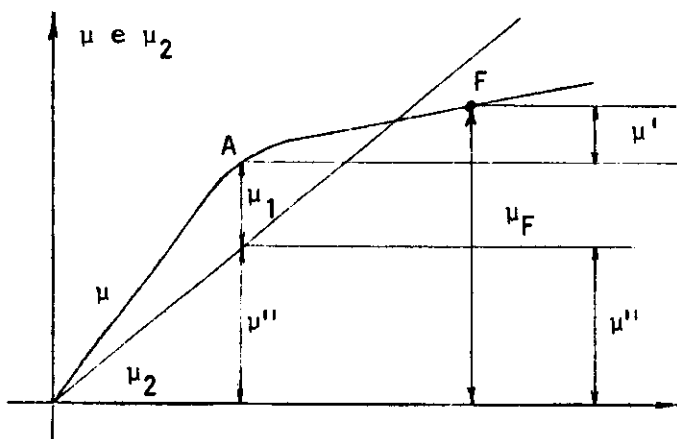
Conhecidos  $v$  e  $e$ , determinam-se, pelo método da coluna padrão:

$\mu_F$  = capacidade da peça para a curvatura correspondente à ruptura do material (F)

$\mu_1$  = capacidade da peça para a curvatura correspondente à perda de estabilidade (A)

Note-se que este valor de  $\mu_2$  não deve corresponder ao momento de 2<sup>a</sup> ordem que ocorre quando a peça desenvolve a curvatura correspondente ao ponto de perda de estabilidade (A).

Poderia ser chamado de "momento fictício de 2<sup>a</sup> ordem", utilizado para transformar o cálculo em que as deformações afetam os esforços num cálculo usual de colunas curtas.



Esse momento fictício seria:

$$\mu_2 = \mu' + \mu'''$$

Sendo  $\mu''$  o momento de 2<sup>a</sup> ordem que ocorre concomitante com o máximo de 1<sup>a</sup> ordem ( $\mu_1$ ).

Fazendo-se:

$$\mu_F - \mu_1 = \mu_2$$

ou, com a expressão em função do coeficiente de curvatura ( $\theta$ ):

$$\mu_F - \mu_1 = \mu_2 = \frac{v}{1000} \left( \frac{l_e}{h} \right)^2 \theta \quad (E-2-12)$$

obtem-se:

$$\theta = \frac{1000 (\mu_F - \mu_1)}{v} \left( \frac{h}{l_e} \right)^2$$

valor esse que poderá ser tabelado para várias formas da seção e para cada valor de  $(v, w, \frac{l_e}{h})$ .

Existem dessas tabelas para seções retangulares e circulares no Boletim 103 sendo que, para valores de  $v \geq 0,5$  o coeficiente de curvatura  $\theta$  foi definido de tal forma que, para tabelá-lo vale: (anexo nº 3)

$$\theta = 2000 (\mu_F - \mu_1) \left( \frac{h}{l_e} \right)^2 \quad (\text{para } v \geq 0,5)$$

e o valor de  $\mu_2$  será:

$$\mu_2 = \frac{\theta}{2000} \left( \frac{l_e}{h} \right)^2 \quad (\text{para } v > 0,5) \quad (E-2-13)$$

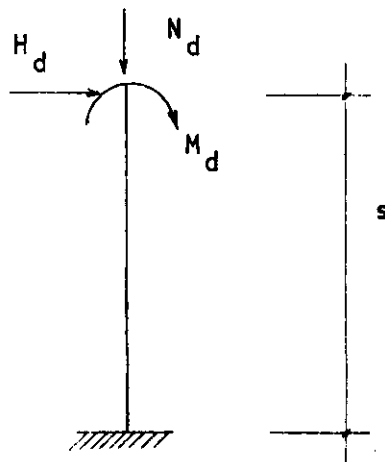
Com o programa apresentado no anexo nº 1 pode-se tabelar esse coeficiente  $\theta$  para as seções desejadas. Basta calcular  $\mu$  e  $\mu_1$ , e daí obtem-se

$$\mu_2 = \mu - \mu_1$$

e, conforme  $v$  for maior ou menor que 0,5 calcula-se  $\theta$  com a expressão correspondente.

### Exemplo numérico

Dimensionar a coluna da figura



$$N_d = 48 \text{ tf.}$$

$$M_d = 4 \text{ tf.m}$$

$$H_d = 1 \text{ tf.}$$

$$s = 4 \text{ m} \quad l_e = 8 \text{ m}$$

$$\text{seção: } (40 \times 40) \text{ cm}^2$$

Materiais:

$$0,85 f_{cd} = 100 \text{ kgf/cm}^2 \quad (f_{ck} \approx 165 \text{ kgf/cm}^2)$$

$$f_{yd} = 4200 \text{ kgf/cm}^2 \quad (f_{yk} \approx 4830 \text{ kgf/cm}^2)$$

$$\epsilon_{yd} = 2\%$$

$$v = \frac{N_d}{0,85 f_{cd} A_c} = \frac{48}{0,1 \times 1600} = 0,3$$

$$\frac{l_e}{h} = \frac{800}{40} = 20 \quad \lambda = \frac{l_e}{i} = \frac{800}{40} \sqrt{12} = 69,2$$

Momento de 1<sup>a</sup> ordem na base (com excentricidade adicional)

$$e_a > \frac{\lambda}{1000} h > \frac{h}{30} \geq 2 \text{ cm}$$

$$e_a = \frac{69,2}{1000} \times 40 = 2,77 \text{ cm}$$

$$M_1 = M_d + H_d s + N_d e_a$$

$$M_1 = 4 + (1 \times 4) + (48 \times 0,0277) = 9,33 \text{ tf.m}$$

Momento complementar:

$$M_2 = N_d \left( \frac{1}{10} e^2 - \frac{1}{r} \right)$$

utilizando, para cálculo de  $\frac{1}{r}$  a expressão da NB-1 que, para esse caso particular coincide com a do C.E.B.

$$(v + 0,5) = 0,85 \times 0,3 + 0,5 = 0,755 \quad (v_{NB-1} = 0,85 v_{CEB})$$

adota-se  $(v + 0,5) = 1$

$$\frac{1}{r} = \frac{0,0035 + 0,0020}{0,40} = 0,01375 \text{ m}^{-1}$$

$$M_2 = 48 \left( \frac{8^2}{10} \times 0,01375 \right) = 4,22 \text{ tf m}$$

Temos então:

$$\mu_1 = \frac{M_1}{0,85 f_{cd} A_c h} = \frac{9,33}{160 \times 0,40} = 0,146$$

$$\mu_2 = \frac{M_2}{0,85 f_{cd} A_c h} = \frac{4,22}{160 \times 0,40} = 0,066$$

O momento "fictício" ( $\mu_F$ ) para cálculo como coluna curta é:

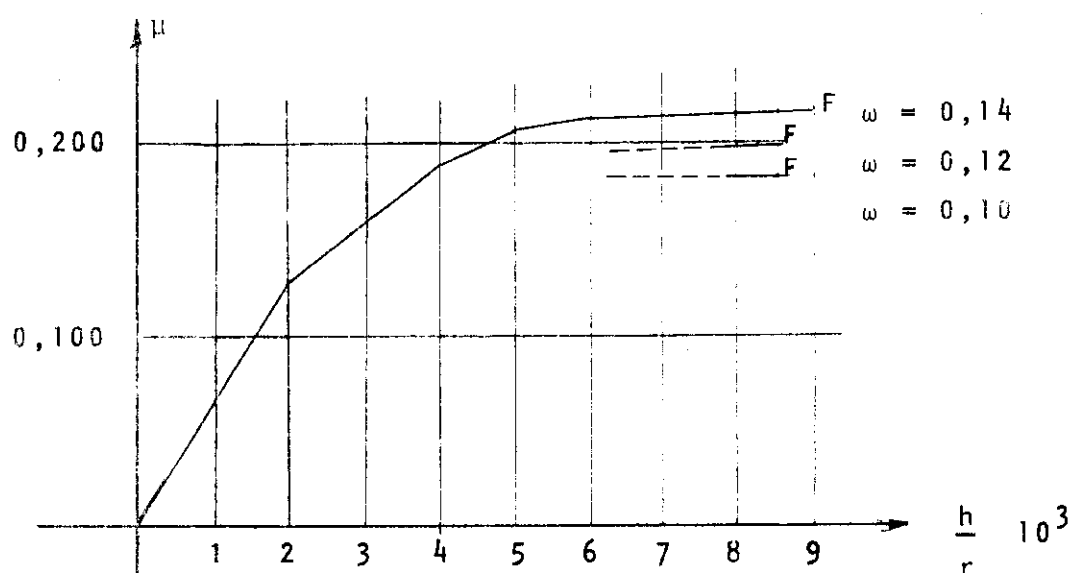
$$\mu_F = \mu_1 + \mu_2 = 0,146 + 0,066 = 0,212$$

Com  $v = 0,3$  e  $\mu_F = 0,212$  determina-se a armadura necessária através de um cálculo à flexão composta {5} e {7}

Pode-se também utilizar o programa do anexo nº 1 calculando  $\mu_F$  (correspondente ao estado de rutura) para taxas  $\omega$  variáveis.

$$v = 0,3 \quad \frac{d'}{h} = 0,1 \quad \text{armadura concentrada}$$

$\omega$	$\frac{h}{r} \cdot 10^3$	$\epsilon$	$\mu$	
0,10	7,5	2,92	0,183	
	8,0	3,07	0,183	
	8,5	3,22	0,183	$\rightarrow \mu_F$
0,12	8,0	3,07	0,199	
	8,5	3,22	0,199	$\rightarrow \mu_F$
0,14	8,5	3,22	0,215	
	9,0	3,37	0,216	$\rightarrow \mu_F$



Como era previsto, um aumento na área de ferro provoca um aumento na capacidade resistente da peça.

Com os valores:  $\omega = 0,14$     $v = 0,3$     $\frac{e}{h} = 20$

pode-se iniciar a 2ª aproximação obtendo-se θ já tabelado para esse tipo de seção (anexo nº 3).

$$\theta \approx 0,53$$

$$\mu_2 = 0,53 \times 0,3 \times (20)^2 \cdot 10^{-3} = 0,064$$

A 2<sup>a</sup> aproximação de  $\mu_F$  será

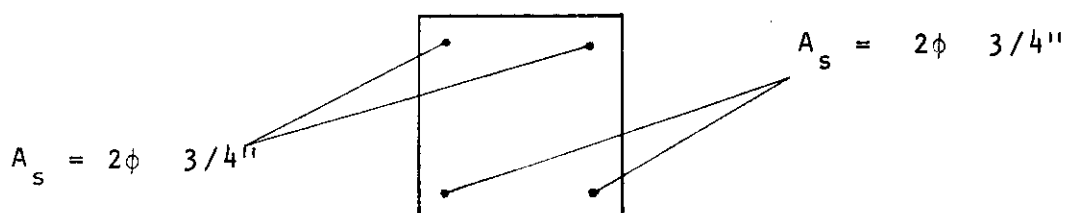
$$\mu_F = \mu_1 + \mu_2 = 0,146 + 0,064 = 0,210$$

Recalculando a área de armadura necessária {5}, {7} ou interpolando para os resultados obtidos para  $\omega = 0,12$  e  $\omega = 0,14$  temos para

$$\mu_F = 0,210 \quad \omega = 0,12 + \frac{0,210 - 0,199}{0,216 - 0,199} \times 0,02 = 0,132$$

$$\omega = \frac{f_{yd} A_s}{0,85 f_{cd} A_c} \quad A_s = \frac{160 \times 0,132}{4,2} = 5,05 \text{ cm}^2$$

(2 x 2φ 3/4")



Com  $\omega = 0,14$  da 1<sup>a</sup> aproximação teríamos

$$A_s = \frac{160 \times 0,14}{4,2} = 5,33 \text{ cm}^2$$

que também corresponderia a (2 x 2 φ 3/4").

Se utilizarmos φ de 1/2" a 1<sup>a</sup> aproximação exige (2 x 5φ 1/2") ao passo que a 2<sup>a</sup> permite (2 x 4 φ 1/2")

### 2.3.3. Comparação entre a 1<sup>a</sup> e 2<sup>a</sup> aproximação

Pode-se verificar, para as seções analisadas no anexo nº 3, qual o erro que se está cometendo quando se utiliza somente a 1<sup>a</sup> aproximação de  $\mu_2$ .

#### 1<sup>a</sup> aproximação

$$\mu_{2_{1^a}} = \frac{v}{10} \left( \frac{l_e}{h} \right)^2 \frac{h}{r} \quad (\text{E-2-11})$$

Utilizando as expressões (E-2-9) e supondo  $\epsilon_{yd} = 2\%$  temos:

$$\frac{h}{r} = (0,0035 + \frac{f_{yd}}{E_s}) = \frac{0,55}{100} \quad (\text{para } v \leq 0,5)$$

$$\frac{h}{r} = (0,0035 + \frac{f_{yd}}{E_s}) \frac{1}{2v} = \frac{0,55}{200v} \quad (\text{para } v > 0,5)$$

#### 2<sup>a</sup> aproximação: (expressões (E-2-12) e (E-2-13))

$$\mu_{2_{2^a}} = \frac{v}{1000} \left( \frac{l_e}{h} \right)^2 \theta \quad (\text{para } v \leq 0,5)$$

$$\mu_{2_{2^a}} = \frac{1}{2000} \left( \frac{l_e}{h} \right)^2 \theta \quad (\text{para } v > 0,5)$$

Cuja relação é

$$k = \frac{\mu_{2_{2^a}}}{\mu_{2_{1^a}}} = \frac{\theta}{0,55} \quad (\text{v qualquer})$$

A 1<sup>a</sup> aproximação estará contra a segurança quando  $k > 1$ , isto é, quando  $\theta > 0,55$ .

Já a expressão adotada pela NB-1 para  $\mu_2$  dâ valores superiores aos do C.E.B. para  $v > 0,5$  (E-2-10) fazendo diminuir a margem de erro entre 1<sup>a</sup> e 2<sup>a</sup> aproximação.

$v$	$\frac{h}{r}$ NB-1	$\frac{h}{r}$ C.E.B.	$k' = \frac{\mu_2}{\mu_2}$ NB-1
			C.E.B.
0,6	0,545	0,458	1,19
0,7	0,502	0,393	1,28
0,8	0,466	0,344	1,36
0,9	0,435	0,306	1,42
1,0	0,407	0,275	1,48
1,1	0,383	0,250	1,53
1,2	0,362	0,229	1,58
1,3	0,343	0,212	1,62
1,4	0,325	0,196	1,66
1,5	0,310	0,183	1,69
1,6	0,296	0,172	1,72
1,7	0,283	0,162	1,75

$$\text{Portanto } k_{\text{NB-1}} = \frac{\frac{\mu_2}{2^a}}{\frac{\mu_2}{2^a} - \frac{1}{1^a \text{ NB-1}}} = \frac{1}{k'} \frac{\frac{\mu_2}{2^a}}{\frac{\mu_2}{2^a} - \frac{1}{1^a \text{ C.E.B.}}}$$

$$k_{\text{NB-1}} = \frac{1}{k'} k_{\text{C.E.B.}}$$

Para seção retangular, com armadura concentrada e  $\frac{d'}{h} = 0,1$  (1<sup>a</sup> tabela do anexo nº 3) verifica-se que a 1<sup>a</sup> aproximação do C.E.B. leva a uma grande quantidade de valores contra a segurança o que justifica a aplicação de  $\gamma_h = 1,2$  sobre a resistência dos materiais (R 42,231)

Valores de  $k_{CEB} > 1$  para seção retangular, armadura concentrada,  $\frac{d'}{h} = 0,1$

$\lambda$	$\frac{L}{h}$	$\nu$	$\omega$	0,1	0,2	0,3	0,4	0,5	0,6	0,7	0,8	0,9	1,0	1,1	1,2	1,3	1,4	1,5	1,6	1,7
34,6	10	0,0	0,0	1,15	1,20	1,07	-	-	-	-	-	-	-	-	-	-	-	-	-	
		0,1	1,49	1,51	1,25	1,05	1,05	1,11	1,13	1,15	1,00	-	-	-	-	-	-	-	-	
		0,2	1,71	1,71	1,29	1,05	1,07	1,16	1,24	1,27	1,27	1,18	-	-	-	-	-	-	-	
		0,3	1,82	1,82	1,31	1,07	1,07	1,20	1,29	1,36	1,42	1,42	1,40	1,33	1,15	-	-	-	-	
		0,4	1,98	1,87	1,29	1,07	1,09	1,22	1,33	1,42	1,49	1,55	1,55	1,53	1,47	1,31	1,07	-	-	
		0,5	1,93	1,89	1,31	1,07	1,09	1,24	1,36	1,47	1,56	1,64	1,67	1,67	1,65	1,62	1,47	1,27	1,00	
		69,3	20	0,0	-	-	-	-	-	-	-	-	-	-	-	-	-	-	-	
		0,1	-	-	-	-	-	-	-	-	-	-	-	-	-	-	-	-	-	
		0,2	1,09	1,09	1,00	1,00	1,00	1,00	-	-	-	-	-	-	-	-	-	-	-	
		0,3	1,20	1,15	1,04	1,00	1,05	1,11	1,11	1,09	1,05	1,04	1,00	-	-	-	-	-	-	
		0,4	1,33	1,20	1,07	1,00	1,07	1,18	1,20	1,20	1,20	1,16	1,15	1,11	1,05	-	-	-	-	
		0,5	1,38	1,25	1,07	1,00	1,09	1,22	1,27	1,31	1,31	1,29	1,27	1,24	1,20	1,15	1,05	-	-	
103,9	30	0,0	-	-	-	-	-	-	-	-	-	-	-	-	-	-	-	-	-	
		0,1	-	-	-	-	-	-	-	-	-	-	-	-	-	-	-	-	-	
		0,2	-	-	-	-	-	-	-	-	-	-	-	-	-	-	-	-	-	
		0,3	-	-	-	-	-	-	-	-	-	-	-	-	-	-	-	-	-	
		0,4	1,02	1,00	-	-	-	-	-	-	1,00	1,04	1,05	1,04	1,04	1,02	-	-	-	-
		0,5	1,05	1,04	-	-	-	-	-	-	1,05	1,11	1,13	1,15	1,15	1,13	1,11	1,07	-	-
138,4	40	0,0	-	-	-	-	-	-	-	-	-	-	-	-	-	-	-	-	-	
		0,1	-	-	-	-	-	-	-	-	-	-	-	-	-	-	-	-	-	
		0,2	-	-	-	-	-	-	-	-	-	-	-	-	-	-	-	-	-	
		0,3	-	-	-	-	-	-	-	-	-	-	-	-	-	-	-	-	-	
		0,4	-	-	-	-	-	-	-	-	-	-	-	-	-	-	-	-	-	
		0,5	-	-	-	-	-	-	-	-	-	-	-	-	-	-	-	-	-	

Valores de  $k_{NB-1} > 1$  para seção retangulares, armadura concentrada,  $\frac{d'}{h} = 0,1$

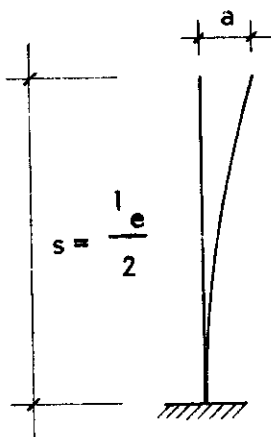
$\lambda$	$\frac{\lambda}{h}$	$\omega$	$\nu$	0,1	0,2	0,3	0,4	0,5	0,6	0,7	0,8	0,9	1,0	1,1	1,2	1,3	1,4	1,5	1,6	1,7
34,6	10	0,0	1,16	1,20	1,07	-	-	-	-	-	-	-	-	-	-	-	-	-	-	
		0,1	1,49	1,51	1,25	1,05	1,05	-	-	-	-	-	-	-	-	-	-	-	-	
		0,2	1,71	1,71	1,29	1,05	1,07	-	-	-	-	-	-	-	-	-	-	-	-	
		0,3	1,82	1,82	1,31	1,07	1,07	1,01	1,01	1,00	1,00	1,00	-	-	-	-	-	-	-	
		0,4	1,98	1,87	1,29	1,07	1,09	1,03	1,04	1,04	1,05	1,05	1,01	-	-	-	-	-	-	
		0,5	1,93	1,89	1,31	1,07	1,09	1,04	1,06	1,08	1,10	1,11	1,09	1,06	1,02	-	-	-	-	
69,3	20	0,0	-	-	-	-	-	-	-	-	-	-	-	-	-	-	-	-	-	
		0,1	-	-	-	-	-	-	-	-	-	-	-	-	-	-	-	-	-	
		0,2	1,09	1,09	1,00	1,00	1,00	-	-	-	-	-	-	-	-	-	-	-	-	
		0,3	1,20	1,15	1,04	1,00	1,05	-	-	-	-	-	-	-	-	-	-	-	-	
		0,4	1,33	1,20	1,07	1,00	1,07	-	-	-	-	-	-	-	-	-	-	-	-	
		0,5	1,38	1,25	1,07	1,00	1,09	1,03	-	-	-	-	-	-	-	-	-	-	-	
103,9	30	0,0	-	-	-	-	-	-	-	-	-	-	-	-	-	-	-	-	-	
		0,1	-	-	-	-	-	-	-	-	-	-	-	-	-	-	-	-	-	
		0,2	-	-	-	-	-	-	-	-	-	-	-	-	-	-	-	-	-	
		0,3	-	-	-	-	-	-	-	-	-	-	-	-	-	-	-	-	-	
		0,4	1,02	1,00	-	-	-	-	-	-	-	-	-	-	-	-	-	-	-	
		0,5	1,05	1,04	-	-	-	-	-	-	-	-	-	-	-	-	-	-	-	

Apesar da NB-1 só permitir a utilização do momento complementar para peças com  $\lambda \leq 80$  pode-se observar que para  $\lambda > 80$  são bem poucos os casos em que, na seção retangular se está contra a segurança. Os casos em que  $\lambda$  é bem maior que 1 e, mesmo assim - são permitidos pela NB-1, encontram-se na faixa de  $\lambda$  pequenos onde um erro na avaliação de  $\mu_2$  traz uma variação pequena no valor de  $\mu_1$ .

## 2.4. Método Simplificado baseado no estado de equilíbrio

### 2.4.1. Análise do Método

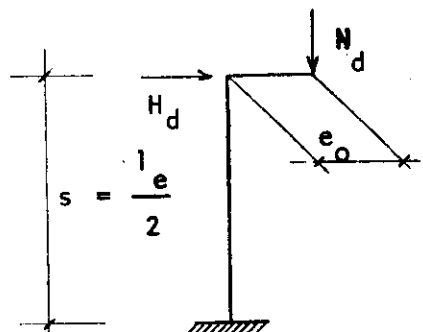
Assim como no método da coluna padrão, assume-se o deslocamento na extremidade livre da coluna como função da curvatura da extremidade engastada.



$$a = \frac{1}{10} \frac{e^2}{s} \times \frac{1}{r} = \\ = 0,4 \left( \frac{1}{r} \right) s^2$$

A partir dessa hipótese, a verificação da segurança é feita na seção da base, comparando carga axial aplicada com resultante das tensões e, comparando excentricidade da carga externa ( $1^{\text{a}}$  +  $2^{\text{a}}$  ordem) com a excentricidade da resultante de tensões.

Seja  $N_d$ , da figura abaixo, a carga axial externa aplicada. A excentricidade de  $1^{\text{a}}$  ordem ( $e_1$ ) da carga  $N_d$  em relação à seção da base será:



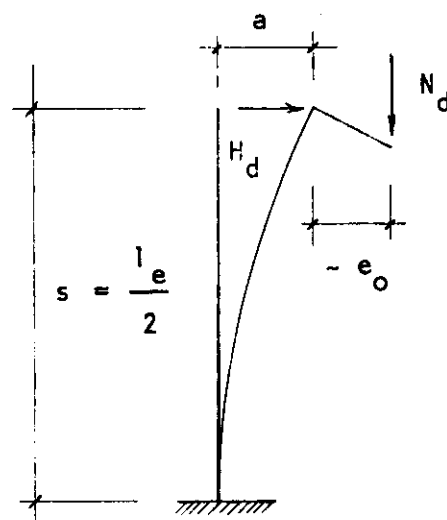
Momento na base:

$$M_{1d} = H_d s + N_d (e_o + e_a)$$

onde  $e_a$  = excentricidade adicional.

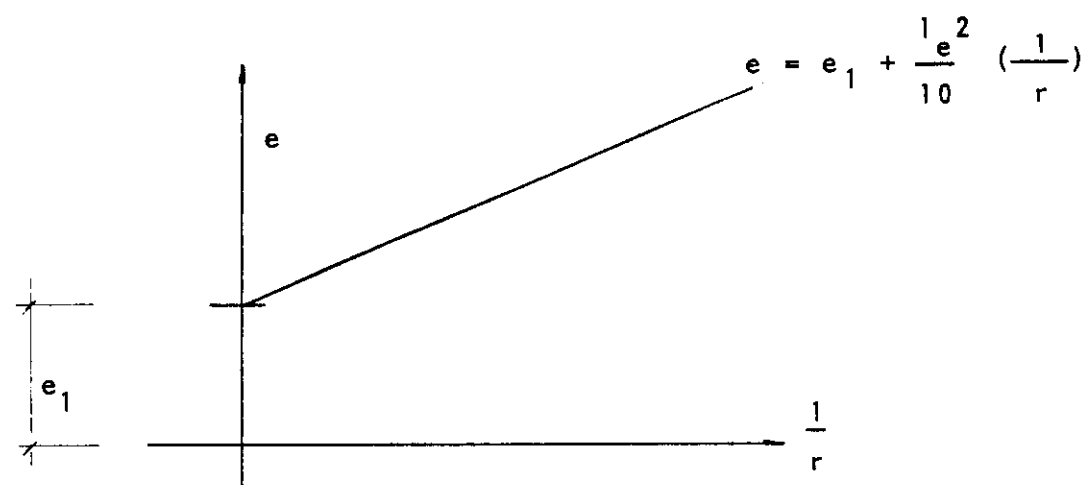
$$e_1 = \frac{M_{1d}}{N_d} = \frac{H_d s}{N_d} + e_o + e_a$$

Levando em consideração a posição deformada da coluna a excentricidade total externa é igual a:



$$e = e_1 + a = e_1 + \frac{1}{10} \frac{e^2}{r}$$

O gráfico da excentricidade externa em função da curvatura é representado na figura abaixo:

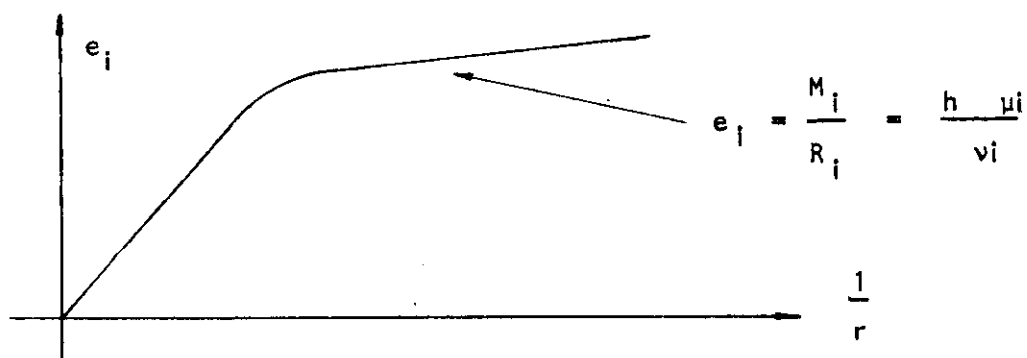


Por outro lado o valor da excentricidade interna  $e_i$  em função da curvatura é obtido das condições de equilíbrio de forças e compatibilidade de deformações.

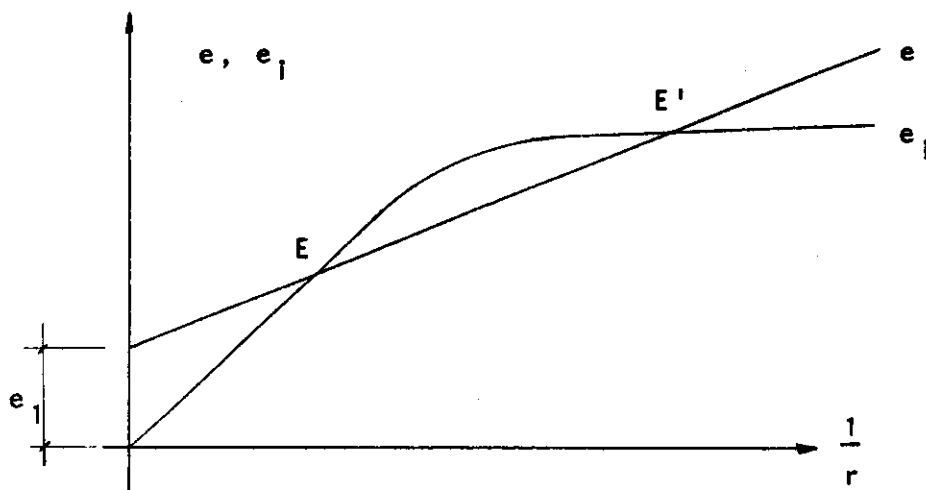
A figura abaixo mostra um gráfico típico de  $e_i$  para um valor constante de  $v$  e  $w$ .

$R_i$  = força resultante das tensões normais

$M_i$  = momento resultante das tensões normais



Superpondo os dois diagramas:

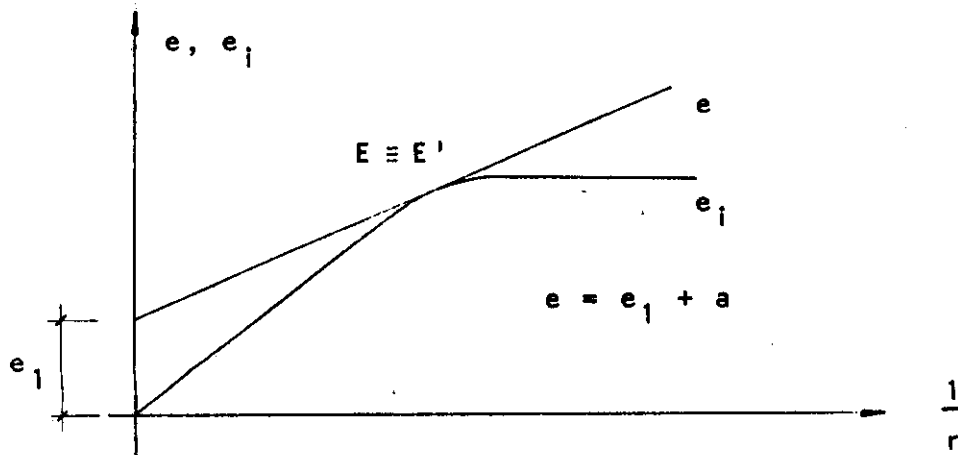


Se as duas curvas se interceptam existe o estado de equilíbrio - com configuração representada pela curvatura do ponto E onde  $e = e_i$ .

O ponto E' representa outra configuração de equilíbrio mas, nesse caso, é equilíbrio instável (se o equilíbrio é ligeiramente alterado pelo aumento da flecha, e consequente aumento da curvatura da base, a excentricidade interna aumenta menos que a externa).

Se, por outro lado, o valor da carga axial externa  $N_d$  aumenta, o correspondente diagrama de  $e_i$  abaixa e os pontos E e E' tendem a se aproximar.

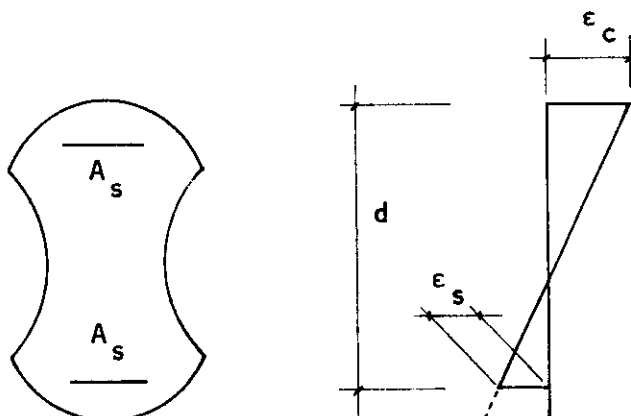
No estado limite E e E' coincidem e a reta da excentricidade externa é tangente à curva da excentricidade interna nesse mesmo ponto  $E \equiv E'$ .



O valor de  $N_d$  correspondente a essa situação corresponde ao Estado Limite Último de Instabilidade.

Neste processo não é necessário determinar o diagrama completo de  $\epsilon_i$ .

Suponhamos, para a seção da base, uma forma qualquer com uma deformação plana qualquer



Conhecido o estado de deformações calcula-se a resultante das tensões internas ( $R_i$ ) e o momento fletor dessas tensões ( $M_i$ ) através das relações  $\sigma \times \epsilon$  do concreto e aço.

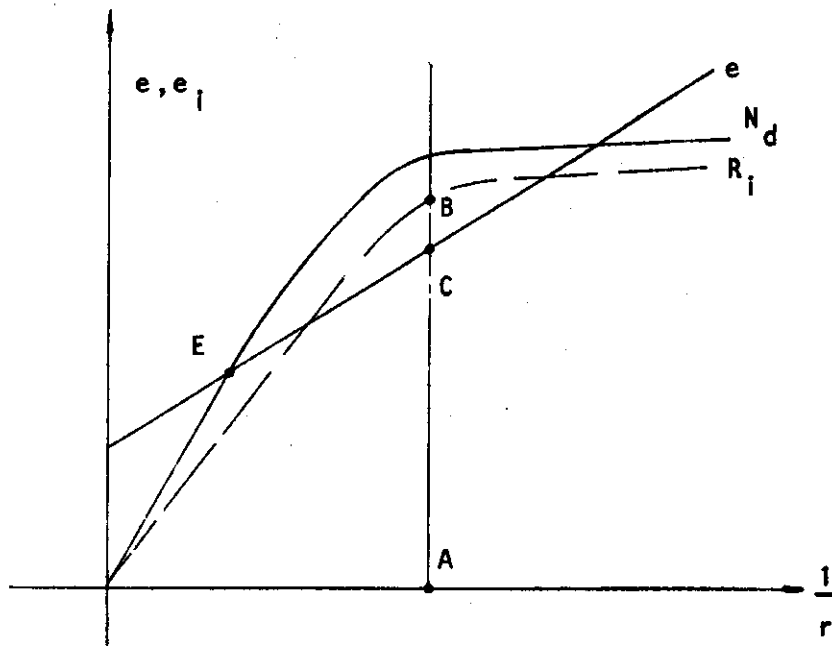
$$R_i = \int_{A_c} \sigma_c dA_c + \int_{A_s} \sigma_s dA_s$$

$$M_i = \int_{A_c} z \sigma_c dA_c + \int_{A_s} z \sigma_s dA_s$$

Haverá estabilidade se:

$$R_i > N_d \quad \text{e} \quad e_i = \frac{M_i}{R_i} > e$$

cuja representação está na figura abaixo:



Ínicio que demonstra essa afirmativa não necessita da determinação da curva  $e_i \times \frac{1}{r}$  para  $N_d$  pois,

$$\overline{AB} > \overline{AC}, \text{ isto é, } e_i > e = e_i + a$$

pode-se afirmar que a curva de parâmetro  $R_i$  intercepta a reta da excentricidade externa.

Por outro lado, como:

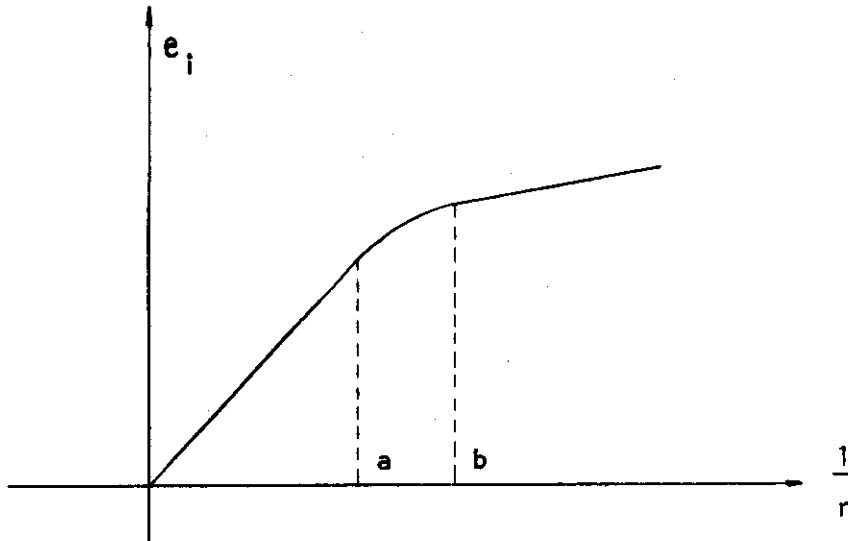
$$R_i > N_d$$

a curva correspondente a  $N_d$  encontra-se acima da correspondente a  $R_i$ ; e, certamente, interceptará a reta da excentricidade externa e então existirá um ponto E de equilíbrio estável.

Neste método garante-se a existência de um ponto de equilíbrio estável, sem procurar detetá-lo.

#### 2.4.2. Uso prático

A figura abaixo mostra a forma mais usual do diagrama  $e_i \times \frac{1}{r}$ :

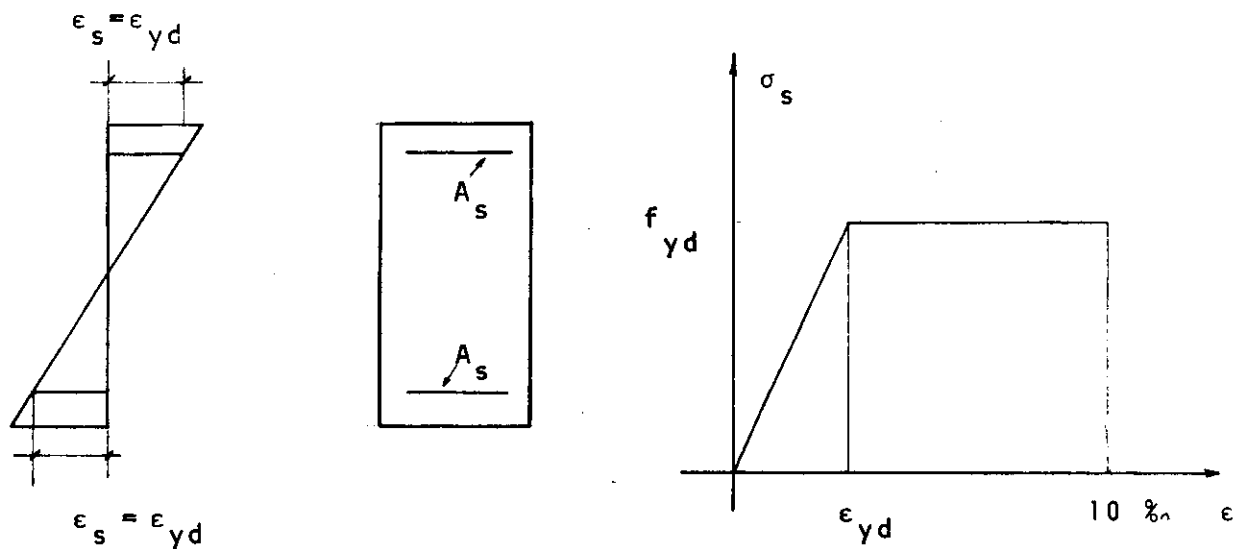


que pode ser considerado como composto por 2 retas unidas entre si por uma curva de transição cuja forma depende da seção transversal da coluna e da taxa de armadura.

A análise dos vários diagramas de curvatura mostra que essa curva de ligação aparece mais nitidamente quando algumas barras entram em escoamento.

Baseando-se no fato que a perda de estabilidade ocorre nesse trecho curvo ("joelho") sugere-se o seguinte processo para seções simétricas com armadura simétrica e aço classe A

1º) Inicia-se o processo supondo um diagrama simétrico de deformações e início de escoamento nas armaduras mais deformadas (ver mais adiante considerações sobre seção circular).



2º) Calcula-se  $R_i = R_c + R_s$

$R_c$  = resultante das tensões do concreto

$R_s$  = resultante das tensões do aço.

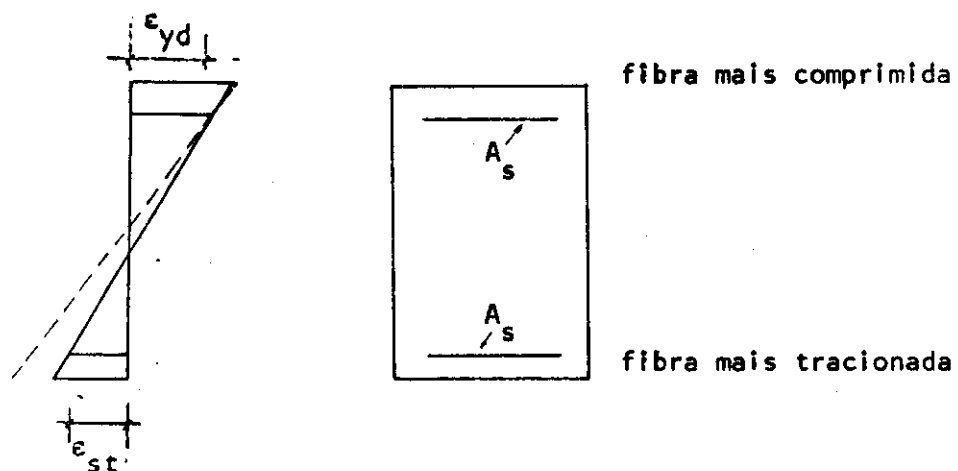
$$R_i = R_c + A_s f_{yd} - A_s f_{yd} = R_c$$

3º)

a) Se:

$$R_i < N_d$$

deve-se reduzir a deformação na armadura de tração, mantendo fixa a deformação da armadura de compressão, para que o valor  $R_i$  aumente,



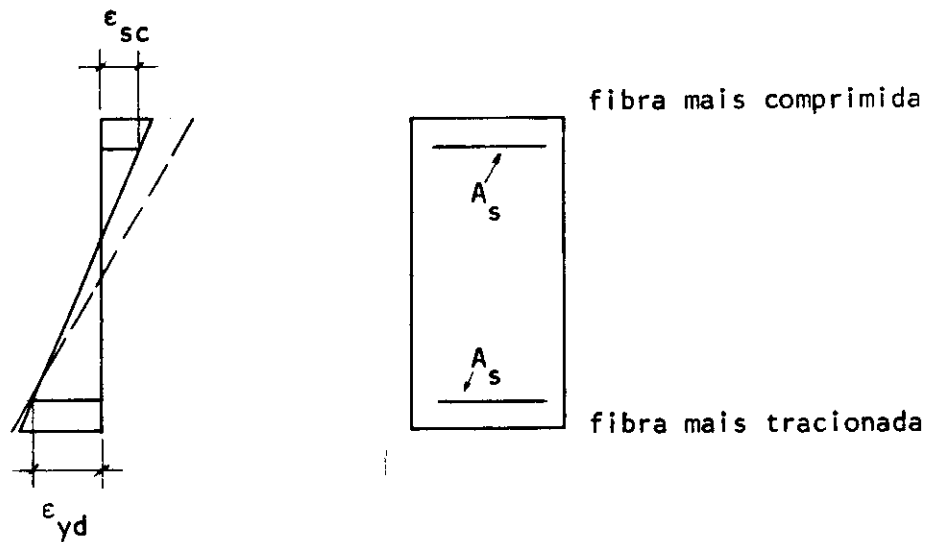
até se chegar a  $R_i$  ligeiramente maior que  $N_d$

$$R_i \approx N_d \text{ tal que } R_i > N_d$$

b) Se:

$$R_i > N_d$$

deve-se reduzir a deformação na armadura comprimida, mantendo-se a deformação na armadura tracionada, para que o valor de  $R_i$  diminua,



até que a diferença entre  $R_i$  e  $N_d$  seja pequena

$$(R_i - N_d) \approx 0 \text{ tal que ainda } R_i > N_d.$$

4º) Obtido o diagrama de deformações verifica-se o valor da excentricidade  $e_i$  com relação ao centro de gravidade da peça.

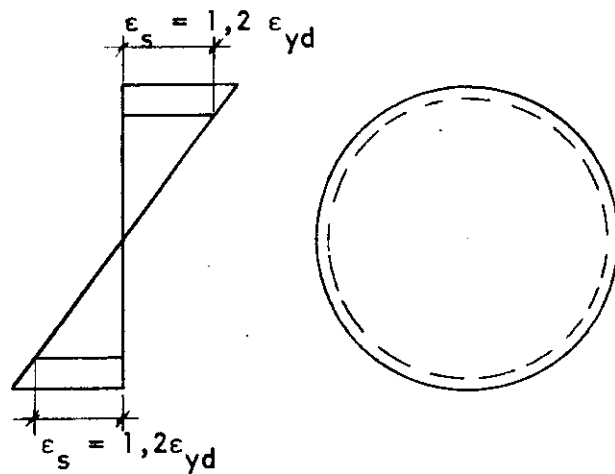
A diferença:

$$e_i - e$$

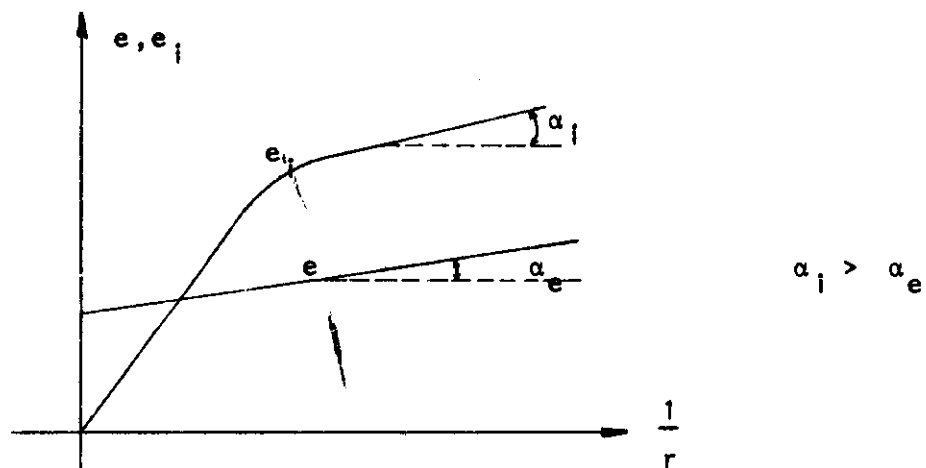
dá uma ordem de grandeza da reserva de capacidade da peça.

Esse processo dá bons resultados para seção retangular com armadura simétrica de canto.

Para seções circulares, quando a armadura é uniformemente distribuída o centro do trecho curvo ("joelho") pode ser obtido, assumindo-se inicialmente para as armaduras mais deformadas  $\epsilon_s = 1,2 \epsilon_{yd}$ .



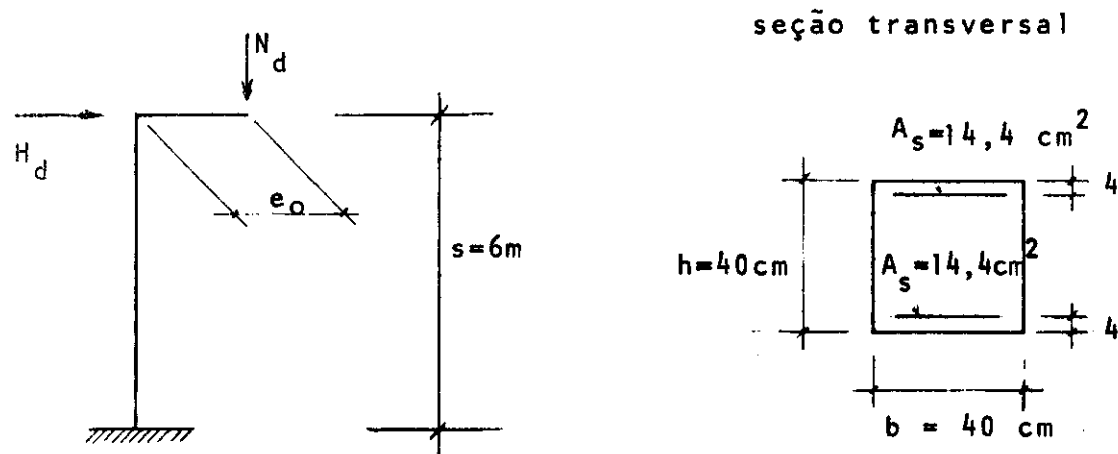
Este processo, entretanto, falha para o caso de colunas curtas onde a inclinação da reta de excentricidade externa é menor que a inclinação do 2º trecho do diagrama de  $e_f$ .



Esses casos, entretanto, não são de interesse para o presente estudo pois provavelmente ocorrerá rutura do material antes da perda de estabilidade.

Exemplo numérico:

Verificar a coluna da figura



$$N_d = 57 \text{ tf.}$$

$$H_d = 1,5 \text{ m.}$$

$$e_0 = 6,7 \text{ cm}$$

$$0,85 f_{cd} = 120 \text{ kgf/cm}^2$$

$$f_{yd} = 4200 \text{ kgf/cm}^2$$

$$\epsilon_{yd} = 2\%$$

$$l_e = 2s = 2 \times 6 = 12 \text{ m}$$

na seção da base:

$$M_1 = N_d (e_o + e_a) + H_d s = N_d e_1$$

$$e_1 = e_o + e_a + \frac{H_d}{N_d} s$$

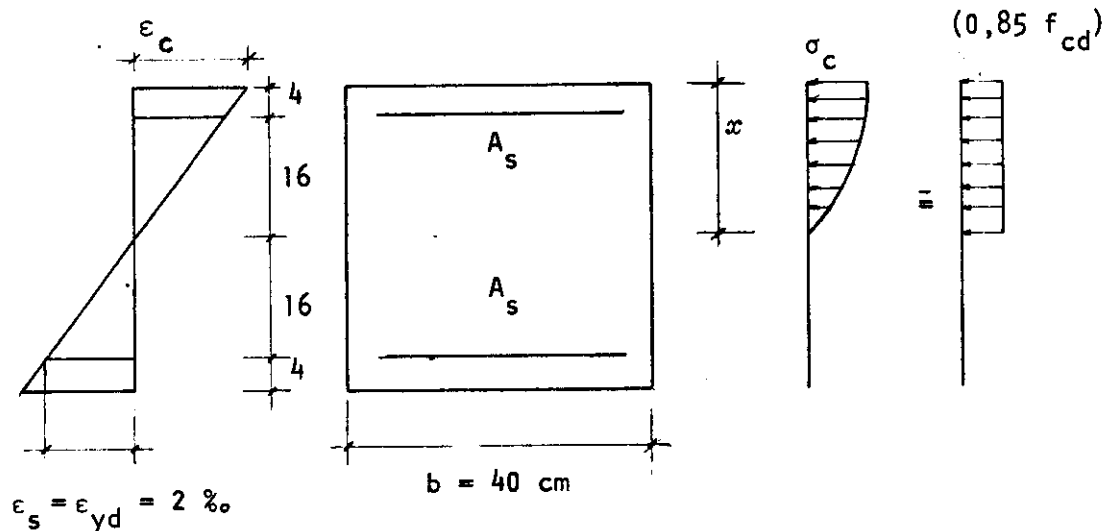
$$e_a = \frac{\lambda}{1000} h \quad \text{ou} \quad e_a = \frac{h}{30} = \frac{40}{30} = 1,33 \text{ cm} \quad \text{ou} \quad e_a = 2 \text{ cm}$$

$$\lambda = \frac{l_e}{i} = \frac{l_e}{\sqrt{\frac{l_c}{A_c}}} = \frac{1200}{\sqrt{\frac{40^4}{12 \times 40^2}}} = \frac{1200}{11,55} = 103,92$$

$$e_a = \frac{103,92}{1000} \times 40 = 4,1 \text{ cm} > 2,0 \text{ cm}$$

$$e_1 = 6,7 + 4,1 + \frac{1,5}{57} \times 6,0 = 26,6 \text{ cm}$$

Seguindo os passos expostos temos como 1<sup>a</sup> tentativa para o diagrama de deformações:



$\kappa$  = fator que permite considerar o diagrama de tensões como retangular (anexo nº 4)

$$\epsilon_c = 20 \times \frac{2}{16} = 2,5 \%$$

$$R_i = R_c = \kappa \sigma_c (b x)$$

$$\text{para } \epsilon_c = 2,5 \%$$

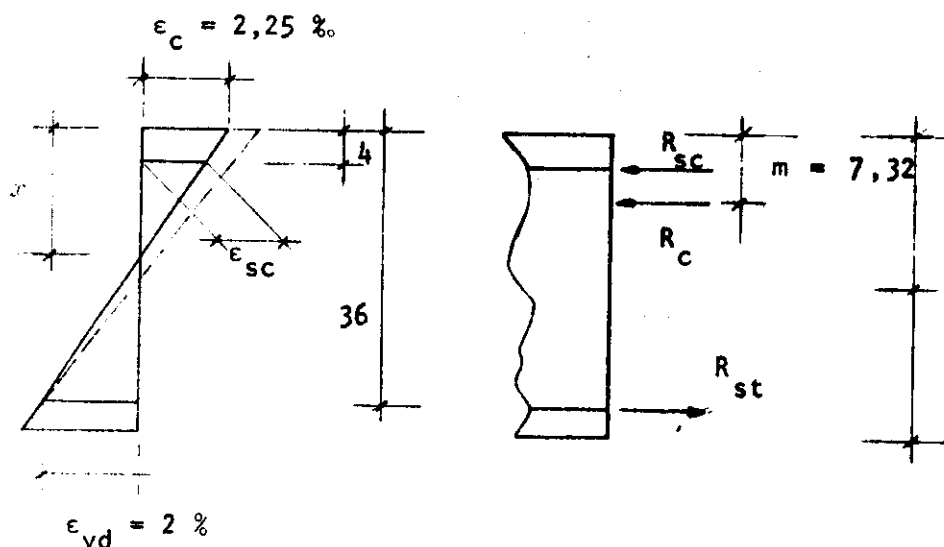
$$\sigma_c = 0,85 f_{cd} = 120 \text{ kgf/cm}^2$$

$$\kappa = 0,733 \text{ (anexo n° 4)}$$

$$R_i = 0,733 \times 0,120 (40 \times 20) = 70,4 \text{ tf}$$

$$R_i = 70,4 \text{ tf} > N_d = 57 \text{ tf}$$

caímos no item b do 3º passo do processo onde deve-se reduzir a deformação do concreto para a 2ª tentativa do diagrama de deformações:



$$x = 2,25 \times \frac{36}{(2,00 + 2,25)} = 19,06 \text{ cm}$$

$$\epsilon_{sc} = \frac{2,25}{19,06} (19,06 - 4,00) = 1,778 \%$$

Resultante das tensões no concreto:

$$\text{para } \epsilon_c = 2,25 \%$$

$$\sigma_c = 0,85 f_{cd} = 120 \text{ kgf/cm}^2$$

$$\kappa = 0,704 \text{ (anexo n° 4) } \{8\}$$

$$R_c = 0,704 \times 0,12 (40 \times 19,06) = 64,4 \text{ tf}$$

Resultante das tensões no aço comprimido:

$$R_{sc} = A_s \sigma_{sc}$$

$$\sigma_{sc} = \frac{1,778}{2,000} \times 4.200 = 3.734 \text{ kgf/cm}^2$$

$$R_{sc} = 14,4 \times 3,734 = 53,8 \text{ tf}$$

Resultante das tensões no aço tracionado:

$$R_{st} = A_s f_{yd} = 14,4 \times 4,2 = 60,5 \text{ tf}$$

Resultante final:

$$R_i = 64,4 + 53,8 - 60,5 = 58 \text{ tf.}$$

$$R_i - N_d = 58 - 57 = 1 \text{ tf}$$

Como  $R_i$  é ligeiramente maior que  $N_d$  pode-se considerar terminado o processo e calcular  $e_i$ :

$\beta$  = fator tal que multiplicado por  $x$  fornece a posição da resultante  $R_c$  (anexo nº 4)

para  $\epsilon_c = 2,25\%$

$\beta = 0,383$

$$m = 0,383 \times 19,06 = 7,30 \text{ cm}$$

$$M_i = R_c (20 - 7,30) + R_{sr} \times 16,0 + R_{st} \times 16,0$$

$$M_i = 64,4 \times 12,70 + 53,8 \times 16,0 + 60,5 \times 16,0 = 2647 \text{ tf.cm}$$

$$e_i = \frac{M_i}{R_i} = \frac{2647}{58} = 45,6 \text{ cm}$$

A excentricidade total será a soma das excentricidades de 1<sup>a</sup> e 2<sup>a</sup> ordem

$$e = e_1 + a = e_1 + \frac{1}{10} \frac{e^2}{r} \times \frac{1}{r}$$

$$\frac{1}{r} = \frac{|e_c| + e_s}{d} = \left( \frac{2,25 + 2,00}{36} \right) 10^{-3} = \frac{0,12}{1000}$$

$$e = 26,6 + \frac{1200^2}{10} \times \frac{0,12}{1000} = 26,6 + 17,0 = 43,6 \text{ cm.}$$

Resumindo:

$$R_i = 58 \text{ tf} > N_d = 57 \text{ tf}$$

$$e_i = 45,6 \text{ cm} > e = 43,6 \text{ cm}$$

vemos que estão satisfeitas as hipóteses do processo e a solicitação da coluna está próxima do estado limite último de instabilidade.

Comparação com o método da coluna padrão:

$$N_c = 0,85 f_{cd} A_c = 0,12 \times 40^2 = 192 \text{ tf}$$

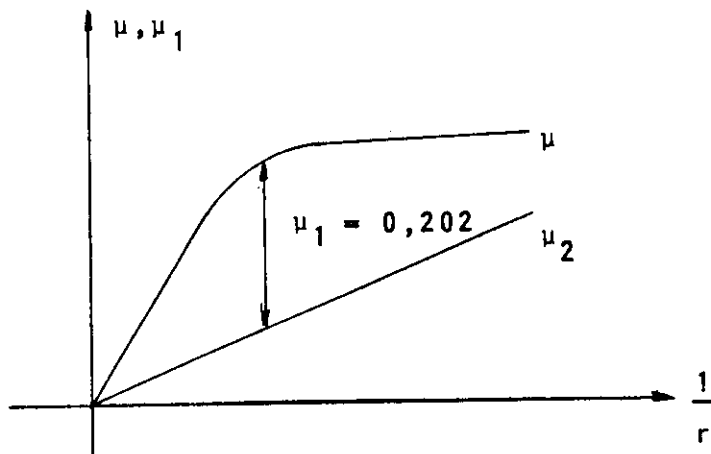
$$v = \frac{N_d}{N_c} = \frac{57}{192} = 0,297 \approx 0,3$$

$$\frac{1}{h} = \frac{1200}{40} = 30$$

$$\omega = \frac{f_y d A_s}{N_c} = \frac{4,2 \times 14,4}{192} \approx 0,3$$

Consultando a tabela RC 20/10 (anexo nº 2)

$$\mu_1 = 0,202$$



$$\mu_1 = \frac{M_1}{N_c h} = \frac{N_d e_{1\max}}{N_c h} = v \frac{e_{1\max}}{h}$$

$$v \frac{e_{1\max}}{h} = 0,202$$

$$e_{1\max} = \frac{0,202 \times 40}{0,3} = 26,9 \text{ cm}$$

$$e_{1\text{efetivo}} = 26,6 \text{ cm}$$

Ve-se que

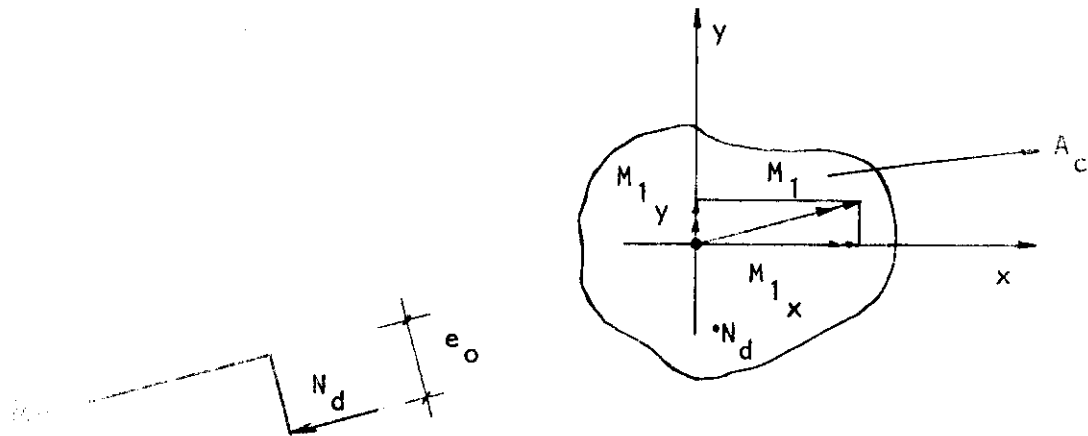
$$e_{1\max} = 26,9 \text{ cm} \approx e_{1\text{efetivo}} = 26,6 \text{ cm}$$

Isto é, a coluna está próxima de seu estado limite último de perda de estabilidade.

### 3. Excentricidade Biaxial

A capacidade de uma coluna sujeita a carga axial  $N_d$  e a momento fletor  $\vec{M}_1$  com componentes  $M_{1_x}$  e  $M_{1_y}$  em relação a dois eixos -

(x - y) perpendiculares entre si é dada pelas equações de equilíbrio:



$$N_d = M_{1_x} + \int_{A_c} \sigma_c dA_c + N_s$$

$$M_{1_x} + M_{1_y} = M_{i_x} = - \int_{A_c} y \sigma_c dA_c + M_{s_x}$$

$$M_{d_x} = M_{1_y} = M_{2_y} = M_{i_y} = \int_{A_c} x \sigma_c dA_c + M_{s_y}$$

onde:

$M_{d_x}$ ,  $M_{d_y}$  componentes nos eixos x e y do momento de cálculo  $M_d$

$$\vec{M}_d = \vec{M}_1 + \vec{M}_2$$

$$M_1 = N_d (e_o + e_a)$$

$e_o$  = excentricidade inicial de  $N_d$

$e_a$  = excentricidade accidental calculada segundo as recomendações do C.E.B. (R. 42,20) ou segundo a NB-1 (4.1.1.3)

$$M_2 = N_d \left( \frac{e^2}{10} - \frac{1}{r} \right) \text{ cujo cálculo está comentado na 7a. etapa (3.1.)}$$

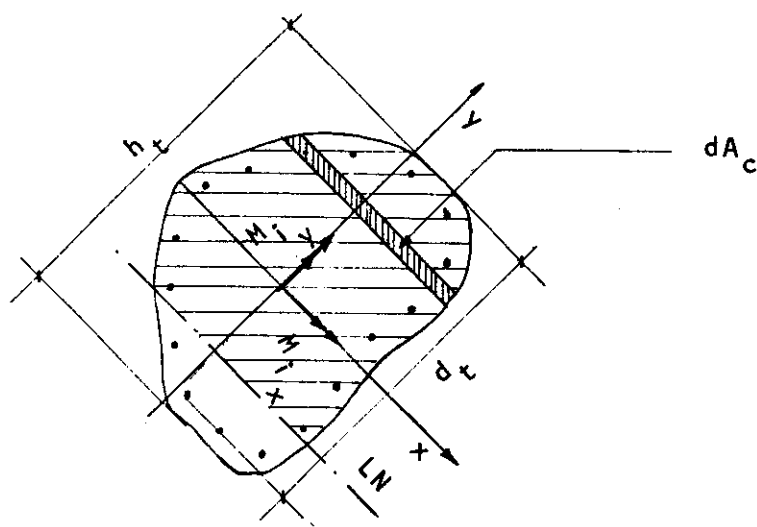
$M_{ix}$ ,  $M_{iy}$  = componentes nos eixos x e y do momento  $M_i$  da resultante das tensões normais.

$R_s$  = contribuição do aço para o esforço normal

$M_{sx}$ ,  $M_{sy}$  = contribuição do aço para o momento interno  $M_i$

### 3.1. Método da Coluna Padrão - sequência de cálculo

- 1º) Conhecida a seção da peça e os valores  $N_d$  e  $M_1$  assume-se uma taxa ( $\omega$ ) e uma distribuição para a armadura ( $A_s$ )
- 2º) Supõe-se uma direção e uma posição para a Linha Neutra (LN) nessa seção.
- 3º) Coloca-se, nessa seção, um par de eixos ( $x, y$ ) perpendiculares entre si com origem no centro de gravidade e um dos eixos paralelo à suposta linha neutra.

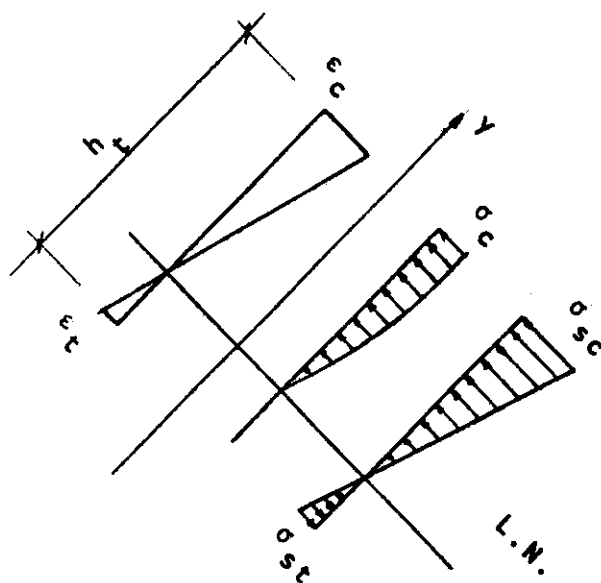


$A_c$  = área total da seção transversal de concreto

$h_t$  = altura da seção na direção da flexão

- 4º) Assume-se um plano de deformações, isto é, uma curvatura, e,

com essa hipótese fica determinado o diagrama de  $\sigma_c$  e  $\sigma_s$ .



5º) Calcula-se

$$R_i = \int_{A_c} \sigma_c dA + R_s$$

escolhendo, para facilitar a integração, um elemento  $dA$  paralelo ao eixo  $x$  (ver figura da 3a. etapa)

onde;

$$R_s = \int_{A_s} \sigma_s dA_s$$

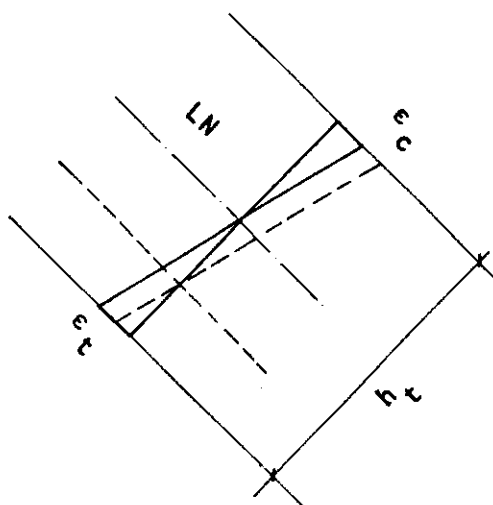
Discretizando o elemento  $dA_s$  como a área transversal de uma barra de armadura ( $A_\phi$ )

$$R_s = \sum_{j=1}^n \sigma_{s_j} A_{\phi_j}$$

$n$  = número de barras

6º) Se:  $R_i \neq N_d$

Volta-se à 2a. etapa mantendo-se a curvatura assumida na 4a etapa e transladando-se a linha neutra da seguinte forma:



se:

$$R_i > N_d \quad \text{deve-se levantar a LN}$$

$$R_i < N_d \quad \text{deve-se abaixar a LN}$$

Esta etapa é repetida até

$$R_i \approx N_d$$

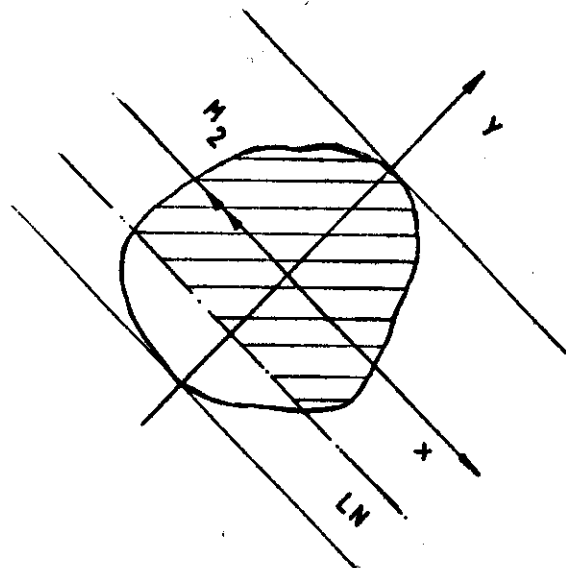
7º) Calcula-se o momento de 2ª ordem

$$M_2 = N_d \left( \frac{\frac{1}{4} e^2}{10} - \frac{1}{r} \right) = N_d \left( \frac{\frac{1}{4} e^2}{10} - \frac{|e_c| + e_s}{d} \right)$$

Esse cálculo só é possível para qualquer direção de flexão caso se possa garantir que tanto em x quanto em y as condições de vínculo são as mesmas.

Daí, então, em qualquer direção as condições de vínculo serão iguais e  $l_e$  será definido. Caso contrário, deve-se criar uma regra que defina  $l_e$  ou, assumir um valor que leve o cálculo para o lado seguro.

A direção e sentido de  $M_2$  são conhecidos porque a flexão se dá em torno da linha neutra que é assumida na 2a. etapa.



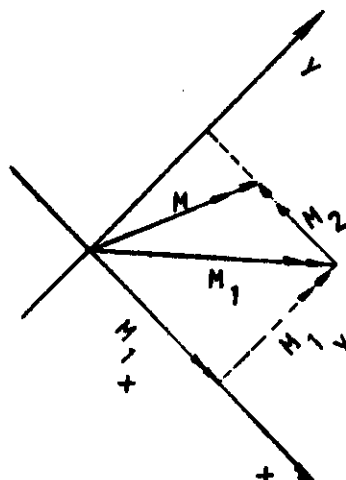
8º) Calcula-se a soma vetorial

$$\vec{M} = \vec{M}_2 + \vec{M}_1$$

cujas componentes são:

$$M_x = -M_2 + M_{1x}$$

$$M_y = M_{1y}$$



9º) Calcula-se (ver figura da 3a. etapa)

$$M_{1x} = - \int_{A_c} y \sigma_c dA_c + M_{sx}$$

$$M_{1y} = \int_{A_c} x \sigma_c dA_c + M_{sy}$$

onde

$$M_{sx} = - \int_{A_s} y \sigma_s dA_s$$

$$M_{sy} = \int_{A_s} x \sigma_s dA_s$$

Para o cálculo de  $M_{s_x}$  e  $M_{s_y}$  o elemento  $dA_s$  pode também, como no caso de  $R_s$ , ser discretizado como a área correspondente a uma barra de aço ( $A\phi_j$ ):

Então temos:

$$M_{s_x} = - \sum_{j=1}^n y_j A\phi_j \sigma_s$$

$$M_{s_y} = \sum_{j=1}^n x_j A\phi_j \sigma_s$$

onde:

$A\phi_j$  = área de cada barra da armadura

$x_j, y_j$  = são, respectivamente, as distâncias das barras aos eixos y e x

n = número de barras

10º) Compara-se  $\vec{M}_i$  com  $\vec{M}$  para verificar se são iguais, isto é, se:

$$M_{i_x} = M_x = M_{1_x} + M_{2_x}$$

$$M_{i_y} = M_y = M_{1_y} + M_{2_y}$$

Se não forem iguais volta-se à 2a. etapa assumindo uma nova direção e posição para a linha neutra, mas, mantendo-se, na 4a. etapa, a curvatura já assumida.

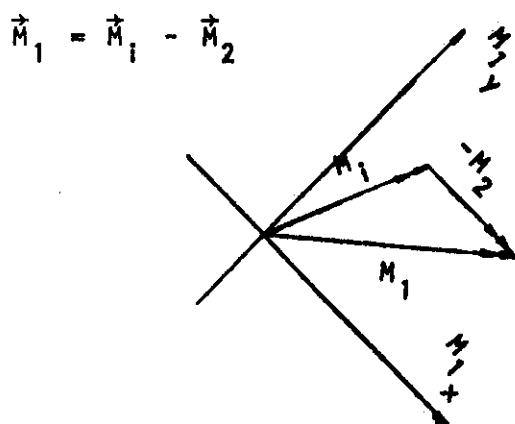
11º) Quando:

$$\vec{M}_i = \vec{M}_d$$

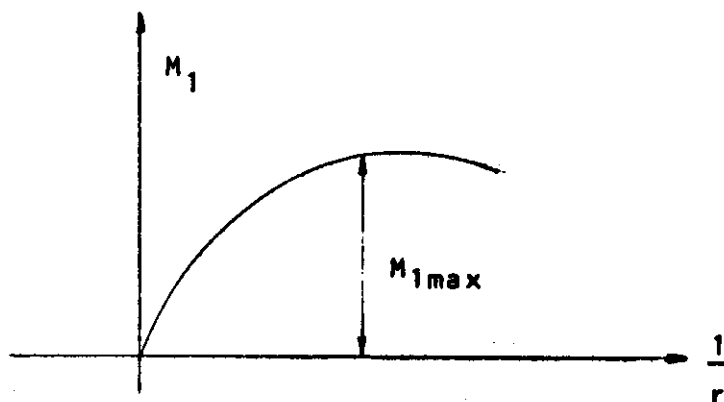
pode se afirmar que existe um estado de equilíbrio para  $N_d$  e  $\vec{M}_1$  aplicados. Até esta etapa não se sabe o módulo máximo de  $\vec{M}_1$ , isto é, até que ponto poder-se-ia aumentar  $e_o$ .

12º) Com o objetivo de se determinar o máximo módulo de  $\vec{M}_1$ , reini-  
cia-se o processo, alterando-se a curvatura na 4a. etapa, can-

celando-se a 8a. etapa e transformando-se a 10a. etapa em:



13º) Elabora-se um gráfico de  $M_1 \times \frac{1}{r}$



Esse gráfico mostra que uma determinada seção, com uma determinada taxa e posicionamento da armadura, sujeita a um esforço normal tem, conforme a curvatura, uma capacidade diferente para o momento aplicado.

A capacidade de carga da coluna, isto é, o estado limite último para a excentricidade na direção dada ocorre para a curvatura em que o módulo de  $\vec{M}_1$  é máximo.

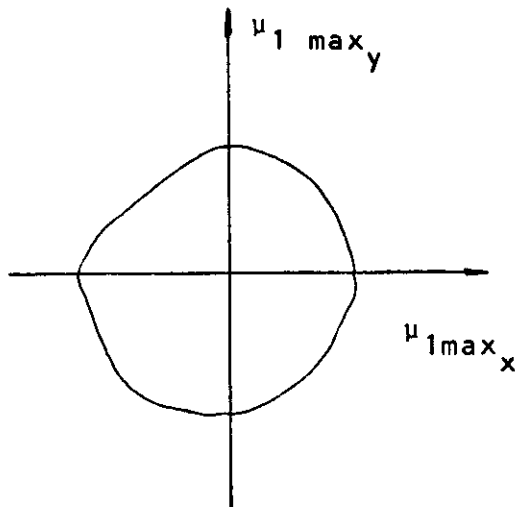
#### OBSERVAÇÕES:

- a) Para se conhecer a tensão do aço para o momento  $\vec{M}_1$  aplicado (verificação da tensão em serviço para fins da NB-1/(4.2.2)) deve-se usar os valores de  $\sigma_s$  da 4ª etapa da tentativa em que:

$$\vec{M}_i - \vec{M}_2 = \vec{M}_1$$

isto é, quando a 11a. etapa se verifica.

- b) Esse cálculo torna-se mais fácil se forem preparados gráficos com valores máximos de  $\vec{M}_1$  para qualquer direção utilizando-se o adimensional  $\mu_1$ .



$$v = \frac{N_d}{0,85 f_{cd} A_c} = \text{cte}$$

$$\omega = \frac{A_s f_{yd}}{0,85 f_{cd} A_c} = \text{cte}$$

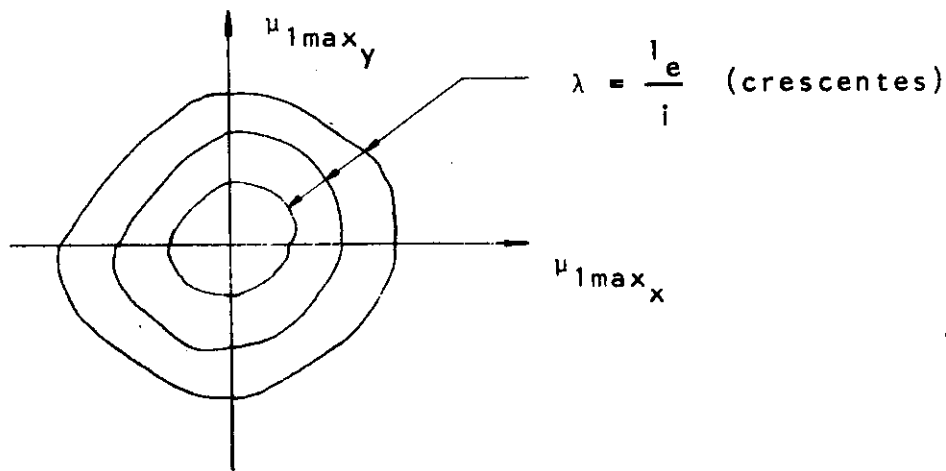
$\frac{1}{r}$  = variável de ponto a ponto

Isto é, para cada direção e sentido do momento  $\vec{M}_1$  aplicado, existe uma curvatura para a qual o módulo do vetor momento é máximo.

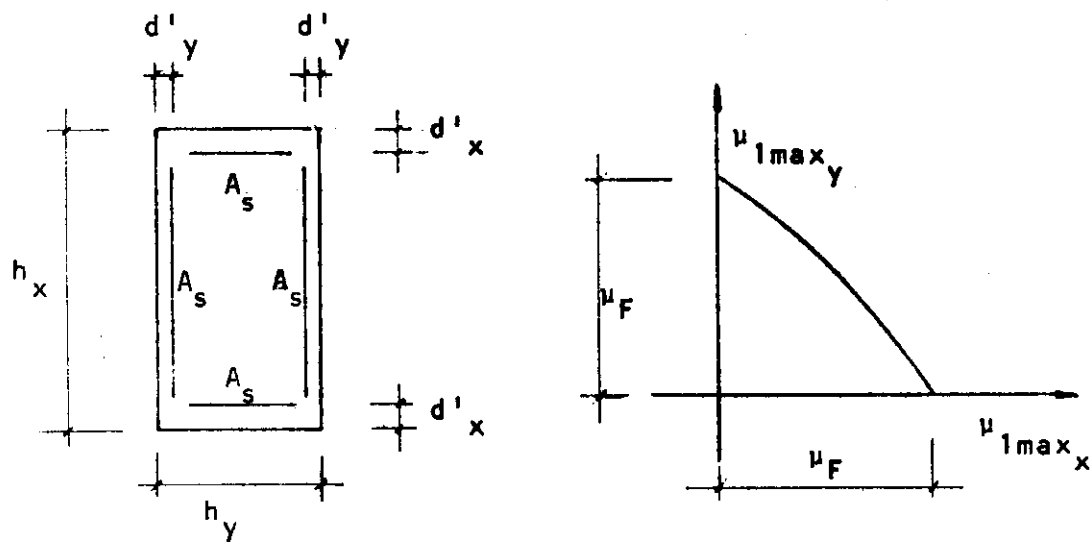
Com essa curvatura a peça atinge o estado limite último com aquele momento  $\vec{M}_1$  aplicado.

Assim, se conhecermos as componentes do momento  $\vec{M}_1$  aplicado, e esse par de valores ( $M_{1x}$ ,  $M_{1y}$ ) estiver dentro da região limitada pela curva de  $M_{1\max}$  pode-se dizer que a coluna não atingiu seu estado limite último.

- c) Pode-se tornar o gráfico mais completo fazendo-se variar o índice de esbeltez, isto é, introduzindo-se diferentes valores de  $\lambda = \frac{l_e}{i}$  na 7a. etapa. Quanto mais esbelta a peça, mais a curva se aproxima da origem.



- d) Quando não é necessário considerar o efeito dos deslocamentos, a curva do gráfico deve coincidir com a respectiva curva dos diagramas de roseta para colunas curtas {6}, {9}.
- e) Para peças simétricas, com armadura simétrica vê-se facilmente que o gráfico é simétrico com relação aos eixos, desde que esses eixos sejam paralelos aos eixos de simetria da seção. Pode-se então desenhar um só quadrante.
- f) Se a peça, além de simétrica, com armaduras simétricas e iguais entre si, tiver  $\frac{d'}{h}$  iguais nos dois eixos, os pontos em que a curva de  $\lambda \leq 40$  (NB-1) ou  $\lambda \leq 35$  (C.E.B.) corta os eixos serão equidistantes da origem ( $\mu_F$ )



pois a capacidade da seção, para flexão normal composta, para o caso de armadura concentrada, depende apenas da taxa de armadura e da relação  $\frac{d'}{h}$  {5}, {7}.

### 3.2. Método do Momento-Complementar - dimensionamento

#### 3.2.1. 1<sup>a</sup> aproximação

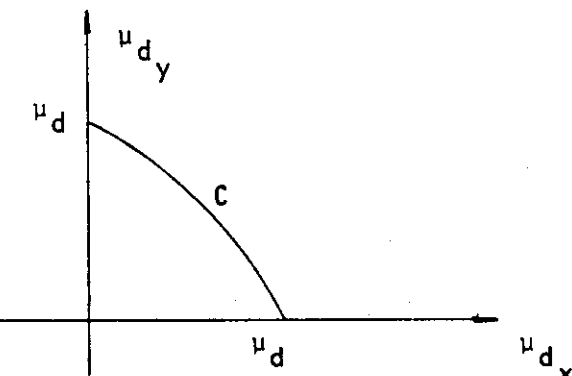
O objetivo deste método é determinar um valor para  $\mu_d$  de modo que a peça possa ser dimensionada como se fosse coluna curta sujeita somente à flexão normal composta.

É feita a hipótese de seção simétrica, com armaduras simétricas e iguais entre si e, além disso, que as relações  $\frac{d'x}{h_x}$  e  $\frac{d'y}{h_y}$  sejam iguais entre si, onde x e y são os eixos de simetria.

Essas restrições garantem que, se o momento último externo for em torno de x, com componente nula em y ou, analogamente, se for em torno de y, com componente nula em x, seus respectivos adimensionais são iguais (3.1 - f)

$$\mu_{d_x} = \mu_{d_y} = \mu_d$$

O gráfico de flexão composta para colunas curtas cruzará os eixos coordenados em pontos  $\mu_d$  equidistantes da origem:



Se  $\frac{d'x}{h_x} \neq \frac{d'y}{h_y}$  supõe-se, inicialmente, que sejam iguais e, após

ter sido determinado  $\mu_d$ , pode-se fazer a verificação, já com os valores reais de  $\frac{d'x}{h_x}$  e  $\frac{d'y}{h_y}$ .

Quando a flexão for oblíqua, os valores últimos do par de componentes do momento estarão sobre uma curva. Os pontos na região limitada por essa curva são valores de momento oblíquo inferiores aos

momentos últimos.

Sabe-se também que, quando  $\frac{e}{h}$  cresce, as componentes do momento último de 1<sup>a</sup> ordem diminuem pois passa a prevalecer o estado limite de perda de estabilidade onde o momento de 2<sup>a</sup> ordem "consome" parte das tensões existentes na seção.

Se fosse conhecido o valor fictício (2.3) de  $\hat{M}_2$ , fácil seria calcular  $\hat{M}_1$ , pois a soma  $\hat{M}_1 + \hat{M}_2$  seria igual a  $\hat{M}_d$  conhecido do estudo de colunas curtas.

Entretanto existem duas direções onde a 1<sup>a</sup> aproximação de  $M_2$  é conhecida(2.3)e, com isso, se torna fácil conhecer  $\hat{M}_1$ . Essas direções são as dos eixos principais.

Se  $\hat{M}_1$  for em torno de x,  $\hat{M}_2$  também será em torno de x (flexão normal composta) com o módulo adimensional:

$$\mu_2 = \frac{M_2}{0,85 f_{cd} A_c h_x} = \frac{N_d}{0,85 f_{cd} A_c} \frac{l_x^2}{10 r_x} \frac{1}{h_x} = \frac{v}{10} \left( \frac{l_x}{h_x} \right)^2 \frac{h_x}{r_x}$$

e, com a curvatura dada pelas expressões (E-2-9) ou (E-2-10) , o valor último de  $\mu_1$  será, para flexão em torno de x, chamado  $\mu_B$

$$\mu_B = \mu_d - \mu_2$$

Como este é um método de dimensionamento conhece-se  $\mu_B$  e procura-se  $\mu_d$  com que a peça será dimensionada

$$\mu_d = \mu_B + \mu_2 = \mu_B + \frac{v}{10} \left( \frac{l_x}{h_x} \right)^2 \frac{h_x}{r_x}$$

Analogamente, chamando  $\mu_A$  o valor último de  $\mu_1$  para flexão em torno de y temos:

$$\mu_2 = \frac{v}{10} \left( \frac{l_y}{h_y} \right)^2 \frac{h_y}{r_y}$$

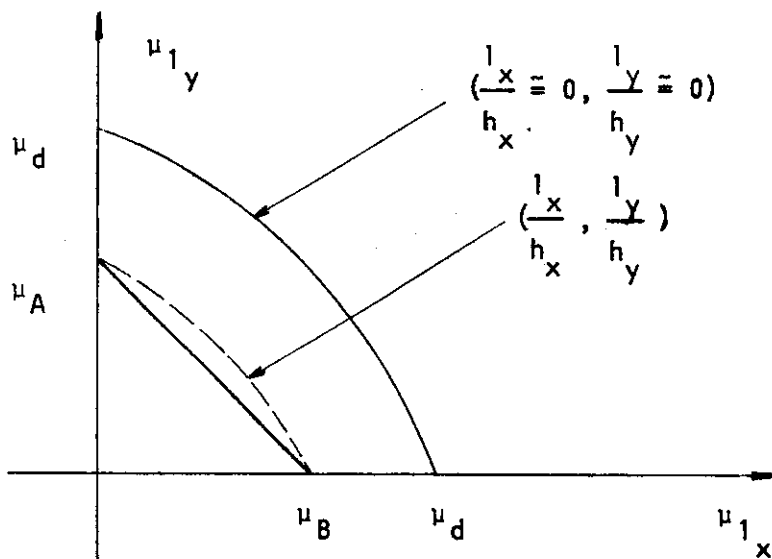
$$\mu_A = \mu_d - \mu_2$$

e, o momento a se utilizar para dimensionar a peça será:

$$\mu_d = \mu_A + \mu_2_y = \mu_A + v \left( \frac{1}{h_y} \right)^2 \frac{h_y}{r_y}$$

Então, para cada par  $(\frac{1}{h_x}, \frac{1}{h_y})$  que mede a esbeltez da peça, conhecem-se os respectivos valores de  $\mu_B$  e  $\mu_A$ .

Quando a flexão é oblíqua não se conhece "a priori" a direção de  $\vec{M}_2$  cuja determinação só é feita por tentativas. Sabe-se porém que a curva dos valores últimos de  $\vec{M}_1$  é externa ao segmento de reta - que une  $\mu_A$  com  $\mu_B$  (3.1)



O fato da curva ser externa ao segmento de reta é utilizado neste método quando o momento  $\vec{M}_1$  for oblíquo e se quer determinar qual seria o correspondente valor de  $\mu_d$  de flexão normal composta, para se dimensionar a peça.

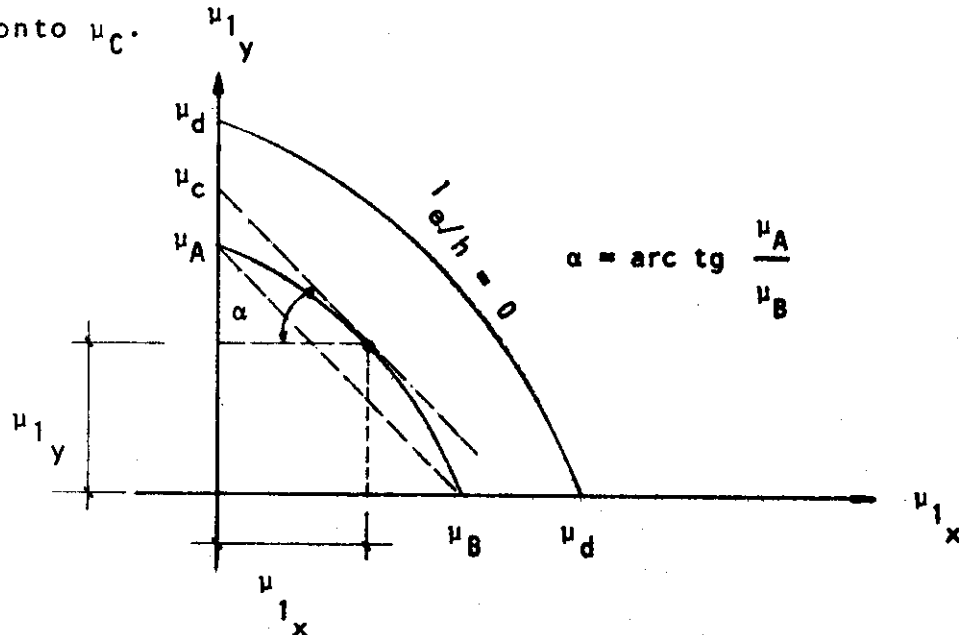
Como a direção de  $\vec{M}_1$  é oblíqua, não se conhece o respectivo  $\frac{e}{h}$  - nem  $\frac{1}{r}$ , mas o valor último de  $\vec{M}_1$ , representado por suas componentes, deverá estar sobre a curva que passa pelos valores  $\mu_B$  e  $\mu_A$  aos quais poderiam ser associadas as obliquidades  $0^\circ$  e  $90^\circ$  em relação a x.

Esses valores de  $\mu_B$  e  $\mu_A$  são agora desconhecidos pois o que se conhece são as componentes do momento oblíquo aplicado ( $\mu_{1_x}$ ,  $\mu_{1_y}$ )

O objetivo é calcular  $\mu_d$  e armar a peça para que  $\mu_d$  seja o estado limite de rutura ( $\mu_d = \mu_F$ ) conforme (3.1-f)

Supõe-se, como artifício de cálculo, uma reta passando pelo ponto  $(\mu_{1x}, \mu_{1y})$  paralela ao segmento  $\mu_A - \mu_B$  e determina-se assim o

ponto  $\mu_C$ .



Pelo fato da curva ser externa ao segmento  $\mu_A - \mu_B$  o ponto  $\mu_C$  estará acima de  $\mu_A$ , isto é:

$$\mu_A < \mu_C$$

Denominando agora:

$$\mu_{2x} = \frac{v}{10} \left( \frac{1}{h_x} \right)^2 \frac{h_x}{r_x}$$

e

$$\mu_{2y} = \frac{v}{10} \left( \frac{1}{h_y} \right)^2 \frac{h_y}{r_y}$$

pode-se dizer que se  $\mu_A$  fosse conhecido:

$$\mu_d = \mu_A + \mu_{2y}$$

valendo a desigualdade:

$$\mu_d < \mu_c + \mu_{2y}$$

Mas, observando o gráfico:

$$\mu_c = \mu_{1y} + \frac{\mu_A}{\mu_B} \mu_{1x} = \mu_{1y} + \frac{\mu_d - \mu_{2y}}{\mu_d - \mu_{2x}} \mu_{1x}$$

portanto, substituindo:

$$\mu_d < \mu_{1y} + \frac{\mu_d - \mu_{2y}}{\mu_d - \mu_{2x}} \mu_{1x} + \mu_{2y} \quad (\text{E-3-1})$$

Chamando:

$$\mu_v = \mu_{1x} + \mu_{1y} + \mu_{2x} + \mu_{2y}$$

$$\mu_T = \mu_{2y} \mu_{1x} + \mu_{2x} (\mu_{1y} + \mu_{2y})$$

e resolvendo a inequação (E-3-1)

$$\begin{aligned} \mu_d^2 - \mu_d (\mu_{2x} + \mu_{1y} + \mu_{1x} + \mu_{2y}) + \mu_{1y} \mu_{2x} + \mu_{2y} \mu_{1x} + \\ + \mu_{2x} \mu_{2y} < 0 \end{aligned}$$

$$\mu_d^2 - \mu_v \mu_d + \mu_T < 0$$

$$\mu_d < \frac{\mu_v + \sqrt{\mu_v^2 - 4 \mu_T}}{2}$$

não se usando o sinal negativo antes da raiz pois visa-se um limite superior para  $\mu_d$

$$\mu_d < \frac{\mu_v}{2} + \sqrt{\left(\frac{\mu_v}{2}\right)^2 - \mu_T}$$

Adotando-se para  $\mu_d$  esse limite superior e sendo  $v$  conhecido - acha-se  $w$  (2.3.1)

### 3.2.2. 2<sup>a</sup> aproximação

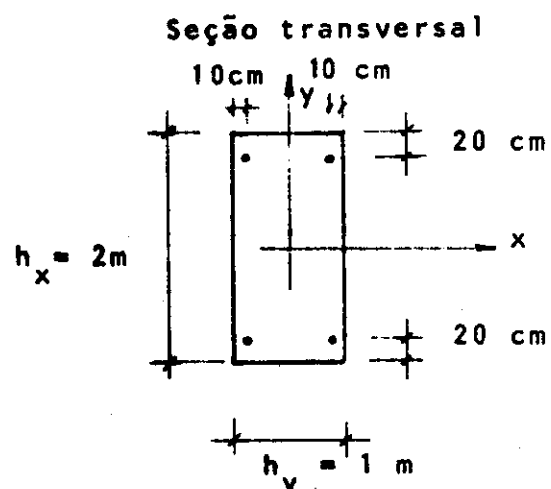
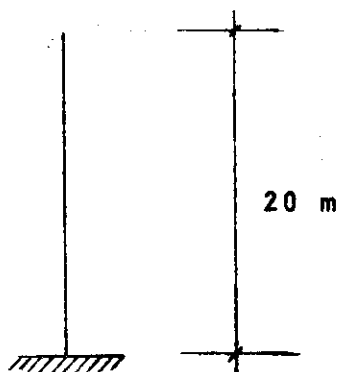
Pode-se obter, da mesma forma que no caso de excentricidade em uma só direção, uma segunda aproximação dos valores de  $\mu_{2x}$  e  $\mu_{2y}$  (2.3.2)

Com isso reinicia-se o processo para se obter um novo valor de  $w$ .

Note-se que neste método as armaduras tem que ser iguais nas duas direções ( $w$  é o mesmo).

#### Exemplo numérico

Dimensionar a coluna em balanço da figura abaixo:



Carregamento:

Carga axial:

$$N_d = 800 \text{ tf}$$

Momento fletor, já incluída a excentricidade adicional:

$$M_{1x} = 500 \text{ tf.m}$$

$$M_{1y} = 200 \text{ tf.m}$$

Materiais:

$$0,85 f_{cd} = 100 \text{ kgf/cm}^2 \quad f_{ck} = 165 \text{ kgf/cm}^2$$

$$f_{yd} = 4200 \text{ kgf/cm}^2 \quad f_{yk} = 4830 \text{ kgf/cm}^2$$

Resolvendo:

$$N_c = 0,85 f_{cd} h_x h_y = 0,100 \times 200 \times 100 = 2000 \text{ tf}$$

$$\nu = \frac{N}{N_c} = \frac{800}{2000} = 0,4$$

$$\mu_{1x} = \frac{M_1 x}{N_c h_x} = \frac{500}{2000 \times 2} = 0,125$$

$$\mu_{1y} = \frac{M_1 y}{N_c h_y} = \frac{200}{2000 \times 1} = 0,1$$

Os adimensionais  $\mu_2$  a serem considerados são:

$$\mu_{2x} = \frac{\nu}{10} \left( \frac{1}{r_x} \right)^2 \left( \frac{h_x}{r_x} \right)$$

$$\frac{1}{r_x} = \left( \frac{3,5}{1000} + \frac{f_{yd}}{E_s} \right) \frac{1}{h_x} = \left( \frac{3,5}{1000} + \frac{4,2}{2100} \right) \frac{1}{2}$$

$$\frac{1}{r_x} = \frac{5,5}{2000} \text{ m}^{-1}$$

$$\mu_{2x} = \frac{0,4}{10} \left( \frac{40}{2} \right)^2 \frac{5,5 \times 2}{2000} = 0,088$$

$$\mu_{2y} = \frac{\nu}{10} \left( \frac{1}{r_y} \right)^2 \frac{h_y}{r_y}$$

$$\frac{1}{r_y} = \left( \frac{3,5}{1000} + \frac{4,2}{2100} \right) \frac{1}{1} = \frac{5,5}{1000}$$

$$\mu_{2y} = \frac{0,4}{10} \left( \frac{40}{1} \right)^2 \frac{5,5}{1000} = 0,352$$

$$\begin{aligned} \mu_v &= \mu_{1x} + \mu_{1y} + \mu_{2x} + \mu_{2y} = \\ &= 0,125 + 0,100 + 0,088 + 0,352 = 0,665 \end{aligned}$$

$$\begin{aligned} \mu_T &= \mu_{2y} \mu_{1x} + \mu_{2x} (\mu_{1y} + \mu_{2y}) = \\ &= 0,352 \times 0,125 + 0,088 (0,100 + 0,352) = 0,08378 \end{aligned}$$

$$\mu_d = \frac{\mu_v}{2} + \sqrt{\left(\frac{\mu_v}{2}\right)^2 - \mu_T}$$

$$\mu_d = \frac{0,665}{2} + \sqrt{\left(\frac{0,665}{2}\right)^2 - 0,0838} = 0,49$$

Com  $v = 0,4$  e  $\mu_d = 0,49$  caímos no caso de flexão composta de peças curtas e calcula-se a taxa de armadura {5}, {7}.

Bibliografia {5} :

A definição de  $v$  é ligeiramente diferente da utilizada neste trabalho.

$$v = 0,4 \quad \frac{h}{d} = 0,4 \times \frac{200}{180} = 0,44$$

$$\mu = 0,49 \left(\frac{h}{d}\right)^2 = 0,49 \times \left(\frac{200}{180}\right)^2 = 0,60$$

Gráfico H9: Região C (Supondo aço = CA-50A)

$$\Omega_1 = 1.111\mu - 0,5v + 0,0383$$

$$\Omega_2 = 1,111\mu + 0,5\nu - 0,3357$$

$$\Omega_1 = 1,111 \times 0,60 - 0,5 \times 0,44 + 0,0383 = 0,485$$

$$\Omega_2 = 1,111 \times 0,60 + 0,5 \times 0,44 - 0,3357 = 0,551$$

$$\rho_1 = \frac{0,485}{\alpha}$$

$$\rho_2 = \frac{0,551}{\alpha'}$$

$$\alpha = \frac{1,4}{1,15 \times 0,85} \times \frac{4830}{165} = 41,925$$

fazendo a adaptação:

$$\sigma'_{sd} = f_{yd}$$

$$\alpha' = \frac{1,4}{0,85} \times \frac{4200}{165} = 41,925$$

$$\rho_1 = \frac{0,485}{41,925} = 0,012 \quad \rho_2 = \frac{0,551}{41,925} = 0,013$$

$$A_{s1} = 0,012 \times 100 \times 180 = 216 \text{ cm}^2$$

$$A_{s2} = 0,013 \times 100 \times 180 = 234 \text{ cm}^2$$

$$\omega_1 = \frac{f_{yd} A_{s1}}{0,85 f_{cd} A_c} = \frac{4200 \times 216}{100 \times 200 \times 100} = 0,45$$

$$\omega_2 = \frac{4200 \times 234}{100 \times 200 \times 100} = 0,49$$

Visto a armadura ser simétrica, ao invés de se iniciar a 2<sup>a</sup> aproximação com  $\omega = 0,49$  pode-se calcular  $\omega$  diretamente para o caso de armadura simétrica. {7}

$$\nu = 0,44 \quad \mu = 0,60 \quad \beta_h = 1,11$$

Supondo aço CA 50 A

$$\bar{\rho} = 7,12$$

Tabela DC 03.4.06 onde  $\beta_h = 1,10$   $\bar{\rho} = 7,12$

Tabela DC 04.4.07 onde  $\beta_h = 1,15$   $\bar{\rho} = 7,35$

para  $\beta_h = 1,11$   $\bar{\rho} = 7,17$

$$A_s = \frac{7,17}{100} \times 0,165 \times 100 \times 180 = 212,85 \text{ cm}^2$$

Fazendo uma adaptação para  $f_{yk}$  do exemplo:

$$A_s = \frac{5000}{4830} \times 212,85 = 220,34 \text{ cm}^2$$

$$\omega = \frac{f_{yd} A_s}{0,85 f_{cd} A_c} = \frac{4,200 \times 220,34}{0,100 \times 100 \times 200} = 0,46$$

Essa taxa de armadura pode também ser calculada como o programa do anexo nº 1 (2.3.1)

Obtido  $\omega = 0,46$  estamos em condições de fazer a 2ª aproximação de  $\mu_2$  (2.3.2)

$$\text{Com } v = 0,4 \quad \frac{l_x}{h_x} = 20 \quad \text{e} \quad \omega = 0,46$$

temos  $\theta = 0,55$  (anexo nº 3)

$$\mu_{2x} = \frac{v}{1000} \left( \frac{l_x}{h_x} \right)^2 \theta \quad \mu_{2x} = \frac{0,4}{1000} (20)^2 0,55 = 0,088$$

Analogamente, para a direção y

$$\text{com } v = 0,4 \quad \frac{l_y}{h_y} = 40 \quad \text{e} \quad \omega = 0,46$$

temos  $\theta = 0,51$

$$\mu_{2y} = \frac{0,4}{1000} (40)^2 0,51 = 0,326$$

$$\mu_s = 0,125 + 0,100 + 0,088 + 0,326 = 0,639$$

$$\mu_T = 0,326 \times 0,125 + 0,088 (0,100 + 0,326) = 0,0782$$

$$\mu_d = \frac{0,639}{2} + \sqrt{\left(\frac{0,639}{2}\right)^2 - 0,0782}$$

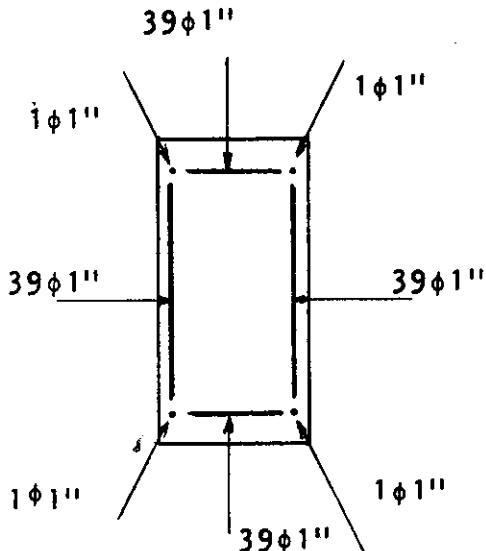
$$\mu_d = 0,474, \text{ cujo } \omega = 0,44 \quad (2.3.1)$$

Um cálculo mais exato, por computador deu  $\omega = 0,43$

$$A_s = \frac{N_c}{f_{yd}} \omega = \frac{2000}{4,2} \times 0,43 = 204,76 \text{ cm}^2 \quad (41\phi 1'')$$

$$A_{s \text{ total}} = 4 \times 40 \phi 1''$$

Esquema:



Neste exemplo não foi considerada a colaboração da armadura distribuída no sentido y para absorção do momento  $M_y$ , assim como não foi considerada a armadura distribuída no sentido x para absorção do  $M_x$ . Utilizando o programa do anexo nº 1 verifica-se que a armadura adotada conduz a  $\mu_d = 0,602$ .

Utilizando o mesmo tipo de distribuição de armadura, isto é,  $A_{sy} = A_{sx}$ , para se obter  $\mu_d = 0,474$  pode-se utilizar  $\omega = 0,32$

$$A_{s \text{ total}} = 4 \times 30\phi 1'' \text{ ao invés de } A_{s \text{ total}} = 4 \times 40\phi 1''.$$

### 3.3. Método do Momento Complementar - verificação

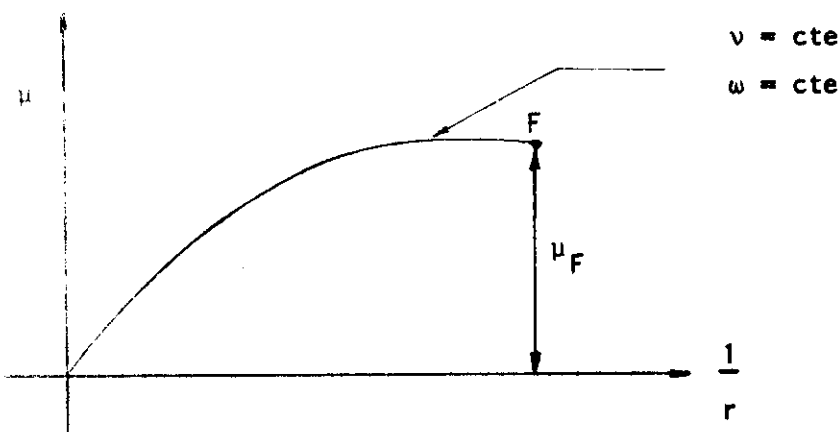
Por ser um método de verificação conhece-se:

$$\frac{N_d}{0,85 f_{cd} A_c}$$

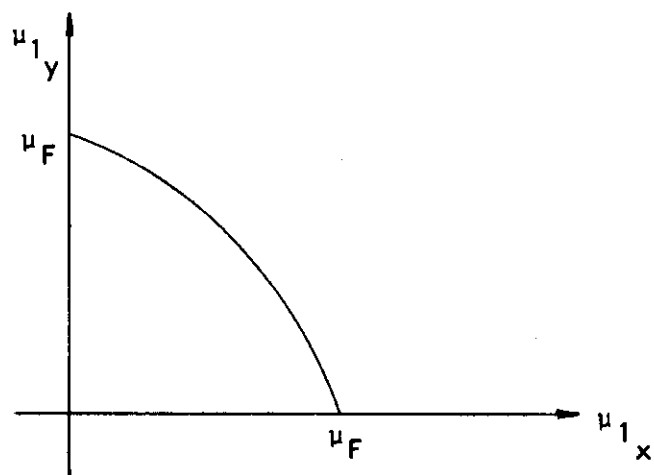
$$\frac{M_1 x}{0,85 f_{cd} A_c h_x} \quad \text{e} \quad \mu_1 y = \frac{M_1 y}{0,85 f_{cd} A_c h_y}$$

$$\frac{f_y d_s}{0,85 f_{cd} A_c}$$

Parâmetros conhecidos pode-se determinar  $\mu_F$  isto é, a capacidade de resistência à flexão composta reta



que para o caso de  $\lambda$  pequenos (1.6) e para  $\frac{d'_x}{h_x} = \frac{d'_y}{h_y}$ , coincide com o máximo valor de  $\mu_1$  tanto segundo x como segundo y.



Conhecidos  $\frac{1}{h_x} \text{ e } \frac{1}{h_y}$  calcula-se:

$$\mu_{2x} = \frac{v}{10} \left( \frac{1}{h_x} \right)^2 \frac{h_x}{r_x}$$

e

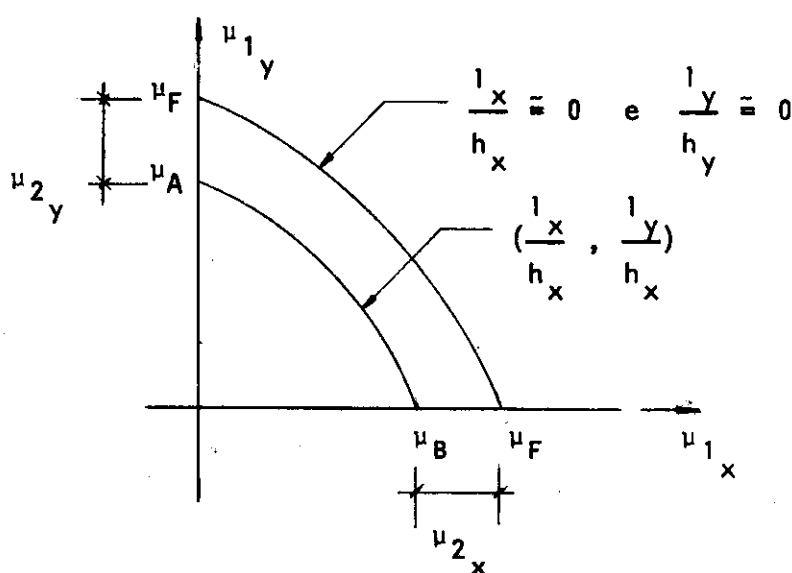
$$\mu_{2y} = \frac{v}{10} \left( \frac{1}{h_y} \right)^2 \frac{h_y}{r_y}$$

com  $\frac{1}{r_x}$  e  $\frac{1}{r_y}$  avaliados pelas expressões (E-2-9) e (E-2-10)

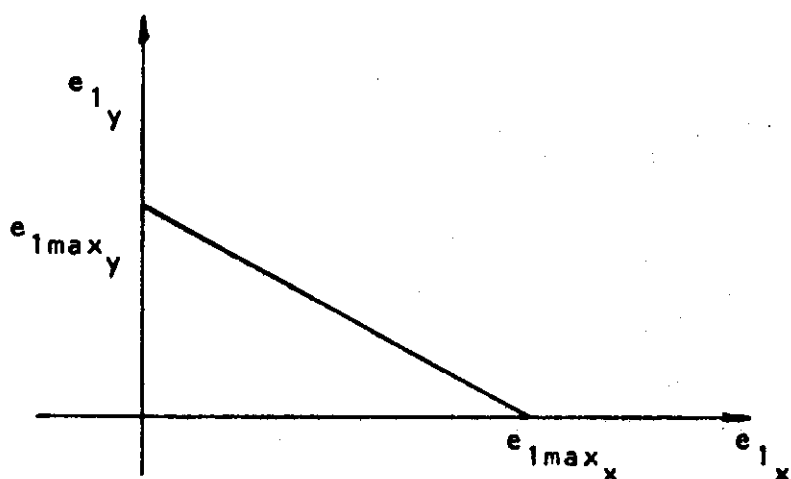
Tem-se então os valores: (3.3.2)

$$\mu_A = \mu_F - \mu_{2y}$$

$$\mu_B = \mu_F - \mu_{2x}$$



Os pontos da região limitada pela curva que passa por  $\mu_A$  e  $\mu_B$  são valores possíveis para o momento obliquo de 1<sup>a</sup> ordem. Como a curva é desconhecida pode-se assegurar que a região limitada pela reta que passa por  $\mu_A$  e  $\mu_B$  está contida na região anterior e essa região é facilmente determinável. Ao invés de se trabalhar com os valores de  $\mu = \frac{v}{h} e$  pode-se utilizar os valores das excentricidades e o gráfico fica:



Se o ponto correspondente ao valor do momento aplicado ( $\mu_{1x}$ ,  $\mu_{1y}$ ) estiver na região limitada pela reta pode-se afirmar que esse é um valor possível para  $\hat{M}_1$ .

Quanto mais próximo da reta limite estiver o ponto, menor está sendo a taxa de armadura utilizada, isto é,  $w$  está mais próximo de  $w$  necessário.

3.4. Método Simplificado - cálculo de verificação baseado no método de equilíbrio

Por este método o cálculo de  $\mu_d$  é feito por tentativas. Aplica-se o método do equilíbrio duas vezes, para se determinar  $M_{i_x}$  e

$M_{i_y}$ , segundo certas regras que auxiliam a convergência (2.4.2)

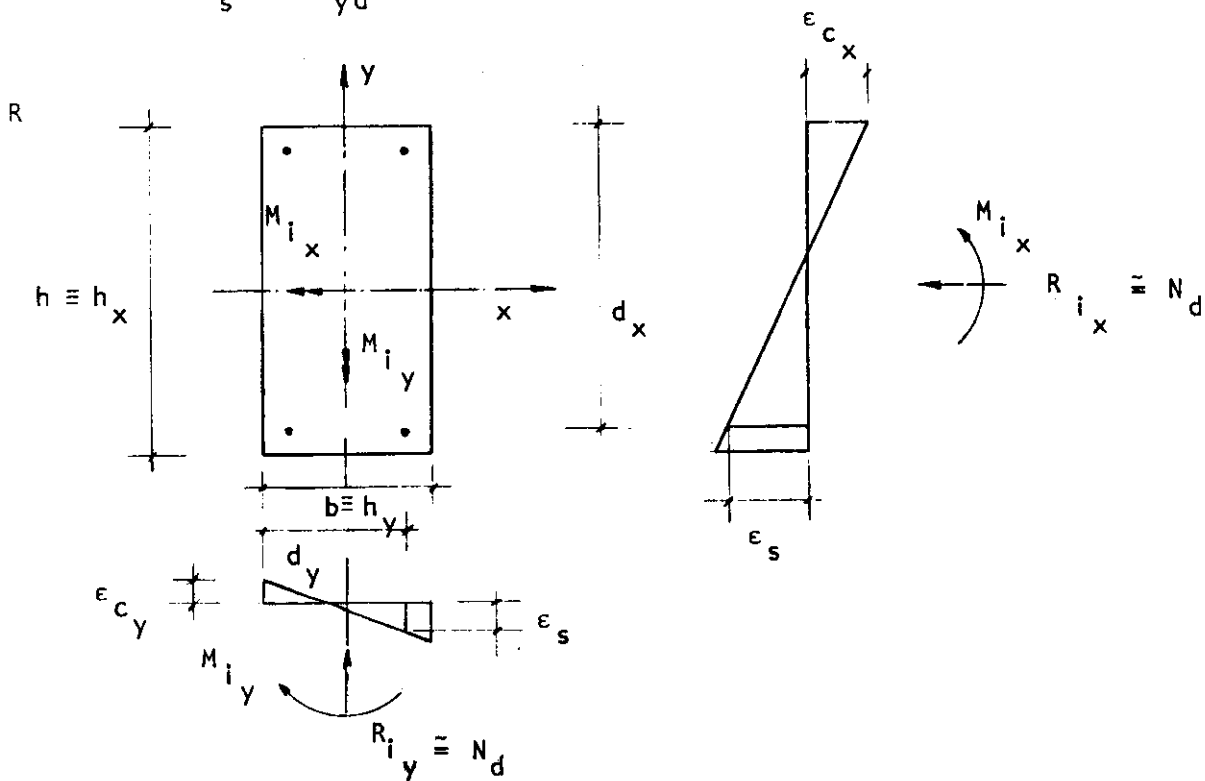
Nesses dois casos conhece-se a direção da linha neutra (paralela aos eixos) e as tentativas visam determinar os planos de deformações que fazem  $R_{i_x} \approx N_d$  e  $R_{i_y} \approx N_d$  respectivamente, de:

$R_{i_x}$  = força resultante das tensões normais para a L.N. paralela a x

$R_{i_y}$  = força resultante das tensões normais para a L.N. paralela a y

$M_{i_x}$ ,  $M_{i_y}$  são os momentos fletores segundo x e y provocados respectivamente por  $R_{i_x}$  e  $R_{i_y}$ .

Nesse método, quando  $R_{i_x} \approx N_d$  ou quando  $R_{i_y} \approx N_d$  uma das armaduras está com a tensão de escoamento  $f_{y_d}$  e, se a seção é retangular  $\epsilon_s = \epsilon_{y_d}$  (2.4.2)



Dessa forma;

$$e_{1x} = \frac{M_1}{R_{1x}} x ; \quad e_{1y} = \frac{M_1}{R_{1y}} y$$

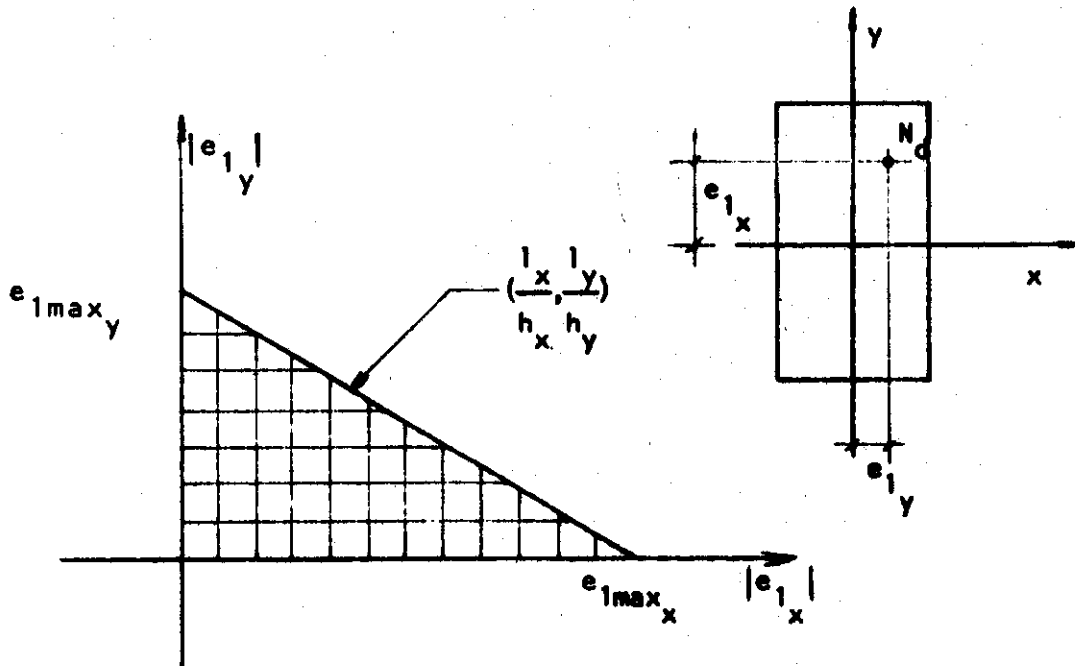
e

$$e_{1max_x} = e_{1x} - \frac{12}{10} \frac{1}{r_x} ; \quad e_{1max_y} = e_{1y} - \frac{12}{10} \frac{1}{r_y}$$

onde

$$\frac{1}{r_x} = \frac{|e_{c_x}| + e_s}{d_x} \quad e \quad \frac{1}{r_y} = \frac{|e_{c_y}| + e_s}{d_y}$$

e a região de momentos possíveis, limitada pela reta  $e_{1max_x}$  e  $e_{1max_y}$  fica determinada.

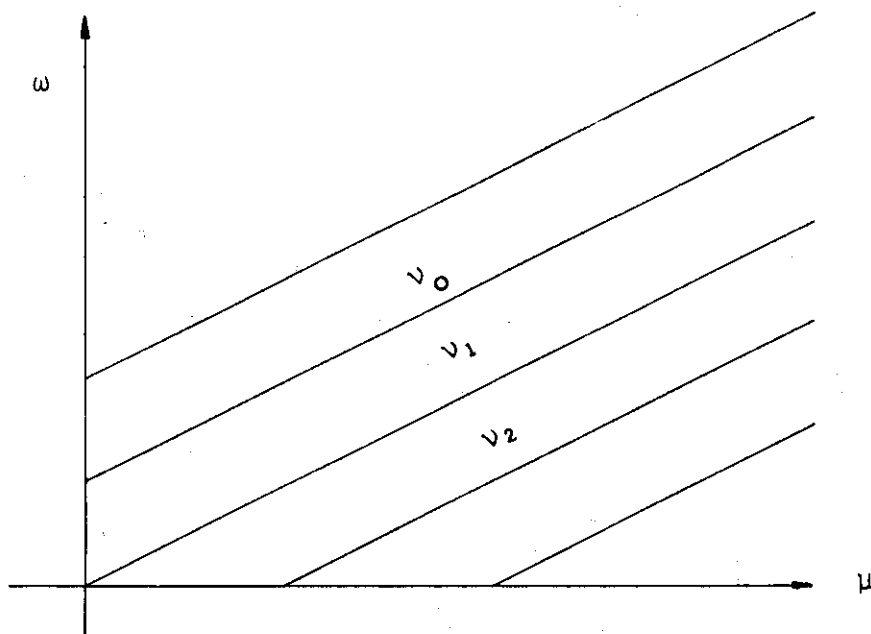


#### 4. Interligação entre as várias tabelas

Basicamente, todos os valores necessários poderiam ser retirados diretamente do diagrama momento-curvatura ( $\mu \times \frac{1}{r}$ ) . As várias tabelas facilitam a utilização do diagrama, dependendo do objetivo a ser atingido.

Os gráficos do anexo nº 5 dão os valores máximos do diagrama básico momento-curvatura, que correspondem ao estado limite de ruptura do material, apresentando esses valores num gráfico de  $\omega \times \mu$  para vários valores de  $v$ . Neste caso, o valor de  $\mu$  significa  $\mu_{\max} = \mu_F$ .

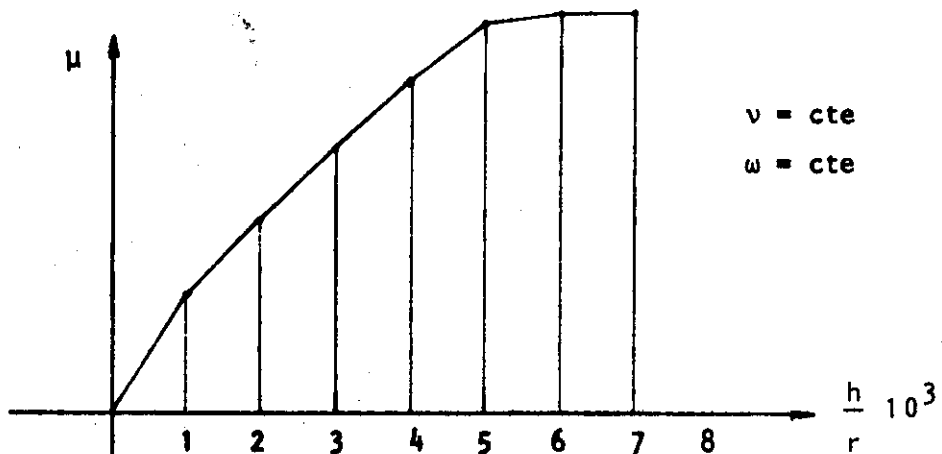
Com esse gráfico, não se pode saber a curvatura com que ocorre  $\mu_F$ .



Os valores de  $\mu$  podem também ser obtidos utilizando-se o programa do anexo nº 1, sem ser necessário obter-se o traçado completo do diagrama  $\mu \times \frac{h}{r}$ . Basta que o processamento seja iniciado com um valor alto da curvatura ( $\frac{h}{r} 10^3 > 7,0$ ) de modo a se obter rapidamente ou  $|\epsilon_c| = 3,5\%$  ou  $\epsilon_s = 10\%$ .

Esses valores de  $\mu_F$  podem ser encontrados em tabelas ou gráficos para flexão normal composta de colunas curtas {5},{7},{9}.

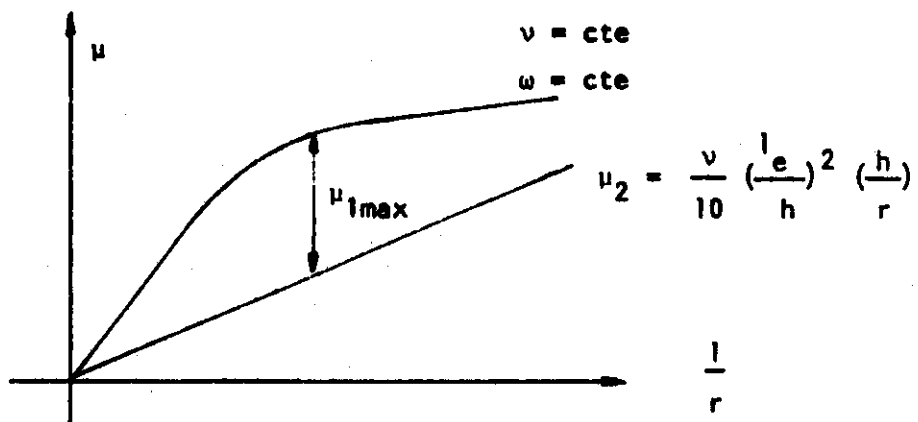
As tabelas do anexo nº 6 dão os valores do momento  $\mu$  para vários valores da curvatura  $\frac{1}{r}$ , representada pelo adimensional  $1000 \frac{h}{r}$  e para vários valores do par  $(v, w)$ .



Quando os valores tabelados são nulos significa que esgotou-se a capacidade da seção; a peça atingiu seu estado limite último por rutura do material.

Esses diagramas  $\mu \times \frac{1}{r}$  são fornecidos pelo programa do anexo nº 1 partindo-se da curvatura inicial ( $\frac{h}{r} \cdot 10^3 = 0,5$ ) e continuando o processamento até se atingir  $\mu_F$ .

As tabelas do anexo nº 2 dão os valores do máximo momento de 1ª ordem  $\mu_{1\max}$  para cada par  $(v, w)$  em função da variação de esbeltez da peça.



Da mesma forma que nos gráficos do anexo nº 5, fica omissa a curvatura em que ocorre  $\mu_{1\max}$ .

Pode-se observar que para  $\frac{e}{h} = 0$ , isto é, casos de  $\lambda$  pequeno, os valores das três tabelas coincidem.

Exemplo:

$$v = 0,3 \quad \omega = 0,4$$

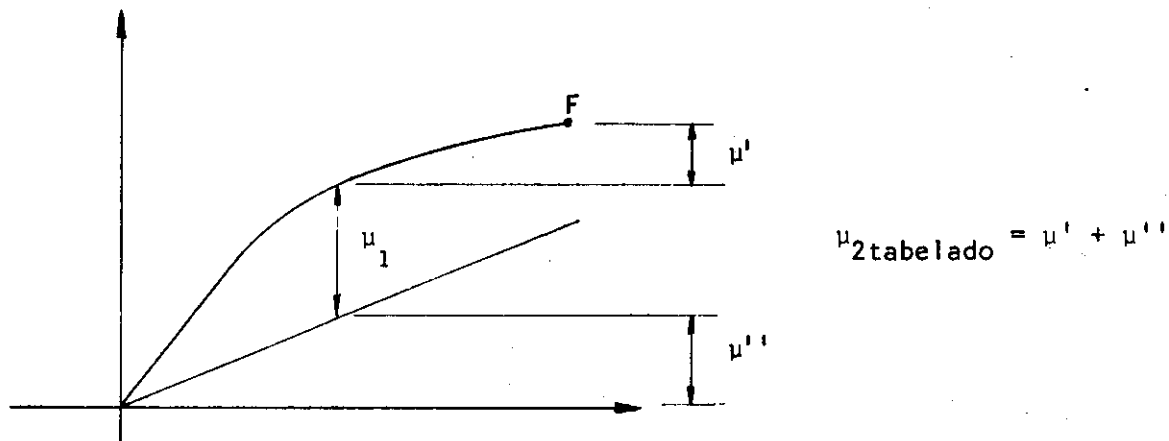
seção quadrada  
armadura de canto

pelo anexo nº 5:  $\mu = 0,42$

pelo anexo nº 6:  $\mu = 0,423$  (valor máximo que ocorre  
com a curvatura  $\frac{1000}{r} h = 8$ )

pelo anexo nº 2:  $\mu = 0,424$

As tabelas do anexo nº 3 dão os valores do momento "fictício" de 2ª ordem a ser utilizado no método do momento complementar (2.3.2)



Utilizando os dados do exemplo anterior

$$v = 0,3 \quad \omega = 0,4 \quad \text{com } \frac{l_e}{h} = 20$$

$$\text{temos: } \theta = 0,59 \quad \mu_2 = \frac{0,3}{1000} (20)^2 0,59 = 0,071$$

Verificação com o anexo nº 2

$$\frac{l_e}{h} = 0 \quad \mu_F = 0,424$$

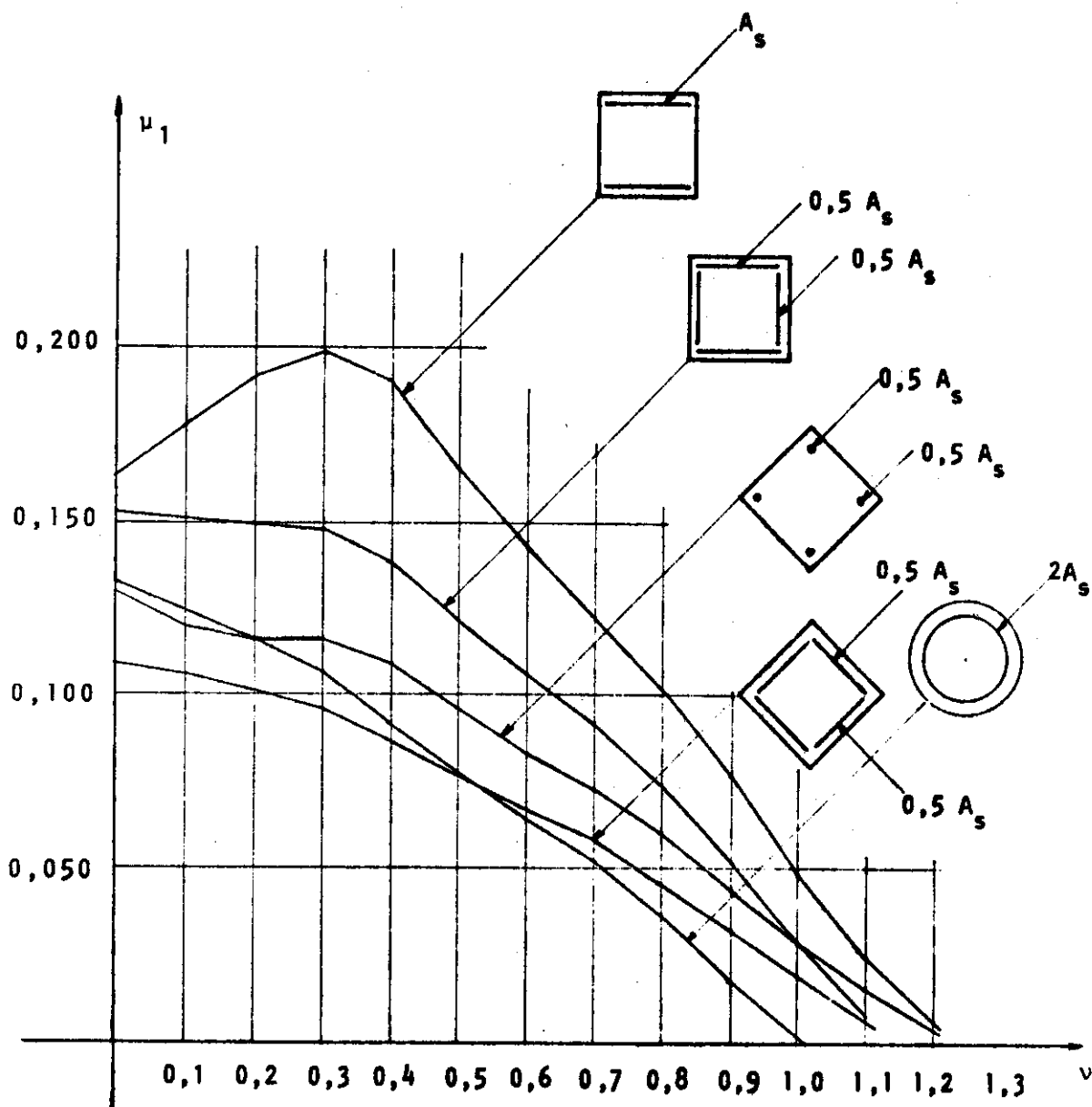
$$\frac{l_e}{h} = 20 \quad \mu_1 = 0,353$$

$$\mu_F - \mu_1 = 0,424 - 0,353 = 0,071$$

Fixando-se  $\frac{l_e}{h}$  poder-se-ia também analisar a influência da forma da seção e disposição da armadura no valor de  $\mu_1$ .

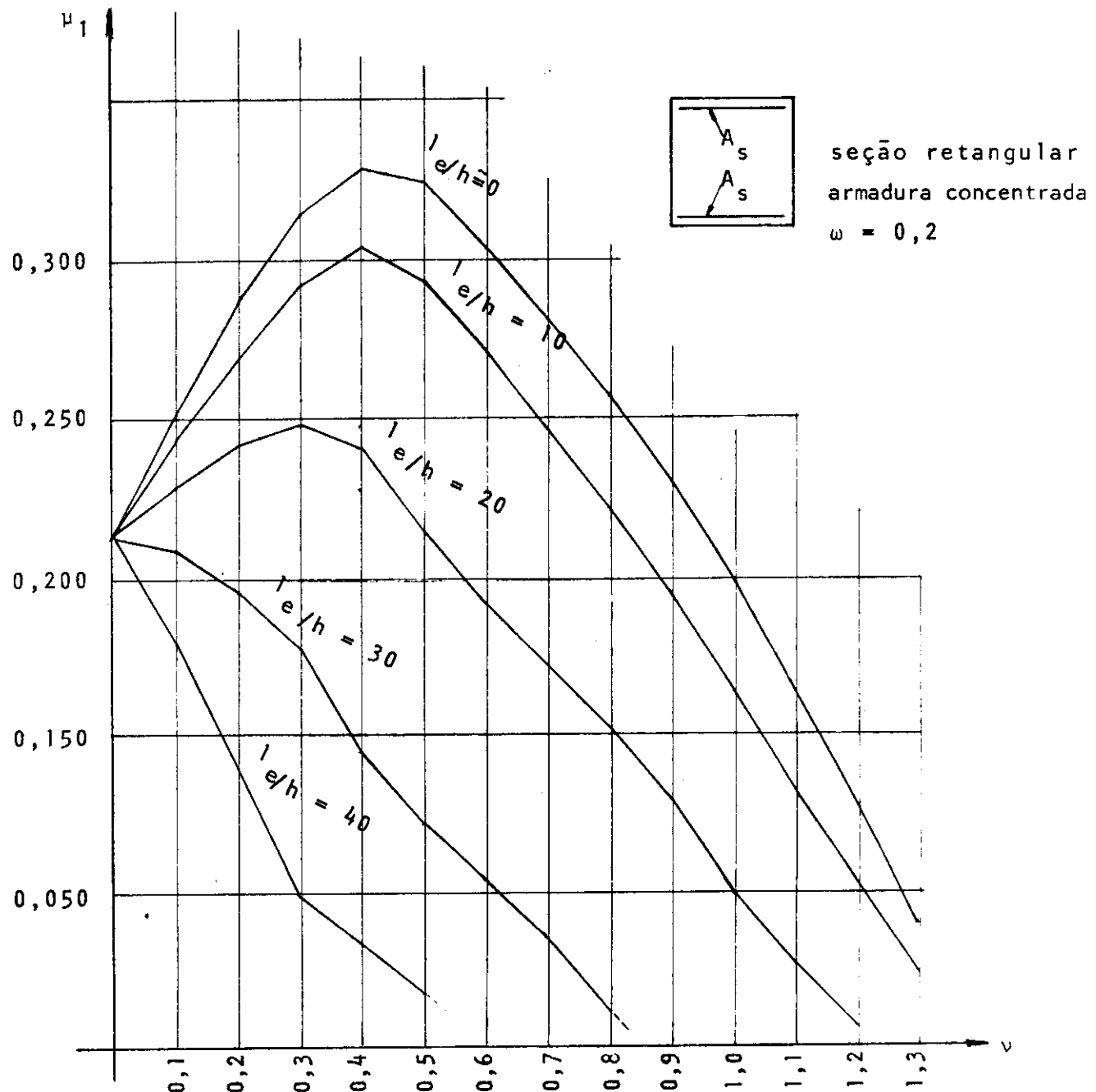
$$\text{Exemplo: } \omega = 0,2 \quad A_{\text{stotal}} = 2A_s \quad \frac{l_e}{h} = 20$$

$$\omega = \frac{f_y d A_s}{0,85 f_{cd} A_c}$$



Dados numéricos das tabelas do anexo nº 2.

Outro gráfico interessante é  $\mu \times v$  para um dado valor de  $\omega$  com 4 variáveis onde se pode observar a influência da esbeltez da peça sobre o valor do máximo momento de 1ª ordem  $\mu_1$ .



Dados numéricos da tabela RC 20/10 (anexo nº 2)

FLUXOGRAMA  
PARA  
MOMENTO X CURVATURA

SEÇÃO RETANGULAR

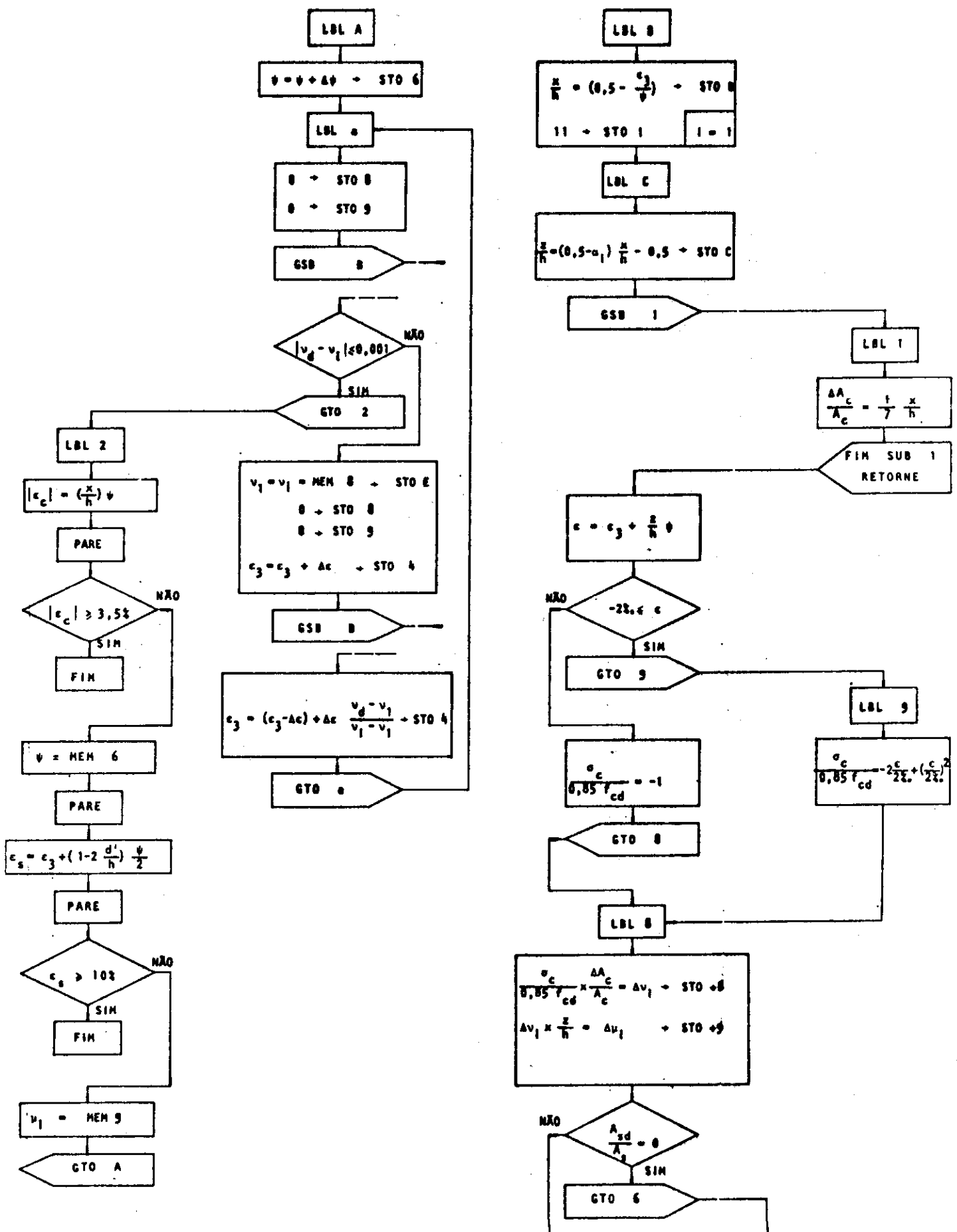
ARMADURA CONCENTRADA (SIMÉTRICA OU ASSIMÉTRICA)

e/ou

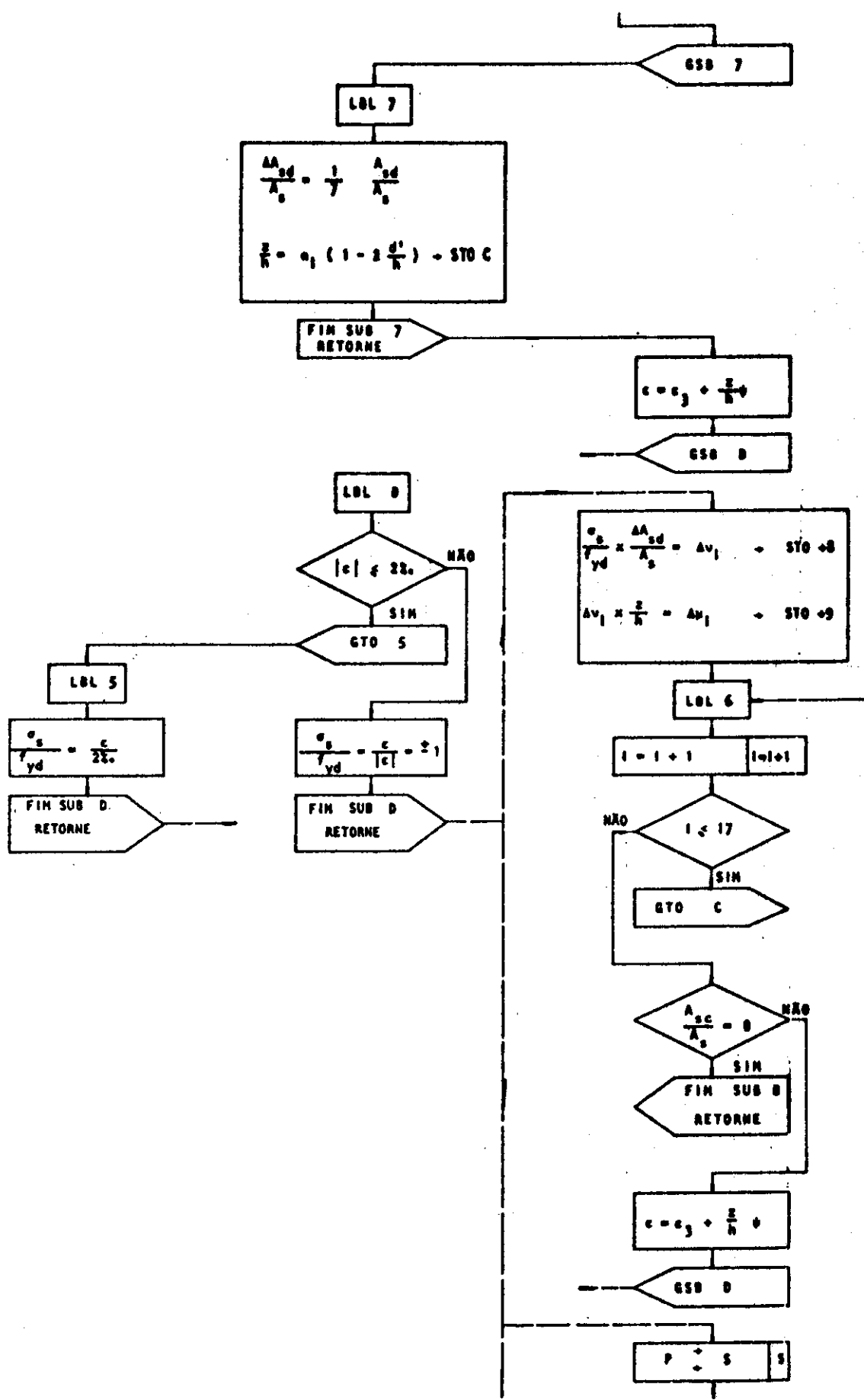
DISTRIBUIDA LATERALMENTE

AÇO CLASSE "A"

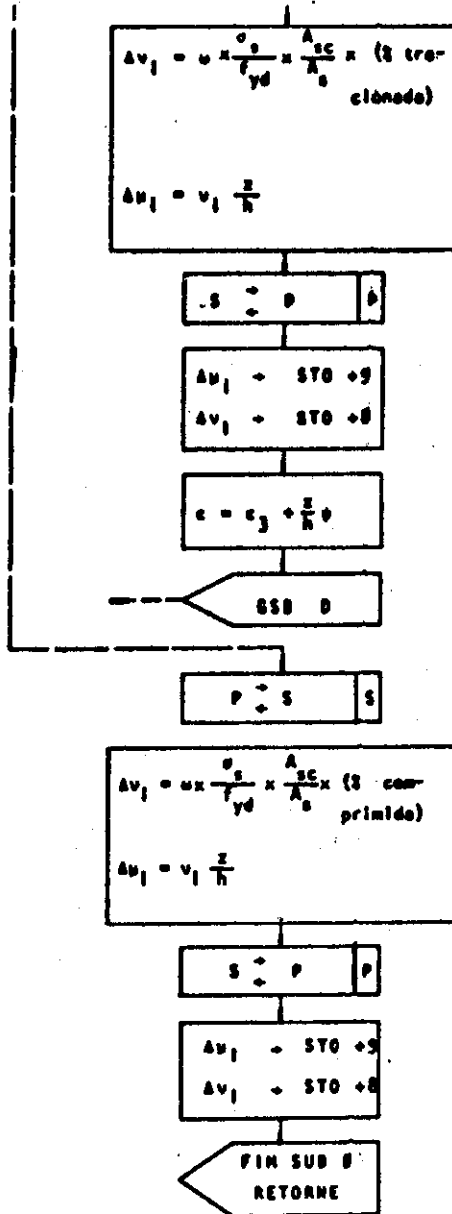












Neste fluxograma foi utilizado  $e_{yd} = 23$ , e aço Classe A

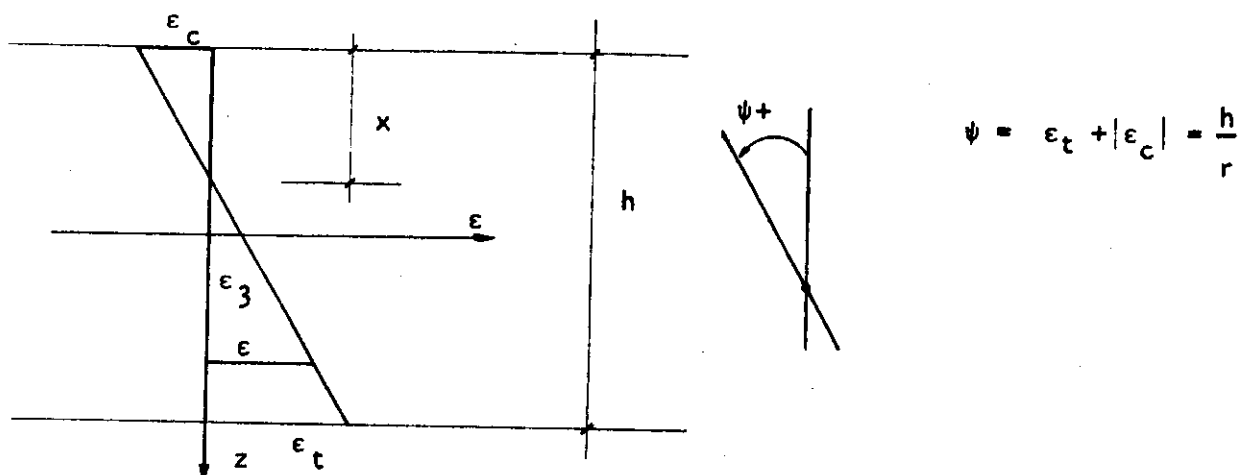


Anexo nº 1 - Diagrama Momento x Curvatura

A1.1. Notação utilizada

O fluxograma apresentado foi preparado para programação em HP-67 e serve para obtenção de valores para o traçado de  $\mu \times \frac{1}{r}$ .

Esquema de referência:



Expressão de  $\epsilon$

$$\frac{\epsilon - \epsilon_3}{z} = \frac{1}{r}$$

$$\epsilon = \epsilon_3 + \frac{h}{r} \frac{z}{h} = \epsilon_3 + \left(\frac{z}{h}\right) \psi$$

Expressão de  $\frac{x}{h}$

$$\frac{1}{r} = \frac{\epsilon_t + |\epsilon_c|}{h} = \frac{\epsilon_3}{0,5 h - x}$$

$$0,5 h - x = \epsilon_3 r$$

$$0,5 - \frac{x}{h} = \epsilon_3 \frac{r}{h} \rightarrow \frac{x}{h} = 0,5 - \frac{\epsilon_3}{\psi}$$

Expressão de  $\frac{z}{h}$  para as tensões no concreto:

intervalo de variação de  $z$ : -  $(0,5 h - x)$  até -  $(0,5h)$



nesse intervalo será feita a integral das tensões utilizando-se a fórmula de integração numérica de Chebyshev {C.E.B. - Boletim 103}

$$\int_{-0,5}^{+0,5} f(\alpha) d\alpha = \sum_{i=1}^7 f(\alpha_i) \frac{1}{7}$$

avaliando-se  $f(\alpha)$  nos seguintes pontos

$$\alpha_{1,7} = \pm 0,4419$$

$$\alpha_{2,6} = \pm 0,2648$$

$$\alpha_{3,5} = \pm 0,1620$$

$$\alpha_4 = 0,0$$

$$z_i = -(0,5h - (0,5 - \alpha_i)x)$$

$$\frac{z_1}{h} = (0,5 - \alpha_1) \frac{x}{h} - 0,5$$

$$\frac{z_2}{h} = 0,9419 \frac{x}{h} - 0,5$$

$$\frac{z_3}{h} = 0,7648 \frac{x}{h} - 0,5$$

$$\frac{z_4}{h} = 0,5 \frac{x}{h} - 0,5$$

$$\frac{z_5}{h} = 0,3380 \frac{x}{h} - 0,5$$

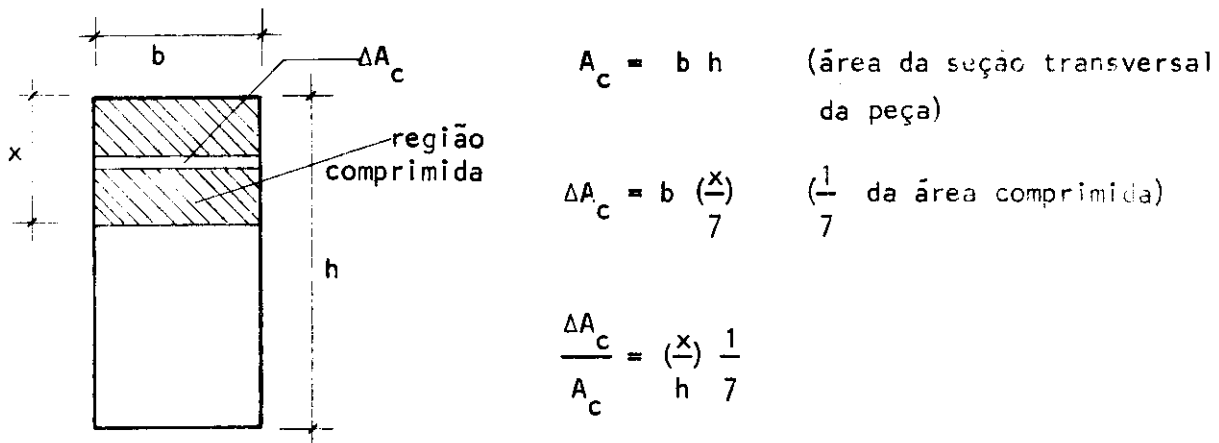
$$\frac{z_6}{h} = 0,2352 \frac{x}{h} - 0,5$$

$$\frac{z_7}{h} = 0,0581 \frac{x}{h} - 0,5$$

Expressão de  $\frac{\Delta A_c}{A_c}$  para a zona comprimida de concreto

Essa expressão dependerá da forma da seção. Conforme a seção desejada deve-se alterar a respectiva subrotina (LBL 1).

Exemplo para seção retangular

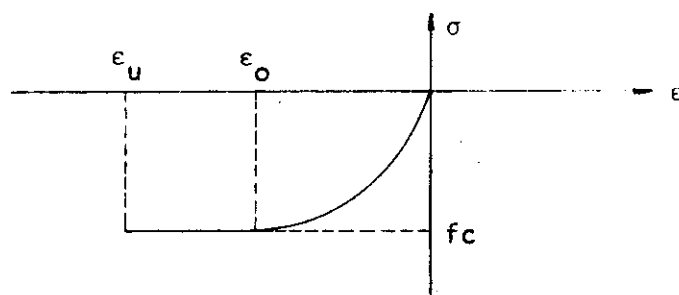


Expressão de  $\frac{\sigma_c}{f_c}$

$$\frac{\sigma_c}{f_c} = 0 \quad \text{para } \epsilon > 0$$

$$\frac{\sigma_c}{f_c} = -\left(2 \frac{\epsilon}{\epsilon_0}\right) + \left(\frac{\epsilon}{\epsilon_0}\right)^2 \quad \text{para } 0 > \epsilon > \epsilon_0$$

$$\frac{\sigma_c}{f_c} = -1 \quad \text{para } \epsilon_0 > \epsilon > \epsilon_u$$



observando-se que  $f_c$  é um valor positivo

$$\epsilon_0 = -2\%$$

$$\epsilon_u = -3,5\%$$

$\sigma_c$ , como é de compressão, será negativo.

$A_s$  = área total de aço na seção transversal

onde  $A_s$  é a soma das armaduras concentradas e uniformemente distribuída na seção transversal

$$A_s = A_{sd} + A_{sc}$$

onde

$A_{sd}$  = armadura distribuída

$A_{sc}$  = armadura concentrada

$$A_{sc} = A_{sc \text{ compr}} + A_{sc \text{ trac}}$$

onde

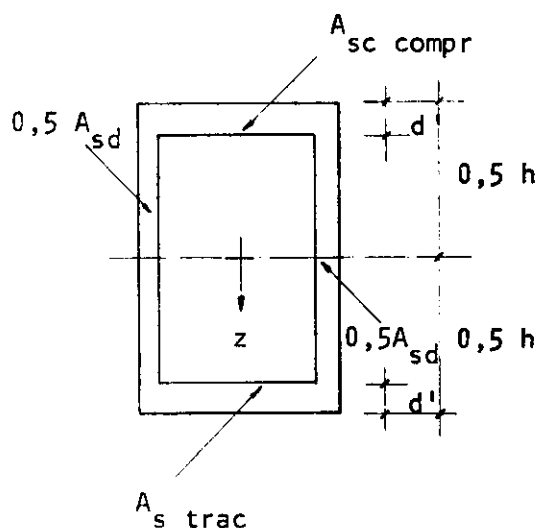
$A_{sc \text{ compr}}$  = armadura concentrada na região comprimida

$A_{sc \text{ trac}}$  = armadura concentrada na região tracionada

Expressão de  $\frac{z}{h}$  para a armadura uniformemente distribuída ( $A_{sd}$ )

essa expressão também dependerá tanto da seção da peça como da maneira em que está distribuída. Deve-se alterar a respectiva subrotina (LBL 7) em função do caso considerado.

Exemplo para seção retangular:



intervalo de variação de  $\frac{z}{h}$ :

$$- \left( \frac{0.5h - d'}{h} \right) \text{ até } + \left( \frac{0.5h - d'}{h} \right)$$

que, calculado nos pontos  $\alpha_i$ , terá valores:

$$\frac{z_i}{h} = - \alpha_i \left( \frac{0.5h - d'}{h} \times 2 \right) = - \alpha_i \left( 1 - 2 \frac{d'}{h} \right)$$

exemplos

$$\frac{z_1}{h} = - (-0.4419) \left( 1 - 2 \frac{d'}{h} \right) = + 0.4419 \left( 1 - 2 \frac{d'}{h} \right)$$

$$\frac{z_7}{h} = - (+0.4419) \left( 1 - 2 \frac{d'}{h} \right) = - 0.4419 \left( 1 - 2 \frac{d'}{h} \right)$$

Expressão de  $\frac{\Delta A_{sd}}{A_s}$  (para a armadura distribuída)

$\Delta A_{sd}$  para a armadura uniformemente distribuída será sempre  $\frac{1}{7}$  do

total da armadura considerada uniformemente distribuída na seção da peça.

$$\frac{\Delta A_{sd}}{A_s} = \frac{\frac{A_{sd}}{7}}{A_s} = \frac{A_{sd}}{7A_s}$$

Expressão de  $\frac{\sigma_s}{f_{yd}}$  (para a armadura uniformemente distribuída)

$$\frac{\sigma_s}{f_{yd}} = \frac{\epsilon}{\epsilon_{yd}} \quad \text{para } |\epsilon| < \epsilon_{yd}$$

$$\frac{\sigma_s}{f_{yd}} = \pm 1 \quad \text{para } |\epsilon| > \epsilon_{yd}$$

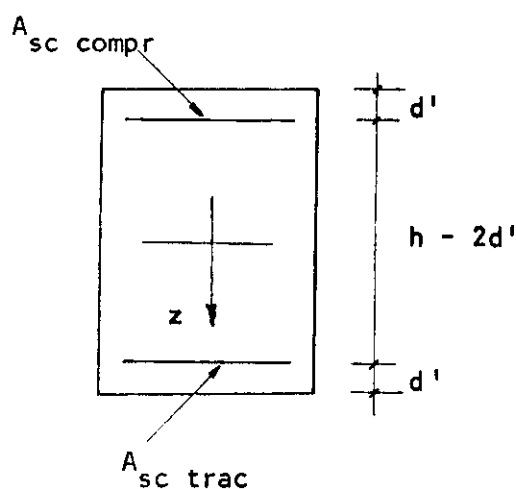
As expressões acima valem para aços classe A. Se o aço utilizado

for classe B basta acrescentar a expressão válida para  $\epsilon_e < |\epsilon| < \epsilon_{yd}$  que, segundo a NB-1, difere ligeiramente da expressão do Boletim 103 do C.E.B.

Expressão de  $\frac{z}{h}$  e  $\frac{\Delta A_{sc}}{A_s}$  (para a armadura concentrada)

Esses valores dependerão da posição da armadura concentrada definida pelo valor de  $z$ .

Para a seção retangular com armadura concentrada:



Existe armadura concentrada em 2 valores de  $z$ :

$$z_1 = -(0,5 h - d')$$

$$z_2 = +(0,5 h - d')$$

e os respectivos valores de  $\frac{\Delta A_{sc}}{A_s}$  são:

$$\frac{\Delta A_{sc\_compr}}{A_s} \quad \text{e} \quad \frac{\Delta A_{sc\_trac}}{A_s}$$

#### A1.2. Dados de entrada e saída

A sequência de respostas apresentadas no processamento são:

$$1º) |\epsilon_c|$$

$$2º) \psi = \frac{h}{r}$$

$$3º) \epsilon_s$$

$$4º) \mu$$

Esses valores são válidos somente para  $\frac{x}{h} \leq 1$  pois, caso contrário, estaria sendo considerada uma área de concreto inexistente. Quando  $\epsilon_s$  tem sinal negativo significa que a linha neutra está abaixo da armadura  $A_{sc}$  trac. Somente nesse caso, que pode ocorrer aproximadamente para  $\frac{h}{r} \leq 0,0005$ , deve-se verificar se  $\frac{x}{h} \leq 1$ .

A seguir, pode-se calcular

$$\mu_2 = v_d \left( \frac{h}{r} 10^3 \right) \left( \frac{e}{h} 10^{-2} \right)^2$$

e, daí, tabelar-se:

$$\mu_1 = \mu - \mu_2$$

à procura de  $\mu_{1\max}$ , que será a capacidade da peça para a esbeltez dada.

Dois outros valores interessantes são:

$\epsilon_3$  = deformação no centro de gravidade (basta chamar a memória 4 → RCL 4) e,

$$EI = \frac{\mu_i}{\psi} = \frac{\text{memória 9}}{\text{memória 6}}$$

Os dados de entrada são:

$$v_d = \frac{N_d}{0,85 f_{cd} A_c} \quad (\text{armazenar com sinal negativo na memória 0})$$

$$\omega = \frac{f_y d A_s}{0,85 f_{cd} A_c} \quad (\text{armazenar na memória 1})$$

$A_s$  = área total de armadura na seção transversal.

Este valor de  $\omega$  não coincide com o valor de  $\omega$  do Boletim 103 pois, pelo fato das seções tabeladas pelo Boletim serem todas com armadura simétrica não há problema em se considerar  $A_s$  como a área de aço em metade da seção de concreto. Quando, no caso deste programa, as armaduras concentradas forem simétricas teremos:

$\omega$  deste programa = 2  $\omega$  C.E.B.

$$(1 - 2 \frac{d^t}{h}) \quad (\text{armazenar na memória 2})$$

$z$  da armadura  $A_{sc}$  compr (armazenar na memória 3)

e lembrar que terá sempre sinal negativo.

$$\frac{A_{sc\_trac}}{A_{sc}} = \% \text{ da armadura concentrada tracionada em relação à armadura concentrada} \quad (\text{armazenar na memória 10})$$

$$\frac{A_{sc}}{A_s} = \% \text{ de armadura concentrada em relação à armadura total} \quad (\text{armazenar na memória 18})$$

$z$  da armadura  $A_{sc\_trac}$  (armazenar na memória 19)

$$\frac{A_{sd}}{A_s} = \% \text{ da armadura distribuída} \quad (\text{armazenar na memória 0})$$

Os valores iniciais das outras memórias são:

memória 4  $\rightarrow \varepsilon_3 = 0$  (valor inicial da deformação no centro de gravidade)

memória 5  $\rightarrow \Delta\varepsilon = -5 \times 10^{-5}$

memória 6  $\rightarrow \psi = 0$  (valor inicial de  $\frac{h}{r}$ )

memória 7  $\rightarrow \Delta\psi = 5 \times 10^{-4}$

Os valores das memórias 6 e 7 podem ser alterados caso se queira  $\mu$  para um valor fixado de  $\frac{h}{r}$  ou, caso se queira aumentar ou diminuir o intervalo de variação de  $\frac{h}{r}$  para obtenção dos pontos da curva  $\mu \times \frac{h}{r}$ .

memória 8  $\rightarrow$  são acumulados os valores de  $\Delta\nu_i$

memória 9 → são acumulados os valores de  $\Delta\mu_i$

memória 11 a 17 → valores de  $(\alpha_i + 0,5)$  onde  $i = 1 \text{ a } 7$

memória A → 2 %

memórias B,C,E,I → utilizadas no programa durante o processamento.

## A1.3 - Programação

PASSO	TECLAS	CÓDIGO	PASSO	TECLAS	CÓDIGO
001	f LBL A	312511	037	x	71
002	RCL 7	3407	038	+	61
003	STO + 6	336106	039	STO 4	3304
004	f LBL a	322511	040	GTO f a	223111
005	0 00		041	f LBL B	312512
006	STO 8	3308	042	1	01
007	STO 9	3309	043	1	01
008	f GSB B	312212	044	STO 1	3533
009	RCL A	3411	045	.	83
010	2 02		046	5	05
011	÷ 81		047	RCL 4	3404
012	RCL 0	3400	048	RCL 6	3406
013	RCL 8	3408	049	÷	81
014	- 51		050	-	51
015	h ABS	3564	051	STO B	3312
016	g x≤y	3271	052	f LBL C	312513
017	GTO 2	2202	053	RCL B	3412
018	RCL 8	3408	054	RCL (i)	3424
019	STO E	3315	055	x	71
020	0 00		056	.	83
021	STO 8	3308	057	5	05
022	STO 9	3309	058	-	51
023	RCL 5	3405	059	STO C	3313
024	STO + 4	336104	060	f GSB 1	312201
025	f GSB B	312212	061	RCL 4	3404
026	RCL 4	3404	062	RCL C	3413
027	RCL 5	3405	063	RCL 6	3406
028	- 51		064	x	71
029	RCL 0	3400	065	+	61
030	RCL E	3415	066	RCL A	3411
031	- 51		067	CHS	42
032	RCL 8	3408	068	g x≤y	3271
033	RCL E	3415	069	GTO 9	2209
034	- 51		070	1	01
035	÷ 81		071	CHS	42
036	RCL 5	3405	072	h RA	3554

168	÷	81	207	R/S	84
169	h RTN	3522	208	2	02
170	f LBL 5	312505	209	÷	81
171	h RV	3553	210	RCL 2	3402
172	h RV	3553	211	x	71
173	RCL A	3411	212	RCL 4	3404
174	÷ 81		213	+	61

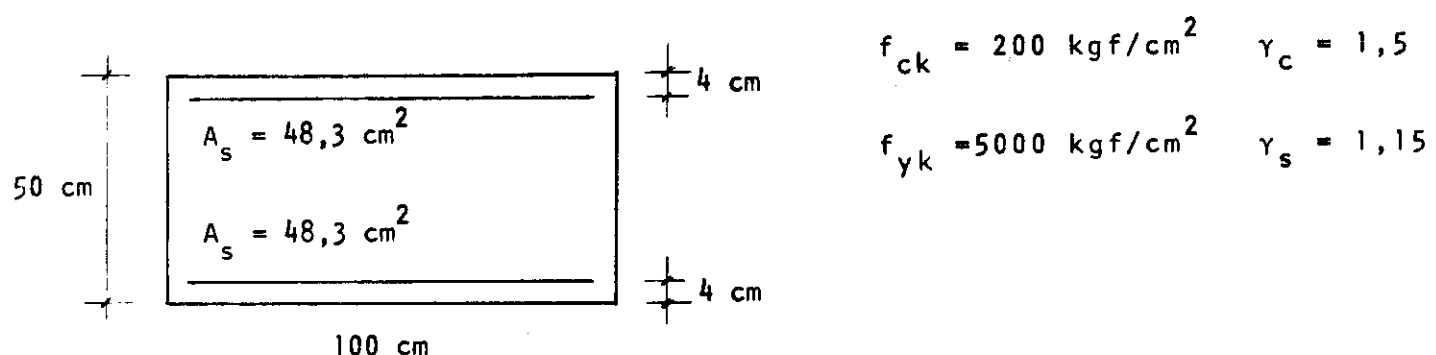
PASSO	TECLAS	CÓDIGO	PASSO	TECLAS	CÓDIGO
073	GTO 8	2208	110	g x≤y	3271
074	f LBL 9	312509	111	GTO C	2213
075	+	81	112	RCL (i)	3424
076	ENTER	41	113	f x=0	3151
077	ENTER	41	114	h RTN	3522
078	x	71	115	f ISZ	3134
079	h x→y	3552	116	RCL (i)	3424
080	2	02	117	RCL 6	3406
081	x	71	118	x	71
082	-	51	119	RCL 4	3404
083	f LBL 8	312508	120	+	61
084	x	71	121	f GSB 0	312214
085	STO + 8	336108	122	RCL 1	3401
086	RCL C	3413	123	x	71

124

#### A1.4. Exemplos

##### 1º) Exemplo: Somente armadura concentrada simétrica

$$N_d = 200 \text{ tf.}$$



$$\nu_d = \frac{200}{0,85 \times \frac{0,200}{1,5} \times 50 \times 100} = 0,353$$

$$\omega = \frac{\frac{5}{1,15} \times 2 \times 48,3}{0,85 \times \frac{0,200}{1,5} \times 50 \times 100} = 0,741$$

$$\epsilon = 2\% = 2,07 \%$$

$$\frac{d'}{h} = \frac{4}{50} = 0,08$$

$$- 0,353 \rightarrow STO 0 (\nu_d)$$

$$0,741 \rightarrow STO 1 (\omega)$$

$$0,84 \rightarrow STO 2 (1 - 2 d'/h)$$

$$- 0,42 \rightarrow STO 3 (z de A_{sc} comprimida)$$

## Valores pela HP-67

$ \epsilon_c  \cdot 10^3$	$\frac{h}{r} \cdot 10^3$	$\epsilon_s \cdot 10^3$	$\mu_i$
0,765	1,0	0,155	0,125
0,980	1,5	0,400	0,171
1,189	<u>2,0</u>	0,651	<u>0,213</u>
1,396	2,5	0,904	0,253
1,605	<u>3,0</u>	1,155	<u>0,292</u>
1,816	3,5	1,404	0,330
2,032	<u>4,0</u>	1,648	<u>0,367</u>
2,252	4,5	1,888	0,403
2,431	<u>5,0</u>	2,169	<u>0,421</u>
2,608	<u>5,5</u>	2,452	<u>0,422</u>
2,785	6,0	2,700	0,422
2,962	6,5	3,018	0,423
3,140	7,0	3,300	0,423
3,316	7,5	3,580	0,423
3,492	8,0	3,868	0,424
3,667	8,5	-	-

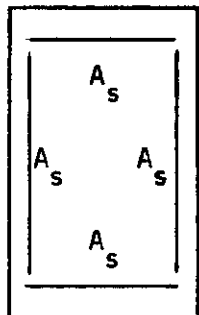
(h = 50 cm) :

$ 1/r $	$\mu_i$	$\frac{h}{r} \cdot 10^3 = 50 \left(\frac{1}{r}\right) \cdot 10^3$	$\mu_i$
$4 \times 10^{-5}$	0,208	2	0,213
$6 \times 10^{-5}$	0,286	3	0,292
$8 \times 10^{-5}$	0,358	4	0,367
$10 \times 10^{-5}$	0,420	5	0,421
$11 \times 10^{-5}$	0,422	5,5	0,422

Valores de  $\mu_i$  compilados de [10]Valores de  $\mu_i$ , nas mesmas curvaturas, obtidos pelo processamento na HP-67

2º) Exemplo: armadura concentrada e distribuída simétrica

$$v = 0,4$$



$$\omega_{C.E.B.} = 0,2 \rightarrow \omega_{HP-67} = 0,4$$

$$\frac{d'}{h} = 0,1 \quad \epsilon_{yd} = 2\%$$

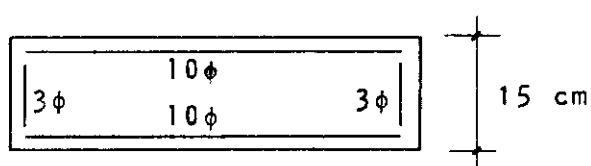
$$A_{sc\ trac} = A_{sc\ compr} = \frac{A_{sd}}{2} = \frac{A_s}{4}$$

- 0,4 → STO 0 ( $v_d$ )
- 0,4 → STO 1 ( $\omega$ )
- 0,8 → STO 2 ( $1 - 2 d'/h$ )
- 0,4 → STO 3 (z de  $A_{sc}$  comprimida)
- 0,5 → STO 10 (% tracionada de  $A_{sc}$ )
- 0,5 → STO 18 (% concentrada de  $A_s$ )
- 0,4 → STO 19 (z de  $A_{sc}$  tracionada)
- 0,5 → STO D (% distribuída de  $A_s$ )

$ \epsilon_c  \cdot 10^3$	$\frac{h}{r} \cdot 10^3$	$\epsilon_s \cdot 10^3$	$\mu_i$ (HP-67)	$\mu_i$ (C.E.B.) (anexo nº 6)
0,873	1	0,027	0,085	0,085
1,315	2	0,485	0,132	0,132
1,728	3	0,972	0,166	0,166
2,148	4	1,452	0,195	0,195
2,595	5	1,905	0,219	0,219
3,049	6	2,351	0,227	0,227
3,479	7	2,821	0,230	0,230

## 3º) Exemplo:

Algumas vezes é necessário dimensionar um pilar com 15 cm de largura. Nesses casos é sempre necessário que se utilize  $\gamma_f = 1,8$  (NB-1/5.4.2.1). Geralmente a bitola de aço utilizada é  $\phi 1/2''$  ou  $\phi 5/8''$  e existe disponibilidade de se colocar, na outra direção, uma armadura distribuída que, poderá não ser igual à concentrada.



$$\begin{aligned} \text{cobrimento} &= 2,500 \text{ cm} \\ \text{estribo}(\phi 1/4'') &= 0,635 \text{ cm} \\ \text{meia bitola}(\phi 5/8'') &= \underline{0,794} \text{ cm} \\ &3,929 \text{ cm} \end{aligned}$$

$$\frac{d'}{h} = \frac{3,929}{15} = 0,262 \quad (\text{este valor, normalmente, não é encontrado nas tabelas})$$

Supondo:  $\omega = 2$

$$\frac{A_{sc}}{A_s} = \frac{10 \times 2}{26} = 0,769 \quad \text{portanto} \quad \frac{A_{sd}}{A_s} = 0,231$$

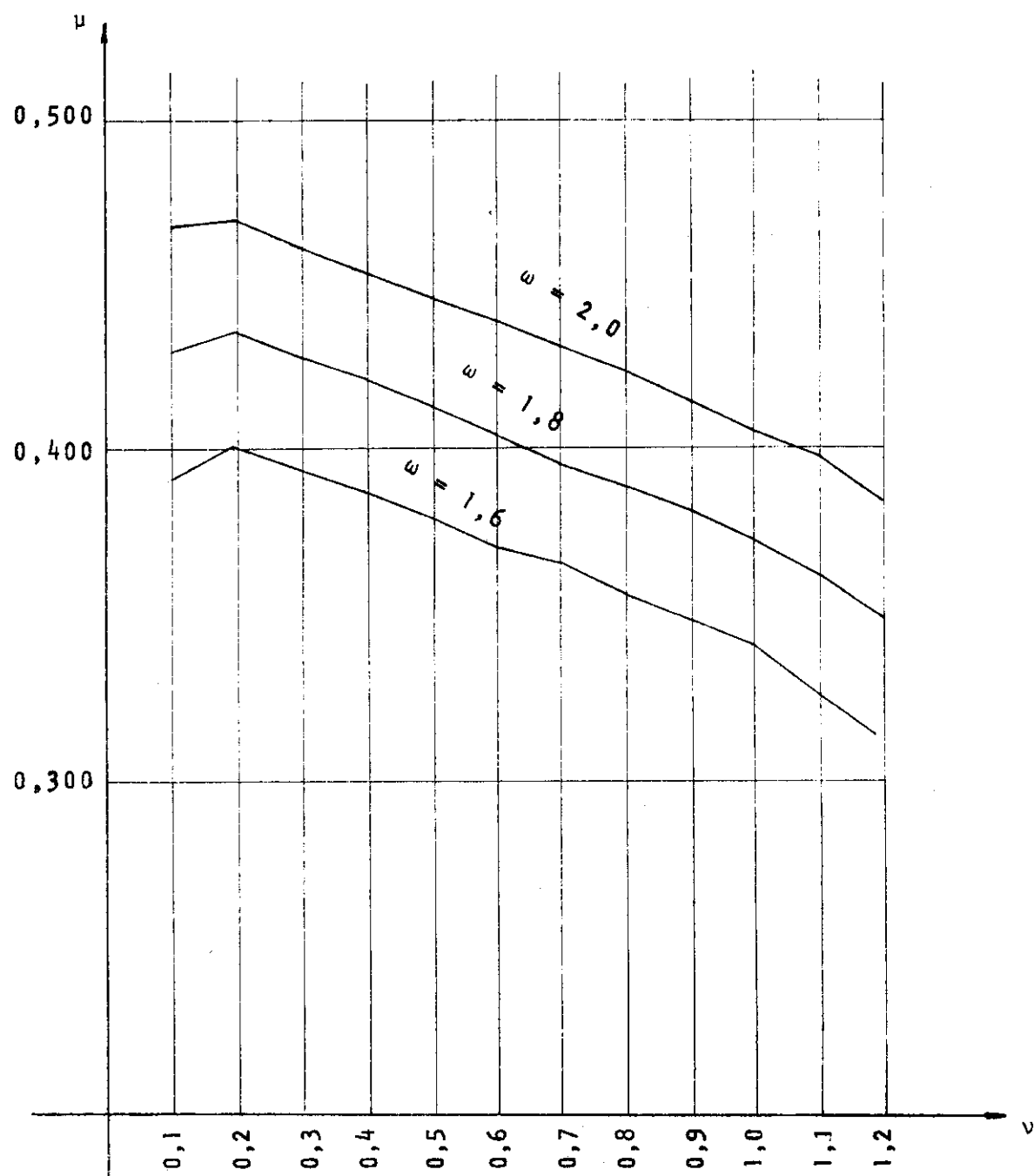
- v_d	→ ST0 0
2	→ ST0 1
0,476133	→ ST0 2
-0,238067	→ ST0 3
0,5	→ ST0 10
0,769231	→ ST0 18
0,238067	→ ST0 19
0,230769	→ ST0 E

Por tentativas chega-se à curvatura em que  $|\epsilon_c| \approx 3,5\%$ , que corresponde ao estado limite de rutura.

Fazendo-se, após, o mesmo roteiro para  $\omega = 1,8$  e  $\omega = 1,6$ , temos:

$\omega$	$v$	$ \epsilon_c  \cdot 10^3$	$\frac{h}{r} \cdot 10^3$	$\epsilon_s \cdot 10^3$	$\mu$
2,0	0,1	3,501	7,658	2,151	0,468
	0,2	3,500	7,368	1,938	0,470
	0,3	3,500	7,187	1,805	0,462
	0,4	3,501	7,010	1,673	0,454
	0,5	3,500	6,829	1,540	0,446
	0,6	3,500	6,651	1,409	0,439
	0,7	3,501	6,476	1,279	0,431
	0,8	3,500	6,299	1,149	0,423
	0,9	3,501	6,126	1,021	0,415
	1,0	3,500	5,952	0,893	0,407
	1,1	3,501	5,782	0,767	0,399
	1,2	3,500	5,585	0,622	0,386
1,8	0,1	3,501	7,773	2,236	0,430
	0,2	3,500	7,405	1,966	0,436
	0,3	3,500	7,206	1,819	0,428
	0,4	3,501	7,010	1,673	0,421
	0,5	3,500	6,814	1,528	0,413
	0,6	3,500	6,617	1,384	0,405
	0,7	3,499	6,422	1,241	0,398
	0,8	3,500	6,230	1,099	0,390
	0,9	3,501	6,043	0,960	0,382
	1,0	3,499	5,851	0,819	0,374
	1,1	3,500	5,654	0,673	0,364
	1,2	3,500	5,432	0,510	0,349
1,6	0,1	3,499	7,914	2,342	0,391
	0,2	3,500	7,451	1,999	0,402
	0,3	3,500	7,229	1,836	0,394
	0,4	3,500	7,010	1,674	0,387
	0,5	3,500	6,793	1,513	0,380
	0,6	3,499	6,576	1,354	0,372
	0,7	3,500	6,363	1,196	0,365
	0,8	3,500	6,152	1,040	0,357
	0,9	3,501	5,945	0,887	0,350
	1,0	3,500	5,735	0,732	0,342
	1,1	3,500	5,492	0,553	0,327
	1,2	3,501	5,253	0,377	0,313

Graficamente:



Supondo:

pilar de  $(15 \times 55) \text{ cm}^2$  (NB-1/6.1.3.1-b)

$N = 50 \text{ tf.}$  (carga centrada)

$$l_e = 3,40 \text{ m}$$

$f_{ck} = 150 \text{ kgf/cm}^2$  Aço CA-50-A ( $\epsilon_{yd} = 2\%$ )

$$N_d = 1,8 \times 50 = 90 \text{ tf}$$
 (NB-1/5.4.2.1)

$$e_a = 2 \text{ cm}$$
 (NB-1/4.1.1.3)

$$\lambda = \frac{l_e}{h} = \frac{3,46}{15} = \frac{340}{15} = 78,43 < 80$$

Permite-se o cálculo por processo simplificado (NB-1/4.1.1.3.3)

$$v_{NB-1} = \frac{N_d}{A_c f_{cd}} = \frac{90\ 000}{15 \times 55 \times \frac{150}{1,4}} = 1,018$$

$$\frac{1}{r} = \frac{0,0035 + 0,0020}{(1,018 + 0,5)15} = 2,42 \times 10^{-4} \text{ cm}^{-1}$$

$$e_2 = \frac{\frac{1}{e}^2}{10} - \frac{1}{r} = \frac{340^2}{10} \times 2,42 \times 10^{-4} = 2,79 \text{ cm}$$

$$v = \frac{N_d}{0,85 f_{cd} A_c} = \frac{90\ 000}{0,85 \times \frac{150}{1,4} \times 15 \times 55} = 1,20$$

$$\mu = v \frac{e}{h} = 1,20 \times \frac{(2,79 + 2)}{15} = 0,383$$

Interpolando entre  $\omega = 2,0$  e  $\omega = 1,8$

$$\omega = 2,0 \quad \mu = 0,386$$

$$\omega = 1,8 \quad \mu = 0,349$$

$$\mu = 0,383 \rightarrow \omega = 1,98$$

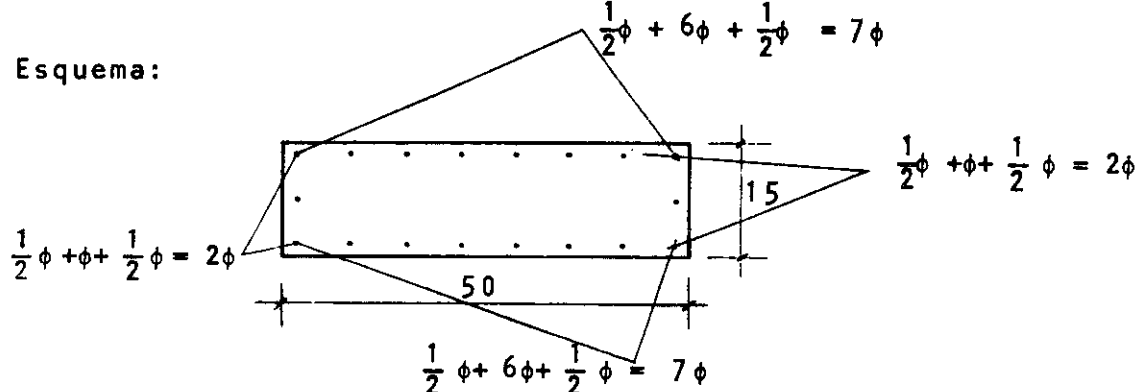
$$A_s = \omega \left( \frac{0,85 f_{cd} A_c}{f_y d} \right) = 1,98 \left( \frac{0,85 \times 150 \times 15 \times 55 \times 1,15}{1,4 \times 5000} \right) = 34,22 \text{ cm}^2$$

(18φ5/8'')

$$A_{sd} = 0,23 \times 34,22 = 7,90 \text{ cm}^2 + 4\phi 5/8''$$

$$A_{sc} = 18 - 4 = 14 \phi 5/8''$$

Esquema:



Pela norma antiga NB-1/60 esse mesmo pilar seria armado com:

$$s_f = \frac{N_r - s_c' \sigma_r}{\sigma_e}$$

$$N_r = \gamma \omega N \quad \lambda = 78,43 \quad \rightarrow \quad \omega = 1,4$$

$$N_r = 2 \times 1,4 \times 50\,000 = 140\,000 \text{ kgf}$$

$$s_f = \frac{140\,000 - (55 \times 15) \cdot 150}{5000} = 3,25 \text{ cm}^2$$

$$s_f = \frac{140\,000 - (55 \times 15 - 3,25) \cdot 150}{5000} = 3,35 \text{ cm}^2$$

Teríamos que utilizar a armadura mínima = 5,9 cm<sup>2</sup>

$$\frac{A_s (\text{NB-1/77})}{s_f (\text{NB-1/60})} = \frac{34,22}{5,9} = 5,9 : (6\phi 1/2'')$$

Anexo nº 2  
 (tabelas publicadas pelo Boletim 103 do C.E.B.)

TABLES FOR RELATIVE EXTERNAL MOMENTS  
 ON SLENDER COLUMNS WITH:

$$\mu_1 = M_1 / N_c h$$

TABLE	CROSS SECTION	REINFOR-CEMENT	PLANE	$\epsilon_s (\%)$	$d'/h$	PAGE
RC 20/10	RECTANGULAR	CORNER	MAIN	.20	.10	1
" 20/15	"	"	"	.20	.15	2
" 24/10	"	"	"	.24	.10	3
" 24/15	"	"	"	.24	.15	4
RD 20/10	RECTANGULAR	DISTRIBUTED	MAIN	.20	.10	5
" 20/15	"	"	"	.20	.15	6
" 24/10	"	"	"	.24	.10	7
" 24/15	"	"	"	.24	.15	8
CD 20/10	CIRCULAR	DISTRIBUTED		.20	.10	9
" 20/15	"	"		.20	.15	10
" 24/10	"	"		.24	.10	11
" 24/15	"	"		.24	.15	12
SC 20/10	SQUARE	CORNER	DIAGONAL	.20	.10	13
" 20/15	"	"	"	.20	.15	14
" 24/10	"	"	"	.24	.10	15
" 24/15	"	"	"	.24	.15	16
SD 20/10	SQUARE	DISTRIBUTED	DIAGONAL	.20	.10	17
" 20/15	"	"	"	.20	.15	18
" 24/10	"	"	"	.24	.10	19
" 24/15	"	"	"	.24	.15	20

STRENGTH OF CONCRETE =  $M_u$  =  $M_u / N_c$  F.U.R.

RECTANGULAR CROSS SECTION - CORNER REINFORCEMENT - MAIN PLANE

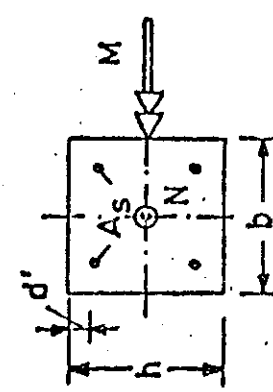
$\rho / \rho_n$	$w / v$	$\omega$	$\nu$	$\cdot .1$	$\cdot .2$	$\cdot .3$	$\cdot .4$	$\cdot .5$	$\cdot .6$	$\cdot .7$	$\cdot .8$	$\cdot .9$	$\cdot 1.0$	$\cdot 1.1$	$\cdot 1.2$	$\cdot 1.3$	$\cdot 1.4$	$\cdot 1.5$	$\cdot 1.6$	$\cdot 1.7$	$\cdot 1.8$	$\cdot 1.9$
0	0.0	.000	.043	.073	.134	.118	.122	.115	.098	.071	.037											
	.1	.063	.122	.157	.164	.158	.156	.181	.153	.139	.110	.076										
	.2	.163	.261	.236	.264	.276	.274	.253	.231	.207	.160	.114										
	.3	.243	.239	.215	.244	.258	.252	.236	.203	.277	.250	.220	.189	.153	.117	.079	.040					
	.4	.322	.359	.296	.424	.436	.431	.405	.377	.349	.321	.292	.261	.228	.193	.156	.118	.080	.040			
	.5	.400	.438	.475	.504	.512	.511	.482	.452	.423	.394	.364	.333	.301	.267	.232	.195	.153	.119	.080	.040	
10	0.0	.000	.037	.066	.086	.092	.098	.090	.072	.044	.016											
	.1	.063	.115	.142	.163	.174	.167	.151	.131	.108	.079	.048										
	.2	.163	.193	.213	.242	.254	.244	.221	.197	.172	.145	.082										
	.3	.243	.271	.298	.322	.334	.323	.295	.267	.239	.211	.159										
	.4	.322	.350	.377	.402	.414	.402	.371	.340	.313	.280	.249										
	.5	.400	.429	.457	.482	.494	.481	.448	.415	.383	.351	.319	.287									
20	0.0	.060	.031	.050	.061	.064	.066	.058	.044	.022	.003											
	.1	.083	.102	.115	.120	.113	.101	.083	.072	.049	.023	.004										
	.2	.163	.178	.191	.198	.191	.181	.165	.143	.123	.102	.078										
	.3	.243	.255	.266	.273	.270	.236	.207	.182	.156	.133	.105	.076									
	.4	.322	.332	.345	.353	.345	.313	.275	.244	.217	.198	.163	.135									
	.5	.400	.410	.422	.413	.429	.391	.351	.312	.280	.250	.221	.193									
30	0.0	.060	.025	.036	.041	.046	.044	.039	.029	.016	.004											
	.1	.063	.082	.074	.060	.053	.048	.034	.024	.003	.003											
	.2	.163	.153	.146	.127	.127	.104	.071	.054	.035	.012											
	.3	.243	.233	.213	.222	.219	.169	.138	.094	.070	.048											
	.4	.322	.308	.300	.276	.249	.197	.154	.119	.069	.063											
	.5	.400	.387	.371	.368	.366	.259	.222	.177	.143	.109	.080										
40	0.0	.060	.019	.023	.024	.026	.020	.016	.010	.004	.000											
	.1	.063	.059	.035	.039	.049	.016	.016	.009	.003	.003											
	.2	.163	.123	.089	.048	.048	.033	.016	.005	.005	.005											
	.3	.243	.203	.161	.106	.055	.025	.015														
	.4	.322	.275	.235	.179	.111	.060	.036														
	.5	.400	.357	.310	.253	.168	.114	.063														

$$\epsilon_s = \epsilon_{yd} \quad d'/h = .10$$

$$A_s = A_s \text{ total}$$

$$f_s = f_{yd}$$

$$v = N/N_c \quad \mu = M/M_c h \quad \omega = f_s A_s / N_c \quad N_c = f_c A_c$$



$$v = N/N_c \quad \mu = M/M_c h \quad \omega = f_s A_s / N_c \quad N_c = f_c A_c$$

$$A_s = \frac{1}{2} A_s \text{ total}$$

$$f_s = 0.85 f_{cd}$$

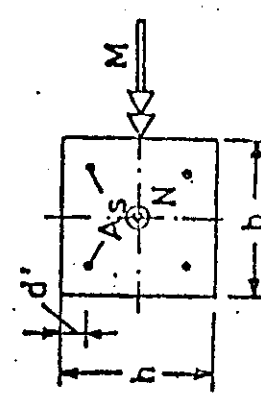
$$\epsilon_s = \epsilon_{yd}$$

TABLE RC 20/15.

RELATIVE EXTERNAL MOMENT  $\mu_1 = M_1/N_{ch}$  FOR

RECTANGULAR CROSS SECTION - CORNER REINFORCEMENT - MAIN PLANE

$\epsilon/h$	$\omega$	$v$	.0	.1	.2	.3	.4	.5	.6	.7	.8	.9	1.0	1.1	1.2	1.3	1.4	1.5	1.6	1.7	1.8	1.9	
10	0	0.0	.000	.043	.079	.104	.118	.122	.115	.098	.071	.057	.072	.037	.107	.123	.133	.105	.072	.037	.037	.037	
	.1	.075	.114	.147	.174	.158	.164	.171	.154	.132	.105	.072	.037	.107	.123	.133	.105	.072	.037	.037	.037	.037	
	.2	.145	.184	.216	.244	.258	.250	.232	.213	.192	.166	.140	.107	.072	.107	.123	.133	.107	.072	.036	.036	.036	
	.3	.219	.253	.285	.314	.328	.317	.296	.275	.252	.229	.203	.174	.141	.107	.123	.133	.107	.072	.036	.036	.036	
	.4	.269	.322	.354	.384	.396	.385	.362	.339	.315	.290	.265	.237	.206	.176	.142	.152	.121	.092	.067	.042	.026	
	.5	.358	.391	.424	.454	.468	.455	.430	.404	.379	.354	.328	.301	.272	.243	.211	.177	.142	.107	.072	.036	.036	
	0.0	0.0	.000	.037	.066	.086	.097	.092	.090	.072	.044	.016	.016	.016	.016	.016	.016	.016	.016	.016	.016	.016	
	.1	.075	.107	.132	.152	.162	.154	.140	.124	.102	.074	.045	.017	.017	.017	.017	.017	.017	.017	.017	.017	.017	
	.2	.145	.176	.200	.219	.232	.219	.200	.189	.175	.157	.123	.105	.075	.047	.021	.021	.021	.021	.021	.021	.021	
	.3	.219	.244	.268	.288	.303	.287	.262	.236	.214	.189	.164	.139	.105	.076	.048	.022	.022	.022	.022	.022	.022	
	.4	.269	.313	.336	.356	.373	.355	.327	.301	.274	.248	.222	.193	.167	.136	.106	.077	.050	.023	.023	.023	.023	
	.5	.358	.392	.405	.428	.443	.423	.394	.365	.337	.309	.281	.254	.227	.198	.166	.136	.107	.078	.050	.024	.024	
	20	0.0	.000	.031	.059	.061	.064	.058	.044	.022	.003	.003	.003	.003	.003	.003	.003	.003	.003	.003	.003	.003	
	.1	.075	.055	.103	.105	.055	.058	.058	.052	.052	.041	.016	.016	.016	.016	.016	.016	.016	.016	.016	.016	.016	
	.2	.149	.161	.170	.171	.163	.159	.155	.152	.150	.143	.134	.134	.134	.134	.134	.134	.134	.134	.134	.134	.134	
	.3	.219	.229	.236	.239	.239	.232	.232	.226	.217	.204	.197	.197	.197	.197	.197	.197	.197	.197	.197	.197	.197	
	.4	.269	.296	.302	.305	.305	.302	.302	.302	.296	.284	.274	.274	.274	.274	.274	.274	.274	.274	.274	.274	.274	
	.5	.358	.364	.371	.374	.374	.372	.372	.372	.365	.355	.341	.341	.341	.341	.341	.341	.341	.341	.341	.341	.341	
	30	0.0	.000	.025	.036	.037	.030	.016	.016	.016	.016	.016	.016	.016	.016	.016	.016	.016	.016	.016	.016	.016	
	.1	.078	.075	.061	.052	.052	.046	.035	.018	.000	.000	.000	.000	.000	.000	.000	.000	.000	.000	.000	.000	.000	
	.2	.149	.138	.121	.054	.054	.054	.055	.040	.022	.022	.022	.022	.022	.022	.022	.022	.022	.022	.022	.022	.022	
	.3	.219	.271	.252	.205	.205	.185	.158	.119	.083	.063	.046	.026	.026	.026	.026	.026	.026	.026	.026	.026	.026	
	.4	.269	.337	.319	.289	.289	.257	.257	.257	.257	.257	.257	.257	.257	.257	.257	.257	.257	.257	.257	.257	.257	.257
	.5	.358	.305	.246	.246	.246	.179	.095	.052	.031	.021	.017	.017	.017	.017	.017	.017	.017	.017	.017	.017	.017	
	40	0.0	.000	.019	.023	.016	.000	.000	.000	.000	.000	.000	.000	.000	.000	.000	.000	.000	.000	.000	.000	.000	
	.1	.078	.048	.032	.032	.026	.012	.012	.012	.012	.012	.012	.012	.012	.012	.012	.012	.012	.012	.012	.012	.012	
	.2	.149	.108	.060	.037	.037	.024	.024	.024	.024	.024	.024	.024	.024	.024	.024	.024	.024	.024	.024	.024	.024	
	.3	.219	.172	.129	.058	.037	.024	.024	.024	.024	.024	.024	.024	.024	.024	.024	.024	.024	.024	.024	.024	.024	
	.4	.269	.236	.184	.115	.056	.035	.021	.021	.021	.021	.021	.021	.021	.021	.021	.021	.021	.021	.021	.021	.021	
	.5	.358	.305	.246	.246	.246	.179	.095	.052	.031	.021	.017	.017	.017	.017	.017	.017	.017	.017	.017	.017	.017	



$$\epsilon_s = \epsilon_{yd} \quad d'/h = .15$$

$$\epsilon_s = \epsilon_{yd}$$

$$A_s = \frac{1}{2} A_s \text{ total}$$

$$f_s = f_y d \quad f_c = 0,85 f_{cd}$$

$$\nu = N/N_c \quad \mu = M/M_c$$

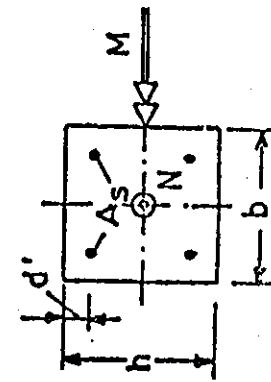
$$\omega = f_s A_s / N_c$$

$$N_c = f_{cc} A_c$$

RELATIVE EXTERNAL MOMENT  $\mu_1 = M_1/N_C h$  FOR  
RECTANGULAR CROSS SECTION - CORNER REINFORCEMENT - MAIN PLANE

$\mu/h$	$\omega/h$	$\nu/h$	.0	.1	.2	.3	.4	.5	.6	.7	.8	.9	1.0	1.1	1.2	1.3	1.4	1.5	1.6	1.7	1.8	1.9
0	0.0	.050	.043	.079	.104	.116	.122	.115	.098	.071	.037											
	.1	.063	.122	.156	.164	.156	.152	.179	.162	.139	.110	.076	.040									
	.2	.163	.200	.235	.264	.278	.267	.248	.223	.190	.149	.115	.078	.040								
	.3	.242	.357	.313	.344	.358	.345	.322	.298	.274	.248	.220	.189	.154	.117	.080	.040					
	.4	.321	.437	.394	.424	.438	.423	.397	.357	.371	.345	.318	.290	.261	.228	.193	.157	.119	.080	.040		
	.5	.400	.504	.473	.504	.518	.501	.472	.446	.413	.390	.361	.332	.301	.268	.232	.196	.158	.120	.080	.040	
10	0.0	.050	.037	.066	.086	.057	.053	.050	.072	.044	.016											
	.1	.063	.114	.141	.160	.172	.163	.153	.131	.103	.079	.049	.020									
	.2	.163	.152	.217	.234	.252	.237	.216	.194	.171	.145	.115	.093	.023								
	.3	.242	.269	.295	.318	.332	.314	.288	.262	.236	.209	.182	.152	.113	.087	.055	.025					
	.4	.321	.349	.374	.397	.412	.391	.362	.333	.305	.277	.248	.218	.187	.154	.121	.089	.057	.027			
	.5	.400	.427	.453	.477	.492	.470	.438	.407	.376	.346	.316	.285	.255	.223	.189	.156	.123	.091	.059	.028	
20	0.0	.050	.021	.050	.061	.064	.058	.044	.022	.003												
	.1	.063	.109	.111	.112	.101	.052	.060	.052	.040	.015	.000										
	.2	.163	.176	.186	.187	.179	.153	.130	.110	.090	.037	.011										
	.3	.242	.252	.261	.262	.258	.224	.194	.168	.143	.119	.092	.064									
	.4	.321	.328	.337	.341	.338	.298	.263	.230	.203	.174	.149	.119	.091	.061	.034	.012					
	.5	.400	.405	.413	.419	.412	.375	.334	.298	.264	.235	.204	.178	.146	.118	.086	.057	.033	.014			
30	0.0	.060	.025	.036	.037	.030	.016															
	.1	.063	.030	.065	.055	.042	.037	.019	.000													
	.2	.163	.152	.137	.195	.075	.060	.044	.024	.002												
	.3	.242	.224	.210	.179	.139	.095	.071	.051	.029	.005											
	.4	.321	.303	.282	.255	.218	.162	.116	.094	.060	.036	.010										
	.5	.400	.378	.359	.335	.298	.234	.183	.135	.097	.070	.044										
40	0.0	.060	.019	.023	.016	.000																
	.1	.063	.051	.023	.027	.013																
	.2	.163	.119	.063	.040	.027	.009															
	.3	.242	.195	.138	.069	.042	.025	.004														
	.4	.321	.268	.205	.138	.068	.042	.021														
	.5	.400	.340	.265	.217	.130	.066	.040														

$$\epsilon_s = \epsilon_{yd} \quad d'/h = .10$$

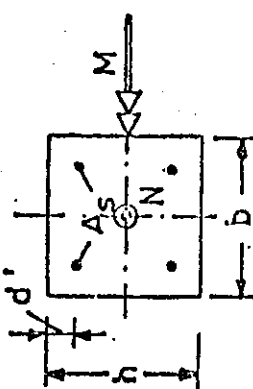


$$\begin{aligned} \nu &= N/N_C \\ \mu &= M/N_C \\ \omega &= f_s A_s / N_C \\ N_C &= f_C A_C \end{aligned}$$

$$\begin{aligned} A_s &= \frac{1}{2} A_s \text{ total} \\ f_s &= f_y d \quad f_c = 0.85 f_{cd} \end{aligned}$$

TABLE RC 24/15. RELATIVE EXTERNAL MOMENT  $\mu_1 = M_1/N_c h$  FOR  
RECTANGULAR CROSS SECTION - CORNER REINFORCEMENT - MAIN PLANE

$\lambda/h$	$\omega$	$\nu$	.0	.1	.2	.3	.4	.5	.6	.7	.8	.9	1.0	1.1	1.2	1.3	1.4	1.5	1.6	1.7	1.8	1.9
0	0.0	.000	.043	.079	.104	.118	.122	.115	.098	.071	.037	.037	.072	.072	.072	.072	.036	.036	.036	.036	.036	
	.1	.078	.115	.145	.172	.168	.160	.169	.154	.133	.106	.106	.140	.140	.140	.140	.107	.107	.107	.107	.107	
	.2	.150	.215	.241	.255	.244	.228	.211	.191	.168	.168	.168	.203	.203	.203	.203	.174	.174	.174	.174	.174	
	.3	.219	.252	.264	.309	.329	.311	.291	.271	.250	.228	.228	.238	.238	.238	.238	.209	.209	.209	.209	.209	
	.4	.269	.321	.352	.379	.398	.378	.356	.334	.312	.288	.288	.351	.351	.351	.351	.326	.326	.326	.326	.326	
	.5	.358	.390	.421	.448	.468	.446	.422	.399	.375	.351	.351	.423	.423	.423	.423	.272	.272	.272	.272	.272	
10	0.0	.000	.037	.066	.086	.057	.053	.053	.053	.053	.053	.053	.053	.053	.053	.053	.044	.044	.044	.044	.044	
	.1	.078	.132	.132	.149	.155	.150	.150	.150	.150	.150	.150	.150	.150	.150	.150	.123	.123	.123	.123	.123	
	.2	.150	.175	.198	.216	.229	.213	.213	.213	.213	.213	.213	.213	.213	.213	.213	.176	.176	.176	.176	.176	
	.3	.219	.243	.265	.284	.299	.279	.279	.279	.279	.279	.279	.279	.279	.279	.279	.234	.234	.234	.234	.234	
	.4	.269	.311	.333	.353	.369	.346	.346	.346	.346	.346	.346	.346	.346	.346	.346	.320	.320	.320	.320	.320	
	.5	.358	.380	.402	.422	.439	.414	.414	.414	.414	.414	.414	.414	.414	.414	.414	.396	.396	.396	.396	.396	
20	0.0	.000	.031	.050	.061	.064	.056	.056	.056	.056	.056	.056	.056	.056	.056	.044	.044	.044	.044	.044		
	.1	.078	.093	.093	.056	.056	.083	.062	.072	.072	.056	.056	.056	.056	.056	.056	.123	.123	.123	.123	.123	
	.2	.150	.159	.164	.159	.159	.147	.147	.147	.147	.104	.104	.083	.083	.083	.083	.135	.135	.135	.135	.135	
	.3	.219	.226	.226	.226	.226	.215	.215	.215	.215	.156	.156	.132	.132	.132	.132	.105	.105	.105	.105	.105	
	.4	.269	.292	.294	.294	.293	.284	.284	.284	.284	.214	.214	.165	.165	.165	.165	.136	.136	.136	.136	.136	
	.5	.358	.360	.362	.362	.361	.354	.354	.354	.354	.277	.277	.243	.243	.243	.243	.279	.279	.279	.279	.279	
30	0.0	.000	.025	.036	.037	.030	.030	.030	.030	.030	.016	.016	.022	.022	.022	.022	.003	.003	.003	.003	.003	
	.1	.078	.069	.052	.049	.044	.044	.044	.044	.044	.070	.070	.068	.068	.068	.068	.021	.021	.021	.021	.021	
	.2	.150	.133	.110	.074	.055	.048	.048	.048	.048	.033	.033	.033	.033	.033	.033	.013	.013	.013	.013	.013	
	.3	.219	.200	.171	.134	.088	.067	.067	.067	.067	.051	.051	.034	.034	.034	.034	.013	.013	.013	.013	.013	
	.4	.269	.265	.236	.236	.156	.150	.097	.072	.072	.054	.054	.035	.035	.035	.035	.013	.013	.013	.013	.013	
	.5	.358	.358	.332	.304	.266	.219	.157	.104	.104	.077	.077	.056	.056	.056	.056	.035	.035	.035	.035	.035	
40	0.0	.000	.019	.023	.016	.009	.009	.009	.009	.009	.014	.014	.032	.032	.032	.032	.013	.013	.013	.013	.013	
	.1	.078	.039	.023	.024	.024	.010	.010	.010	.010	.033	.033	.048	.048	.048	.048	.013	.013	.013	.013	.013	
	.2	.150	.098	.044	.033	.020	.003	.003	.003	.003	.020	.020	.067	.067	.067	.067	.051	.051	.051	.051	.051	
	.3	.219	.164	.094	.044	.030	.014	.014	.014	.014	.073	.073	.042	.042	.042	.042	.026	.026	.026	.026	.026	
	.4	.269	.228	.156	.073	.060	.037	.037	.037	.037	.133	.133	.060	.060	.060	.060	.037	.037	.037	.037	.037	
	.5	.358	.293	.220	.133	.060	.037	.037	.037	.037	.133	.133	.060	.060	.060	.060	.019	.019	.019	.019	.019	



$$E_s = \epsilon_y d / h \quad d/h = .15$$

$$\epsilon_s = \epsilon_y d$$

$$A_s = \frac{1}{2} A_s \text{ total}$$

136

$$\nu = N/N_c$$

$$\mu = M/M_c h$$

$$\omega = f_s A_s / N_c$$

$$N_c = f_{cc} A_c$$

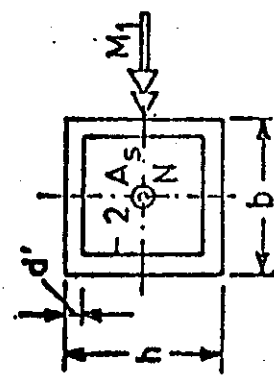
$$f_s = f_y d \quad f_c = 0.85 f_{cd}$$

RECTANGULAR CROSS SECTION - DISTRIBUTED REINFORCEMENT - MAIN PLANE

$\lambda/h$	$\omega$	$v$	.0	.1	.2	.3	.4	.5	.6	.7	.8	.9	1.0	1.1	1.2	1.3	1.4	1.5	1.6	1.7	1.8	1.9
0	0.0	0.000	.043	.075	.104	.110	.122	.115	.098	.071	.037											
	.1	.075	.116	.146	.165	.175	.175	.154	.150	.130	.072	.035										
	.2	.152	.184	.210	.225	.231	.231	.217	.201	.184	.162	.137										
	.3	.221	.252	.271	.283	.289	.287	.273	.255	.237	.217	.194										
	.4	.291	.316	.332	.341	.344	.344	.329	.311	.291	.271	.250										
	.5	.358	.378	.391	.391	.399	.401	.399	.367	.347	.327	.305										
10	0.0	0.000	.037	.066	.086	.057	.058	.090	.072	.044	.016											
	.1	.079	.107	.127	.142	.148	.148	.145	.133	.113	.098	.042	.016									
	.2	.152	.175	.191	.209	.204	.204	.201	.184	.166	.147	.125	.100									
	.3	.221	.242	.252	.259	.259	.260	.255	.238	.218	.198	.176	.153									
	.4	.291	.306	.313	.317	.315	.315	.311	.294	.272	.250	.228	.205									
	.5	.358	.368	.374	.375	.373	.373	.367	.351	.328	.304	.281										
20	0.0	0.000	.031	.050	.050	.061	.064	.058	.044	.022	.003											
	.1	.079	.087	.095	.096	.096	.096	.083	.073	.058	.037	.014	.000									
	.2	.152	.150	.150	.148	.148	.148	.135	.121	.106	.074	.053	.029									
	.3	.221	.214	.209	.204	.204	.204	.192	.166	.146	.128	.110	.091									
	.4	.291	.279	.269	.259	.259	.246	.222	.193	.168	.148	.128	.108									
	.5	.358	.340	.327	.315	.315	.300	.277	.244	.215	.189	.167	.146									
30	0.0	0.000	.025	.036	.036	.037	.030	.016														
	.1	.079	.066	.055	.049	.044	.044	.033	.016													
	.2	.152	.122	.104	.079	.050	.049	.035	.017													
	.3	.221	.150	.156	.129	.053	.069	.053	.037													
	.4	.291	.240	.209	.189	.145	.104	.076	.057													
	.5	.358	.302	.265	.234	.197	.150	.112	.082													
40	0.0	0.000	.019	.023	.016	.006																
	.1	.079	.041	.030	.024	.011																
	.2	.152	.092	.067	.033	.021																
	.3	.221	.145	.054	.046	.031																
	.4	.291	.260	.145	.032	.044																
	.5	.358	.256	.194	.131	.066																

$\epsilon_s = \epsilon_{yd}$	$d'/h = .10$
------------------------------	--------------

$M_1$



$$\epsilon_s = \epsilon_{yd}$$

$$d'/h = .10$$

137

$$A_s = \frac{1}{2} A_s \text{ total}$$

$$f_s = f_{yd}$$

$$f_c = 0.85 f_{cd}$$

$$\nu = N/N_c$$

$$\mu = M_1/M_c$$

$$\omega = f_s A_s / N_c$$

$$N_c = f_{cc} c$$

TABLE RD 20/15.

RELATIVE EXTERNAL MOMENT  $\mu_1 = M_1/N_c h$  FOR  
RECTANGULAR CROSS SECTION - DISTRIBUTED REINFORCEMENT - MAIN PLANE

		EPSS= 2.00 D/H= .15																				
		.0	.1	.2	.3	.4	.5	.6	.7	.8	.9	1.0	1.1	1.2	1.3	1.4	1.5	1.6	1.7	1.8	1.9	
0	0.0	.000	.043	.079	.104	.116	.122	.115	.093	.071	.037	.036	.070	.131	.126	.144	.165	.156	.125	.070	.035	
	.1	.076	.110	.138	.157	.167	.165	.165	.144	.125	.071	.036	.069	.100	.129	.172	.188	.212	.200	.177	.153	.035
	.2	.142	.171	.195	.209	.216	.212	.212	.194	.172	.131	.070	.068	.106	.130	.160	.157	.180	.200	.177	.153	.035
	.3	.203	.230	.249	.259	.255	.250	.250	.247	.233	.217	.131	.068	.068	.099	.130	.159	.185	.228	.203	.185	.035
	.4	.263	.297	.301	.309	.313	.309	.309	.294	.279	.263	.246	.228	.228	.228	.228	.228	.228	.228	.228	.228	.035
	.5	.321	.342	.353	.359	.362	.359	.359	.343	.327	.310	.293	.275	.275	.275	.275	.275	.275	.275	.275	.275	.035
10	0.0	.000	.037	.066	.085	.097	.093	.090	.072	.044	.016	.016	.016	.016	.016	.016	.016	.016	.016	.016	.016	.015
	.1	.076	.101	.120	.133	.140	.135	.135	.125	.112	.094	.069	.069	.069	.069	.069	.069	.069	.069	.069	.069	.069
	.2	.142	.161	.176	.185	.187	.185	.185	.177	.167	.152	.135	.135	.135	.135	.135	.135	.135	.135	.135	.135	.135
	.3	.203	.220	.230	.235	.236	.236	.236	.223	.212	.195	.177	.177	.177	.177	.177	.177	.177	.177	.177	.177	.177
	.4	.263	.277	.284	.286	.285	.285	.285	.277	.258	.240	.221	.202	.202	.202	.202	.202	.202	.202	.202	.202	.202
	.5	.321	.332	.336	.336	.334	.334	.334	.327	.306	.286	.266	.247	.226	.226	.226	.226	.226	.226	.226	.226	.226
20	0.0	.000	.031	.050	.061	.064	.064	.058	.044	.022	.003	.003	.003	.003	.003	.003	.003	.003	.003	.003	.003	.003
	.1	.076	.082	.086	.086	.086	.086	.086	.076	.067	.052	.031	.031	.031	.031	.031	.031	.031	.031	.031	.031	.031
	.2	.142	.136	.135	.129	.129	.129	.129	.117	.104	.099	.077	.077	.077	.077	.077	.077	.077	.077	.077	.077	.077
	.3	.203	.191	.183	.175	.175	.163	.163	.139	.120	.104	.089	.089	.089	.089	.089	.089	.089	.089	.089	.089	.089
	.4	.263	.267	.235	.224	.224	.205	.205	.162	.157	.137	.119	.119	.119	.119	.119	.119	.119	.119	.119	.119	.119
	.5	.321	.303	.287	.273	.273	.256	.256	.230	.198	.173	.152	.152	.152	.152	.152	.152	.152	.152	.152	.152	.152
30	0.0	.000	.025	.025	.036	.037	.030	.029	.016	.012	.003	.003	.003	.003	.003	.003	.003	.003	.003	.003	.003	.003
	.1	.076	.066	.047	.047	.049	.049	.049	.029	.029	.016	.012	.012	.012	.012	.012	.012	.012	.012	.012	.012	.012
	.2	.142	.108	.085	.060	.051	.041	.041	.027	.027	.009	.009	.009	.009	.009	.009	.009	.009	.009	.009	.009	.009
	.3	.203	.153	.129	.095	.066	.053	.053	.040	.040	.025	.005	.005	.005	.005	.005	.005	.005	.005	.005	.005	.005
	.4	.263	.208	.174	.140	.096	.069	.069	.053	.053	.039	.022	.022	.022	.022	.022	.022	.022	.022	.022	.022	.022
	.5	.321	.261	.221	.184	.142	.095	.070	.053	.053	.037	.020	.020	.020	.020	.020	.020	.020	.020	.020	.020	.020
40	0.0	.000	.019	.023	.016	.000	.000	.000	.000	.000	.000	.000	.000	.000	.000	.000	.000	.000	.000	.000	.000	.000
	.1	.076	.033	.027	.022	.009	.009	.009	.009	.009	.000	.000	.000	.000	.000	.000	.000	.000	.000	.000	.000	.000
	.2	.142	.077	.036	.028	.017	.000	.000	.000	.000	.000	.000	.000	.000	.000	.000	.000	.000	.000	.000	.000	.000
	.3	.203	.123	.063	.034	.024	.009	.009	.009	.009	.009	.000	.000	.000	.000	.000	.000	.000	.000	.000	.000	.000
	.4	.263	.168	.105	.046	.030	.017	.009	.009	.009	.009	.000	.000	.000	.000	.000	.000	.000	.000	.000	.000	.000
	.5	.321	.216	.147	.074	.035	.024	.009	.009	.009	.009	.000	.000	.000	.000	.000	.000	.000	.000	.000	.000	.000

$$\epsilon_s = .20\% \quad d'/h = .15$$

$$\epsilon_s = \epsilon_{yd}$$

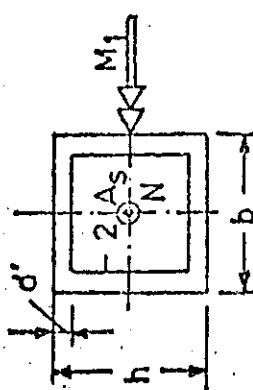
$$A_s = \frac{1}{2} A_s \text{ total}$$

$$N_c = f_c A_c$$

$$\omega = f_s A_s / N_c$$

$$\mu = M_1 / N_c$$

$$v = N / N_c$$

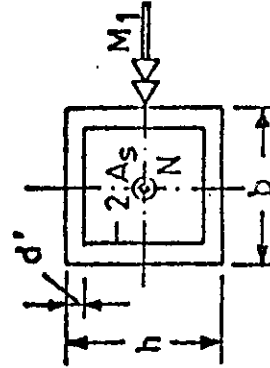
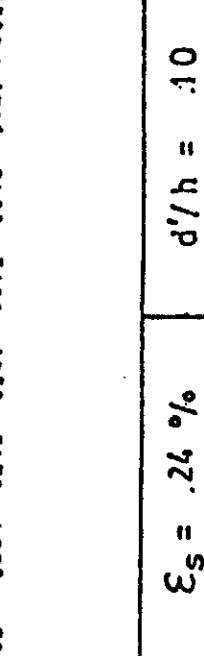


RECTANGULAR CROSS SECTION - DISTRIBUTED REINFORCEMENT - MAIN PLANE

$\lambda/h$	$w/v$	.0	.1	.2	.3	.4	.5	.6	.7	.8	.9	1.0	1.1	1.2	1.3	1.4	1.5	1.6	1.7	1.8	1.9
0	0.0	.060	.043	.079	.104	.118	.122	.115	.098*	.071	.037	.070	.036	.070	.036	.070	.036	.070	.036	.070	.036
.1	.060	.115	.144	.164	.173	.171	.161	.148	.129	.103	.070	.070	.036	.070	.036	.070	.036	.070	.036	.070	.036
.2	.152	.123	.209	.222	.228	.223	.211	.197	.180	.123	.123	.123	.123	.123	.123	.123	.123	.123	.123	.123	.123
.3	.218	.250	.269	.279	.284	.277	.263	.247	.239	.211	.195	.195	.195	.195	.195	.195	.195	.195	.195	.195	.195
.4	.265	.314	.328	.336	.339	.332	.316	.299	.281	.262	.242	.229	.215	.203	.195	.186	.175	.167	.157	.147	.137
.5	.354	.375	.385	.392	.394	.388	.370	.352	.333	.314	.294	.273	.250	.225	.201	.175	.147	.117	.087	.060	.036
10	0.0	.000	.037	.066	.083	.097	.093	.090	.072	.044	.016	.016	.016	.016	.016	.016	.016	.016	.016	.016	.016
.1	.060	.196	.125	.129	.146	.140	.130	.116	.097	.070	.040	.040	.014	.014	.014	.014	.014	.014	.014	.014	.014
.2	.152	.173	.168	.197	.200	.192	.177	.161	.143	.122	.096	.096	.038	.038	.038	.038	.038	.038	.038	.038	.038
.3	.218	.239	.250	.255	.255	.246	.228	.210	.191	.171	.148	.148	.093	.093	.093	.093	.093	.093	.093	.093	.093
.4	.265	.304	.310	.312	.311	.309	.280	.250	.240	.219	.196	.175	.149	.120	.099	.099	.099	.099	.099	.099	.099
.5	.354	.365	.369	.369	.366	.356	.334	.312	.290	.269	.247	.227	.201	.175	.147	.117	.087	.060	.036	.014	.015
20	0.0	.000	.031	.050	.051	.064	.058	.044	.022	.003	.003	.003	.003	.003	.003	.003	.003	.003	.003	.003	.003
.1	.060	.065	.091	.089	.084	.079	.069	.053	.030	.030	.030	.030	.030	.030	.030	.030	.030	.030	.030	.030	.030
.2	.152	.146	.144	.139	.126	.108	.094	.080	.063	.041	.016	.016	.016	.016	.016	.016	.016	.016	.016	.016	.016
.3	.218	.208	.200	.192	.179	.153	.132	.113	.095	.076	.029	.029	.029	.029	.029	.029	.029	.029	.029	.029	.029
.4	.265	.272	.259	.248	.233	.204	.176	.152	.132	.111	.091	.068	.044	.019	.019	.019	.019	.019	.019	.019	.019
.5	.354	.335	.318	.303	.286	.258	.224	.196	.171	.149	.127	.106	.063	.059	.059	.059	.059	.059	.059	.059	.059
30	0.0	.000	.025	.026	.037	.037	.030	.016	.012	.009	.009	.009	.009	.009	.009	.009	.009	.009	.009	.009	.009
.1	.060	.062	.048	.047	.042	.036	.030	.029	.029	.029	.029	.029	.029	.029	.029	.029	.029	.029	.029	.029	.029
.2	.152	.116	.094	.065	.054	.043	.043	.043	.043	.043	.043	.043	.043	.043	.043	.043	.043	.043	.043	.043	.043
.3	.218	.172	.143	.107	.073	.058	.044	.027	.027	.027	.027	.027	.027	.027	.027	.027	.027	.027	.027	.027	.027
.4	.265	.230	.194	.157	.113	.078	.060	.044	.044	.044	.044	.044	.044	.044	.044	.044	.044	.044	.044	.044	.044
.5	.354	.290	.247	.210	.166	.114	.081	.061	.061	.061	.061	.061	.061	.061	.061	.061	.061	.061	.061	.061	.061
40	0.0	.000	.019	.023	.016	.000	.000	.000	.000	.000	.000	.000	.000	.000	.000	.000	.000	.000	.000	.000	.000
.1	.060	.034	.028	.023	.019	.016	.012	.012	.012	.012	.012	.012	.012	.012	.012	.012	.012	.012	.012	.012	.012
.2	.152	.083	.038	.030	.018	.001	.001	.001	.001	.001	.001	.001	.001	.001	.001	.001	.001	.001	.001	.001	.001
.3	.218	.135	.072	.038	.026	.010	.001	.001	.001	.001	.001	.001	.001	.001	.001	.001	.001	.001	.001	.001	.001
.4	.265	.187	.119	.054	.025	.019	.001	.001	.001	.001	.001	.001	.001	.001	.001	.001	.001	.001	.001	.001	.001
.5	.354	.241	.169	.091	.046	.029	.011	.011	.011	.011	.011	.011	.011	.011	.011	.011	.011	.011	.011	.011	.011

$$\epsilon_s = .24 \text{ \%}$$

$$d'/h = .10$$



$$\nu = N/N_c$$

$$\mu = M_1/M_c$$

$$\omega = f_s A_s / N_c$$

$$N_c = f_c A_c$$

$$A_s = \frac{1}{2} A_s \text{ total}$$

$$f_s = f_{yd} \quad f_c = 0.85 f_{cd}$$

139

TABLE RD 24/15.

RELATIVE EXTERNAL MOMENT  $\mu_1 = M_1/N_C h$  FOR

RECTANGULAR CROSS SECTION - DISTRIBUTED REINFORCEMENT - MAIN PLANE

$\omega$	$v$	$\omega v$	.0	.1	.2	.3	.4	.5	.6	.7	.8	.9	1.0	1.1	1.2	1.3	1.4	1.5	1.6	1.7	1.8	1.9
0	0.0	0.00	.043	.079	.104	.118	.122	.115	.098	.071	.037	.032	.032	.032	.032	.032	.032	.032	.032	.032	.032	
1	.076	.110	.138	.155	.165	.161	.154	.142	.124	.099	.063	.063	.063	.063	.063	.063	.063	.063	.063	.063	.063	
2	.141	.169	.191	.205	.212	.204	.195	.183	.168	.150	.126	.097	.066	.033	.033	.033	.033	.033	.033	.033	.033	
3	.200	.226	.243	.254	.259	.249	.237	.225	.211	.195	.175	.153	.125	.095	.064	.033	.033	.033	.033	.033	.033	
4	.258	.279	.293	.302	.306	.294	.281	.265	.254	.238	.221	.201	.179	.153	.124	.094	.063	.063	.063	.063	.063	
5	.314	.331	.342	.351	.353	.340	.326	.312	.297	.282	.265	.247	.227	.205	.182	.152	.123	.093	.063	.063	.063	
10	0.0	.030	.037	.066	.086	.097	.093	.090	.072	.044	.016	.011	.037	.032	.032	.032	.032	.032	.032	.032	.032	
1	.076	.100	.118	.130	.137	.131	.123	.110	.092	.067	.037	.011	.060	.032	.032	.032	.032	.032	.032	.032	.032	
2	.151	.159	.172	.180	.184	.173	.161	.148	.132	.113	.089	.059	.032	.032	.032	.032	.032	.032	.032	.032	.032	
3	.230	.216	.225	.233	.231	.217	.202	.187	.171	.154	.134	.111	.083	.055	.029	.029	.029	.029	.029	.029	.029	
4	.252	.269	.275	.279	.273	.262	.245	.228	.212	.195	.176	.155	.132	.106	.077	.051	.029	.029	.029	.029	.029	
5	.314	.322	.325	.328	.324	.307	.269	.271	.253	.236	.217	.197	.177	.149	.129	.100	.073	.049	.027	.019	.019	
20	0.0	.030	.031	.050	.051	.064	.058	.055	.044	.022	.003	.003	.026	.006	.006	.006	.006	.006	.006	.006	.006	
1	.076	.079	.083	.079	.073	.071	.064	.054	.048	.026	.006	.006	.031	.010	.010	.010	.010	.010	.010	.010	.010	
2	.141	.133	.128	.119	.102	.091	.082	.069	.053	.031	.010	.010	.037	.014	.014	.014	.014	.014	.014	.014	.014	
3	.200	.186	.175	.163	.147	.122	.103	.090	.075	.059	.037	.037	.037	.014	.014	.014	.014	.014	.014	.014	.014	
4	.258	.240	.224	.210	.193	.165	.138	.116	.099	.072	.052	.032	.032	.065	.045	.045	.045	.045	.045	.045	.045	
5	.314	.294	.275	.259	.240	.208	.178	.153	.130	.109	.091	.073	.073	.053	.032	.032	.032	.032	.032	.032	.032	
30	0.0	.030	.025	.036	.037	.030	.016	.016	.016	.016	.016	.016	.016	.016	.016	.016	.016	.016	.016	.016	.016	
1	.076	.055	.044	.044	.038	.037	.037	.037	.037	.037	.037	.037	.037	.037	.037	.037	.037	.037	.037	.037	.037	
2	.141	.193	.074	.054	.047	.047	.047	.047	.047	.047	.047	.047	.047	.047	.047	.047	.047	.047	.047	.047	.047	
3	.200	.150	.115	.075	.057	.046	.034	.034	.034	.034	.034	.034	.034	.034	.034	.034	.034	.034	.034	.034	.034	
4	.258	.198	.158	.114	.074	.057	.045	.045	.045	.045	.045	.045	.045	.045	.045	.045	.045	.045	.045	.045	.045	
5	.314	.248	.203	.158	.104	.072	.056	.056	.056	.056	.056	.056	.056	.056	.056	.056	.056	.056	.056	.056	.056	
40	0.0	.030	.019	.023	.016	.000	.000	.000	.000	.000	.000	.000	.000	.000	.000	.000	.000	.000	.000	.000	.000	
1	.076	.027	.027	.021	.021	.007	.007	.007	.007	.007	.007	.007	.007	.007	.007	.007	.007	.007	.007	.007	.007	
2	.141	.067	.032	.026	.014	.014	.014	.014	.014	.014	.014	.014	.014	.014	.014	.014	.014	.014	.014	.014	.014	
3	.200	.112	.045	.031	.020	.004	.004	.004	.004	.004	.004	.004	.004	.004	.004	.004	.004	.004	.004	.004	.004	
4	.258	.156	.078	.038	.024	.012	.012	.012	.012	.012	.012	.012	.012	.012	.012	.012	.012	.012	.012	.012	.012	
5	.314	.200	.120	.050	.052	.018	.002	.002	.002	.002	.002	.002	.002	.002	.002	.002	.002	.002	.002	.002	.002	

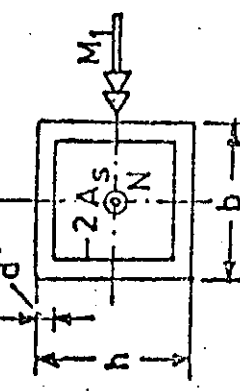
$$\epsilon_s = \epsilon_{y_d} / \epsilon_y \quad d'/h = 1.5$$

$$N_c = N/N_c \quad M_1 = M_1/N_c$$

$$\Omega = \Omega_s/\Omega_c \quad A_s = f_s A_s/N_c$$

$$N_c = f_c A_c \quad A_s = \frac{1}{2} A_s \text{ total}$$

$$f_s = f_{y_d} \quad f_c = 0.85 \quad f_{c,d}$$



$$\nu = N/N_c \quad \mu = M_1/N_c$$

$$\Omega = \Omega_s/\Omega_c \quad A_s = f_s A_s/N_c$$

$$N_c = f_c A_c \quad A_s = \frac{1}{2} A_s \text{ total}$$

$$f_s = f_{y_d} \quad f_c = 0.85 \quad f_{c,d}$$

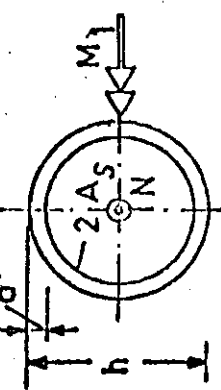
$$140$$

TABLE CD 20/10. RELATIVE EXTERNAL MOMENT  $\mu_1 = M_1/N_c h$  FOR  
CIRCULAR CROSS SECTION - DISTRIBUTED REINFORCEMENT

$\lambda/h$	$\omega/h$	$V$	.0	.1	.2	.3	.4	.5	.6	.7	.8	.9	1.0	1.1	1.2	1.3	1.4	1.5	1.6	1.7	1.8	1.9.
0	0.0	.000	.039	.069	.088	.106	.054	.080	.057	.028	.085	.057	.024									
	.1	.072	.101	.123	.137	.143	.142	.134	.123	.106	.133	.151	.086	.053	.029							
	.2	.153	.159	.175	.185	.189	.187	.177	.165	.151	.133	.112	.086	.053	.029							
	.3	.212	.225	.223	.235	.235	.232	.222	.209	.195	.179	.160	.132	.115	.087	.050	.029					
	.4	.249	.263	.274	.281	.280	.277	.267	.255	.240	.223	.206	.187	.166	.143	.116	.089	.061	.030			
	.5	.306	.314	.322	.327	.326	.323	.314	.300	.285	.269	.252	.234	.214	.193	.170	.144	.117	.091	.061	.030	
10	0.0	.000	.033	.055	.070	.077	.075	.067	.052	.023	.023	.023	.023	.023	.023	.023	.023	.023	.023	.023		
	.1	.072	.092	.106	.114	.116	.112	.112	.103	.090	.073	.051	.027	.008								
	.2	.153	.149	.157	.162	.162	.156	.143	.129	.113	.095	.073	.048	.027	.009							
	.3	.202	.202	.208	.208	.207	.201	.187	.171	.154	.136	.117	.095	.071	.047	.027	.010					
	.4	.249	.254	.257	.258	.258	.253	.245	.231	.215	.197	.179	.159	.139	.117	.094	.068	.047	.027			
	.5	.306	.305	.306	.305	.305	.299	.250	.277	.260	.241	.222	.203	.183	.162	.140	.116	.091	.067	.047	.028	
20	0.0	.000	.025	.039	.044	.042	.034	.020	.003	.009	.009	.009	.009	.009	.009	.009	.009	.009	.009	.009		
	.1	.072	.071	.071	.066	.066	.066	.053	.043	.028	.028	.028	.028	.028	.028	.028	.028	.028	.028	.028		
	.2	.153	.123	.123	.116	.107	.052	.078	.065	.052	.037	.037	.037	.037	.037	.037	.037	.037	.037	.037		
	.3	.202	.176	.176	.154	.150	.134	.112	.094	.079	.063	.047	.028	.010								
	.4	.249	.227	.227	.212	.194	.176	.153	.123	.109	.091	.075	.057	.035	.019	.004						
	.5	.306	.278	.278	.260	.240	.219	.196	.168	.143	.122	.104	.086	.068	.049	.030	.013	.001				
30	0.0	.000	.019	.024	.024	.021	.010	.021	.021	.007	.005	.005	.005	.005	.005	.005	.005	.005	.005	.005		
	.1	.072	.047	.034	.034	.030	.020	.022	.020	.005	.005	.005	.005	.005	.005	.005	.005	.005	.005	.005		
	.2	.153	.093	.066	.066	.042	.042	.032	.020	.005	.005	.005	.005	.005	.005	.005	.005	.005	.005	.005		
	.3	.202	.141	.141	.106	.072	.045	.032	.013	.002	.002	.002	.002	.002	.002	.002	.002	.002	.002	.002		
	.4	.249	.150	.150	.149	.113	.072	.046	.031	.015	.015	.015	.015	.015	.015	.015	.015	.015	.015	.015		
	.5	.306	.240	.240	.194	.154	.110	.070	.046	.029	.013	.013	.013	.013	.013	.013	.013	.013	.013	.013		
40	0.0	.000	.014	.012	.012	.001	.001	.001	.001	.001	.001	.001	.001	.001	.001	.001	.001	.001	.001	.001		
	.1	.072	.022	.017	.007	.007	.007	.007	.007	.007	.007	.007	.007	.007	.007	.007	.007	.007	.007	.007		
	.2	.153	.060	.024	.014	.000	.000	.000	.000	.000	.000	.000	.000	.000	.000	.000	.000	.000	.000	.000		
	.3	.202	.102	.042	.021	.007	.007	.007	.007	.007	.007	.007	.007	.007	.007	.007	.007	.007	.007	.007		
	.4	.249	.147	.030	.029	.015	.005	.005	.005	.005	.005	.005	.005	.005	.005	.005	.005	.005	.005	.005		
	.5	.306	.155	.119	.050	.022	.007	.007	.007	.007	.007	.007	.007	.007	.007	.007	.007	.007	.007	.007		

$$\epsilon_s = \epsilon_y d$$

$$d'/h = .10$$



$$V = N/N_c$$

$$\mu_1 = M_1/N_c h$$

$$\omega = f_s A_s / N_c$$

$$N_c = f A_c$$

141

$$A_s = \frac{1}{2} A_s \text{ total}$$

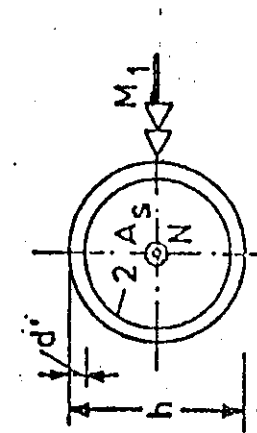
$$f_s = f_y d$$

$$f_c = f_c d$$

$$f_s - f_c = 0.85 - f_c d$$

TABLE CD 20/15. RELATIVE EXTERNAL MOMENT  $\mu_1 = M_1/N_C h$  FOR  
CIRCULAR CROSS SECTION - DISTRIBUTED REINFORCEMENT

$\epsilon/h$	$\omega/v$	.0	.1	.2	.3	.4	.5	.6	.7	.8	.9	1.0	1.1	1.2	1.3	1.4	1.5	1.6	1.7	1.8	1.9
0	0.0	.060	.039	.069	.096	.098	.100	.094	.080	.057	.028	.032	.055	.027	.082	.055	.027	.084	.055	.027	.081
	.1	.068	.096	.117	.121	.138	.134	.123	.102	.118	.107	.103	.106	.103	.107	.107	.107	.107	.107	.107	.107
	.2	.125	.147	.162	.171	.174	.170	.163	.154	.141	.125	.125	.125	.125	.125	.125	.125	.125	.125	.125	.125
	.3	.175	.193	.205	.211	.213	.208	.199	.189	.178	.154	.154	.154	.154	.154	.154	.154	.154	.154	.154	.154
	.4	.223	.237	.247	.251	.252	.246	.236	.226	.215	.203	.203	.203	.203	.203	.203	.203	.203	.203	.203	.203
	.5	.268	.280	.288	.291	.290	.285	.275	.263	.252	.249	.249	.249	.249	.249	.249	.249	.249	.249	.249	.249
10	0.0	.000	.033	.055	.070	.077	.076	.067	.052	.028	.007	.007	.007	.007	.007	.007	.007	.007	.007	.007	.007
	.1	.053	.086	.099	.107	.109	.104	.096	.085	.069	.048	.048	.048	.048	.048	.048	.048	.048	.048	.048	.048
	.2	.125	.137	.144	.149	.147	.139	.129	.117	.103	.087	.087	.087	.087	.087	.087	.087	.087	.087	.087	.087
	.3	.175	.183	.188	.189	.186	.176	.164	.151	.137	.122	.122	.122	.122	.122	.122	.122	.122	.122	.122	.122
	.4	.223	.223	.230	.230	.229	.224	.214	.200	.186	.172	.157	.157	.157	.157	.157	.157	.157	.157	.157	.157
	.5	.268	.271	.273	.273	.268	.263	.253	.237	.222	.207	.192	.192	.192	.192	.192	.192	.192	.192	.192	.192
20	0.0	.000	.025	.039	.044	.042	.034	.020	.003	.003	.003	.003	.003	.003	.003	.003	.003	.003	.003	.003	.003
	.1	.068	.066	.064	.053	.055	.048	.033	.024	.024	.024	.024	.024	.024	.024	.024	.024	.024	.024	.024	.024
	.2	.125	.110	.101	.093	.074	.064	.054	.042	.042	.042	.042	.042	.042	.042	.042	.042	.042	.042	.042	.042
	.3	.175	.156	.142	.126	.108	.082	.073	.060	.047	.032	.015	.015	.015	.015	.015	.015	.015	.015	.015	.015
	.4	.223	.202	.184	.165	.144	.119	.099	.082	.067	.053	.037	.021	.021	.021	.021	.021	.021	.021	.021	.021
	.5	.268	.245	.225	.203	.181	.155	.129	.108	.090	.074	.058	.043	.037	.037	.037	.037	.037	.037	.037	.037
30	0.0	.000	.019	.024	.021	.016	.010	.005	.005	.005	.005	.005	.005	.005	.005	.005	.005	.005	.005	.005	.005
	.1	.068	.041	.031	.027	.022	.016	.010	.005	.005	.005	.005	.005	.005	.005	.005	.005	.005	.005	.005	.005
	.2	.125	.080	.049	.034	.026	.014	.006	.006	.006	.006	.006	.006	.006	.006	.006	.006	.006	.006	.006	.006
	.3	.175	.120	.083	.048	.024	.023	.010	.006	.006	.006	.006	.006	.006	.006	.006	.006	.006	.006	.006	.006
	.4	.223	.163	.118	.075	.045	.032	.019	.004	.004	.004	.004	.004	.004	.004	.004	.004	.004	.004	.004	.004
	.5	.268	.205	.155	.111	.065	.042	.028	.014	.014	.014	.014	.014	.014	.014	.014	.014	.014	.014	.014	.014
40	0.0	.000	.006	.014	.012	.001	.001	.001	.001	.001	.001	.001	.001	.001	.001	.001	.001	.001	.001	.001	.001
	.1	.068	.019	.015	.005	.005	.005	.005	.005	.005	.005	.005	.005	.005	.005	.005	.005	.005	.005	.005	.005
	.2	.125	.067	.020	.010	.005	.005	.005	.005	.005	.005	.005	.005	.005	.005	.005	.005	.005	.005	.005	.005
	.3	.175	.061	.026	.015	.002	.002	.002	.002	.002	.002	.002	.002	.002	.002	.002	.002	.002	.002	.002	.002
	.4	.223	.118	.045	.020	.008	.008	.008	.008	.008	.008	.008	.008	.008	.008	.008	.008	.008	.008	.008	.008
	.5	.268	.156	.077	.036	.013	.013	.013	.013	.013	.013	.013	.013	.013	.013	.013	.013	.013	.013	.013	.013



$$\varepsilon_s = .20\% \quad d'/h = .15$$

$$\varepsilon_s = \varepsilon_{yd}$$

$$f_s = f_y d / A_s = 0.85 f_{cd}$$

$$A_s = \frac{1}{2} A_{total}$$

$$N_c = f_{cs} A_c$$

$$\omega = f_{AS} A_c / N_c$$

$$\mu_1 = M_1 / N_c h$$

$$v = N / N_c$$

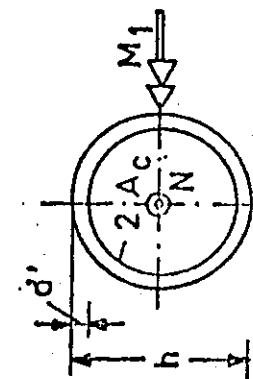
$$142$$

TABLE CD 24/10.

RELATIVE EXTERNAL MOMENT  $\mu_1 = M_1/N_c h$  FOR  
CIRCULAR CROSS SECTION - DISTRIBUTED REINFORCEMENT

$\lambda/h$	$\omega$	$v$	.0	.1	.2	.3	.4	.5	.6	.7	.8	.9	1.0	1.1	1.2	1.3	1.4	1.5	1.6	1.7	1.8	1.9	
0	0.0	.003	.039	.069	.088	.098	.100	.094	.080	.057	.028												
	.1	.071	.100	.132	.135	.141	.138	.131	.121	.105	.056	.027											
.2	.131	.157	.172	.181	.184	.179	.170	.160	.147	.130	.109	.055	.027										
.3	.169	.208	.229	.226	.227	.220	.210	.199	.187	.172	.155	.134	.109	.083	.056	.028							
.4	.243	.258	.268	.271	.270	.263	.252	.240	.227	.213	.198	.181	.160	.136	.109	.083	.056	.028					
.5	.255	.306	.314	.315	.314	.306	.294	.282	.268	.255	.240	.223	.206	.185	.162	.136	.110	.084	.057	.028			
10	0.0	.000	.033	.055	.070	.070	.076	.067	.052	.028	.007												
	.1	.071	.090	.103	.112	.114	.108	.059	.058	.071	.049	.024											
.2	.131	.146	.154	.158	.156	.156	.147	.136	.124	.109	.092	.045	.022	.004									
.3	.169	.199	.203	.203	.204	.195	.189	.175	.161	.147	.131	.112	.065	.042	.021	.005							
.4	.243	.249	.252	.252	.243	.243	.231	.216	.201	.185	.169	.152	.133	.112	.088	.063	.041	.021					
.5	.255	.297	.299	.299	.293	.286	.274	.257	.241	.225	.208	.191	.173	.154	.133	.109	.084	.061	.040	.021			
20	0.0	.000	.025	.039	.044	.042	.034	.020	.003														
	.1	.071	.069	.066	.060	.057	.050	.039	.024	.005													
.2	.131	.113	.108	.108	.097	.080	.068	.057	.044	.022	.009												
.3	.169	.170	.156	.159	.139	.120	.097	.079	.055	.050	.033	.014											
.4	.243	.221	.203	.203	.183	.161	.134	.111	.091	.074	.057	.039	.020	.003									
.5	.255	.271	.251	.251	.227	.204	.176	.147	.123	.103	.083	.065	.047	.028	.008								
30	0.0	.000	.019	.024	.024	.021	.010																
	.1	.071	.043	.032	.023	.019	.005																
.2	.131	.056	.054	.027	.028	.016	.000																
.3	.169	.132	.092	.054	.033	.026	.011																
.4	.243	.160	.132	.049	.052	.036																	
.5	.255	.229	.175	.128	.075	.050	.033	.017	.001														
40	0.0	.000	.014	.012	.001																		
	.1	.071	.019	.016	.006																		
.2	.131	.050	.024	.011																			
.3	.169	.090	.029	.017	.004																		
.4	.243	.132	.054	.023	.010																		
.5	.255	.177	.092	.032	.016	.001																	

$$\varepsilon_s = \varepsilon_y d \quad d/h = .10$$



$$v = N/N_c^c$$

$$\mu_1 = M_1/N_c^ch$$

$$\omega = f_s A_s / N_c^c$$

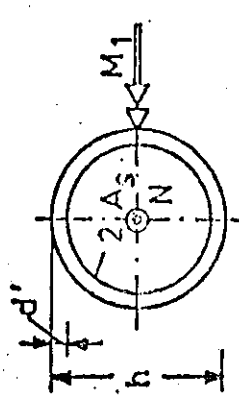
$$N_c^c = f_c A_c$$

$$A_s = \frac{1}{2} A_s \text{ total}$$

$$f_s = f_y d \quad f_c = 0.85 f_{cd}$$

TABLE CD 24/15. RELATIVE EXTERNAL MOMENT  $\mu_1 = M_1/N_c h$  FOR  
CIRCULAR CROSS SECTION - DISTRIBUTED REINFORCEMENT

		EPSS= 2.40 D/H= .15																				
$\rho/h$	$\omega \backslash v$	.0	.1	.2	.3	.4	.5	.6	.7	.8	.9	1.0	1.1	1.2	1.3	1.4	1.5	1.6	1.7	1.8	1.9	
0	0.0	.060	.039	.069	.028	.058	.100	.094	.080	.057	.028	.053	.026	.051	.025	.026	.025	.024	.025	.025	.025	
	.1	.068	.095	.115	.128	.132	.120	.125	.115	.101	.080	.053	.026	.051	.025	.026	.025	.025	.025	.025	.025	
	.2	.121	.143	.158	.156	.167	.163	.157	.148	.137	.121	.102	.078	.051	.025	.025	.025	.025	.025	.025	.025	
	.3	.171	.187	.198	.203	.202	.197	.189	.181	.170	.158	.142	.124	.102	.076	.051	.024	.024	.024	.024	.024	
	.4	.216	.223	.226	.249	.238	.231	.223	.214	.204	.192	.179	.163	.145	.124	.100	.075	.050	.025	.025	.025	
	.5	.258	.269	.274	.276	.273	.266	.257	.247	.237	.226	.214	.200	.184	.166	.147	.123	.099	.075	.050	.025	
10	0.0	.000	.033	.053	.070	.077	.076	.067	.052	.028	.028	.028	.028	.028	.028	.028	.028	.028	.028	.028	.028	
	.1	.068	.025	.097	.104	.105	.106	.105	.082	.057	.045	.039	.021	.021	.021	.021	.021	.021	.021	.021	.021	
	.2	.121	.133	.140	.143	.143	.140	.132	.123	.112	.099	.063	.039	.017	.001	.001	.001	.001	.001	.001	.001	
	.3	.171	.177	.182	.181	.175	.175	.165	.154	.142	.130	.116	.099	.063	.034	.015	.002	.002	.002	.002	.002	
	.4	.216	.216	.220	.218	.210	.210	.198	.174	.161	.147	.132	.115	.097	.076	.052	.031	.014	.003	.003	.003	
	.5	.258	.261	.258	.254	.254	.246	.233	.219	.206	.193	.179	.164	.149	.132	.113	.093	.070	.048	.029	.004	
20	0.0	.060	.025	.035	.045	.042	.034	.020	.003	.020	.020	.020	.020	.020	.020	.020	.020	.020	.020	.020	.020	
	.1	.068	.063	.059	.055	.052	.046	.035	.020	.003	.020	.020	.020	.020	.020	.020	.020	.020	.020	.020	.020	
	.2	.121	.107	.094	.079	.066	.056	.049	.036	.021	.011	.004	.004	.004	.004	.004	.004	.004	.004	.004	.004	
	.3	.171	.150	.132	.114	.096	.074	.063	.051	.038	.021	.005	.005	.005	.005	.005	.005	.005	.005	.005	.005	
	.4	.216	.193	.172	.151	.127	.101	.061	.057	.039	.023	.023	.023	.023	.023	.023	.023	.023	.023	.023	.023	
	.5	.258	.236	.211	.188	.163	.134	.108	.086	.070	.056	.041	.024	.007	.007	.007	.007	.007	.007	.007	.007	
30	0.0	.000	.019	.024	.021	.010																
	.1	.068	.026	.026	.026	.017	.003															
	.2	.121	.073	.040	.022	.023	.011															
	.3	.171	.111	.068	.040	.030	.019	.005														
	.4	.216	.152	.102	.055	.037	.026	.013														
	.5	.258	.153	.136	.083	.048	.023	.008														
40	0.0	.000	.014	.012	.001																	
	.1	.068	.017	.015	.004																	
	.2	.121	.036	.018	.008																	
	.3	.171	.069	.022	.013																	
	.4	.216	.104	.030	.017	.004																
	.5	.258	.139	.050	.021	.003																



$$\epsilon_s = .24\% \quad d'/h = .15$$

$$\epsilon_s = \epsilon_{yd}$$

$$\begin{aligned} v &= N/N_c \\ \mu_1 &= M_1/N_c h \\ \omega &= f_s A_c / N_c \\ N_c &= f_c A_c \\ A_s &= \frac{1}{2} A_s \text{ total} \\ f_s &= f_y d \quad f_c = 0.85 f_{cd} \end{aligned}$$

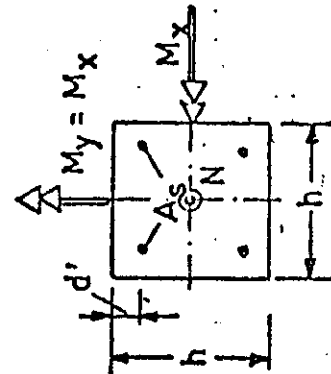
LAI = 20%.

$E_{\text{NA}} = E_{\text{c}}$

SQUARE CROSS SECTION - CORNER REINFORCEMENT - DIAGONAL PLANE

$\rho/h$	$\omega$	$v$	tPS = 2.00							tPS = 1.0											
			.0	.1	.2	.3	.4	.5	.6	.7	.8	.9	1.0	1.1	1.2	1.3	1.4	1.5	1.6	1.7	1.8
0	0.0	.000	.034	.056	.070	.076	.079	.074	.064	.049	.030	.030	.030	.030	.030	.030	.030	.030	.030	.030	.030
.1	.073	.091	.102	.110	.116	.115	.110	.102	.089	.074	.055	.039	.039	.039	.039	.039	.039	.039	.039	.039	.039
.2	.129	.137	.144	.151	.155	.155	.149	.139	.129	.115	.099	.087	.087	.087	.087	.087	.087	.087	.087	.087	.087
.3	.173	.180	.186	.191	.195	.197	.199	.199	.179	.167	.140	.105	.105	.105	.105	.105	.105	.105	.105	.105	.105
.4	.217	.222	.227	.231	.235	.237	.230	.219	.219	.207	.165	.131	.112	.093	.072	.044	.044	.044	.044	.044	.044
.5	.259	.263	.266	.272	.275	.277	.272	.260	.247	.235	.207	.160	.137	.119	.099	.078	.078	.078	.078	.078	.078
10	0.0	.000	.036	.046	.059	.064	.064	.059	.043	.033	.015	.037	.017	.017	.017	.017	.017	.017	.017	.017	.017
.1	.073	.086	.093	.109	.103	.103	.101	.094	.085	.071	.055	.041	.020	.020	.020	.020	.020	.020	.020	.020	.020
.2	.129	.132	.136	.140	.143	.143	.141	.132	.121	.109	.094	.078	.054	.032	.032	.032	.032	.032	.032	.032	.032
.3	.173	.176	.178	.180	.182	.182	.182	.171	.160	.147	.133	.117	.101	.082	.082	.082	.082	.082	.082	.082	.082
.4	.217	.218	.219	.221	.222	.222	.221	.212	.212	.199	.172	.157	.140	.124	.124	.124	.124	.124	.124	.124	.124
.5	.259	.259	.259	.260	.261	.261	.261	.254	.240	.226	.211	.197	.180	.164	.146	.146	.146	.146	.146	.146	.146
20	0.0	.000	.024	.036	.041	.041	.036	.036	.015	.003	.004	.004	.004	.004	.004	.004	.004	.004	.004	.004	.004
.1	.073	.071	.074	.074	.076	.076	.070	.063	.055	.043	.030	.016	.016	.016	.016	.016	.016	.016	.016	.016	.016
.2	.129	.119	.116	.116	.116	.116	.106	.096	.084	.073	.060	.045	.030	.020	.020	.020	.020	.020	.020	.020	.020
.3	.173	.163	.157	.155	.155	.155	.148	.136	.136	.115	.104	.095	.075	.060	.045	.030	.020	.017	.017	.017	.017
.4	.217	.205	.199	.195	.195	.195	.188	.177	.177	.155	.146	.123	.107	.094	.075	.059	.044	.030	.018	.008	.002
.5	.259	.247	.239	.235	.235	.235	.227	.216	.216	.200	.180	.160	.141	.124	.107	.090	.074	.058	.043	.029	.019
30	0.0	.000	.019	.025	.024	.024	.018	.009	.025	.014	.002	.002	.002	.002	.002	.002	.002	.002	.002	.002	.002
.1	.073	.054	.050	.041	.034	.034	.025	.014	.014	.014	.002	.002	.002	.002	.002	.002	.002	.002	.002	.002	.002
.2	.129	.100	.089	.076	.066	.066	.046	.034	.021	.021	.008	.008	.008	.008	.008	.008	.008	.008	.008	.008	.008
.3	.173	.144	.129	.118	.095	.095	.076	.059	.044	.029	.015	.015	.015	.015	.015	.015	.015	.015	.015	.015	.015
.4	.217	.187	.170	.157	.157	.157	.133	.109	.089	.072	.054	.038	.023	.023	.023	.023	.023	.023	.023	.023	.023
.5	.259	.229	.211	.197	.197	.197	.173	.145	.122	.101	.083	.064	.048	.048	.048	.048	.048	.048	.048	.048	.048
40	0.0	.000	.014	.015	.009	.009	.000	.010	.025	.018	.010	.000	.000	.000	.000	.000	.000	.000	.000	.000	.000
.1	.073	.040	.025	.025	.018	.018	.010	.009	.009	.009	.009	.009	.009	.009	.009	.009	.009	.009	.009	.009	.009
.2	.129	.079	.057	.032	.021	.021	.009	.009	.009	.009	.009	.009	.009	.009	.009	.009	.009	.009	.009	.009	.009
.3	.173	.121	.095	.065	.036	.022	.009	.009	.009	.009	.009	.009	.009	.009	.009	.009	.009	.009	.009	.009	.009
.4	.217	.165	.134	.105	.067	.039	.022	.008	.008	.008	.008	.008	.008	.008	.008	.008	.008	.008	.008	.008	.008
.5	.259	.203	.174	.145	.104	.069	.040	.022	.022	.022	.022	.022	.022	.022	.022	.022	.022	.022	.022	.022	.022

$$\epsilon_s = \epsilon_y d / h = .10$$



$$\begin{aligned} v &= N/N_c \\ u_x &= M_x/N_c h \\ \omega &= f_s A_s / N_c \\ N_c &= f A_c \\ A_s &= \frac{1}{2} A_s \text{ total} \\ f &= f_y d / h \end{aligned}$$

TABLE SC 20/15.

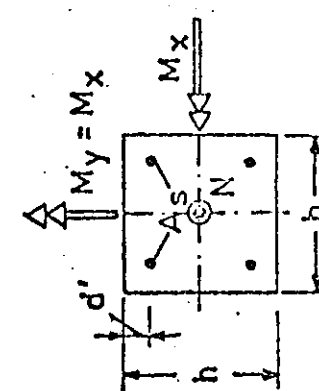
RELATIVE EXTERNAL MOMENT  $\mu_x = M_x/N_{ch}$  FOR

## SQUARE CROSS SECTION - CORNER REINFORCEMENT - DIAGONAL PLANE

$\lambda/h$	$\omega$	$v$	.0	.1	.2	.3	.4	.5	.6	.7	.8	.9	1.0	1.1	1.2	1.3	1.4	1.5	1.6	1.7	1.8	1.9
0	0.0	.000	.034	.056	.070	.076	.078	.074	.064	.049	.030	.032	.035	.032	.035	.032	.035	.032	.035	.032	.035	
	.1	.056	.086	.097	.105	.111	.109	.104	.097	.095	.070	.052	.052	.052	.052	.052	.052	.052	.052	.052	.052	
	.2	.118	.127	.134	.141	.145	.142	.136	.128	.119	.106	.091	.081	.074	.066	.056	.052	.055	.052	.055	.052	
	.3	.158	.165	.171	.176	.180	.177	.169	.161	.151	.140	.127	.112	.105	.095	.078	.059	.053	.053	.053	.053	
	.4	.157	.202	.207	.211	.215	.212	.203	.194	.184	.174	.162	.143	.133	.117	.099	.062	.063	.063	.063	.063	
	.5	.254	.238	.243	.247	.250	.247	.238	.228	.218	.207	.196	.183	.169	.154	.138	.121	.104	.086	.067	.039	
10	0.0	.000	.030	.048	.059	.064	.054	.059	.048	.023	.015	.034	.034	.034	.034	.034	.034	.034	.034	.034	.034	
	.1	.056	.081	.088	.095	.095	.092	.094	.088	.079	.067	.052	.034	.034	.034	.034	.034	.034	.034	.034	.034	
	.2	.118	.122	.126	.130	.132	.127	.119	.110	.099	.079	.053	.035	.035	.035	.035	.035	.035	.035	.035	.035	
	.3	.158	.161	.163	.165	.167	.161	.151	.141	.130	.118	.104	.072	.054	.036	.017	.017	.017	.017	.017	.017	
	.4	.157	.198	.199	.201	.202	.196	.185	.174	.163	.154	.123	.107	.091	.073	.056	.037	.017	.017	.017	.017	
	.5	.234	.234	.235	.236	.236	.232	.223	.209	.196	.183	.170	.157	.141	.126	.109	.092	.075	.057	.039	.018	
20	0.0	.000	.024	.036	.041	.041	.026	.028	.015	.003	.001	.012	.012	.012	.012	.012	.012	.012	.012	.012	.012	
	.1	.066	.066	.068	.068	.068	.063	.063	.057	.049	.039	.026	.024	.024	.024	.024	.024	.024	.024	.024	.024	
	.2	.116	.109	.104	.104	.104	.094	.094	.083	.074	.063	.051	.038	.038	.038	.038	.038	.038	.038	.038	.038	
	.3	.158	.148	.141	.139	.139	.129	.114	.100	.089	.077	.063	.049	.049	.049	.049	.049	.049	.049	.049	.049	
	.4	.157	.185	.178	.174	.174	.164	.149	.131	.116	.103	.089	.075	.061	.046	.032	.019	.008	.001	.001	.001	
	.5	.234	.222	.214	.208	.208	.196	.184	.165	.147	.130	.102	.087	.073	.058	.043	.029	.018	.009	.009	.002	
30	0.0	.000	.019	.025	.024	.024	.016	.009	.009	.009	.009	.009	.009	.009	.009	.009	.009	.009	.009	.009	.009	
	.1	.056	.049	.042	.035	.035	.030	.021	.011	.000	.000	.000	.000	.000	.000	.000	.000	.000	.000	.000	.000	
	.2	.116	.087	.075	.061	.045	.045	.035	.025	.013	.001	.001	.001	.001	.001	.001	.001	.001	.001	.001	.001	
	.3	.158	.127	.119	.096	.072	.054	.040	.026	.016	.003	.003	.003	.003	.003	.003	.003	.003	.003	.003	.003	
	.4	.157	.166	.145	.131	.105	.082	.062	.045	.022	.013	.013	.013	.013	.013	.013	.013	.013	.013	.013	.013	
	.5	.234	.203	.161	.165	.165	.128	.112	.093	.069	.051	.036	.022	.022	.022	.022	.022	.022	.022	.022	.022	
40	0.0	.000	.014	.015	.009	.009	.009	.009	.009	.009	.009	.009	.009	.009	.009	.009	.009	.009	.009	.009	.009	
	.1	.066	.033	.022	.016	.007	.007	.007	.007	.007	.007	.007	.007	.007	.007	.007	.007	.007	.007	.007	.007	
	.2	.118	.068	.049	.024	.015	.004	.004	.004	.004	.004	.004	.004	.004	.004	.004	.004	.004	.004	.004	.004	
	.3	.158	.102	.073	.039	.024	.013	.013	.013	.013	.013	.013	.013	.013	.013	.013	.013	.013	.013	.013	.013	
	.4	.157	.139	.107	.071	.037	.022	.010	.009	.009	.009	.009	.009	.009	.009	.009	.009	.009	.009	.009	.009	
	.5	.234	.177	.140	.106	.063	.034	.019	.007	.007	.007	.007	.007	.007	.007	.007	.007	.007	.007	.007	.007	

$$\begin{aligned} \varepsilon_s &= .20\% & d'/h &= .15 \\ \varepsilon_s &= \varepsilon_{yd} & f_c &= 0,85 f_{cd} \end{aligned}$$

$\varepsilon_s = .20\%$	$d'/h = .15$
-------------------------	--------------

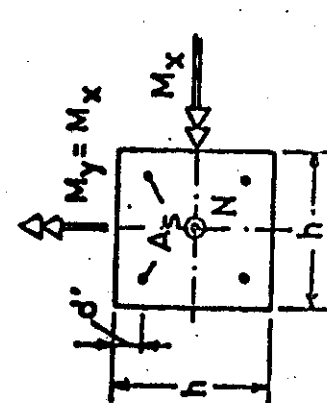


$$\begin{aligned} v &= N/N_c \\ \mu_x &= M_x/N_c h \\ \omega &= f_s A_s / N_c \end{aligned}$$

$$\begin{aligned} N_c &= f_c A_c \\ A_s &= \frac{1}{2} A_s \text{ total} \end{aligned}$$

SQUARE CROSS SECTION - CORNER REINFORCEMENT - DIAGONAL PLANE

$\rho/h$	$\nu$	$\omega$	.3	.1	.2	.3	.4	.5	.6	.7	.8	.9	1.0	1.1	1.2	1.3	1.4	1.5	1.6	1.7	1.8	1.9	
0	0.0	.000	.036	.056	.070	.076	.078	.074	.064	.049	.030	.053	.031	.075	.056	.058	.035	.058	.079	.073	.079	.035	
.1	.069	.089	.101	.110	.116	.113	.108	.100	.087	.071	.053	.094	.073	.075	.098	.079	.079	.073	.079	.073	.079	.073	
.2	.126	.135	.144	.151	.156	.150	.144	.135	.125	.110	.094	.110	.094	.073	.113	.117	.117	.117	.117	.117	.117	.117	
.3	.171	.173	.185	.191	.195	.191	.189	.181	.171	.161	.148	.161	.148	.125	.158	.158	.140	.121	.102	.082	.060	.038	
.4	.215	.221	.226	.231	.235	.229	.219	.209	.198	.186	.172	.198	.186	.158	.210	.210	.195	.162	.144	.125	.106	.084	.063
.5	.257	.262	.267	.271	.275	.269	.258	.247	.235	.223	.210	.258	.247	.210	.195	.179	.179	.162	.144	.125	.106	.084	.063
10	0.0	.000	.030	.048	.059	.064	.064	.059	.048	.033	.015	.053	.033	.033	.053	.053	.036	.036	.036	.036	.036	.039	
.1	.069	.089	.093	.100	.103	.103	.103	.098	.092	.083	.069	.093	.083	.083	.074	.074	.069	.069	.069	.069	.069	.069	
.2	.126	.130	.135	.140	.142	.142	.142	.135	.127	.117	.105	.141	.127	.111	.127	.127	.111	.105	.105	.105	.105	.105	
.3	.171	.174	.177	.180	.182	.182	.182	.174	.163	.152	.141	.177	.163	.148	.177	.177	.132	.115	.106	.096	.077	.037	
.4	.215	.216	.218	.220	.222	.222	.222	.213	.201	.189	.177	.201	.189	.177	.214	.214	.200	.186	.170	.153	.136	.079	
.5	.257	.258	.259	.261	.262	.262	.262	.253	.240	.227	.214	.262	.240	.227	.214	.214	.200	.186	.170	.153	.136	.079	
20	0.0	.000	.024	.036	.041	.041	.041	.036	.028	.015	.003	.027	.012	.001	.027	.027	.012	.012	.012	.012	.012	.012	
.1	.069	.069	.071	.072	.072	.072	.072	.066	.059	.051	.040	.071	.051	.041	.069	.069	.055	.055	.055	.055	.055	.055	
.2	.126	.117	.113	.112	.112	.112	.112	.103	.091	.080	.069	.127	.112	.102	.085	.085	.070	.075	.075	.075	.075	.075	
.3	.171	.161	.155	.155	.152	.152	.152	.142	.127	.112	.098	.177	.131	.101	.085	.085	.065	.065	.065	.065	.065	.065	
.4	.215	.204	.196	.196	.192	.192	.192	.182	.166	.148	.131	.205	.182	.167	.148	.148	.131	.116	.100	.083	.066	.034	
.5	.257	.246	.237	.237	.233	.233	.233	.223	.205	.185	.167	.233	.205	.185	.167	.167	.133	.116	.100	.083	.066	.034	
30	0.0	.000	.019	.025	.024	.024	.024	.018	.009	.003	.000	.012	.000	.000	.012	.012	.002	.002	.002	.002	.002	.002	
.1	.069	.052	.045	.045	.037	.037	.037	.031	.022	.012	.000	.014	.000	.000	.027	.027	.014	.014	.014	.014	.014	.014	
.2	.126	.095	.083	.083	.067	.067	.067	.049	.039	.027	.000	.032	.000	.000	.062	.062	.045	.045	.045	.045	.045	.045	
.3	.171	.140	.122	.106	.093	.093	.093	.063	.062	.045	.000	.053	.000	.000	.147	.147	.120	.120	.118	.118	.118	.118	
.4	.215	.183	.162	.147	.147	.147	.147	.120	.095	.073	.000	.053	.000	.000	.203	.203	.159	.159	.137	.137	.127	.127	
.5	.257	.226	.203	.187	.187	.187	.187	.159	.130	.106	.000	.082	.000	.000	.226	.226	.167	.167	.062	.062	.043	.027	
40	0.0	.000	.000	.014	.015	.009	.009	.009	.009	.009	.000	.000	.000	.000	.000	.000	.000	.000	.000	.000	.000	.000	
.1	.069	.035	.023	.023	.017	.017	.017	.009	.009	.009	.000	.000	.000	.000	.000	.000	.000	.000	.000	.000	.000	.000	
.2	.126	.074	.045	.045	.027	.027	.027	.017	.005	.005	.000	.000	.000	.000	.000	.000	.000	.000	.000	.000	.000	.000	
.3	.171	.113	.083	.083	.067	.067	.067	.046	.027	.015	.003	.003	.003	.003	.003	.003	.003	.003	.003	.003	.003	.003	
.4	.215	.157	.121	.084	.084	.064	.064	.045	.027	.015	.003	.003	.003	.003	.003	.003	.003	.003	.003	.003	.003	.003	
.5	.257	.200	.161	.123	.123	.098	.098	.078	.043	.025	.000	.000	.000	.000	.000	.000	.000	.000	.000	.000	.000	.000	



$e_s = .24\%$	$d'/h = .10$
---------------	--------------

$$e_s = e_y$$

$$e_y = d'/h$$

$$e_y = e_y d$$

$$\nu = N/N_c$$

$$\mu_x = M_x/M_c$$

$$\omega = f_{AS}/N_c$$

$$N_c = f_{CA}^2$$

$$A_s = \frac{1}{2} A_s \text{ total}$$

$$f_s = f_y$$

$$f_c = 0.85 f_d$$

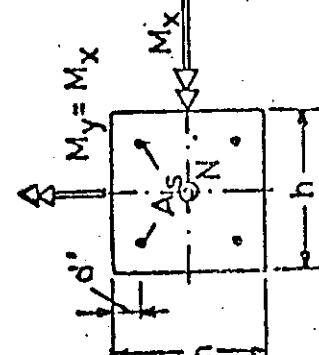
TABLE SC 24/15.

RELATIVE EXTERNAL MOMENT  $\mu_x = M_x/N_c h$  FOR

SQUARE CROSS SECTION - CORNER REINFORCEMENT - DIAGONAL PLANE

		EPSSE = 2.40 D/H = .15																				
$\ell/h$	$\omega$	$v$	.0	.1	.2	.3	.4	.5	.6	.7	.8	.9	1.0	1.1	1.2	1.3	1.4	1.5	1.6	1.7	1.8	1.9
0	0.0	0.00	.034	.056	.070	.076	.074	.064	.049	.030	.029	.029	.050	.068	.063	.051	.029	.030	.051	.052	.054	.035
	.1	.064	.083	.095	.105	.107	.102	.095	.083	.068	.063	.067	.071	.071	.069	.051	.029	.030	.051	.052	.054	.035
	.2	.111	.122	.132	.141	.141	.137	.132	.125	.115	.102	.107	.107	.107	.107	.089	.071	.051	.052	.052	.054	.035
	.3	.150	.160	.169	.176	.175	.169	.163	.155	.146	.135	.122	.122	.122	.122	.107	.089	.071	.051	.052	.054	.035
	.4	.186	.197	.205	.211	.210	.202	.195	.186	.177	.167	.155	.141	.141	.141	.126	.108	.091	.072	.073	.073	.054
	.5	.225	.233	.240	.246	.244	.236	.227	.218	.209	.198	.187	.174	.174	.174	.160	.145	.128	.110	.093	.073	.054
10	0.0	0.00	.030	.042	.059	.064	.064	.059	.048	.033	.015	.032	.032	.032	.032	.032	.015	.015	.015	.015	.015	.015
	.1	.064	.078	.087	.094	.094	.095	.092	.085	.078	.065	.065	.067	.067	.067	.067	.049	.049	.049	.049	.049	.049
	.2	.111	.118	.124	.130	.128	.126	.122	.115	.106	.096	.082	.082	.082	.082	.082	.067	.067	.067	.067	.067	.067
	.3	.150	.156	.161	.165	.162	.162	.154	.145	.136	.125	.114	.114	.114	.114	.109	.099	.099	.099	.099	.099	.099
	.4	.188	.192	.197	.200	.200	.196	.186	.177	.166	.156	.144	.144	.144	.144	.131	.119	.101	.093	.093	.093	.093
	.5	.225	.229	.233	.236	.231	.220	.209	.196	.186	.174	.162	.162	.162	.162	.148	.133	.118	.100	.083	.065	.047
20	0.0	0.00	.024	.036	.041	.041	.041	.036	.028	.015	.003	.003	.003	.003	.003	.003	.003	.003	.003	.003	.003	.003
	.1	.064	.063	.065	.064	.064	.064	.052	.053	.045	.035	.022	.022	.022	.022	.022	.008	.008	.008	.008	.008	.008
	.2	.111	.104	.100	.098	.098	.098	.088	.077	.067	.056	.044	.044	.044	.044	.044	.031	.031	.031	.031	.031	.031
	.3	.150	.142	.137	.132	.129	.122	.107	.094	.081	.069	.056	.056	.056	.056	.056	.042	.042	.042	.042	.042	.042
	.4	.186	.190	.173	.168	.156	.150	.139	.123	.109	.095	.081	.077	.077	.077	.077	.067	.067	.067	.067	.067	.067
	.5	.225	.217	.210	.203	.190	.171	.151	.137	.122	.106	.093	.078	.078	.078	.078	.063	.063	.063	.063	.063	.063
30	0.0	0.00	.019	.025	.024	.024	.018	.009	.009	.009	.009	.009	.009	.009	.009	.009	.009	.009	.009	.009	.009	.009
	.1	.064	.064	.047	.037	.032	.028	.019	.009	.009	.009	.009	.009	.009	.009	.009	.009	.009	.009	.009	.009	.009
	.2	.111	.082	.069	.050	.039	.030	.020	.019	.009	.009	.009	.009	.009	.009	.009	.008	.008	.008	.008	.008	.008
	.3	.150	.121	.103	.082	.057	.043	.032	.020	.012	.008	.008	.008	.008	.008	.008	.021	.021	.021	.021	.021	.021
	.4	.188	.159	.136	.117	.099	.069	.046	.033	.021	.016	.016	.016	.016	.016	.016	.035	.035	.035	.035	.035	.035
	.5	.225	.196	.171	.152	.122	.093	.068	.049	.031	.021	.011	.011	.011	.011	.011	.011	.011	.011	.011	.011	.011
40	0.0	0.00	.014	.015	.009	.009	.009	.009	.009	.009	.009	.009	.009	.009	.009	.009	.009	.009	.009	.009	.009	.009
	.1	.064	.029	.020	.015	.006	.006	.006	.006	.006	.006	.006	.006	.006	.006	.006	.006	.006	.006	.006	.006	.006
	.2	.111	.062	.031	.021	.012	.002	.002	.002	.002	.002	.002	.002	.002	.002	.002	.002	.002	.002	.002	.002	.002
	.3	.150	.056	.060	.030	.015	.008	.008	.008	.008	.008	.008	.008	.008	.008	.008	.008	.008	.008	.008	.008	.008
	.4	.188	.130	.091	.048	.027	.016	.008	.008	.008	.008	.008	.008	.008	.008	.008	.008	.008	.008	.008	.008	.008
	.5	.225	.167	.126	.080	.040	.024	.014	.014	.014	.014	.014	.014	.014	.014	.014	.014	.014	.014	.014	.014	.014

$\epsilon_s = .24\%$	$d'/h = .15$
----------------------	--------------



$$\nu = N/N_c$$

$$\mu_x = M_x/N_c h$$

$$\omega = f A_s/N_c$$

$$N_c = f A_c$$

$$A_s = \frac{1}{2} A_c$$

$$f_s = f_{yd}$$

$$f_c = 0.85 f_{cd}$$

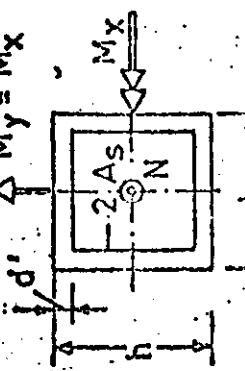
$$\epsilon_s = \epsilon_{yd}$$

TABLE SD 20/10.

RELATIVE EXTERNAL MOMENT  $\mu_x = M_x/N_c h$  FOR

SQUARE CROSS SECTION - DISTRIBUTED REINFORCEMENT - DIAGONAL PLANE

$\omega/h$	$\omega/v$	.0	.1	.2	.3	.4	.5	.6	.7	.8	.9	1.0	1.1	1.2	1.3	1.4	1.5	1.6	1.7	1.8	1.9
0	0.0	.000	.034	.056	.070	.075	.076	.074	.064	.049	.030	.030	.031	.031	.031	.031	.031	.031	.031	.031	
	.1	.061	.032	.097	.104	.108	.106	.102	.094	.064	.070	.051	.051	.051	.051	.051	.051	.051	.051	.051	
	.2	.109	.123	.133	.138	.140	.137	.132	.125	.117	.105	.091	.079	.054	.032	.032	.032	.032	.032	.032	
	.3	.151	.163	.169	.172	.173	.169	.163	.156	.147	.139	.125	.111	.094	.075	.056	.032	.032	.032	.032	
	.4	.160	.203	.205	.206	.201	.195	.188	.179	.169	.159	.149	.132	.115	.097	.078	.057	.033	.033	.033	
	.5	.229	.235	.238	.239	.238	.233	.227	.219	.211	.201	.191	.180	.166	.153	.136	.118	.100	.080	.058	.033
10	0.0	.000	.030	.040	.059	.064	.064	.059	.048	.033	.016	.016	.016	.016	.016	.016	.016	.016	.016	.016	
	.1	.061	.077	.088	.093	.095	.095	.092	.086	.078	.056	.056	.051	.033	.014	.014	.014	.014	.014	.014	
	.2	.109	.119	.125	.127	.127	.122	.115	.107	.097	.084	.069	.051	.033	.014	.014	.014	.014	.014	.014	
	.3	.151	.158	.161	.161	.161	.159	.153	.145	.137	.127	.116	.102	.086	.076	.052	.032	.032	.032	.032	
	.4	.150	.196	.196	.195	.195	.192	.185	.177	.167	.157	.146	.134	.120	.106	.089	.070	.052	.032	.015	
	.5	.225	.231	.230	.230	.228	.225	.217	.209	.199	.188	.177	.165	.153	.139	.124	.107	.089	.070	.051	.032
20	0.0	.000	.024	.026	.041	.041	.041	.036	.028	.015	.003	.003	.003	.003	.003	.003	.003	.003	.003	.003	
	.1	.061	.064	.065	.065	.064	.059	.053	.046	.036	.024	.011	.006	.006	.006	.006	.006	.006	.006	.006	
	.2	.109	.106	.101	.095	.087	.077	.067	.058	.046	.033	.020	.007	.007	.007	.007	.007	.007	.007	.007	
	.3	.151	.146	.137	.129	.115	.105	.092	.080	.069	.056	.043	.029	.016	.005	.005	.005	.005	.005	.005	
	.4	.150	.183	.173	.162	.152	.137	.122	.107	.092	.080	.067	.053	.039	.026	.013	.004	.004	.004	.004	
	.5	.225	.219	.208	.196	.184	.169	.153	.137	.121	.105	.091	.077	.064	.049	.036	.022	.011	.003	.003	
30	0.0	.000	.019	.025	.024	.018	.009	.009	.009	.009	.009	.009	.009	.009	.009	.009	.009	.009	.009	.009	
	.1	.061	.047	.039	.023	.022	.022	.022	.022	.022	.022	.022	.022	.022	.022	.022	.022	.022	.022	.022	
	.2	.109	.035	.028	.022	.019	.016	.014	.011	.009	.007	.006	.005	.004	.003	.002	.001	.001	.001	.001	
	.3	.151	.150	.124	.101	.091	.060	.045	.034	.022	.010	.009	.008	.007	.006	.005	.004	.003	.003	.003	
	.4	.150	.163	.136	.112	.066	.065	.045	.034	.022	.011	.009	.008	.007	.006	.005	.004	.003	.003	.003	
	.5	.225	.199	.170	.145	.118	.093	.070	.053	.038	.025	.013	.013	.013	.013	.013	.013	.013	.013	.013	
40	0.0	.000	.014	.015	.009	.009	.009	.009	.009	.009	.009	.009	.009	.009	.009	.009	.009	.009	.009	.009	
	.1	.061	.030	.021	.015	.006	.006	.006	.006	.006	.006	.006	.006	.006	.006	.006	.006	.006	.006	.006	
	.2	.109	.062	.033	.022	.013	.003	.003	.003	.003	.003	.003	.003	.003	.003	.003	.003	.003	.003	.003	
	.3	.151	.077	.060	.031	.020	.009	.009	.009	.009	.009	.009	.009	.009	.009	.009	.009	.009	.009	.009	
	.4	.150	.134	.091	.052	.029	.017	.006	.006	.006	.006	.006	.006	.006	.006	.006	.006	.006	.006	.006	
	.5	.225	.171	.122	.050	.044	.025	.013	.009	.009	.009	.009	.009	.009	.009	.009	.009	.009	.009	.009	



$$\epsilon_s = \epsilon_{yd} \quad d'/h = .10$$

$$\epsilon_s = \epsilon_{yd}$$

$$\nu = N/N_c$$

$$\nu_x = N_x/N_c h$$

$$\omega = f_s A_s / N_c$$

$$N_c = f_{cc} A_{cc}$$

$$A_s = \frac{1}{2} A_s \text{ total}$$

$$f_s = f_{yd} \quad f_c = 0.85 \quad f_{cd}$$

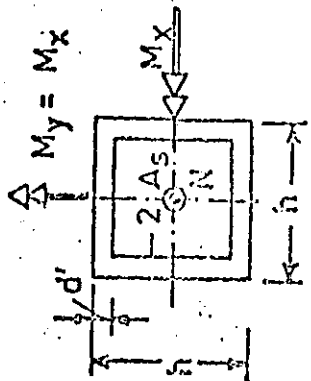
$$149$$

TABLE SD 2C/15.

RELATIVE EXTERNAL MOMENT  $\mu_x = M_x/N_c h$  FOR

SQUARE CROSS SECTION - DISTRIBUTED REINFORCEMENT - DIAGONAL PLANE

$\omega$	$\omega/v$	$\omega$	$v$	EPSS = 2.00										D / $N_c h$ = .15							
				.0	.1	.2	.3	.4	.5	.6	.7	.8	.9	1.0	1.1	1.2	1.3	1.4	1.5	1.6	1.7
0	0.0	.000	.034	.056	.070	.076	.078	.074	.064	.049	.039	.030	.020	.010	.009	.009	.009	.009	.009	.009	.009
1	.058	.078	.091	.090	.102	.101	.097	.091	.081	.067	.059	.051	.030	.020	.010	.009	.009	.009	.009	.009	.009
2	.100	.113	.121	.127	.123	.125	.122	.116	.109	.093	.085	.070	.051	.030	.020	.012	.009	.009	.009	.009	.009
3	.135	.145	.151	.155	.154	.151	.147	.141	.134	.125	.115	.102	.087	.070	.051	.030	.020	.012	.009	.009	.009
4	.169	.175	.180	.183	.181	.178	.172	.166	.160	.152	.143	.132	.119	.105	.088	.071	.052	.030	.020	.012	.009
5	.200	.205	.208	.211	.209	.204	.193	.192	.185	.178	.170	.160	.149	.136	.123	.107	.090	.072	.052	.030	.012
10	0.0	.000	.030	.048	.059	.064	.064	.059	.048	.033	.015	.010	.009	.009	.009	.009	.009	.009	.009	.009	.009
1	.058	.073	.082	.088	.092	.096	.096	.081	.074	.063	.049	.031	.020	.010	.009	.009	.009	.009	.009	.009	.009
2	.100	.109	.114	.116	.114	.110	.104	.097	.089	.071	.064	.047	.030	.012	.009	.009	.009	.009	.009	.009	.009
3	.135	.141	.143	.144	.141	.135	.129	.121	.113	.104	.092	.078	.063	.046	.030	.020	.011	.009	.009	.009	.009
4	.169	.171	.172	.172	.168	.162	.154	.146	.138	.128	.118	.106	.093	.079	.062	.046	.030	.020	.011	.009	.009
5	.200	.201	.201	.200	.195	.188	.180	.171	.163	.153	.144	.133	.121	.107	.094	.077	.060	.043	.026	.012	.009
20	0.0	.000	.024	.036	.047	.041	.036	.028	.015	.003	.003	.003	.003	.003	.003	.003	.003	.003	.003	.003	.003
1	.058	.059	.060	.057	.053	.053	.049	.042	.033	.021	.008	.003	.003	.003	.003	.003	.003	.003	.003	.003	.003
2	.100	.096	.090	.084	.074	.065	.057	.049	.038	.027	.014	.003	.003	.003	.003	.003	.003	.003	.003	.003	.003
3	.135	.123	.120	.112	.101	.083	.076	.066	.056	.045	.033	.021	.008	.003	.003	.003	.003	.003	.003	.003	.003
4	.169	.159	.150	.140	.127	.113	.099	.086	.074	.063	.052	.040	.028	.015	.009	.004	.003	.003	.003	.003	.003
5	.200	.189	.178	.166	.154	.139	.124	.109	.095	.083	.071	.059	.047	.034	.022	.010	.009	.009	.009	.009	.009
30	0.0	.000	.019	.025	.024	.019	.009	.009	.007	.007	.006	.006	.006	.006	.006	.006	.006	.006	.006	.006	.006
1	.058	.059	.064	.034	.030	.025	.017	.007	.007	.007	.006	.006	.006	.006	.006	.006	.006	.006	.006	.006	.006
2	.100	.075	.056	.041	.033	.025	.016	.006	.006	.006	.006	.006	.006	.006	.006	.006	.006	.006	.006	.006	.006
3	.135	.107	.023	.061	.044	.034	.025	.015	.004	.004	.004	.004	.004	.004	.004	.004	.004	.004	.004	.004	.004
4	.169	.139	.112	.087	.062	.045	.034	.024	.013	.003	.003	.003	.003	.003	.003	.003	.003	.003	.003	.003	.003
5	.200	.169	.141	.114	.066	.052	.045	.033	.023	.012	.001	.001	.001	.001	.001	.001	.001	.001	.001	.001	.001
40	0.0	.000	.014	.015	.009	.009	.009	.009	.009	.009	.009	.009	.009	.009	.009	.009	.009	.009	.009	.009	.009
1	.058	.025	.019	.013	.005	.005	.005	.005	.005	.005	.005	.005	.005	.005	.005	.005	.005	.005	.005	.005	.005
2	.100	.052	.025	.013	.013	.010	.009	.009	.009	.009	.009	.009	.009	.009	.009	.009	.009	.009	.009	.009	.009
3	.135	.091	.041	.023	.014	.005	.005	.005	.005	.005	.005	.005	.005	.005	.005	.005	.005	.005	.005	.005	.005
4	.169	.111	.056	.031	.019	.009	.009	.009	.009	.009	.009	.009	.009	.009	.009	.009	.009	.009	.009	.009	.009
5	.200	.142	.052	.048	.026	.015	.005	.005	.005	.005	.005	.005	.005	.005	.005	.005	.005	.005	.005	.005	.005



$$\epsilon_s = \epsilon_{yd}$$

$$\delta'/h = .15$$

$$A_s = 20\%$$

$$f_c = f_{cd}$$

$$N_c = f_{cd} A_c$$

$$\omega = \frac{1}{2} A_s \cdot \text{total}$$

$$\mu_x = \frac{N_c}{N_c + f_s A_s}$$

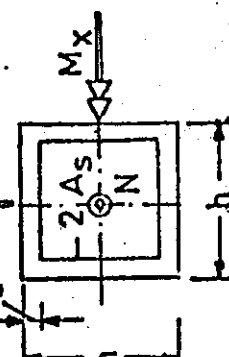
$$v = \frac{N_c}{N_c + f_s A_s}$$

SQUARE CROSS SECTION - DISTRIBUTED REINFORCEMENT - DIAGONAL PLANE

$\rho/h$	$w$	$v$	.6	.5	.4	.3	.2	.1	.054	.056	.070	.076	.078	.074	.064	.049	.030	.029	.0240	$\rho/h = .10$	
0	0	0	-.060	-.051	-.054	-.056	-.056	-.051	-.051	-.051	-.052	-.053	-.053	-.053	-.052	-.050	-.050	-.051	-.051	-.051	
	.1		-.060	-.051	-.054	-.056	-.056	-.051	-.051	-.051	-.052	-.053	-.053	-.053	-.052	-.050	-.050	-.051	-.051	-.051	
	.2		-.106	-.120	-.128	-.133	-.133	-.131	-.131	-.127	-.120	-.120	-.120	-.120	-.112	-.106	-.096	-.086	-.071	-.051	.029
	.3		-.146	-.155	-.161	-.164	-.164	-.162	-.162	-.159	-.154	-.148	-.148	-.148	-.140	-.131	-.118	-.103	-.088	-.071	.051
	.4		-.163	-.189	-.193	-.195	-.195	-.192	-.192	-.188	-.183	-.176	-.176	-.176	-.163	-.159	-.149	-.136	-.123	-.090	.051
	.5		-.217	-.222	-.224	-.225	-.225	-.222	-.217	-.212	-.212	-.204	-.204	-.204	-.196	-.188	-.178	-.167	-.155	-.109	.072
10.	0	0	-.000	-.030	-.048	-.059	-.059	-.054	-.054	-.064	-.059	-.048	-.048	-.048	-.033	-.015	-.015	-.015	-.015	-.015	
	.1		-.050	-.076	-.085	-.091	-.091	-.081	-.081	-.069	-.063	-.063	-.063	-.063	-.076	-.054	-.049	-.031	-.012	-.012	
	.2		-.166	-.115	-.120	-.128	-.128	-.120	-.120	-.118	-.113	-.109	-.109	-.109	-.102	-.093	-.080	-.065	-.030	-.011	-.011
	.3		-.146	-.151	-.153	-.153	-.153	-.153	-.149	-.149	-.143	-.137	-.137	-.137	-.128	-.119	-.109	-.096	-.064	-.048	-.029
	.4		-.153	-.165	-.165	-.165	-.165	-.165	-.164	-.164	-.178	-.172	-.172	-.172	-.165	-.156	-.146	-.126	-.112	-.064	-.011
	.5		-.217	-.214	-.217	-.215	-.215	-.206	-.206	-.201	-.201	-.193	-.193	-.193	-.184	-.174	-.164	-.153	-.141	-.097	-.027
20.	0	0	-.000	-.024	-.036	-.041	-.041	-.041	-.041	-.036	-.036	-.028	-.028	-.028	-.015	-.003	-.003	-.003	-.003	-.003	
	.1		-.060	-.062	-.062	-.062	-.059	-.059	-.055	-.055	-.050	-.043	-.043	-.043	-.033	-.020	-.007	-.007	-.007	-.007	
	.2		-.106	-.102	-.096	-.094	-.094	-.094	-.080	-.080	-.069	-.061	-.061	-.061	-.051	-.040	-.027	-.013	-.001	-.001	
	.3		-.146	-.138	-.130	-.130	-.130	-.121	-.121	-.109	-.105	-.083	-.083	-.083	-.071	-.060	-.047	-.034	-.020	-.006	
	.4		-.163	-.172	-.162	-.162	-.162	-.152	-.152	-.138	-.124	-.110	-.110	-.110	-.096	-.083	-.070	-.053	-.043	-.028	-.014
	.5		-.217	-.206	-.194	-.194	-.194	-.183	-.183	-.167	-.167	-.153	-.138	-.138	-.122	-.107	-.093	-.063	-.051	-.037	-.022
30.	0	0	-.000	-.019	-.025	-.024	-.024	-.024	-.019	-.009	-.009	-.015	-.015	-.015	-.012	-.008	-.008	-.008	-.008	-.008	
	.1		-.060	-.044	-.035	-.031	-.031	-.026	-.026	-.026	-.026	-.026	-.026	-.026	-.017	-.006	-.006	-.006	-.006	-.006	
	.2		-.106	-.080	-.061	-.044	-.044	-.035	-.027	-.027	-.027	-.027	-.027	-.027	-.016	-.005	-.005	-.005	-.005	-.005	
	.3		-.146	-.117	-.092	-.068	-.068	-.048	-.048	-.037	-.037	-.027	-.027	-.027	-.015	-.003	-.003	-.003	-.003	-.003	
	.4		-.163	-.152	-.124	-.124	-.124	-.098	-.098	-.071	-.051	-.038	-.038	-.038	-.027	-.015	-.015	-.015	-.015	-.015	
	.5		-.217	-.186	-.156	-.156	-.156	-.129	-.129	-.099	-.072	-.052	-.052	-.052	-.038	-.026	-.014	-.014	-.014	-.014	
40.	0	0	-.000	-.014	-.015	-.009	-.009	-.009	-.009	-.009	-.009	-.009	-.009	-.009	-.008	-.008	-.008	-.008	-.008	-.008	
	.1		-.060	-.025	-.019	-.014	-.014	-.005	-.005	-.005	-.005	-.005	-.005	-.005	-.005	-.005	-.005	-.005	-.005	-.005	
	.2		-.106	-.056	-.027	-.019	-.011	-.000	-.000	-.000	-.000	-.000	-.000	-.000	-.000	-.000	-.000	-.000	-.000	-.000	
	.3		-.146	-.089	-.047	-.025	-.016	-.006	-.006	-.006	-.006	-.006	-.006	-.006	-.006	-.006	-.006	-.006	-.006	-.006	
	.4		-.183	-.123	-.075	-.037	-.022	-.012	-.012	-.012	-.012	-.012	-.012	-.012	-.012	-.012	-.012	-.012	-.012	-.012	
	.5		-.217	-.156	-.106	-.058	-.030	-.018	-.007	-.007	-.007	-.007	-.007	-.007	-.007	-.007	-.007	-.007	-.007	-.007	

$$\epsilon_s = \epsilon_y d / h = 0.24 \quad d'/h = 10$$

$$\Delta M_y = M_x$$



$$v = N/N_c$$

$$\mu_x = M_x/N_c h$$

$$\omega_s = f_{ss} A_s / N_c$$

$$N_c = f_{cc} A_c$$

$$A_s = \frac{1}{2} A_s \text{ total}$$

$$f_s = f_y d / h = 0.85 f_{cd}$$

$$151$$

TABLE SD 24/1S.

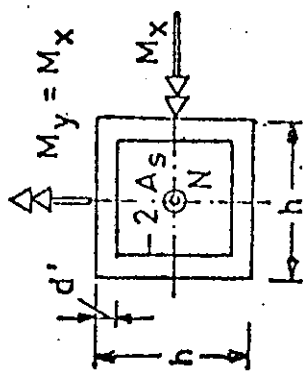
RELATIVE EXTERNAL MOMENT  $\mu_x = M_x/N_c h$  FOR  
SQUARE CROSS SECTION - DISTRIBUTED REINFORCEMENT - DIAGONAL PLANE

$s/h$	$\omega$	.0	.1	.2	.3	.4	.5	.6	.7	.8	.9	1.0	1.1	1.2	1.3	1.4	1.5	1.6	1.7	1.8	1.9
0	0.0	.000	.034	.056	.070	.076	.078	.064	.049	.030	.026	.047	.065	.079	.089	.093	.080	.064	.047	.026	.026
	.1	.057	.076	.088	.095	.058	.058	.058	.055	.055	.055	.074	.074	.074	.074	.074	.074	.074	.074	.074	.074
	.2	.057	.109	.116	.116	.120	.120	.119	.116	.116	.116	.105	.105	.105	.105	.105	.105	.105	.105	.105	.105
	.3	.130	.138	.143	.144	.143	.143	.141	.137	.133	.127	.119	.119	.119	.119	.119	.119	.119	.119	.119	.119
	.4	.160	.165	.169	.169	.163	.163	.159	.155	.155	.149	.143	.143	.143	.143	.143	.143	.143	.143	.143	.143
	.5	.168	.192	.194	.194	.162	.169	.181	.181	.181	.177	.171	.165	.165	.156	.149	.138	.126	.112	.097	.064
10	0.0	.000	.030	.048	.059	.064	.064	.059	.059	.059	.048	.033	.033	.033	.033	.033	.033	.033	.033	.033	.033
	.1	.057	.071	.060	.084	.085	.085	.085	.085	.085	.085	.079	.079	.079	.079	.079	.079	.079	.079	.079	.079
	.2	.057	.164	.108	.109	.109	.109	.109	.109	.109	.109	.103	.103	.103	.103	.103	.103	.103	.103	.103	.103
	.3	.130	.134	.135	.135	.133	.133	.133	.133	.133	.133	.125	.125	.125	.125	.125	.125	.125	.125	.125	.125
	.4	.160	.161	.162	.162	.158	.158	.158	.158	.158	.158	.147	.147	.147	.147	.147	.147	.147	.147	.147	.147
	.5	.168	.188	.187	.187	.182	.182	.176	.176	.176	.169	.163	.163	.163	.163	.163	.163	.163	.163	.163	.163
20	0.0	.000	.024	.036	.041	.041	.041	.036	.028	.015	.003	.015	.015	.015	.015	.015	.015	.015	.015	.015	.015
	.1	.057	.057	.057	.057	.053	.053	.051	.047	.040	.030	.030	.030	.030	.030	.030	.030	.030	.030	.030	.030
	.2	.057	.091	.085	.077	.067	.067	.059	.052	.043	.033	.033	.033	.033	.033	.033	.033	.033	.033	.033	.033
	.3	.130	.121	.121	.112	.101	.101	.069	.078	.067	.057	.057	.057	.057	.057	.057	.057	.057	.057	.057	.057
	.4	.160	.149	.139	.139	.125	.125	.112	.059	.087	.074	.063	.063	.063	.063	.063	.063	.063	.063	.063	.063
	.5	.168	.176	.164	.164	.150	.150	.135	.121	.107	.094	.082	.082	.082	.082	.082	.082	.082	.082	.082	.082
30	0.0	.000	.019	.019	.025	.024	.018	.009	.009	.009	.009	.009	.009	.009	.009	.009	.009	.009	.009	.009	.009
	.1	.057	.057	.040	.031	.029	.029	.024	.016	.006	.006	.023	.023	.023	.023	.023	.023	.023	.023	.023	.023
	.2	.057	.070	.049	.049	.036	.036	.030	.020	.013	.003	.020	.020	.020	.020	.020	.020	.020	.020	.020	.020
	.3	.130	.101	.074	.074	.050	.050	.038	.029	.020	.000	.018	.018	.018	.018	.018	.018	.018	.018	.018	.018
	.4	.160	.129	.101	.101	.072	.072	.049	.037	.023	.007	.007	.007	.007	.007	.007	.007	.007	.007	.007	.007
	.5	.168	.156	.127	.127	.095	.095	.057	.047	.036	.004	.015	.015	.015	.015	.015	.015	.015	.015	.015	.015
40	0.0	.000	.014	.014	.015	.009	.006	.006	.006	.006	.006	.006	.006	.006	.006	.006	.006	.006	.006	.006	.006
	.1	.057	.057	.021	.018	.013	.004	.004	.004	.004	.004	.004	.004	.004	.004	.004	.004	.004	.004	.004	.004
	.2	.057	.046	.046	.022	.016	.006	.006	.006	.006	.006	.006	.006	.006	.006	.006	.006	.006	.006	.006	.006
	.3	.130	.072	.031	.020	.012	.002	.002	.002	.002	.002	.002	.002	.002	.002	.002	.002	.002	.002	.002	.002
	.4	.160	.101	.050	.025	.016	.007	.007	.007	.007	.007	.007	.007	.007	.007	.007	.007	.007	.007	.007	.007
	.5	.168	.129	.074	.033	.020	.011	.001	.001	.001	.001	.001	.001	.001	.001	.001	.001	.001	.001	.001	.001

$$\varepsilon_s = .24\% \quad d'/h = .15$$

$$A_s = \frac{1}{2} A_s^{\text{total}}$$

$$\varepsilon_s = \varepsilon_{yd}$$



$$\begin{aligned} \nu &= N/N_c \\ \mu_x &= M_x/N_c^h \\ \omega &= f_s A_s / N_c \\ N_c &= f_c A_c \end{aligned}$$

$$\begin{aligned} A_s &= \frac{1}{2} A_s^{\text{total}} \\ f_s &= f_y d / h \end{aligned}$$

$$f_s = 0.85 f_{cd}$$

$$152$$

Table 23-1: Curvature coefficient  $\alpha$  for a rectangular cross section, corner reinforcement,  $\epsilon_s = 0.2\%$

$\ell/h$	$w/h$	.1	.2	.3	.4	.5	.6	.7	.8	.9	1.0	1.1	1.2	1.3	1.4	1.5	1.6	1.7	1.8	1.9
10	0.0	.66	.66	.55	.52	.46	.51	.55	.43	.55	.35	.51	.33	.46	.26	.42	.23	.40	.21	
	.1	.82	.83	.69	.58	.48	.61	.62	.63	.65	.73	.73	.63	.65	.59	.59	.51	.51	.42	
	.2	.94	.71	.58	.59	.64	.69	.70	.71	.70	.77	.73	.63	.66	.59	.59	.51	.51	.46	
	.3	1.00	1.00	.72	.59	.59	.66	.71	.75	.73	.78	.77	.63	.66	.59	.59	.51	.51	.46	
	.4	1.09	1.02	.71	.59	.60	.67	.73	.82	.85	.85	.86	.81	.84	.72	.72	.63	.63	.56	
	.5	1.06	1.04	.72	.59	.60	.68	.75	.81	.86	.90	.92	.89	.89	.72	.72	.63	.63	.56	
20	0.0	.33	.36	.36	.34	.32	.35	.38	.34	.36	.36	.36	.36	.36	.34	.34	.34	.34	.34	
	.1	.54	.52	.53	.48	.46	.45	.45	.44	.45	.51	.50	.46	.46	.44	.44	.44	.44	.44	
	.2	.66	.60	.55	.55	.55	.55	.53	.52	.52	.58	.57	.55	.55	.52	.52	.52	.52	.52	
	.3	.66	.63	.57	.55	.52	.61	.61	.60	.60	.63	.63	.61	.61	.58	.58	.58	.58	.58	
	.4	.66	.66	.59	.55	.59	.65	.65	.66	.66	.63	.63	.61	.61	.58	.58	.58	.58	.58	
	.5	.69	.69	.59	.55	.60	.67	.70	.72	.72	.71	.70	.68	.68	.65	.65	.65	.65	.65	
30	0.0	.21	.24	.25	.24	.24	.24	.24	.24	.24	.24	.24	.24	.24	.24	.24	.24	.24	.24	
	.1	.43	.46	.46	.40	.35	.35	.35	.35	.35	.35	.35	.35	.35	.35	.35	.35	.35	.35	
	.2	.49	.50	.51	.45	.44	.44	.44	.44	.44	.43	.43	.43	.43	.42	.42	.42	.42	.42	
	.3	.53	.53	.52	.45	.45	.45	.45	.45	.45	.52	.52	.52	.52	.49	.49	.49	.49	.49	
	.4	.56	.55	.52	.45	.45	.45	.45	.45	.45	.50	.50	.50	.50	.47	.47	.47	.47	.47	
	.5	.58	.57	.54	.45	.45	.45	.45	.45	.45	.55	.55	.55	.55	.52	.52	.52	.52	.52	
40	0.0	.15	.17	.18	.18	.18	.18	.18	.18	.18	.18	.18	.18	.18	.18	.18	.18	.18	.18	
	.1	.40	.38	.38	.32	.28	.28	.28	.28	.28	.28	.28	.28	.28	.28	.28	.28	.28	.28	
	.2	.45	.46	.45	.38	.38	.38	.38	.38	.38	.38	.38	.38	.38	.38	.38	.38	.38	.38	
	.3	.48	.49	.49	.40	.40	.40	.40	.40	.40	.40	.40	.40	.40	.40	.40	.40	.40	.40	
	.4	.50	.50	.50	.45	.45	.45	.45	.45	.45	.45	.45	.45	.45	.45	.45	.45	.45	.45	
	.5	.52	.51	.51	.45	.45	.45	.45	.45	.45	.45	.45	.45	.45	.45	.45	.45	.45	.45	
10	0.0	.65	.67	.59	.52	.46	.51	.54	.55	.55	.63	.63	.55	.55	.36	.36	.36	.36	.36	
	.1	.80	.77	.73	.62	.59	.62	.62	.62	.62	.69	.69	.71	.70	.65	.65	.65	.65	.65	
	.2	.89	.87	.81	.62	.61	.60	.60	.60	.60	.73	.73	.73	.73	.74	.74	.74	.74	.74	
	.3	.93	.86	.62	.62	.62	.62	.62	.62	.62	.70	.70	.70	.70	.77	.77	.77	.77	.77	
	.4	1.04	.98	.86	.63	.63	.63	.63	.63	.63	.70	.70	.70	.70	.81	.81	.81	.81	.81	
	.5	1.11	1.00	.87	.63	.63	.63	.63	.63	.63	.71	.71	.71	.71	.84	.84	.84	.84	.84	
20	0.0	.23	.27	.26	.21	.21	.21	.21	.21	.21	.21	.21	.21	.21	.21	.21	.21	.21	.21	
	.1	.51	.53	.56	.57	.48	.47	.46	.46	.46	.45	.45	.45	.45	.47	.47	.47	.47	.47	
	.2	.57	.59	.60	.60	.56	.56	.56	.56	.56	.55	.55	.55	.55	.58	.58	.58	.58	.58	
	.3	.64	.62	.62	.60	.59	.62	.62	.62	.62	.62	.62	.62	.62	.65	.65	.65	.65	.65	
	.4	.68	.65	.64	.64	.64	.64	.64	.64	.64	.64	.64	.64	.64	.66	.66	.66	.66	.66	
	.5	.73	.67	.65	.65	.65	.65	.65	.65	.65	.65	.65	.65	.65	.67	.67	.67	.67	.67	
30	0.0	.21	.24	.25	.24	.24	.24	.24	.24	.24	.24	.24	.24	.24	.24	.24	.24	.24	.24	
	.1	.45	.48	.48	.43	.43	.43	.43	.43	.43	.43	.43	.43	.43	.34	.34	.34	.34	.34	
	.2	.49	.52	.55	.53	.53	.53	.53	.53	.53	.53	.53	.53	.53	.43	.43	.43	.43	.43	
	.3	.54	.54	.54	.57	.58	.58	.58	.58	.58	.58	.58	.58	.58	.51	.51	.51	.51	.51	
	.4	.56	.56	.56	.59	.59	.59	.59	.59	.59	.59	.59	.59	.59	.58	.58	.58	.58	.58	
	.5	.55	.55	.55	.57	.57	.57	.57	.57	.57	.57	.57	.57	.57	.57	.57	.57	.57	.57	
40	0.0	.15	.18	.18	.18	.18	.18	.18	.18	.18	.18	.18	.18	.18	.18	.18	.18	.18	.18	
	.1	.42	.46	.46	.46	.46	.46	.46	.46	.46	.46	.46	.46	.46	.36	.36	.36	.36	.36	
	.2	.46	.49	.51	.51	.53	.53	.53	.53	.53	.53	.53	.53	.53	.37	.37	.37	.37	.37	
	.3	.49	.51	.54	.54	.56	.56	.56	.56	.56	.56	.56	.56	.56	.44	.44	.44	.44	.44	
	.4	.51	.51	.54	.54	.56	.56	.56	.56	.56	.56	.56	.56	.56	.43	.43	.43	.43	.43	
	.5	.53	.53	.55	.55	.57	.57	.57	.57	.57	.57	.57	.57	.57	.50	.50	.50	.50	.50	

$$\mu_2 = \theta v (\ell/h)^2 / 10000$$

$$\mu_2 = \theta (\ell/h^2) / 20000$$

d'/h = 0.10

d'/h = 0.15

Table 23-2: Curvature coefficient  $\theta$  for a rectangular cross section, distributed reinforcement,  $\epsilon_s = 0.2\%$

$\frac{d}{h}$	$\frac{w}{h}$	1	.2	.3	.4	.5	.6	.7	.8	.9	1.0	1.1	1.2	1.3	1.4	1.5	1.6	1.7	1.8	1.9
20	0.0	.66	.59	.52	.46	.51	.54	.55	.45	.42	.60	.65	.74	.73	.63	.41	.65	.40	.65	.39
20	0.1	.79	.74	.67	.60	.63	.64	.65	.54	.54	.74	.73	.84	.83	.93	.91	.83	.85	.83	.85
20	0.2	.95	.79	.70	.63	.67	.70	.73	.64	.62	.86	.84	.93	.92	.90	.89	.83	.85	.83	.85
20	0.3	1.09	.93	.81	.70	.63	.69	.74	.64	.63	.90	.89	.93	.92	.91	.89	.83	.85	.83	.85
20	0.4	1.05	.90	.79	.70	.64	.71	.77	.64	.63	.86	.85	.90	.89	.88	.87	.82	.84	.82	.84
20	0.5	.99	.87	.78	.70	.65	.72	.79	.65	.64	.85	.84	.89	.88	.87	.86	.82	.84	.82	.84
30	0.0	.73	.56	.36	.34	.32	.35	.38	.34	.34	.56	.54	.69	.67	.70	.62	.58	.51	.52	.53
30	0.1	.74	.64	.53	.46	.45	.46	.47	.45	.45	.62	.63	.78	.77	.70	.67	.61	.52	.52	.53
30	0.2	.92	.75	.63	.58	.55	.56	.55	.54	.54	.74	.73	.86	.85	.89	.87	.81	.75	.67	.68
30	0.3	1.01	.77	.66	.61	.60	.63	.64	.63	.63	.78	.77	.90	.89	.92	.91	.85	.79	.72	.73
30	0.4	.97	.77	.68	.63	.61	.69	.71	.69	.69	.72	.71	.82	.81	.84	.83	.77	.70	.62	.63
30	0.5	.93	.78	.70	.65	.61	.61	.67	.61	.61	.79	.77	.80	.79	.79	.78	.72	.67	.62	.63
40	0.0	.21	.24	.25	.24	.22	.24	.23	.22	.22	.41	.41	.49	.49	.56	.56	.55	.55	.55	.55
40	0.1	.56	.51	.43	.36	.41	.41	.41	.41	.41	.64	.64	.71	.71	.79	.79	.75	.75	.75	.75
40	0.2	.72	.59	.54	.48	.57	.54	.54	.54	.54	.71	.71	.79	.79	.86	.86	.84	.84	.84	.84
40	0.3	.82	.64	.57	.52	.50	.54	.53	.53	.53	.77	.77	.86	.86	.93	.93	.92	.92	.92	.92
40	0.4	.86	.67	.59	.55	.54	.59	.57	.57	.57	.77	.77	.86	.86	.93	.93	.92	.92	.92	.92
40	0.5	.84	.68	.61	.57	.57	.61	.61	.61	.61	.84	.84	.93	.93	.97	.97	.96	.96	.96	.96
50	0.0	.15	.17	.18	.15	.12	.12	.12	.12	.12	.48	.48	.54	.54	.61	.61	.63	.63	.63	.63
50	0.1	.48	.36	.29	.26	.20	.20	.20	.20	.20	.68	.68	.74	.74	.81	.81	.85	.85	.85	.85
50	0.2	.59	.51	.40	.33	.28	.28	.28	.28	.28	.76	.76	.83	.83	.90	.90	.96	.96	.96	.96
50	0.3	.68	.55	.49	.40	.34	.34	.34	.34	.34	.76	.76	.84	.84	.92	.92	.98	.98	.98	.98
50	0.4	.72	.58	.54	.47	.40	.40	.40	.40	.40	.76	.76	.84	.84	.92	.92	.98	.98	.98	.98
50	0.5	.75	.61	.51	.45	.45	.46	.46	.46	.46	.81	.81	.88	.88	.95	.95	.99	.99	.99	.99
10	0.0	.65	.67	.59	.52	.46	.51	.54	.55	.55	.64	.64	.71	.71	.74	.74	.77	.77	.77	.77
10	0.1	.92	1.17	1.00	.79	.70	.62	.68	.72	.72	.83	.83	.90	.90	.95	.95	.98	.98	.98	.98
10	0.2	1.03	1.08	1.02	.79	.70	.63	.70	.76	.76	.83	.83	.90	.90	.95	.95	.98	.98	.98	.98
10	0.3	1.04	1.01	1.08	.78	.70	.64	.72	.79	.79	.84	.84	.90	.90	.96	.96	.99	.99	.99	.99
10	0.4	1.01	1.04	1.01	.83	.71	.64	.64	.64	.64	.77	.77	.81	.81	.87	.87	.92	.92	.92	.92
10	0.5	.96	.95	.81	.72	.65	.65	.65	.65	.65	.77	.77	.81	.81	.88	.88	.93	.93	.93	.93
20	0.0	.33	.37	.36	.34	.32	.35	.35	.34	.34	.54	.54	.64	.64	.71	.71	.77	.77	.77	.77
20	0.1	.75	.65	.60	.53	.44	.45	.46	.47	.47	.64	.64	.71	.71	.78	.78	.85	.85	.85	.85
20	0.2	.94	.76	.66	.56	.56	.56	.56	.55	.55	.71	.71	.78	.78	.85	.85	.92	.92	.92	.92
20	0.3	1.04	1.01	1.01	.70	.63	.61	.61	.64	.64	.71	.71	.78	.78	.85	.85	.92	.92	.92	.92
20	0.4	1.01	1.04	1.01	.83	.71	.64	.64	.64	.64	.77	.77	.81	.81	.88	.88	.93	.93	.93	.93
20	0.5	.95	.95	.81	.72	.65	.65	.65	.65	.65	.77	.77	.81	.81	.88	.88	.93	.93	.93	.93
30	0.0	.21	.24	.25	.24	.24	.25	.24	.24	.24	.30	.30	.32	.32	.32	.32	.32	.32	.32	.32
30	0.1	.58	.51	.41	.35	.35	.35	.35	.35	.35	.61	.61	.66	.66	.72	.72	.77	.77	.77	.77
30	0.2	.72	.61	.55	.46	.46	.46	.46	.46	.46	.61	.61	.66	.66	.72	.72	.77	.77	.77	.77
30	0.3	.82	.60	.55	.46	.46	.46	.46	.46	.46	.61	.61	.66	.66	.72	.72	.77	.77	.77	.77
30	0.4	.87	.70	.63	.50	.50	.50	.50	.50	.50	.61	.61	.66	.66	.72	.72	.77	.77	.77	.77
30	0.5	.90	.73	.65	.51	.51	.51	.51	.51	.51	.61	.61	.66	.66	.72	.72	.77	.77	.77	.77
40	0.0	.15	.18	.18	.18	.18	.18	.18	.18	.18	.25	.25	.25	.25	.25	.25	.25	.25	.25	.25
40	0.1	.49	.35	.35	.35	.35	.35	.35	.35	.35	.50	.50	.50	.50	.50	.50	.50	.50	.50	.50
40	0.2	.60	.50	.50	.50	.50	.50	.50	.50	.50	.52	.52	.52	.52	.52	.52	.52	.52	.52	.52
40	0.3	.69	.58	.47	.47	.47	.47	.47	.47	.47	.52	.52	.52	.52	.52	.52	.52	.52	.52	.52
40	0.4	.75	.61	.55	.55	.55	.55	.55	.55	.55	.64	.64	.64	.64	.64	.64	.64	.64	.64	.64
40	0.5	.78	.64	.64	.64	.64	.64	.64	.64	.64	.65	.65	.65	.65	.65	.65	.65	.65	.65	.65

$$\mu_2 = \theta v (\ell/h)^2 / 2000 \quad \mu_2 = \theta (2/h)^2 / 2000$$

Table 23-3: Curvature coefficient  $\delta$  for a circular cross section distributed reinforcement,  $\epsilon_s = 0.2\%$

d/h = 0.10		d/h = 0.15																		
10	0	-1	-2	-3	-4	-5	-6	-7	-8	-9	-10	-11	-12	-13	-14	-15	-16	-17	-18	-19
11	-1	-2	-3	-4	-5	-6	-7	-8	-9	-10	-11	-12	-13	-14	-15	-16	-17	-18	-19	-20
12	-2	-3	-4	-5	-6	-7	-8	-9	-10	-11	-12	-13	-14	-15	-16	-17	-18	-19	-20	-21
13	-3	-4	-5	-6	-7	-8	-9	-10	-11	-12	-13	-14	-15	-16	-17	-18	-19	-20	-21	-22
14	-4	-5	-6	-7	-8	-9	-10	-11	-12	-13	-14	-15	-16	-17	-18	-19	-20	-21	-22	-23
15	-5	-6	-7	-8	-9	-10	-11	-12	-13	-14	-15	-16	-17	-18	-19	-20	-21	-22	-23	-24
20	0	-1	-2	-3	-4	-5	-6	-7	-8	-9	-10	-11	-12	-13	-14	-15	-16	-17	-18	-19
21	-1	-2	-3	-4	-5	-6	-7	-8	-9	-10	-11	-12	-13	-14	-15	-16	-17	-18	-19	-20
22	-2	-3	-4	-5	-6	-7	-8	-9	-10	-11	-12	-13	-14	-15	-16	-17	-18	-19	-20	-21
23	-3	-4	-5	-6	-7	-8	-9	-10	-11	-12	-13	-14	-15	-16	-17	-18	-19	-20	-21	-22
24	-4	-5	-6	-7	-8	-9	-10	-11	-12	-13	-14	-15	-16	-17	-18	-19	-20	-21	-22	-23
25	-5	-6	-7	-8	-9	-10	-11	-12	-13	-14	-15	-16	-17	-18	-19	-20	-21	-22	-23	-24
30	0	-1	-2	-3	-4	-5	-6	-7	-8	-9	-10	-11	-12	-13	-14	-15	-16	-17	-18	-19
31	-1	-2	-3	-4	-5	-6	-7	-8	-9	-10	-11	-12	-13	-14	-15	-16	-17	-18	-19	-20
32	-2	-3	-4	-5	-6	-7	-8	-9	-10	-11	-12	-13	-14	-15	-16	-17	-18	-19	-20	-21
33	-3	-4	-5	-6	-7	-8	-9	-10	-11	-12	-13	-14	-15	-16	-17	-18	-19	-20	-21	-22
34	-4	-5	-6	-7	-8	-9	-10	-11	-12	-13	-14	-15	-16	-17	-18	-19	-20	-21	-22	-23
35	-5	-6	-7	-8	-9	-10	-11	-12	-13	-14	-15	-16	-17	-18	-19	-20	-21	-22	-23	-24
40	0	-1	-2	-3	-4	-5	-6	-7	-8	-9	-10	-11	-12	-13	-14	-15	-16	-17	-18	-19
41	-1	-2	-3	-4	-5	-6	-7	-8	-9	-10	-11	-12	-13	-14	-15	-16	-17	-18	-19	-20
42	-2	-3	-4	-5	-6	-7	-8	-9	-10	-11	-12	-13	-14	-15	-16	-17	-18	-19	-20	-21
43	-3	-4	-5	-6	-7	-8	-9	-10	-11	-12	-13	-14	-15	-16	-17	-18	-19	-20	-21	-22
44	-4	-5	-6	-7	-8	-9	-10	-11	-12	-13	-14	-15	-16	-17	-18	-19	-20	-21	-22	-23
45	-5	-6	-7	-8	-9	-10	-11	-12	-13	-14	-15	-16	-17	-18	-19	-20	-21	-22	-23	-24
46	-6	-7	-8	-9	-10	-11	-12	-13	-14	-15	-16	-17	-18	-19	-20	-21	-22	-23	-24	-25
47	-7	-8	-9	-10	-11	-12	-13	-14	-15	-16	-17	-18	-19	-20	-21	-22	-23	-24	-25	-26
48	-8	-9	-10	-11	-12	-13	-14	-15	-16	-17	-18	-19	-20	-21	-22	-23	-24	-25	-26	-27
49	-9	-10	-11	-12	-13	-14	-15	-16	-17	-18	-19	-20	-21	-22	-23	-24	-25	-26	-27	-28
50	-10	-11	-12	-13	-14</td															

$$u_2 = \theta((\lambda/h)^2 / 2000)$$

## Anexo nº 4

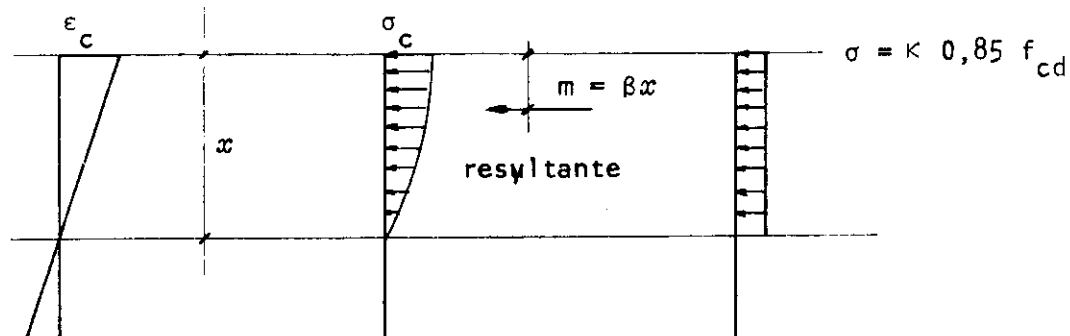


Tabela para valores de:

$K$  - que transforma o diagrama parabólico em retangular de mesma resultante.

$\beta$  - que dá a posição da resultante das tensões no diagrama parabólico.

$\epsilon_c$	$K$	$\beta$
0,9	0,38249	0,34806
1,0	0,41656	0,35000
1,1	0,44909	0,35205
1,2	0,47966	0,35417
1,3	0,50878	0,35640
1,4	0,53644	0,35872
1,5	0,56234	0,36111
1,6	0,58638	0,36365
1,7	0,60887	0,36632
1,8	0,62964	0,36907
1,9	0,64922	0,37197
2,0	0,66644	0,37506
2,1	0,68235	0,37823
2,2	0,69688	0,38141
2,3	0,70994	0,38466
2,4	0,72193	0,38779
2,5	0,73333	0,39091
2,6	0,74334	0,39386
2,7	0,75296	0,39677
2,8	0,76191	0,39957
2,9	0,76996	0,40219
3,0	0,77778	0,40477
3,1	0,78479	0,40717
3,2	0,79156	0,40951
3,3	0,79789	0,41175
3,4	0,80369	0,41384
3,5	0,80927	0,41587

## Anexo nº 5

(tabelas publicadas pelo Boletim 103 do C.E.B.)

Diagrams:

Fig. A3-1      Moment capacity for a rectangular cross section. Corner reinforcement

Fig. A3-2      Moment capacity for a rectangular cross section. Distributed reinforcement

Fig. A3-3      Moment capacity for a circular cross section. Distributed reinforcement

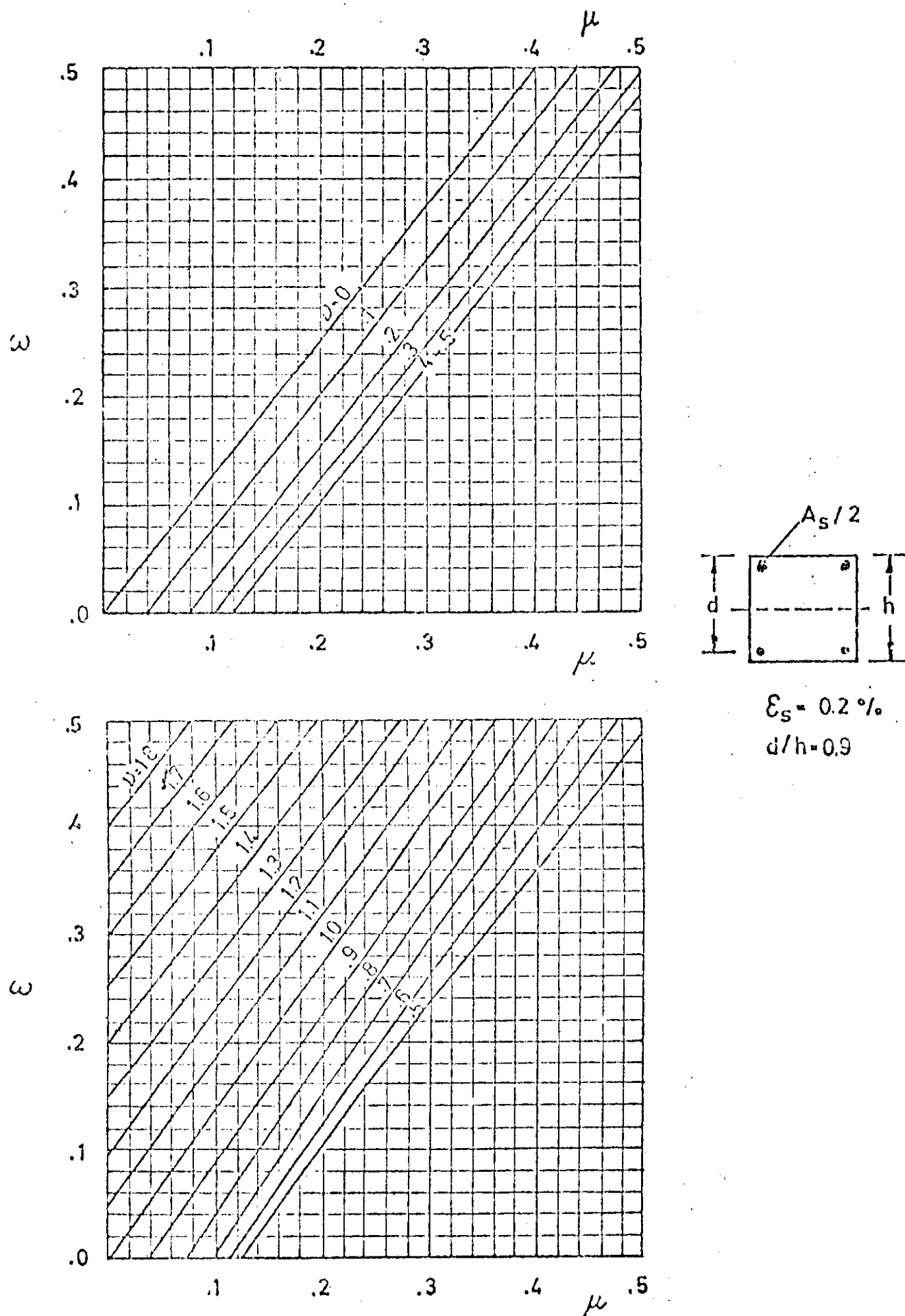
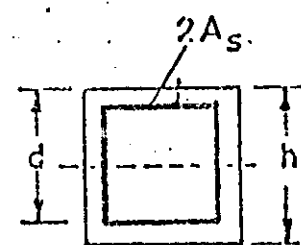
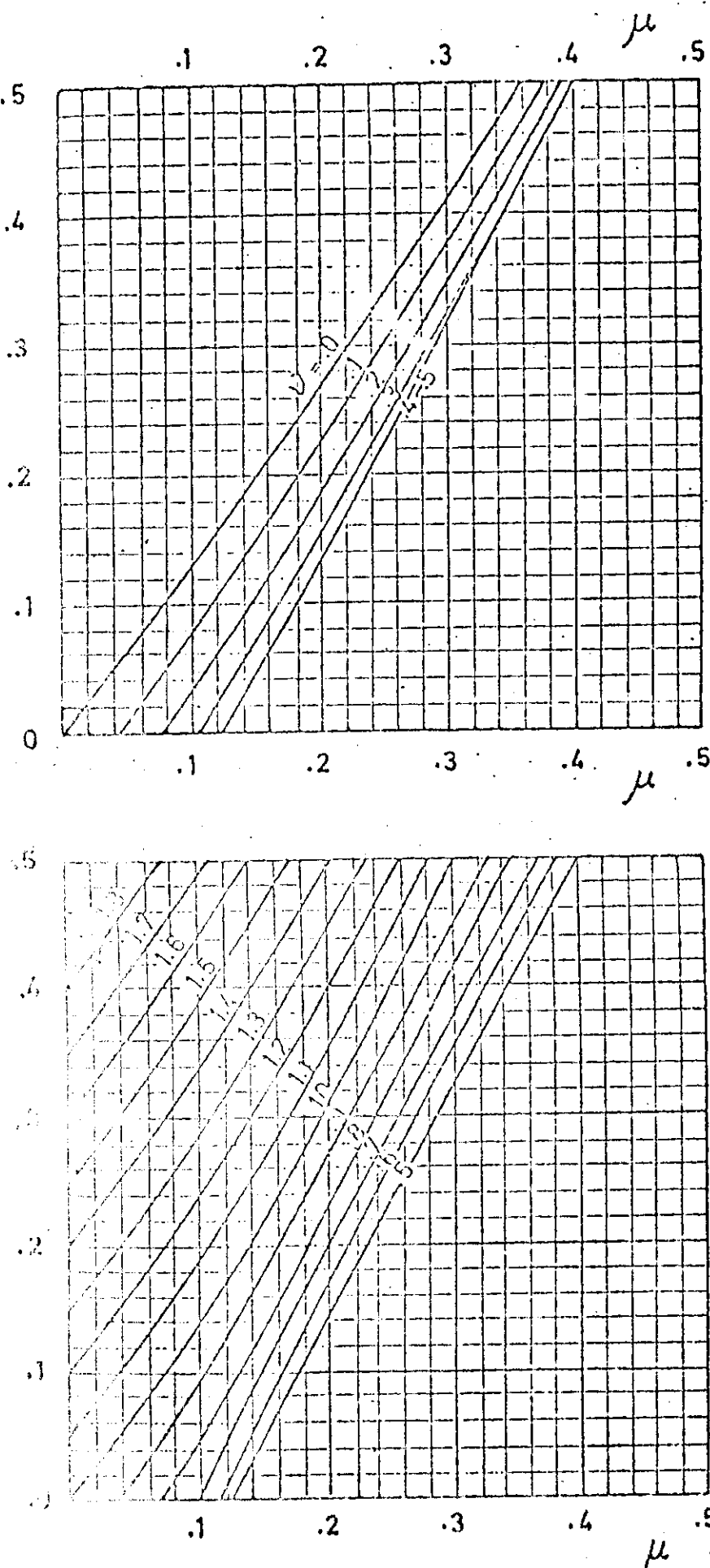
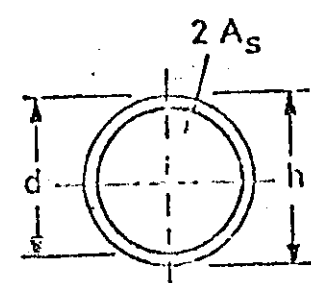
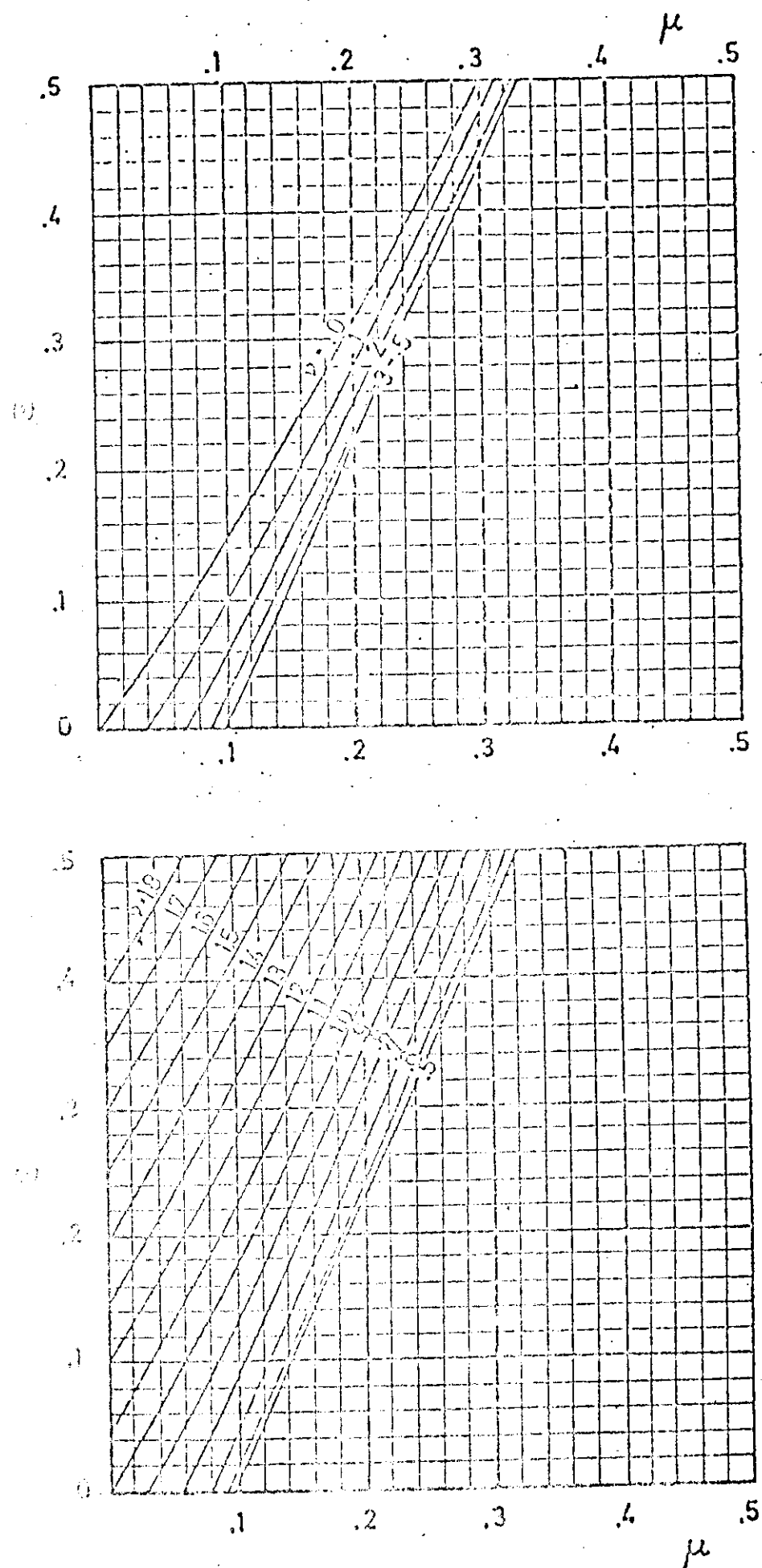


FIG. A3-1. Moment capacity for a rectangular cross section. Corner reinforcement.



$\varepsilon_s = 0.2\%$   
 $d/h = 0.9$

FIG. A3-2 Moment capacity for a rectangular cross section. Distributed reinforcement.



$$\varepsilon_s \approx 0.2\% \\ d/h = 0.9$$

FIG. A3-3. Moment capacity for a circular cross section, Distributed reinforcement.



TABLE 242-2 MOMENT-CURVATURE FOR  $\phi = 0$  . . . . . RECTANGULAR  
SECTION, DISTRIBUTED REINFORCEMENT  $\epsilon_s = 0.2 \%$ ,  $d'/h = 0.1$

TABLE 242-3 MOMENT-CURVATURE for  $\phi = 0$  CIRCULAR  
 SECTION, DISTRIBUTED REINFORCEMENT  $e_s = 0.2 \frac{t}{d}, d/h = 0.1$

TABLE 242-3 MOMENT-CURVATURE for  $\phi = 0$  CIRCULAR  
 SECTION, DISTRIBUTED REINFORCEMENT  $e_s = 0.2 \frac{\text{ft}}{\text{d}}$ ,  $d/h = 0.1$

U = 0.0		.1	.2	.3	.4	.5	.6	.7	.8	.9	1.0
		<u>1000 <math>\mu</math></u>									
1	1000h/r	.1	17	37	50	57	58	55	53	47	42
		.2	29	45	57	63	66	65	61	58	54
		.3	40	53	63	70	74	74	71	68	65
		.4	49	61	70	77	81	82	81	78	75
		.5	59	69	78	84	88	90	89	87	85
2		.1	34	54	71	83	91	94	93	88	79
		.2	57	73	87	97	105	109	110	108	103
		.3	78	91	102	112	119	124	126	126	123
		.4	97	108	118	126	133	138	141	142	141
		.5	115	125	134	141	148	153	156	158	157
3		.1	50	70	87	101	110	115	116	111	101
		.2	84	99	113	124	132	138	140	139	134
		.3	115	127	138	147	154	160	163	164	163
		.4	143	153	162	170	177	182	186	188	186
		.5	170	179	187	194	200	205	209	211	212
											209
4		.1	61	84	102	115	124	129	128	122	109
		.2	102	125	137	147	155	160	160	157	149
		.3	148	161	171	179	183	190	192	190	185
		.4	186	196	204	211	217	221	224	223	219
		.5	223	230	237	243	248	252	255	255	252
											248
5		.1	65	91	112	127	135	138	135	0	0
		.2	118	139	155	167	174	175	173	167	0
		.3	166	184	192	208	213	214	212	206	198
		.4	212	227	238	248	252	252	251	246	238
		.5	257	269	279	289	292	291	289	286	279
											270
6		.1	67	95	117	133	142	144	0	0	0
		.2	124	148	165	179	185	187	0	0	0
		.3	177	196	213	224	229	231	0	0	0
		.4	227	244	260	268	273	275	270	0	0
		.5	276	292	306	312	316	319	315	0	0
											0
7		.1	70	97	121	137	0	0	0	0	0
		.2	127	151	172	184	0	0	0	0	0
		.3	181	204	221	232	0	0	0	0	0
		.4	235	256	269	280	0	0	0	0	0
		.5	287	306	317	327	0	0	0	0	0
											0
8		.1	71	99	122	0	0	0	0	0	0
		.2	130	156	174	0	0	0	0	0	0
		.3	186	207	225	0	0	0	0	0	0
		.4	240	259	275	0	0	0	0	0	0
		.5	293	311	327	0	0	0	0	0	0

## BIBLIOGRAFIA

- {Básica} - C.E.B. - Bulletin d'Information nº 103 - Manuel de Calcul "Flambement - Instabilité" - (1974).
- {1} - "ESTRUTURA 77" - revista técnica das construções engenharia e arquitetura. Editora Estrutura- (1977).
- {2} - "ESTRUTURA 70-71" - revista técnica das construções engenharia e arquitetura. Editora Estrutura - (1974).
- {3} - COURANT, Richard - "Cálculo Diferencial e Integral" - Editora Globo - (1963).
- {4} - ROCHA, Aderson Moreira da - "Novo Curso Prático de Concreto Armado" - Volume Extra - Editora Científica (1<sup>a</sup> edição).
- {5} - SANTOS, Lauro Modesto dos - "Cálculo de Concreto Armado segundo a NB-1/76 e o CEB/72". Editora Edgard Blücher Ltda. - (1977)
- {6} - MONTOYA, P. Gimenez; MESEGUER, A. Garcia e CARBRE, F. Moran - "Hormigon Armado" - Editorial Gustavo Gili , S.A. (8<sup>a</sup> edição).
- {7} - PROMON - "Tabelas para dimensionamento de concreto armado" (segundo a NB-1/76) Editora MC GRAW-HILL do Brasil - (1976).
- {8} - FUSCO, Péricles Brasiliense - "Solicitações normais. Estados limites últimos" - Editora Politécnica (USP) (1976).
- {9} - GRASSER, Emil e DIETHELM, Linse - "Bemessungstasseln für Stahlbeton Querschnitte" - Werner - Verlag - Dusseldorf - (1972).
- {10} - SANTOS, Lauro Modesto dos - Padronização de Cálculo nº 3 - "Estado limite último de flambagem" - (PROMON) (1974).